



Seria: APROBATY TECHNICZNE

## APROBATA TECHNICZNA ITB AT-15-6079/2013

Na podstawie rozporządzenia Ministra Infrastruktury z dnia 8 listopada 2004 r. w sprawie aprobatach technicznych oraz jednostek organizacyjnych upoważnionych do ich wydawania (Dz. U. Nr 249, poz. 2497), w wyniku postępowania aprobacyjnego dokonanego w Instytucie Techniki Budowlanej w Warszawie na wniosek firmy:

**SCHÖCK BAUTEILE GmbH**

**D-76534 Baden-Baden, Vimbacher Straße 2, Niemcy**

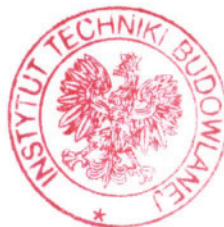
stwierdza się przydatność do stosowania w budownictwie wyrobów pod nazwą:

### Łączniki SCHÖCK ISOKORB z izolacją termiczną

w zakresie i na zasadach określonych w Załączniku, który stanowi integralną część niniejszej Aprobatach Technicznej ITB.

Termin ważności:  
13 grudnia 2018 r.

Załącznik:  
Postanowienia ogólne i techniczne



DYREKTOR  
z up.  
Zastępca Dyrektora  
ds. Współpracy z Gospodarką

*Marek Kaproń*  
Marek Kaproń

Warszawa, 13 grudnia 2013 r.

**Z A Ł A C Z N I K****POSTANOWIENIA OGÓLNE I TECHNICZNE****SPIS TREŚCI**

1. PRZEDMIOT APROBATY .....	3
2. PRZEZNACZENIE, ZAKRES I WARUNKI STOSOWANIA .....	4
3. WŁAŚCIWOŚCI TECHNICZNE. WYMAGANIA .....	5
3.1. Materiały .....	5
3.2. Łączniki.....	6
4. PAKOWANIE, PRZECHOWYWANIE I TRANSPORT .....	6
5. OCENA ZGODNOŚCI .....	7
5.1. Zasady ogólne .....	7
5.2. Wstępne badanie typu .....	8
5.3. Zakładowa kontrola produkcji .....	8
5.4. Badania gotowych wyrobów.....	8
5.5. Częstotliwość badań .....	9
5.6. Metody badań .....	9
5.7. Pobieranie próbek do badań .....	9
5.8. Ocena wyników badań .....	9
6. USTALENIA FORMALNO-PRAWNE .....	9
7. TERMIN WAŻNOŚCI .....	10
INFORMACJE DODATKOWE.....	11
RYSUNKI i TABLICE.....	13

## 1. PRZEDMIOT APROBATY

Przedmiotem Aprobataj Technicznej ITB są łączniki SCHÖCK ISOKORB z izolacją termiczną, produkcji niemieckiej firmy SCHÖCK BAUTEILE GmbH, stosowane w połączeniach dwóch elementów konstrukcyjnych, z których jeden jest usytuowany wewnątrz budynku, a drugi na zewnątrz.

Łączniki SCHÖCK ISOKORB składają się ze zbrojenia oraz wkładki izolacyjnej, stanowiącej izolację termiczną. Podstawowym zadaniem wkładki izolacyjnej jest likwidacja mostka termicznego na połączeniu elementów.

Pręty zbrojeniowe łączników SCHÖCK ISOKORB, znajdujące się wewnątrz elementu styropianowego, na pewnych odcinkach po obu jego stronach, są wykonane ze stali nierdzewnej, a na pozostałych odcinkach swojej długości są wykonane ze stali zwykłej, węglowej. Wewnętrzne i zewnętrzne odcinki prętów są spawane czołowo.

Łączniki SCHÖCK ISOKORB są produkowane w czterech grupach. Łączniki pierwszej grupy, produkowane w wersjach K, KXT, KF, KFXT, K-HV, KXT-HV, K-BH, KXT-BH, K-WO, KXT-WO, K-WU, KXT-WU, K-Eck, EXT, D, DXT, Q, QXT, QP, QPXT, Q-HV, QXT-HV, Q-WO, QXT-WO, Q-WU, QXT-WU, QPZ, QPZXT, HP, HPXT, V, A, AXT, F, FXT, O, OXT, EQ, S oraz W, są stosowane w połączeniach elementów żelbetowych. Łączniki drugiej grupy, produkowane w wersjach KS i QS, są stosowane w połączeniach elementów żelbetowych ze stalowymi. Łączniki trzeciej grupy, produkowane w wersji KST, są stosowane w połączeniach elementów stalowych. Łączniki czwartej grupy, produkowane w wersjach RK, RQP, RKS, RQS, są stosowane w połączeniach elementów żelbetowych w modernizowanych konstrukcjach.

Elementami składowymi łączników pierwszej grupy są: pręty zbrojeniowe, elementy ściskane z siatkobetonu lub ze stali oraz bloczki ze styropianu (rysunki 1 ÷ 50).

Elementami składowymi łączników drugiej grupy są: pręty zbrojeniowe z nagwintowanymi końcami, elementy ściskane ze stali, nakrętki, podkładki, płytki stalowe oraz bloczki ze styropianu (rysunki 51 ÷ 57).

Elementami składowymi łączników trzeciej grupy są: nagwintowane trzpienie stalowe z nakrętkami i podkładkami, płytki stalowe oraz bloczki ze styropianu (rysunki 58 ÷ 61).

Elementami składowymi łączników czwartej grupy są: pręty zbrojeniowe, elementy ściskane z siatkobetonu lub ze stali oraz bloczki ze styropianu (rysunki 62 ÷ 65).

Ilości i średnice prętów zbrojeniowych i stalowych elementów ściskanych oraz ilości i nośności siatkobetonowych elementów ściskanych łączników SCHÖCK ISOKORB podano

w tablicach 1, 5, 12, 15, 17, 20, 22, 24, 27, 30, 32, 34, 36, 38, 40, 42, 44, 46, 48, 50, 52, 54, 56, 58, 60, 62, 65, 68, 70, 72, 74, 77, 79, 81, 83, 86, 88, 90, 92 i 94.

Wymagane właściwości techniczne łączników SCHÖCK ISOKORB podano w p. 3.

## 2. PRZEZNACZENIE, ZAKRES I WARUNKI STOSOWANIA

Łączniki SCHÖCK ISOKORB z izolacją termiczną są przeznaczone do wykonywania połączeń dwóch elementów konstrukcyjnych, z których jeden jest usytuowany wewnątrz budynku, a drugi na zewnątrz.

Łączniki w wersjach K, KXT, KF, KFXT, K-HV, KXT-HV, K-BH, KXT-BH, K-WO, KXT-WO, K-WU, KXT-WU, K-Eck, EXT, D, DXT, Q, QXT, QP, QPXT, Q-HV, QXT-HV, Q-WO, QXT-WO, Q-WU, QXT-WU, QPZ, QPZXT, HP, HPXT, V, A, AXT, F, FXT, O, OXT, EQ, S oraz W (pierwsza grupa) są przeznaczone do wykonywania połączeń elementów żelbetowych.

Łączniki w wersjach KS i QS (druga grupa) są przeznaczone do wykonywania połączeń elementów stalowych z żelbetowymi.

Łączniki w wersji KST (trzecia grupa) są przeznaczone do wykonywania połączeń elementów stalowych.

Łączniki w wersji RK, RQP, RKS, RQS są przeznaczone do wykonywania połączeń elementów żelbetowych w modernizowanych konstrukcjach.

Klasa betonu łączonych elementów żelbetowych nie powinna być niższa niż C 20/25 według normy PN-EN 206-1:2003. Grubość betonowej otuliny zbrojenia nie powinna być mniejsza niż 30 mm.

Odległości pomiędzy dylatacjami płyt żelbetowych, usytuowanych na zewnątrz budynku, nie powinny być większe niż 13,0 m, 11,3 m, 10,1 m, 9,2 m i 8,0 m odpowiednio dla łączników SCHÖCK ISOKORB wykonanych z prętów o średnicach 10 mm, 12 mm, 14 mm, 16 mm oraz 20 mm w przypadkach, gdy grubość warstwy izolacyjnej łącznika nie jest mniejsza niż 80 mm.

Maksymalne, obliczeniowe momenty zginające, siły poprzeczne i siły podłużne, przenoszone przez połączenia, wykonane z zastosowaniem łączników SCHÖCK ISOKORB podano w tablicach 2-4, 6-11, 13, 14, 16, 18, 19, 21, 23, 25, 26, 28, 29, 31, 33, 35, 37, 39, 41, 43, 45, 47, 49, 51, 53, 55, 57, 59, 61, 63, 64, 66, 67, 69, 71, 73, 75, 76, 78, 80, 82, 84, 85, 87, 89, 91, 93 i 95.

W przypadku każdorazowego zastosowania łączników zbrojeniowych SCHÖCK ISOKORB niezbędne jest sprawdzenie stanu granicznego użytkowania ze względu na dopuszczalne ugięcia i dopuszczalne szerokości rozwarcia rys.

Klasy odporności ogniowej żelbetowych płyt balkonowych, zamocowanych do budynków łącznikami SCHÖCK ISOKORB, określone zgodnie z normą PN-EN 13501-2+A1:2010, podano w tablicach 97 i 98. Izolacja ogniochronna łączników SCHÖCK ISOKORB wykonywana jest w dwóch odmianach:

- z wkładek Aestuver produkcji firmy Fermacell GmbH, o grubości 15 mm, umieszczonych od dołu i od góry łącznika,
- z płyty z wełny mineralnej o gęstości nie mniejszej niż  $150 \text{ kg/m}^3$ , grubości 30 mm i zakładzie na płytę balkonową minimum 30 mm, umieszczonych od dołu i od góry łącznika.

Wartości ekwiwalentnych współczynników przenikania ciepła przegród, w których zastosowano łączniki SCHÖCK ISOKORB podano w tablicach 99 i 100.

Łączniki SCHÖCK ISOKORB powinny być stosowane zgodnie z projektem, opracowanym z uwzględnieniem wymagań polskich norm i przepisów budowlanych, wymagań niniejszej Aprobaty Technicznej oraz instrukcji Producenta dotyczącej warunków wykonywania połączeń z zastosowaniem ww. łączników.

### **3. WŁAŚCIWOŚCI TECHNICZNE. WYMAGANIA**

#### **3.1. Materiały**

Elementy składowe łączników SCHÖCK ISOKORB powinny być wykonane z niżej podanych materiałów.

Pręty zbrojeniowe znajdujące się wewnątrz elementu styropianowego i na pewnych odcinkach po obu jego stronach powinny być wykonane ze stali nierdzewnej gatunku BSt 500 NR według niemieckiej normy DIN 488 lub z nierdzewnej stali żebrowanej o granicy plastyczności nie mniejszej niż 700 MPa i o wytrzymałości nie mniejszej niż 760 MPa, a na pozostałych odcinkach swojej długości powinny być wykonane ze stali zwykłej, węglowej gatunku BSt 500S lub BSt 500M według niemieckiej normy DIN 488. Może być zastosowana kombinacja prętów rozciąganych ze stali czarnej zbrojeniowej BSt 500S (o większej średnicy) oraz stali nierdzewnej gatunku 1.4362 lub 1.4482 (INOXRIP 4486) według normy PN-EN 10088-1:2007 (o mniejszej średnicy) tj. 12/10/12mm oraz 8/7/8mm.

Profile stalowe do przenoszenia sił ściskających powinny być wykonane ze stali zwykłej, węglowej gatunku S 235 JRG1 według normy PN-EN 10025:2007 i ze stali nierdzewnych gatunku 1.4401, 1.4404 lub 1.4571 według normy PN-EN 10088-1:2007, o granicy plastyczności nie mniejszej niż 460 MPa.

Wkładki siatkobetonowe powinny się charakteryzować nośnością charakterystyczną 73,8 kN i nośnością obliczeniową 34,4 kN.

Nagwintowane trzpienie stalowe, stalowe nakrętki, podkładki oraz płytki, niezabetonowane powinny być wykonane ze stali nierdzewnej gatunku 1.4401, 1.4404 lub 1.4571 według normy PN-EN 10088-1:2007. Stal trzpieni powinna się charakteryzować granicą plastyczności 460 MPa, stal płytek oporowych (pionowych) granicą plastyczności 275 MPa, a stal płytek dystansowych (poziomych) granicą plastyczności 235 MPa.

Płytki stalowe, zabetonowywane powinny być wykonane ze stali zwykłej, węglowej gatunku S 235 JRG lub S 355 JO wg normy PN-EN 10025:2007.

Bloczki styropianowe powinny być wykonywane ze styropianu o gęstości  $30 \div 40 \text{ kg/m}^3$ , spełniającej wymagania normy PN-EN 13163:2013 i o wartości obliczeniowej współczynnika przewodzenia ciepła  $\lambda$  nie większej niż  $0,031 \text{ W/(m}\cdot\text{K)}$  według normy PN-EN ISO 6946:2008.

## 3.2. Łączniki

**3.2.1. Kształt i wymiary.** Kształt i wymiary łączników SCHÖCK ISOKORB powinny być zgodne z rysunkami 1 ÷ 65 i z tablicami 1, 5, 8, 10, 13, 15, 17, 20, 23, 25, 27, 29, 31, 33, 35, 37, 39, 41, 43, 46, 49, 51, 53, 55, 58, 60, 62, 64, 67, 69, 71, 73 i 75.

**3.2.2. Momenty zginające i siły poprzeczne.** Maksymalne obliczeniowe momenty zginające i maksymalne obliczeniowe siły poprzeczne przenoszone przez połączenia wykonane z zastosowaniem łączników SCHÖCK ISOKORB nie powinny być mniejsze niż wartości podane w tablicach 2-4, 6-11, 13, 14, 16, 18, 19, 21, 23, 25, 26, 28, 29, 31, 33, 35, 37, 39, 41, 43, 45, 47, 49, 51, 53, 55, 57, 59, 61, 63, 64, 66, 67, 69, 71, 73, 75, 76, 78, 80, 82, 84, 85, 87, 89, 91, 93 i 95.

Niszczące momenty zginające i niszczące siły poprzeczne przenoszone przez połączenia wykonane z zastosowaniem łączników SCHÖCK ISOKORB w wersjach K20 i KS14 nie powinny być mniejsze niż wartości podane w tablicy 96. Badania zostały wykonane w procedurze aprobacyjnej i nie są objęte wstępnym badaniem typu i badaniami gotowych wyrobów.

**3.2.3. Odporność ogniowa.** Balkonowe płyty żelbetowe wykonane z zastosowaniem łączników zbrojarskich SCHÖCK ISOKORB powinny spełniać kryteria podane w normie PN-EN 13501-2+A1:2010 dla klas odporności ogniowej przedstawionych w tablicach 97 i 98.

## 4. PAKOWANIE, PRZECHOWYWANIE I TRANSPORT

Łączniki SCHÖCK ISOKORB z izolacją termiczną powinny być dostarczane w kompletach, w opakowaniach Producenta oraz przechowywane i transportowane

w sposób zapewniający niezmiennosc ich wlasciwosci. Na kazdym opakowaniu powinna byc umieszczona etykieta zawierajaca co najmniej nastepujace dane:

- nazwe wyrobu,
- nazwe i adres Producenta,
- numer Aprobaty Technicznej ITB AT-15-6079/2013,
- numer i date wystawienia krajowej deklaracji zgodnosci,
- nazwe jednostki certyfikujacej, ktora brała udział w ocenie zgodnosci,
- znak budowlany.

Sposób oznakowania wyrobu znakiem budowlanym powinien byc zgodny z rozporządzeniem Ministra Infrastruktury z dnia 11 sierpnia 2004 r. w sprawie sposobów deklarowania zgodnosci wyrobów budowlanych oraz sposobu znakowania ich znakiem budowlanym (Dz. U. Nr 198/2004, poz. 2041).

## 5. OCENA ZGODNOŚCI

### 5.1. Zasady ogólne

Zgodnie z art. 4, art. 5 ust. 1 pkt. 3 oraz art. 8 ust. 1 ustawy z dnia 16 kwietnia 2004 r. o wyrobach budowlanych (Dz. U. Nr 92/2004, poz. 881, z późniejszymi zmianami) wyroby, których dotyczy niniejsza Aprobata Techniczna, mogą być wprowadzane do obrotu i stosowane przy wykonywaniu robót budowlanych w zakresie odpowiadającym ich wlasciwosciom użytkowym i przeznaczeniu, jezeli Producent dokonál oceny zgodnosci, wydal krajowà deklaracjê zgodnosci z Aprobatà Technicznà ITB AT-15-6079/2013 i oznakowal wyroby znakiem budowlanym, zgodnie z obowiazujacymi przepisami.

Zgodnie z rozporządzeniem Ministra Infrastruktury z dnia 11 sierpnia 2004 r. w sprawie sposobów deklarowania zgodnosci wyrobów budowlanych oraz sposobu znakowania ich znakiem budowlanym (Dz. U. Nr 198 /2004, poz. 2041) oceny zgodnosci wyrobów objetych Aprobatà Technicznà ITB AT-15-6079/2013 dokonuje Producent (lub jego upowazniony Przedstawiciel) majàcy siedzibê na terytorium Rzeczypospolitej Polskiej, stosujàc system 1+.

W przypadku systemu 1+ oceny zgodnosci, Producent może wystawic krajowà deklaracjê zgodnosci z Aprobatà Technicznà ITB AT-15-6079/2013 jezeli akredytowana jednostka certyfikujàca wydalà certyfikat zgodnosci wyrobu na podstawie:

- a) zadania producenta:
- zakładowej kontroli produkcji,
  - uzupełniajàcych badań gotowych wyrobów (próbek) pobranych w zakładzie produkcyjnym, prowadzonych przez producenta, zgodnie z ustalonym planem badań,

b) zadania akredytowanej jednostki:

- wstępnego badania typu,
- wstępnej inspekcji zakładu produkcyjnego i zakładowej kontroli produkcji,
- ciągłego nadzoru, oceny i akceptacji zakładowej kontroli produkcji,
- badań sondażowych próbek pobranych w zakładzie produkcyjnym, na rynku lub na placu budowy.

## **5.2. Wstępne badanie typu**

Wstępne badanie typu jest badaniem potwierdzającym wymagane właściwości techniczno-użytkowe, wykonywanym przed wprowadzeniem wyrobu do obrotu.

Wstępne badanie typu łączników SCHÖCK ISOKORB z izolacją termiczną obejmuje maksymalne obliczeniowe momenty zginające i maksymalne obliczeniowe siły poprzeczne przenoszone przez połączenia wykonane z zastosowaniem tych łączników oraz odporność ogniową balkonowych płyt żelbetonowych wykonanych z zastosowaniem tych łączników.

Badania, które w procedurze aprobacyjnej stanowiły podstawę do ustalenia właściwości techniczno-użytkowych wyrobów, stanowią wstępne badanie typu w ocenie zgodności.

## **5.3. Zakładowa kontrola produkcji**

Zakładowa kontrola produkcji obejmuje:

- 1) specyfikację oraz sprawdzanie surowców i materiałów,
- 2) kontrolę i badania w procesie wytwarzania oraz badania gotowych wyrobów (p. 5.4) prowadzone przez Producenta zgodnie z ustalonym planem badań oraz według zasad i procedur określonych w dokumentacji zakładowej kontroli produkcji, dostosowanych do technologii produkcji i zmierzających do uzyskania wyrobów o wymaganych właściwościach.

Kontrola produkcji powinna zapewniać, że wyrób jest zgodny z Aprobata Techniczną ITB AT-15-6079/2013. Wyniki kontroli produkcji powinny być systematycznie rejestrowane. Zapisy rejestru powinny potwierdzać, że wyroby spełniają kryteria oceny zgodności. Poszczególne wyroby lub partie wyrobów i związane z nimi szczegóły produkcyjne muszą być w pełni możliwe do identyfikacji i odtworzenia.

## **5.4. Badania gotowych wyrobów**

Badania gotowych wyrobów obejmują sprawdzenie kształtu i wymiarów łączników SCHÖCK ISOKORB z izolacją termiczną.



## 5.5. Częstotliwość badań

Badania bieżące powinny być przeprowadzane zgodnie z ustalonym planem badań, ale nie rzadziej niż dla każdej partii wyrobów. Wielkość partii wyrobów powinna być określona w dokumentacji zakładowej kontroli produkcji.

## 5.6. Metody badań

**5.6.1. Sprawdzenie kształtu i wymiarów.** Sprawdzenie kształtu i wymiarów elementów składowych łączników SCHÖCK ISOKORB należy przeprowadzać za pomocą przyrządów pomiarowych zapewniających uzyskanie dokładności pomiaru do 0,1 mm.

**5.6.2. Sprawdzenie niszczących sił poprzecznych i niszczących momentów zginających.** Sprawdzenie niszczących sił poprzecznych i niszczących momentów zginających należy przeprowadzać stosując urządzenia o zakresie dobranym do spodziewanej wartości sił i momentów niszczących umożliwiające stałe i powolne zwiększanie tych wartości aż do zniszczenia. Błąd pomiaru nie powinien przekraczać 3% w całym zakresie pomiarowym.

**5.6.3. Sprawdzenie odporności ogniowej.** Odporność ogniową żelbetowych płyt balkonowych zamocowanych do budynków łącznikami SCHÖCK ISOKORB należy określać zgodnie z normą PN-EN 13501-2+A1:2010. Jako izolację ogniową należy stosować wkładki Aestuver lub wełnę mineralną – zgodnie z tablicami 97 i 98.

## 5.7. Pobieranie próbek do badań

Próbki do badań należy pobierać losowo, zgodnie z normą PN-83/N-03010.

## 5.8. Ocena wyników badań

Wyprodukowane wyroby należy uznać za zgodne z wymaganiami niniejszej Aprobaty Technicznej ITB, jeżeli wyniki wszystkich badań są pozytywne.

# 6. USTALENIA FORMALNO-PRAWNE

**6.1.** Niniejsza Aprobata zastępuje Aprobate Techniczną ITB AT-15-6079/2012.

**6.2.** Aprobata Techniczna ITB AT-15-6079/2013 jest dokumentem stwierdzającym przydatność łączników SCHÖCK ISOKORB z izolacją termiczną do stosowania w budownictwie w zakresie wynikającym z postanowień Aprobaty.

Zgodnie z art. 4, art. 5 ust. 1 pkt. 3 oraz art. 8 ust. 1 ustawy z dnia 16 kwietnia 2004 r. o wyrobach budowlanych (Dz. U. Nr 92/2004, poz. 881, z późniejszymi zmianami) wyroby, których dotyczy niniejsza Aprobata Techniczna, mogą być wprowadzane do obrotu i stosowane przy wykonywaniu robót budowlanych w zakresie odpowiadającym ich właściwościom użytkowym i przeznaczeniu, jeżeli Producent dokonał oceny zgodności, wydał krajową deklarację zgodności z Aprobata Techniczną ITB AT-15-6079/2013 i oznakował wyroby znakiem budowlanym, zgodnie z obowiązującymi przepisami.

**6.3.** Aprobata Techniczna ITB nie narusza uprawnień wynikających z przepisów o ochronie własności przemysłowej, a w szczególności obwieszczenia Marszałka Sejmu RP z dnia 13 czerwca 2003 r. w sprawie ogłoszenia jednolitego tekstu ustawy z dnia 30 czerwca 2000 r. - Prawo własności przemysłowej (Dz. U. Nr 119, poz. 1117). Zapewnienie tych uprawnień należy do obowiązków korzystających z niniejszej Aprobaty Technicznej ITB.

**6.4.** ITB wydając Aprobata Techniczną nie bierze odpowiedzialności za ewentualne naruszenie praw wyłącznych i nabytych.

**6.5.** Aprobata Techniczna ITB nie zwalnia Producenta od odpowiedzialności za właściwą jakość wyrobów oraz wykonawców robót budowlanych od odpowiedzialności za właściwe ich zastosowanie.

**6.6.** W treści wydawanych prospektów i ogłoszeń oraz innych dokumentów związanych z wprowadzaniem do obrotu i stosowaniem w budownictwie łączników SCHÖCK ISOKORB z izolacją termiczną, należy zamieszczać informację o udzielonej tym wyrobom Aprobacie Technicznej ITB AT-15-6079/2013.

## **7. TERMIN WAŻNOŚCI**

Aprobata Techniczna ITB AT-15-6079/2013 ważna jest do 13 grudnia 2018 r.

Ważność Aprobaty Technicznej ITB może być przedłużona na kolejne okresy, jeżeli jej Wnioskodawca, lub formalny następca, wystąpi w tej sprawie do Instytutu Techniki Budowlanej z odpowiednim wnioskiem nie później niż 3 miesiące przed upływem terminu ważności tego dokumentu.

**K O N I E C**

## INFORMACJE DODATKOWE

### Normy związane

PN-EN 206-1:2003	<i>Beton. Część 1: Wymagania, właściwości, produkcja i zgodność</i>
PN-EN ISO 6946:2008	<i>Komponenty budowlane i elementy budynku. Opór cieplny i współczynnik przenikania ciepła. Metoda obliczania</i>
PN-EN 13501-2+A1:2010	<i>Klasyfikacja ogniowa wyrobów budowlanych i elementów budynków. Część 2: Klasyfikacja na podstawie wyników badań odporności ogniowej, z wyłączeniem instalacji wentylacyjnej</i>
PN-EN 10025:2007	<i>Wyroby walcowane na gorąco z niestopowych stali konstrukcyjnych. Warunki techniczne dostawy</i>
PN-EN 10088-1:2007	<i>Stale odporne na korozję. Gatunki</i>
PN-EN 13163:2013	<i>Wyroby do izolacji cieplnej w budownictwie - Wyroby ze styropianu (EPS) produkowane fabrycznie - Specyfikacja</i>
PN-83/N-03010	<i>Statystyczna kontrola jakości. Losowy wybór jednostek produktu do próbki</i>
DIN 488	<i>Betonstahl</i>

### Badania i oceny

- 1) NE/507/A/99. Badania i ocena właściwości łączników zbrojeniowych SCHÖCK ISOKORB produkcji niemieckiej firmy Schöck. Zakład Modernizacji i Remontów Obiektów Budowlanych ITB, Warszawa 1999 r.
- 2) NW-0646/02. Badania i ocena właściwości wytrzymałościowych łączników zbrojeniowych z izolacją termiczną Schöck Isokorb typu KS, QS, KSt, QSt oraz MIKOS produkcji niemieckiej firmy Schöck Bauteile GmbH w celu udzielenia aprobaty technicznej. Zakład Konstrukcji i Badań Wytrzymałościowych ITB, Warszawa, 2003 r.
- 3) NW-0538/A/06. Badania weryfikacyjne stali zbrojeniowej oraz obliczenia sprawdzające łączników zbrojeniowych typu Schöck Isokorb dla potrzeb nowelizacji aprobaty technicznej. Zakład Konstrukcji i Badań Wytrzymałościowych ITB, Warszawa 2007 r.
- 4) 00918/P/10/GW. Klasyfikacja w zakresie odporności ogniowej balkonów z łącznikami termoizolacyjnymi Schöck Isokorb. Zakład Badań Ogniowych ITB, Warszawa 2011 r.

- 5) 00918.1/P/10/GW. Aneks nr 1 do pracy nr 00918/P/10/GW. Klasyfikacja w zakresie odporności ogniowej balkonów z łącznikami termoizolacyjnymi Schöck Isokorb. Zakład Badań Ogniowych ITB, Warszawa 2012 r.
- 6) 1919/12/Z00NK. Opinia specjalistyczna na potrzeby Aprobaty Technicznej dotycząca zmian asortymentu łączników Schöck Isokorb. Zakład Konstrukcji i Elementów Budowlanych ITB, Warszawa 2012 r.
- 7) NK-0341R:09/PW/12. Pismo z dn. 31.10.2013 r. Zakład Konstrukcji i Elementów Budowlanych ITB, Warszawa 2013 r.
- 8) 1712/13/Z00NP. Klasyfikacja w zakresie odporności ogniowej balkonów z łącznikami termoizolacyjnymi Schöck Isokorb i Schöck Isokorb XT. Zakład Badań Ogniowych ITB, Warszawa 2013 r.
- 9) 1712/13/Z00NP. Aneks nr 1. Klasyfikacja w zakresie odporności ogniowej balkonów z łącznikami termoizolacyjnymi Schöck Isokorb i Schöck Isokorb XT. Zakład Badań Ogniowych ITB, Warszawa 2013 r.
- 10) NP-06558R:02/PT/13. Pismo z dn. 18.11.2013 r. Zakład Badań Ogniowych ITB, Warszawa 2013 r.
- 11) 00797/13/Z00NF. Opinia dotycząca wartości ekwiwalentnego współczynnika przewodzenia ciepła dla systemów firmy Schöck Sp. z o.o. Zakład Fizyki Ciepłej ITB, Warszawa 2013 r.
- 12) 1725/13Z00NF. Pismo z dn. 03.10.2013 r. Uzupelnienie opinii w zakresie sprawdzenia ekwiwalentnego współczynnika przewodzenia ciepła  $\lambda_{eq}$  do wykorzystania w procesie aprobacyjnym. Zakład Fizyki Ciepłej ITB, Warszawa 2013 r.
- 13) 1725/13/Z00NF. Pismo z dn. 12.11.2013 r. Uzupelnienie opinii w zakresie sprawdzenia ekwiwalentnego współczynnika przewodzenia ciepła  $\lambda_{eq}$  do wykorzystania w procesie aprobacyjnym. Zakład Fizyki Ciepłej ITB, Warszawa 2013 r.

## RYSUNKI I TABLICE

<b>Rysunek 1.</b>	Łącznik w wersji K.....	21
<b>Rysunek 2.</b>	Łącznik w wersji KF.....	21
<b>Rysunek 3.</b>	Przekrój łącznika w wersji KF.....	22
<b>Rysunek 4.</b>	Połączenia wykonane z zastosowaniem łączników w wersji K (KF) .....	22
<b>Rysunek 5.</b>	Łączniki w wersji K (KF). Część I.....	23
<b>Rysunek 5.</b>	Łączniki w wersji K (KF). Część II .....	24
<b>Rysunek 6.</b>	Łączniki w wersji KXT .....	35
<b>Rysunek 7.</b>	Łączniki w wersji KFXT .....	35
<b>Rysunek 8.</b>	Łączniki w wersji K-HV .....	39
<b>Rysunek 9.</b>	Połączenia wykonane z zastosowaniem łączników w wersjach K-HV, K-BH, K-WU i K-WO .....	40
<b>Rysunek 10.</b>	Łącznik w wersji K 20-HV 10/15.....	41
<b>Rysunek 11.</b>	Łączniki w wersji KXT-HV .....	43
<b>Rysunek 12.</b>	Połączenia wykonane z zastosowaniem łączników w wersjach KXT-HV, KXT-BH, KXT-WU i KXT-WO .....	44
<b>Rysunek 13.</b>	Łącznik w wersji K 20 XT-HV 10/15.....	45
<b>Rysunek 14.</b>	Łączniki w wersji K-Eck.....	48
<b>Rysunek 15.</b>	Połączenia wykonane z zastosowaniem łączników w wersji K-Eck.....	49
<b>Rysunek 16.</b>	Łącznik K 20-Eck .....	50
<b>Rysunek 17.</b>	Łącznik K 50-Eck .....	51
<b>Rysunek 18.</b>	Łącznik w wersji EXT .....	53
<b>Rysunek 19.</b>	Łącznik w wersji D.....	55
<b>Rysunek 20.</b>	Połączenie wykonane z zastosowaniem łącznika w wersji D.....	55
<b>Rysunek 21.</b>	Łączniki w wersji D.....	56
<b>Rysunek 22.</b>	Łącznik w wersji DXT .....	60
<b>Rysunek 23.</b>	Łącznik w wersji Q .....	63
<b>Rysunek 24.</b>	Połączenia wykonane z zastosowaniem łączników w wersjach Q, QP i QPZ .....	64
<b>Rysunek 25.</b>	Łącznik w wersji Q .....	65
<b>Rysunek 26.</b>	Łączniki w wersji QP .....	66
<b>Rysunek 27.</b>	Połączenia wykonane z zastosowaniem łączników w wersjach Q-HV, Q-WO i Q-WU.....	67
<b>Rysunek 28.</b>	Połączenia wykonane z zastosowaniem łączników w wersjach QPZ, Q oraz QP .....	68
<b>Rysunek 29.</b>	Łączniki w wersji QPZ.....	68
<b>Rysunek 30.</b>	Łączniki w wersji QXT .....	78
<b>Rysunek 31.</b>	Łączniki w wersji HP .....	82

---

<b>Rysunek 32.</b> Połączenie wykonane z zastosowaniem łącznika w wersji HP oraz łączniki w wersji HP .....	83
<b>Rysunek 33.</b> Łącznik w wersji HPXT .....	85
<b>Rysunek 34.</b> Łącznik w wersji V .....	86
<b>Rysunek 35.</b> Połączenie wykonane z zastosowaniem łącznika w wersji V .....	86
<b>Rysunek 36.</b> Łączniki w wersji V .....	87
<b>Rysunek 37.</b> Łącznik w wersji A .....	89
<b>Rysunek 38.</b> Połączenie wykonane z zastosowaniem łącznika w wersji A (a), łącznik w wersji A (b) .....	90
<b>Rysunek 39.</b> Łącznik w wersji AXT .....	92
<b>Rysunek 40.</b> Łącznik w wersji F .....	94
<b>Rysunek 41.</b> Połączenie wykonane z zastosowaniem łącznika w wersji F (a), łącznik w wersji F (b) .....	95
<b>Rysunek 42.</b> Łącznik w wersji FXT .....	97
<b>Rysunek 43.</b> Łącznik w wersji O .....	99
<b>Rysunek 44.</b> Połączenie wykonane z zastosowaniem łącznika w wersji O (a), łącznik w wersji O (b) .....	100
<b>Rysunek 45.</b> Łącznik w wersji OXT .....	102
<b>Rysunek 46.</b> Łącznik w wersji EQ .....	104
<b>Rysunek 47.</b> Łącznik w wersji S .....	106
<b>Rysunek 48.</b> Połączenie wykonane z zastosowaniem łącznika w wersji S (a), łącznik w wersji S (b) .....	107
<b>Rysunek 49.</b> Łącznik w wersji W .....	109
<b>Rysunek 50.</b> Połączenie wykonane z zastosowaniem łącznika w wersji W .....	110
<b>Rysunek 51.</b> Rzut poziomy i pionowy łącznika w wersji W .....	111
<b>Rysunek 52.</b> Łącznik w wersji KS .....	113
<b>Rysunek 53.</b> Połączenie wykonane z zastosowaniem łączników w wersji KS .....	114
<b>Rysunek 54.</b> Łącznik w wersji KS .....	115
<b>Rysunek 55.</b> Warianty obciążenia łączników w wersji KS .....	116
<b>Rysunek 56.</b> Łącznik w wersji QS .....	118
<b>Rysunek 57.</b> Połączenie wykonane z zastosowaniem łączników w wersji QS .....	119
<b>Rysunek 58.</b> Łączniki w wersji QS .....	120
<b>Rysunek 59.</b> Łącznik w wersji KST .....	122
<b>Rysunek 60.</b> Połączenie wykonane z zastosowaniem łączników w wersji KST .....	123
<b>Rysunek 61.</b> Łączniki w wersji KST, część I .....	124
<b>Rysunek 61.</b> Łączniki w wersji KST, część II .....	125
<b>Rysunek 62.</b> Łącznik w wersji RK .....	127
<b>Rysunek 63.</b> Łącznik w wersji RQP .....	129
<b>Rysunek 64.</b> Łącznik w wersji RKS .....	132
<b>Rysunek 65.</b> Łącznik w wersji RQS .....	134

<b>Tablica 1.</b>	Ilości i średnice prętów stalowych i stalowych elementów ściskanych oraz ilości siatkobetonowych elementów ściskanych łączników wersji K (KF).....	25
<b>Tablica 2.</b>	Maksymalne, obliczeniowe momenty zginające i siły poprzeczne przenoszone przez połączenia wykonane z zastosowaniem łączników w wersji K (KF) z siatkobetonowymi elementami ściskanyymi w przypadku, gdy klasa betonu łączonych elementów jest równa C20/25 .....	26
<b>Tablica 3.</b>	Maksymalne, obliczeniowe momenty zginające i siły poprzeczne przenoszone przez połączenia wykonane z zastosowaniem łączników w wersji K (KF) z siatkobetonowymi elementami ściskanyymi w przypadku, gdy klasa betonu łączonych elementów jest równa C25/30, a w przypadku łącznika K100 – C30/37 .....	27
<b>Tablica 4.</b>	Maksymalne, obliczeniowe momenty zginające i siły poprzeczne przenoszone przez połączenia wykonane z zastosowaniem łączników w wersji K (KF) ze stalowymi elementami ściskanyymi w przypadku, gdy klasa betonu łączonych elementów jest równa C20/25 .....	28
<b>Tablica 5.</b>	Ilości i średnice prętów stalowych i stalowych elementów ściskanych oraz ilości siatkobetonowych elementów ściskanych łączników wersji K-S, K-M i K-L .....	29
<b>Tablica 6.</b>	Maksymalne, obliczeniowe momenty zginające przenoszone przez połączenia wykonane z zastosowaniem łączników w wersji K-S i K-M z siatkobetonowymi elementami ściskanyymi w przypadku, gdy klasa betonu łączonych elementów jest równa C20/25 .....	30
<b>Tablica 7.</b>	Maksymalne, obliczeniowe momenty zginające przenoszone przez połączenia wykonane z zastosowaniem łączników w wersji K-S i K-M z siatkobetonowymi elementami ściskanyymi w przypadku, gdy klasa betonu łączonych elementów jest równa C25/30 .....	31
<b>Tablica 8.</b>	Maksymalne, obliczeniowe momenty zginające przenoszone przez połączenia wykonane z zastosowaniem łączników w wersji K-S i K-M z siatkobetonowymi elementami ściskanyymi w przypadku, gdy klasa betonu łączonych elementów jest równa C30/37 .....	32
<b>Tablica 9.</b>	Maksymalne, obliczeniowe momenty zginające przenoszone przez połączenia wykonane z zastosowaniem łączników w wersji K-S, K-M i K-L z siatkobetonowymi elementami ściskanyymi w przypadku, gdy klasa betonu łączonych elementów jest równa C20/25, C25/30 lub C30/37 .....	33
<b>Tablica 10.</b>	Maksymalne, obliczeniowe siły poprzeczne przenoszone przez połączenia wykonane z zastosowaniem łączników w wersji K-S i K-M z siatkobetonowymi elementami ściskanyymi w przypadku, gdy klasa betonu łączonych elementów jest równa C20/25, C25/30 lub C30/37 .....	34
<b>Tablica 11.</b>	Maksymalne, obliczeniowe siły poprzeczne przenoszone przez połączenia wykonane z zastosowaniem łączników w wersji K-L z siatkobetonowymi elementami ściskanyymi w przypadku, gdy klasa betonu łączonych elementów jest równa C20/25, C25/30 lub C30/37 .....	34
<b>Tablica 12.</b>	Ilości i średnice prętów stalowych i stalowych elementów ściskanych oraz ilości siatkobetonowych elementów ściskanych łączników wersji KXT (KFXT) .....	36
<b>Tablica 13.</b>	Maksymalne, obliczeniowe momenty zginające i siły poprzeczne przenoszone przez połączenia, wykonane z zastosowaniem łączników w wersji KXT (KFXT) z siatkobetonowymi elementami ściskanyymi w przypadku, gdy klasa betonu łączonych elementów jest równa C20/25.....	37

<b>Tablica 14.</b>	Maksymalne, obliczeniowe momenty zginające i siły poprzeczne przenoszone przez połączenia, wykonane z zastosowaniem łączników w wersji KXT (KFXT) z siatkobetonowymi elementami ściskanymi w przypadku, gdy klasa betonu łączonych elementów jest równa C25/30, a w przypadku łącznika K100 – C30/37 .....	38
<b>Tablica 15.</b>	Ilości i średnice prętów stalowych i stalowych elementów ściskanych oraz ilości siatkobetonowych elementów ściskanych łączników w wersjach: K-HV, K-BH, K-WO i K-WU .....	41
<b>Tablica 16.</b>	Maksymalne, obliczeniowe momenty zginające i siły poprzeczne przenoszone przez połączenia, wykonane z zastosowaniem łączników w wersjach: K-HV, K-BH, K-WO i K-WU w przypadku, gdy klasa betonu łączonych elementów jest równa C20/25 .....	42
<b>Tablica 17.</b>	Ilości i średnice prętów stalowych i stalowych elementów ściskanych oraz ilości siatkobetonowych elementów ściskanych łączników w wersjach: KXT-HV, KXT-BH, KXT-WO i KXT-WU .....	45
<b>Tablica 18.</b>	Maksymalne, obliczeniowe momenty zginające i siły poprzeczne przenoszone przez połączenia, wykonane z zastosowaniem łączników w wersjach: KXT-HV, KXT-BH, KXT-WO i KXT-WU w przypadku, gdy klasa betonu łączonych elementów jest równa C20/25 .....	46
<b>Tablica 19.</b>	Maksymalne, obliczeniowe momenty zginające i siły poprzeczne przenoszone przez połączenia, wykonane z zastosowaniem łączników w wersjach: KXT-HV, KXT-BH, KXT-WO i KXT-WU w przypadku, gdy klasa betonu łączonych elementów jest równa C25/30 .....	47
<b>Tablica 20.</b>	Ilości i średnice prętów stalowych łączników w wersji K-Eck.....	51
<b>Tablica 21.</b>	Maksymalne, obliczeniowe momenty zginające i siły poprzeczne przenoszone przez połączenia wykonane z zastosowaniem łączników w wersji K-Eck w przypadku, gdy klasa betonu łączonych elementów jest równa C20/25 .....	52
<b>Tablica 22.</b>	Ilości i średnice prętów stalowych łączników w wersji EXT .....	53
<b>Tablica 23.</b>	Maksymalne, obliczeniowe momenty zginające i siły poprzeczne przenoszone przez połączenia wykonane z zastosowaniem łączników w wersji K-EXT w przypadku, gdy klasa betonu łączonych elementów jest równa C20/25 .....	54
<b>Tablica 24.</b>	Ilości i średnice prętów stalowych i stalowych elementów ściskanych łączników w wersji D .....	57
<b>Tablica 25.</b>	Maksymalne, obliczeniowe momenty zginające i siły poprzeczne przenoszone przez połączenia, wykonane z zastosowaniem łączników w wersji D w przypadku, gdy klasa betonu łączonych elementów jest nie niższa niż C20/25 .....	58
<b>Tablica 26.</b>	Maksymalne, obliczeniowe momenty zginające i siły poprzeczne przenoszone przez połączenia, wykonane z zastosowaniem łączników w wersji D w przypadku, gdy klasa betonu łączonych elementów jest nie niższa niż C25/30 .....	59
<b>Tablica 27.</b>	Ilości i średnice prętów stalowych i stalowych elementów ściskanych łączników w wersji DXT .....	60
<b>Tablica 28.</b>	Maksymalne, obliczeniowe momenty zginające i siły poprzeczne przenoszone przez połączenia, wykonane z zastosowaniem łączników w wersji DXT w przypadku, gdy klasa betonu łączonych elementów jest nie niższa niż C20/25 .....	61



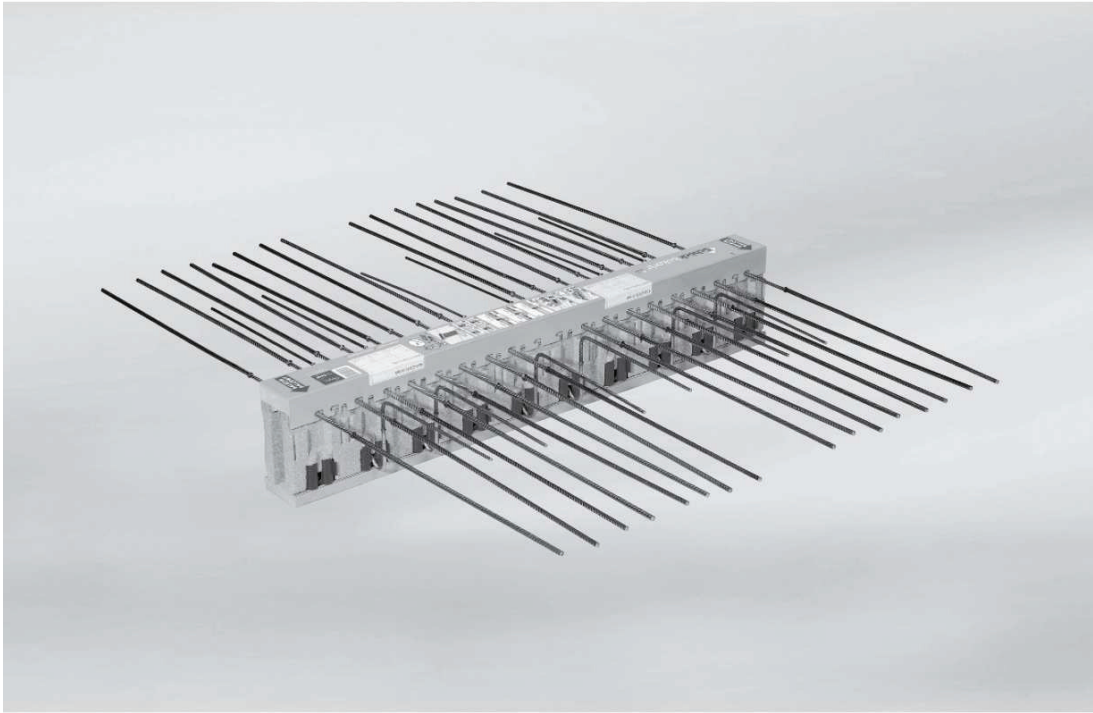
<b>Tablica 29.</b>	Maksymalne, obliczeniowe momenty zginające i siły poprzeczne przenoszone przez połączenia, wykonane z zastosowaniem łączników w wersji DXT w przypadku, gdy klasa betonu łączonych elementów jest nie niższa niż C25/30 .....	62
<b>Tablica 30.</b>	Ilości i średnice prętów stalowych i stalowych elementów ściskanych oraz ilości siatkobetonowych elementów ściskanych łączników wersji Q .....	69
<b>Tablica 31.</b>	Maksymalne, obliczeniowe siły poprzeczne przenoszone przez połączenia, wykonane z zastosowaniem łączników w wersji Q .....	69
<b>Tablica 32.</b>	Ilości i średnice prętów stalowych i stalowych elementów ściskanych oraz ilości siatkobetonowych elementów ściskanych łączników wersji Q-S i Q-M .....	70
<b>Tablica 33.</b>	Maksymalne, obliczeniowe siły poprzeczne przenoszone przez połączenia, wykonane z zastosowaniem łączników w wersji Q-S i Q-M .....	70
<b>Tablica 34.</b>	Ilości i średnice prętów stalowych i stalowych elementów ściskanych oraz ilości siatkobetonowych elementów ściskanych łączników wersji Q-S VV i Q-M VV .....	71
<b>Tablica 35.</b>	Maksymalne, obliczeniowe siły poprzeczne przenoszone przez połączenia, wykonane z zastosowaniem łączników w wersji Q-S VV i Q-M VV .....	71
<b>Tablica 36.</b>	Ilości i średnice prętów stalowych i stalowych elementów ściskanych oraz ilości siatkobetonowych elementów ściskanych łączników wersji QZ-S i QZ-M .....	72
<b>Tablica 37.</b>	Maksymalne, obliczeniowe siły poprzeczne przenoszone przez połączenia, wykonane z zastosowaniem łączników w wersji Q-S .....	72
<b>Tablica 38.</b>	Ilości i średnice prętów stalowych i stalowych elementów ściskanych oraz ilości siatkobetonowych elementów ściskanych łączników wersji QP .....	73
<b>Tablica 39.</b>	Maksymalne, obliczeniowe siły poprzeczne przenoszone przez połączenia, wykonane z zastosowaniem łączników w wersji QP-S, QP-M i QP-L .....	73
<b>Tablica 40.</b>	Ilości i średnice prętów stalowych i stalowych elementów ściskanych oraz ilości siatkobetonowych elementów ściskanych łączników wersji QP-S, QP-M i QP-L .....	74
<b>Tablica 41.</b>	Maksymalne, obliczeniowe siły poprzeczne przenoszone przez połączenia, wykonane z zastosowaniem łączników w wersji QP-S, QP-M i QP-L .....	74
<b>Tablica 42.</b>	Ilości i średnice prętów stalowych i stalowych elementów ściskanych oraz ilości siatkobetonowych elementów ściskanych łączników wersji QP-S VV, QP-M VV i QP-L VV .....	75
<b>Tablica 43.</b>	Maksymalne, obliczeniowe siły poprzeczne przenoszone przez połączenia, wykonane z zastosowaniem łączników w wersji QP-S VV, QP-M VV i QP-L VV .....	75
<b>Tablica 44.</b>	Ilości i średnice prętów stalowych łączników w wersji QPZ .....	76
<b>Tablica 45.</b>	Maksymalne, obliczeniowe siły poprzeczne przenoszone przez połączenia, wykonane z zastosowaniem łączników w wersji QPZ .....	76
<b>Tablica 46.</b>	Ilości i średnice prętów stalowych i stalowych elementów ściskanych oraz ilości siatkobetonowych elementów ściskanych łączników wersji QPZ-S, QPZ-M i QPZ-L .....	77
<b>Tablica 47.</b>	Maksymalne, obliczeniowe siły poprzeczne przenoszone przez połączenia, wykonane z zastosowaniem łączników w wersji QP-S, QP-M i QP-L .....	77
<b>Tablica 48.</b>	Ilości i średnice prętów stalowych i stalowych elementów ściskanych oraz ilości siatkobetonowych elementów ściskanych łączników wersji QXT .....	79

<b>Tablica 49.</b>	Maksymalne, obliczeniowe siły poprzeczne przenoszone przez połączenia, wykonane z zastosowaniem łączników w wersji QXT .....	79
<b>Tablica 50.</b>	Ilości i średnice prętów stalowych i stalowych elementów ściskanych oraz ilości siatkobetonowych elementów ściskanych łączników wersji QPXT .....	80
<b>Tablica 51.</b>	Maksymalne, obliczeniowe siły poprzeczne przenoszone przez połączenia, wykonane z zastosowaniem łączników w wersji QPXT .....	80
<b>Tablica 52.</b>	Ilości i średnice prętów stalowych łączników w wersji QPZXT .....	81
<b>Tablica 53.</b>	Maksymalne, obliczeniowe siły poprzeczne przenoszone przez połączenia, wykonane z zastosowaniem łączników w wersji QPZXT .....	81
<b>Tablica 54.</b>	Ilości i średnice prętów stalowych łączników w wersji HP .....	84
<b>Tablica 55.</b>	Maksymalne, obliczeniowe siły poziome przenoszone przez połączenia, wykonane z zastosowaniem łączników w wersji HP .....	84
<b>Tablica 56.</b>	Ilości i średnice prętów stalowych łączników w wersji HPXT .....	85
<b>Tablica 57.</b>	Maksymalne, obliczeniowe siły poziome przenoszone przez połączenia, wykonane z zastosowaniem łączników w wersji HPXT .....	85
<b>Tablica 58.</b>	Ilości i średnice prętów stalowych łączników w wersji V .....	88
<b>Tablica 59.</b>	Maksymalne, obliczeniowe siły poprzeczne przenoszone przez połączenia, wykonane z zastosowaniem łączników w wersji V .....	88
<b>Tablica 60.</b>	Ilości i średnice prętów stalowych łączników w wersji A .....	91
<b>Tablica 61.</b>	Maksymalne, obliczeniowe siły poprzeczne, podłużne i momenty zginające przenoszone przez połączenia, wykonane z zastosowaniem łączników w wersji A .....	91
<b>Tablica 62.</b>	Ilości i średnice prętów stalowych łączników w wersji AXT .....	92
<b>Tablica 63.</b>	Maksymalne, obliczeniowe siły poprzeczne, podłużne i momenty zginające przenoszone przez połączenia, wykonane z zastosowaniem łączników w wersji AXT1 .....	93
<b>Tablica 64.</b>	Maksymalne, obliczeniowe siły poprzeczne, podłużne i momenty zginające przenoszone przez połączenia, wykonane z zastosowaniem łączników w wersji AXT2 .....	93
<b>Tablica 65.</b>	Ilości i średnice prętów stalowych łączników w wersji F .....	95
<b>Tablica 66.</b>	Maksymalne, obliczeniowe siły poprzeczne, podłużne i momenty zginające przenoszone przez połączenia, wykonane z zastosowaniem łączników w wersji F w przypadku siły podłużnej, ściskającej .....	96
<b>Tablica 67.</b>	Maksymalne, obliczeniowe siły poprzeczne, podłużne i momenty zginające przenoszone przez połączenia, wykonane z zastosowaniem łączników w wersji F w przypadku siły podłużnej, rozciągającej .....	96
<b>Tablica 68.</b>	Ilości i średnice prętów stalowych łączników w wersji FXT .....	98
<b>Tablica 69.</b>	Maksymalne, obliczeniowe siły poprzeczne, podłużne i momenty zginające przenoszone przez połączenia, wykonane z zastosowaniem łączników w wersji FXT w przypadku siły podłużnej, ściskającej .....	98
<b>Tablica 70.</b>	Ilości i średnice prętów stalowych łączników w wersji O .....	101
<b>Tablica 71.</b>	Maksymalne, obliczeniowe siły pionowe i poziome przenoszone przez połączenia, wykonane z zastosowaniem łączników w wersji O .....	101
<b>Tablica 72.</b>	Ilości i średnice prętów stalowych łączników w wersji OXT .....	103

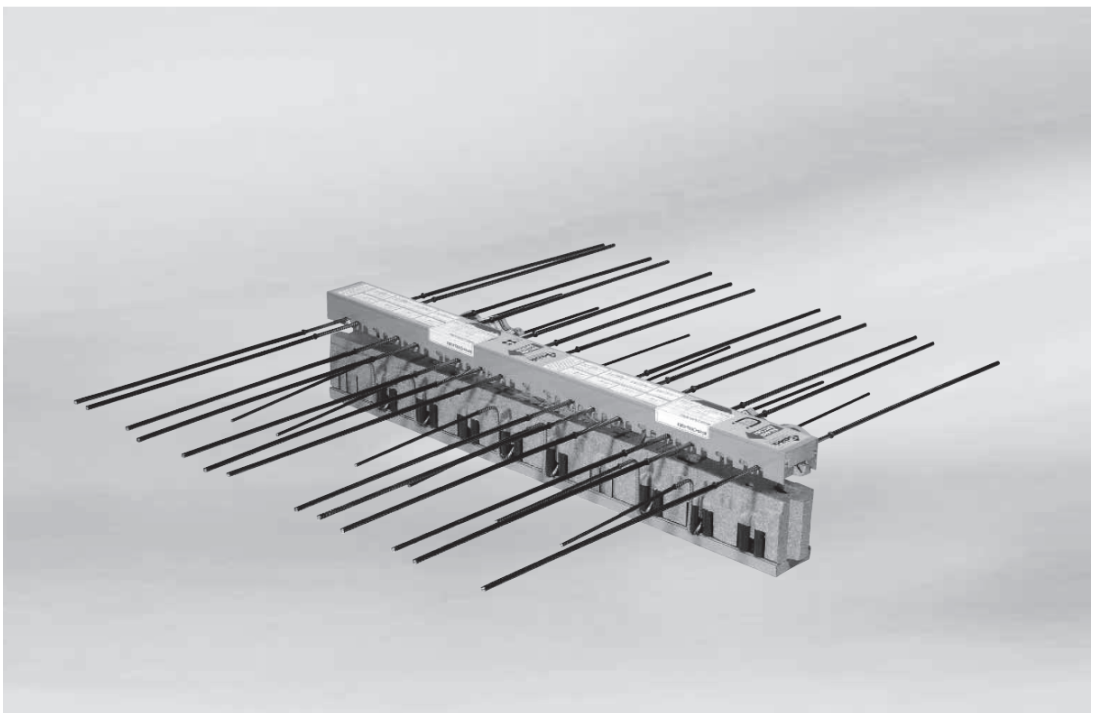
<b>Tablica 73.</b>	Maksymalne, obliczeniowe siły pionowe i poziome przenoszone przez połączenia, wykonane z zastosowaniem łączników w wersji OXT .....	103
<b>Tablica 74.</b>	Ilości i średnice prętów stalowych łączników w wersji EQ .....	104
<b>Tablica 75.</b>	Maksymalne, obliczeniowe siły poziome przenoszone przez połączenia, wykonane z zastosowaniem łączników w wersji EQ w przypadku, gdy klasa betonu łączonych elementów jest równa C20/25 .....	105
<b>Tablica 76.</b>	Maksymalne, obliczeniowe momenty zginające przenoszone przez połączenia wykonane z zastosowaniem łączników w wersji EQ w przypadku, gdy klasa betonu łączonych elementów jest równa C20/25.....	105
<b>Tablica 77.</b>	Ilości i średnice prętów stalowych łączników w wersji S .....	108
<b>Tablica 78.</b>	Maksymalne, obliczeniowe momenty zginające i siły poprzeczne przenoszone przez połączenia, wykonane z zastosowaniem łączników w wersji S w przypadku, gdy klasa betonu łączonych elementów jest równa C20/25 .....	108
<b>Tablica 79.</b>	Ilości i średnice prętów stalowych łączników w wersji W (szerokość elementu – 150-250 mm, wysokość elementu 1,5-3,5 m).....	112
<b>Tablica 80.</b>	Maksymalne, obliczeniowe momenty zginające i siły poprzeczne przenoszone przez połączenia, wykonane z zastosowaniem łączników w wersji W w przypadku, gdy klasa betonu łączonych elementów jest równa C20/25 .....	112
<b>Tablica 81.</b>	Ilości i średnice prętów stalowych i stalowych elementów ściskanych łączników w wersji KS (długość elementu – 180 mm, wysokość elementu 180-280 mm) .....	117
<b>Tablica 82.</b>	Maksymalne, obliczeniowe momenty zginające i siły poprzeczne przenoszone przez połączenia, wykonane z zastosowaniem łączników w wersji KS o oznaczeniu KS 14 .....	117
<b>Tablica 83.</b>	Ilość i średnice prętów stalowych i stalowych elementów ściskanych łączników w wersji QS (długość elementu – 180 mm, wysokość elementu 180-280 mm) .....	121
<b>Tablica 84.</b>	Maksymalne, obliczeniowe siły poprzeczne przenoszone przez połączenia, wykonane z zastosowaniem łączników w wersji QS.....	121
<b>Tablica 85.</b>	Maksymalne, obliczeniowe siły poprzeczne (pionowe i poziome) oraz podłużne (rozciągające i ściskające) przenoszone przez połączenia, wykonane z zastosowaniem łączników w wersji KST .....	126
<b>Tablica 86.</b>	Ilości i średnice prętów stalowych łączników w wersji RK (długość elementu – 1,0 m).....	128
<b>Tablica 87.</b>	Maksymalne, obliczeniowe momenty zginające i siły poprzeczne przenoszone przez połączenia, wykonane z zastosowaniem łączników w wersji RK w przypadku, gdy klasa betonu łączonych elementów jest równa C20/25 .....	128
<b>Tablica 88.</b>	Ilości i średnice prętów stalowych łączników w wersji RQP .....	130
<b>Tablica 89.</b>	Maksymalne, obliczeniowe momenty zginające i siły poprzeczne przenoszone przez połączenia, wykonane z zastosowaniem łączników w wersji RQP w przypadku, gdy klasa betonu łączonych elementów jest równa C20/25 .....	130
<b>Tablica 90.</b>	Ilości i średnice prętów stalowych łączników w wersji RQP+RQP .....	131

---

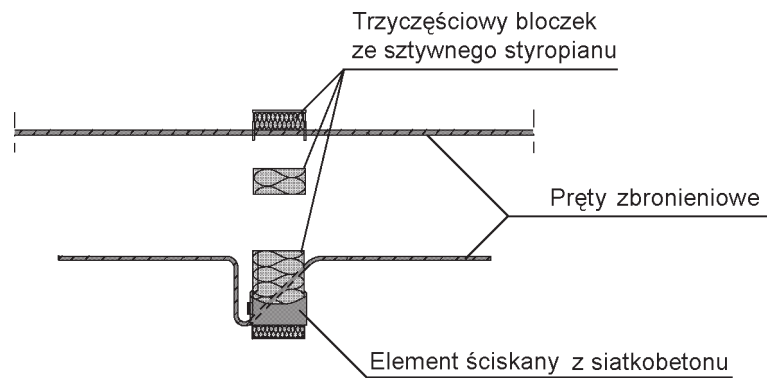
<b>Tablica 91.</b>	Maksymalne, obliczeniowe momenty zginające i siły poprzeczne przenoszone przez połączenia, wykonane z zastosowaniem łączników w wersji RQP+RQP w przypadku, gdy klasa betonu łączonych elementów jest równa C20/25 .....	131
<b>Tablica 92.</b>	Ilości i średnice prętów stalowych łączników w wersji RKS (długość elementu – 340 mm).....	133
<b>Tablica 93.</b>	Maksymalne, obliczeniowe momenty zginające i siły poprzeczne przenoszone przez połączenia, wykonane z zastosowaniem łączników w wersji RKS w przypadku, gdy klasa betonu łączonych elementów jest równa C20/25 .....	133
<b>Tablica 94.</b>	Ilości i średnice prętów stalowych łączników w wersji RKS (długość elementu – 340 mm).....	135
<b>Tablica 95.</b>	Maksymalne, obliczeniowe momenty zginające i siły poprzeczne przenoszone przez połączenia, wykonane z zastosowaniem łączników w wersji RKS w przypadku, gdy klasa betonu łączonych elementów jest równa C20/25 .....	135
<b>Tablica 96.</b>	Niszczące momenty zginające i siły poprzeczne połączeń wykonanych z zastosowaniem łączników odmian: K 20 i KS 14.....	136
<b>Tablica 97.</b>	Klasyfikacja w zakresie odporności ogniowej żelbetowych płyt balkonowych zamocowanych do budynku łącznikami SCHÖCK ISOKORB. Część I.....	137
<b>Tablica 98.</b>	Klasyfikacja w zakresie odporności ogniowej żelbetowych płyt balkonowych zamocowanych do budynku łącznikami SCHÖCK ISOKORB. Część II.....	138
<b>Tablica 99.</b>	Klasyfikacja w zakresie właściwości cieplnych łączników SCHÖCK ISOKORB o szerokości 80 mm i 60 mm .....	139
<b>Tablica 100.</b>	Klasyfikacja w zakresie właściwości cieplnych łączników SCHÖCK ISOKORB o szerokości 120 mm .....	191



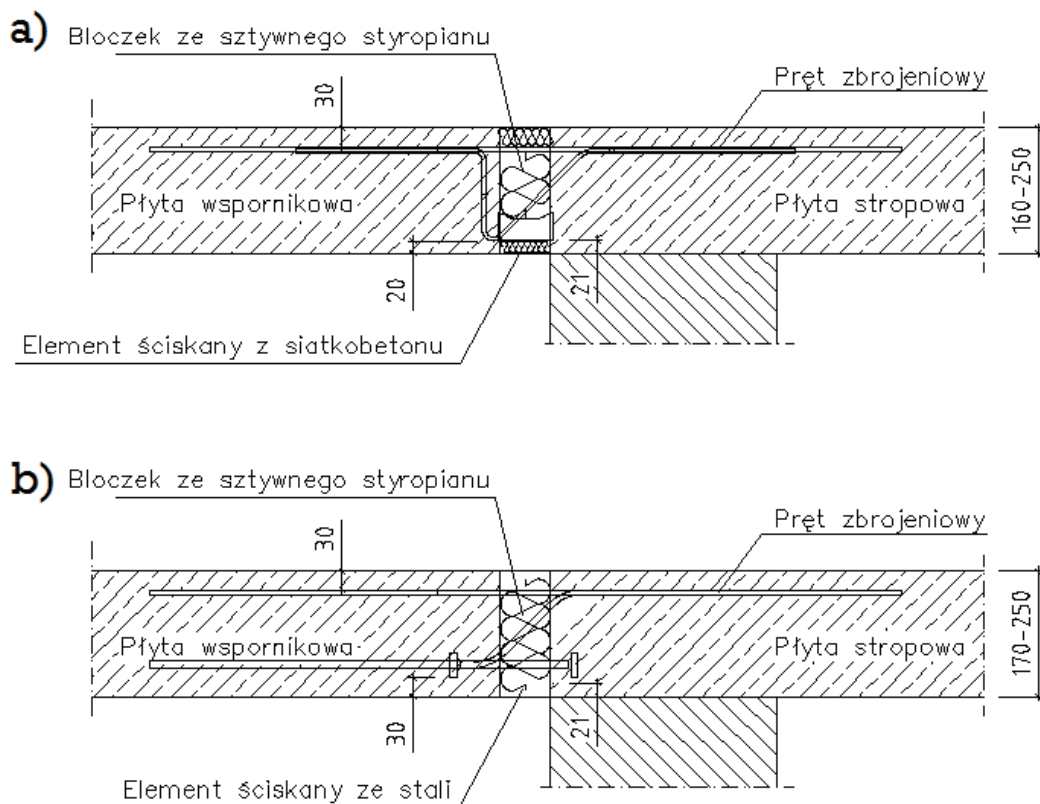
**Rysunek 1.** Łącznik w wersji K



**Rysunek 2.** Łącznik w wersji KF

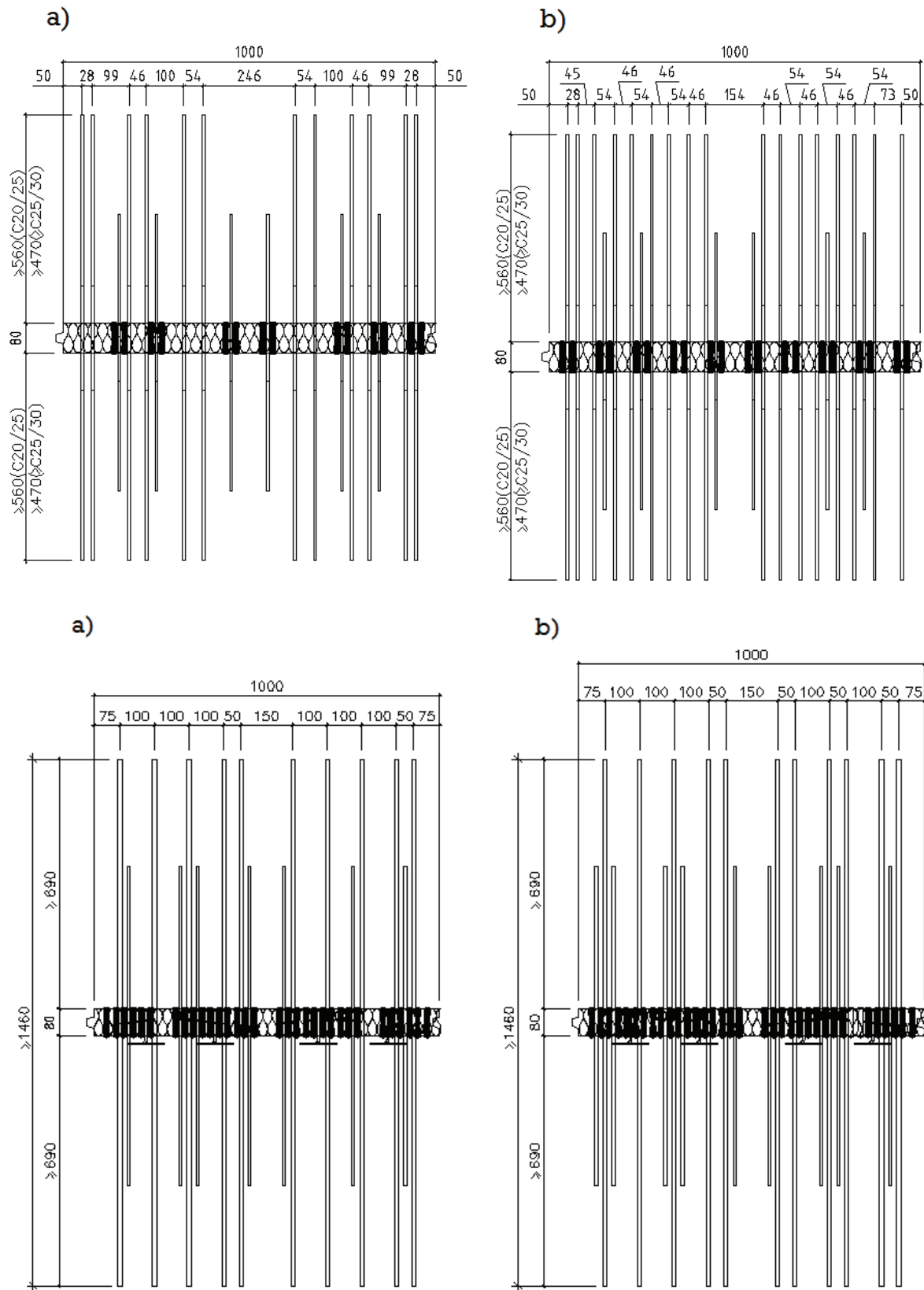


**Rysunek 3.** Przekrój łącznika w wersji KF



**Rysunek 4.** Połączenia wykonane z zastosowaniem łączników w wersji K (KF)

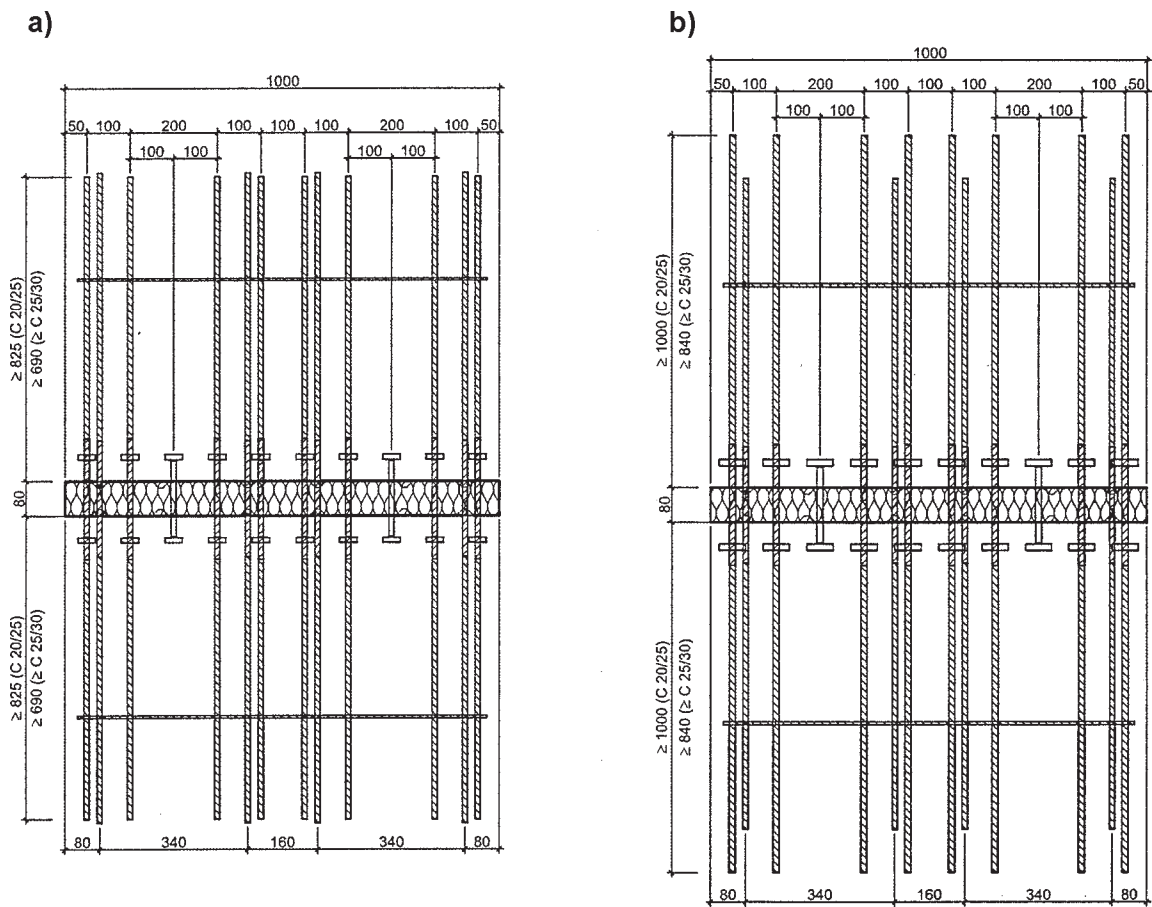
- a) z zastosowaniem łączników K 10 ÷ K 100 (KF 10 ÷ KF 100),
- b) z zastosowaniem łączników K 120 ÷ K 160 (KF 120 ÷ KF 160)



**Rysunek 5.** Łączniki w wersji K (KF). Część I

**a)** łącznik K 30 (KF 30), **b)** łącznik K 50 (KF 50)

**a)** łącznik K 60 (KF 60), **b)** łącznik K 80 (KF 80)



**Rysunek 5. Łączniki w wersji K (KF). Część II**  
**c) łącznik KF 120, d) łącznik KF 140**





**Tablica 2.** Maksymalne, obliczeniowe momenty zginające i siły poprzeczne przenoszone przez połączenia wykonane z zastosowaniem łączników w wersji K (KF) z siatkobetonowymi elementami ściskanymi w przypadku, gdy klasa betonu łączonych elementów jest równa C20/25

Otulina betonowa $c_v$ [mm]			Oznaczenie łącznika									
30	35	50	K10	K20	K30	K40	K50	K60	K70	K80	K90	K100
1	2	3	4	5	6	7	8	9	10	11	12	13
Grubość płyty żelbetowej [mm]			Maksymalny obliczeniowy moment zginający $m_{Rd}$ [kNm/m]									
	160		-7,3	-14,3	-20,0	-22,8	-28,6	-38,6	-41,2	-42,6	-46,4	-50,2
160		180	-7,7	-15,1	-21,2	-24,2	-30,3	-41,0	-43,8	-45,2	-49,2	-53,3
	170		-8,1	-16,0	-22,4	-25,6	-32,0	-43,4	-46,3	-47,9	-52,1	-56,4
170		190	-8,6	-16,9	-23,6	-27,0	-33,7	-45,8	-48,8	-50,5	-55,0	-59,4
	180		-9,0	-17,7	-24,8	-28,4	-35,4	-48,2	-51,4	-53,1	-57,8	-62,5
180		200	-9,4	-18,6	-26,0	-29,7	-37,2	-50,6	-53,9	-55,7	-60,7	-65,6
	190		-9,9	-19,4	-27,2	-31,1	-38,9	-53,0	-56,5	-58,4	-63,5	-68,7
190		210	-10,3	-20,3	-28,4	-32,5	-40,6	-55,3	-59,0	-61,0	-66,4	-71,8
	200		-10,8	-21,2	-29,6	-33,9	-42,3	-57,7	-61,6	-63,6	-69,3	-74,9
200		220	-11,2	-22,0	-30,8	-35,2	-44,0	-60,1	-64,1	-66,3	-72,1	-78,0
	210		-11,6	-22,9	-32,0	-36,6	-45,8	-62,5	-66,7	-68,9	-75,0	-81,1
210		230	-12,1	-23,7	-33,2	-38,0	-47,5	-64,9	-69,2	-71,5	-77,9	-84,2
	220		-12,5	-24,6	-34,4	-39,4	-49,2	-67,3	-71,7	-74,2	-80,7	-87,3
220		240	-12,9	-25,5	-35,6	-40,7	-50,9	-69,6	-74,3	-76,8	-83,6	-90,4
	230		-13,4	-26,3	-36,8	-42,1	-52,6	-72,0	-76,8	-79,4	-86,4	-93,5
230		250	-13,8	-27,2	-38,1	-43,5	-54,4	-74,4	-79,4	-82,0	-89,3	-96,6
	240		-14,3	-28,0	-39,3	-44,9	-56,1	-76,8	-81,9	-84,7	-92,2	-99,7
240			-14,7	-28,9	-40,5	-46,2	-57,8	-79,2	-84,5	-87,3	-95,0	-102,8
	250		-15,1	-29,8	-41,7	-47,6	-59,5	-81,6	-87,0	-89,9	-97,9	-105,9
250			-15,6	-30,6	-42,9	-49,0	-61,2	-84,0	-89,6	-92,6	-100,7	-109,0
Wariant wzmocnienia zbrojenia przenoszącego siłę poprzeczną			Maksymalna obliczeniowa siła poprzeczna $v_{Rd}$ [kN/m]									
V6 (standard)			+28,0	+28,0	+42,0	+42,0	+42,0	+42,0	+42,0	-	-	-
V8			+62,0	+62,0	+87,1	+87,1	+87,1	+87,1	+87,1	+87,1	+87,1	+87,1
V10			-	-	+112,0	+112,0	+112,0	+112,0	+112,0	+112,0	+112,0	+112,0
VV			-	-	-	+62,2/ -49,8	+62,2/ -49,8	+112,0/ -49,8	+112,0/ -49,8	+112,0/ -49,8	+112,0/ -49,8	+112,0/ -49,8

**Tablica 3.** Maksymalne, obliczeniowe momenty zginające i siły poprzeczne przenoszone przez połączenia wykonane z zastosowaniem łączników w wersji K (KF) z siatkobetonowymi elementami ściskanymi w przypadku, gdy klasa betonu łączonych elementów jest równa C25/30, a w przypadku łącznika K100 – C30/37

Otulina betonowa $c_v$ [mm]			Oznaczenie łącznika									
30	35	50	K10	K20	K30	K40	K50	K60	K70	K80	K90	K100
1	2	3	4	5	6	7	8	9	10	11	12	13
Grubość płyty żelbetowej [mm]			Maksymalny obliczeniowy moment zginający $m_{Rd}$ [kNm/m]									
	160		-7,3	-14,3	-20,0	-22,8	-28,6	-38,6	-41,2	-42,6	-46,4	-50,2
160		180	-7,7	-15,1	-21,2	-24,2	-30,3	-41,0	-43,8	-45,2	-49,2	-53,3
	170		-8,1	-16,0	-22,4	-25,6	-32,0	-43,4	-46,3	-47,9	-52,1	-56,4
170		190	-8,6	-16,9	-23,6	-27,0	-33,7	-45,8	-48,8	-50,5	-55,0	-59,4
	180		-9,0	-17,7	-24,8	-28,4	-35,4	-48,2	-51,4	-53,1	-57,8	-62,5
180		200	-9,4	-18,6	-26,0	-29,7	-37,2	-50,6	-53,9	-55,7	-60,7	-65,6
	190		-9,9	-19,4	-27,2	-31,1	-38,9	-53,0	-56,5	-58,4	-63,5	-68,7
190		210	-10,3	-20,3	-28,4	-32,5	-40,6	-55,3	-59,0	-61,0	-66,4	-71,8
	200		-10,8	-21,2	-29,6	-33,9	-42,3	-57,7	-61,6	-63,6	-69,3	-74,9
200		220	-11,2	-22,0	-30,8	-35,2	-44,0	-60,1	-64,1	-66,3	-72,1	-78,0
	210		-11,6	-22,9	-32,0	-36,6	-45,8	-62,5	-66,7	-68,9	-75,0	-81,1
210		230	-12,1	-23,7	-33,2	-38,0	-47,5	-64,9	-69,2	-71,5	-77,9	-84,2
	220		-12,5	-24,6	-34,4	-39,4	-49,2	-67,3	-71,7	-74,2	-80,7	-87,3
220		240	-12,9	-25,5	-35,6	-40,7	-50,9	-69,6	-74,3	-76,8	-83,6	-90,4
	230		-13,4	-26,3	-36,8	-42,1	-52,6	-72,0	-76,8	-79,4	-86,4	-93,5
230		250	-13,8	-27,2	-38,1	-43,5	-54,4	-74,4	-79,4	-82,0	-89,3	-96,6
	240		-14,3	-28,0	-39,3	-44,9	-56,1	-76,8	-81,9	-84,7	-92,2	-99,7
240			-14,7	-28,9	-40,5	-46,2	-57,8	-79,2	-84,5	-87,3	-95,0	-102,8
	250		-15,1	-29,8	-41,7	-47,6	-59,5	-81,6	-87,0	-89,9	-97,9	-105,9
250			-15,6	-30,6	-42,9	-49,0	-61,2	-84,0	-89,6	-92,6	-100,7	-109,0
Wariant wzmocnienia zbrojenia przenoszącego siłę poprzeczną			Maksymalna obliczeniowa siła poprzeczna $v_{Rd}$ [kN/m]									
V6 (standard)			+28,0	+28,0	+42,0	+42,0	+42,0	+42,0	+42,0	-	-	-
V8			+62,0	+62,0	+87,1	+87,1	+87,1	+87,1	+87,1	+87,1	+87,1	+87,1
V10			-	-	+112,0	+112,0	+112,0	+112,0	+112,0	+112,0	+112,0	+112,0
VV			-	-	-	+62,2/ -49,8	+62,2/ -49,8	+112,0/ -49,8	+112,0/ -49,8	+112,0/ -49,8	+112,0/ -49,8	+112,0/ -49,8

**Tablica 4.** Maksymalne, obliczeniowe momenty zginające i siły poprzeczne przenoszone przez połączenia wykonane z zastosowaniem łączników w wersji K (KF) ze stalowymi elementami ściskanymi w przypadku, gdy klasa betonu łączonych elementów jest równa C20/25

Poz.	Rodzaj obciążenia	Grubość płyty żelbetowej, mm	Oznaczenie łącznika		
			K 120	K 140	K 160
1	2	3	4	5	6
1	Maksymalny, obliczeniowy moment zginający $M_d$ , kNm	170	32,6	44,4	59,1
		180	36,4	49,8	66,3
		190	40,3	55,2	73,5
		200	44,2	60,5	80,7
		210	48,1	65,9	87,9
		220	51,9	71,2	95,1
		230	55,8	76,6	102,3
		240	59,7	81,9	109,5
		250	63,6	87,3	116,7
2	Maksymalna, obliczeniowa siła poprzeczna w wariacie V6 wzmocnienia zbrojenia przenoszącego siłę poprzeczną (tablica 1), $V_d$ , kN	–	138,8	138,8	138,8

**Tablica 5.** Ilości i średnice prętów stalowych i stalowych elementów ściskanych oraz ilości siatkobetonowych elementów ściskanych łączników wersji K-S, K-M i K-L

Poz.	Rodzaj pręta lub elementu ściskanego	Wariant wzmocnienia zbrojenia przenoszącego o siłę poprzeczną	Oznaczenie łącznika													
			K10S	K20S	K30S	K40S	K50S	K60S	K70M	K80M	K90M	K100M	K110L	K150L		
1	Długość elementu [m]	-	1,00	1,00	1,00	1,00	1,00	1,00	1,00	1,00	1,00	1,00	1,00	1,00	1,00	1,00
2	Pręty rozciągane	-	4Ø8	8Ø8	10Ø8	12Ø8	14Ø8	16Ø8	8Ø12	10Ø12	12Ø12	14Ø12	12Ø14	13Ø12		
3		V8	4Ø8	4Ø8	4Ø8	4Ø8	4Ø8	4Ø8	6Ø8	6Ø8	6Ø8	6Ø8	6Ø8	-		
4	Pręty przenoszące siły poprzeczne	V10	-	-	-	-	-	-	10Ø8	10Ø8	10Ø8	10Ø8	-	-		
5		V12	-	-	-	-	-	-	-	-	-	-	-	8Ø12		
6		VV	-	-	-	-	-	-	6Ø8 + 4Ø8	6Ø8 + 4Ø8	6Ø8 + 4Ø8	6Ø8 + 4Ø8	-	-		
7	Łożysko oporowe (szt.)	-	4	4	6	6	8	8	14	14	16	16	-	-		
8	Strzemiona specjalne	-	-	-	-	-	4	-	-	-	-	-	10Ø16	12Ø16		

**Tablica 6.** Maksymalne, obliczeniowe momenty zginające przenoszone przez połączenia wykonane z zastosowaniem łączników w wersji K-S i K-M z siatkobetonowymi elementami ściskanyymi w przypadku, gdy klasa betonu łączonych elementów jest równa C20/25

Otulina betonowa $c_v$ [mm]			Oznaczenie łącznika									
30	35	50	K10S	K20S	K30S	K40S	K50S	K60S	K70M	K80M	K90M	K100M
1	2	3	4	5	6	7	8	9	10	11	12	13
Grubość płyty żelbetowej [mm]			Maksymalny obliczeniowy moment zginający $m_{Rd}$ [kNm/m]									
	160		-7,3	-14,0	-18,1	-21,0	-25,4	-28,0	-31,9	-39,8	-45,4	-45,4
160		180	-7,7	-14,9	-19,2	-22,3	-26,9	-29,7	-33,8	-42,3	-48,2	-48,2
	170		-8,1	-15,7	-20,3	-23,6	-28,5	-31,4	-35,8	-44,7	-51,0	-51,0
170		190	-8,6	-16,6	-21,4	-24,8	-30,0	-33,1	-37,8	-47,2	-53,8	-53,8
	180		-9,0	-17,4	-22,5	-26,1	-31,5	-34,8	-39,7	-49,7	-56,6	-56,6
180		200	-9,4	-18,2	-23,6	-27,4	-33,0	-36,5	-41,7	-52,1	-59,4	-59,4
	190		-9,9	-19,1	-24,7	-28,6	-34,6	-38,2	-43,7	-54,6	-62,3	-62,3
190		210	-10,3	-19,9	-25,8	-29,9	-36,1	-39,9	-45,6	-57,0	-65,1	-65,1
	200		-10,8	-20,8	-26,9	-31,2	-37,6	-41,6	-47,6	-59,5	-67,9	-67,9
200		220	-11,2	-21,6	-28,0	-32,4	-39,2	-43,2	-49,6	-62,0	-70,7	-70,7
	210		-11,6	-22,5	-29,1	-33,7	-40,7	-44,9	-51,5	-64,4	-73,5	-73,5
210		230	-12,1	-23,3	-30,2	-35,0	-42,2	-46,6	-53,5	-66,9	-76,3	-76,3
	220		-12,5	-24,2	-31,3	-36,2	-43,8	-48,3	-55,5	-69,3	-79,1	-79,1
220		240	-12,9	-25,0	-32,3	-37,5	-45,3	-50,0	-57,4	-71,8	-81,9	-81,9
	230		-13,4	-25,8	-33,4	-38,8	-46,8	-51,7	-59,4	-74,3	-84,7	-84,7
230		250	-13,8	-26,7	-34,5	-40,0	-48,3	-53,4	-61,4	-76,7	-87,5	-87,5
	240		-14,2	-27,5	-35,6	-41,3	-49,9	-55,1	-63,3	-79,2	-90,3	-90,3
240		260	-14,7	-28,4	-36,7	-42,6	-51,4	-56,8	-65,3	-81,6	-93,1	-93,1
	250		-15,1	-29,2	-37,8	-43,8	-52,9	-58,4	-67,3	-84,1	-95,9	-95,9
250		270	-15,6	-30,1	-38,9	-45,1	-54,5	-60,1	-69,2	-86,5	-98,7	-98,7
	260		-16,0	-30,9	-40,0	-46,4	-56,0	-61,8	-71,2	-89,0	-101,5	-101,5
260		280	-16,4	-31,8	-41,1	-47,6	-57,5	-63,5	-73,2	-91,5	-104,3	-104,3
	270		-16,9	-32,6	-42,2	-48,9	-59,1	-65,2	-75,1	-93,9	-107,1	-107,1
270		290	-17,3	-33,4	-43,3	-50,2	-60,6	-66,9	-77,1	-96,4	-109,9	-109,9
	280		-17,7	-34,3	-44,4	-51,4	-62,1	-68,6	-79,1	-98,8	-112,7	-112,7
280		300	-18,2	-35,1	-45,5	-52,7	-63,6	-70,3	-81,0	-101,3	-115,5	-115,5
	290		-18,6	-36,0	-46,6	-54,0	-65,2	-72,0	-83,0	-103,8	-118,3	-118,3
290			-19,1	-36,8	-47,6	-55,2	-66,7	-73,7	-85,0	-106,2	-121,1	-121,1
	300		-19,5	-37,7	-48,7	-56,5	-68,2	-75,3	-86,9	-108,7	-123,9	-123,9
300			-19,9	-38,5	-49,8	-57,8	-69,8	-77,0	-88,9	-111,1	-126,7	-126,7

**Tablica 7.** Maksymalne, obliczeniowe momenty zginające przenoszone przez połączenia wykonane z zastosowaniem łączników w wersji K-S i K-M z siatkobetonowymi elementami ściskanyymi w przypadku, gdy klasa betonu łączonych elementów jest równa C25/30

Otulina betonowa $c_v$ [mm]			Oznaczenie łącznika									
30	35	50	K10S	K20S	K30S	K40S	K50S	K60S	K70M	K80M	K90M	K100M
1	2	3	4	5	6	7	8	9	10	11	12	13
Grubość płyty żelbetowej [mm]			Maksymalny obliczeniowy moment zginający $m_{Rd}$ [kNm/m]									
	160		-7,3	-14,5	-18,1	-21,8	-25,4	-29,0	-31,9	-39,8	-47,8	-55,8
160		180	-7,7	-15,4	-19,2	-23,1	-26,9	-30,8	-33,8	-42,3	-50,7	-59,2
	170		-8,1	-16,3	-20,3	-24,4	-28,5	-32,5	-35,8	-44,7	-53,7	-62,6
170		190	-8,6	-17,1	-21,4	-25,7	-30,0	-34,3	-37,8	-47,2	-56,6	-66,1
	180		-9,0	-18,0	-22,5	-27,0	-31,5	-36,0	-39,7	-49,7	-59,6	-69,5
180		200	-9,4	-18,9	-23,6	-28,3	-33,0	-37,8	-41,7	-52,1	-62,5	-73,0
	190		-9,9	-19,8	-24,7	-29,6	-34,6	-39,5	-43,7	-54,6	-65,5	-76,4
190		210	-10,3	-20,6	-25,8	-30,9	-36,1	-41,3	-45,6	-57,0	-68,4	-79,9
	200		-10,8	-21,5	-26,9	-32,3	-37,6	-43,0	-47,6	-59,5	-71,4	-83,3
200		220	-11,2	-22,4	-28,0	-33,6	-39,2	-44,8	-49,6	-62,0	-74,3	-86,7
	210		-11,6	-23,3	-29,1	-34,9	-40,7	-46,5	-51,5	-64,4	-77,3	-90,2
210		230	-12,1	-24,1	-30,2	-36,2	-42,2	-48,3	-53,5	-66,9	-80,2	-93,6
	220		-12,5	-25,0	-31,3	-37,5	-43,8	-50,0	-55,5	-69,3	-83,2	-97,1
220		240	-12,9	-25,9	-32,3	-38,8	-45,3	-51,8	-57,4	-71,8	-86,2	-100,5
	230		-13,4	-26,7	-33,4	-40,1	-46,8	-53,5	-59,4	-74,3	-89,1	-104,0
230		250	-13,8	-27,6	-34,5	-41,4	-48,3	-55,2	-61,4	-76,7	-92,1	-107,4
	240		-14,2	-28,5	-35,6	-42,7	-49,9	-57,0	-63,3	-79,2	-95,0	-110,8
240		260	-14,7	-29,4	-36,7	-44,1	-51,4	-58,7	-65,3	-81,6	-98,0	-114,3
	250		-15,1	-30,2	-37,8	-45,4	-52,9	-60,5	-67,3	-84,1	-100,9	-117,7
250		270	-15,6	-31,1	-38,9	-46,7	-54,5	-62,2	-69,2	-86,5	-103,9	-121,2
	260		-16,0	-32,0	-40,0	-48,0	-56,0	-64,0	-71,2	-89,0	-106,8	-124,6
260		280	-16,4	-32,9	-41,1	-49,3	-57,5	-65,7	-73,2	-91,5	-109,8	-128,0
	270		-16,9	-33,7	-42,2	-50,6	-59,1	-67,5	-75,1	-93,9	-112,7	-131,5
270		290	-17,3	-34,6	-43,3	-51,9	-60,6	-69,2	-77,1	-96,4	-115,7	-134,9
	280		-17,7	-35,5	-44,4	-53,2	-62,1	-71,0	-79,1	-98,8	-118,6	-138,4
280		300	-18,2	-36,4	-45,5	-54,5	-63,6	-72,7	-81,0	-101,3	-121,6	-141,8
	290		-18,6	-37,2	-46,6	-55,9	-65,2	-74,5	-83,0	-103,8	-124,5	-145,3
290			-19,1	-38,1	-47,6	-57,2	-66,7	-76,2	-85,0	-106,2	-127,5	-148,7
	300		-19,5	-39,0	-48,7	-58,5	-68,2	-78,0	-86,9	-108,7	-130,4	-152,1
300			-19,9	-39,9	-49,8	-59,8	-69,8	-79,7	-88,9	-111,1	-133,4	-155,6

**Tablica 8.** Maksymalne, obliczeniowe momenty zginające przenoszone przez połączenia wykonane z zastosowaniem łączników w wersji K-S i K-M z siatkobetonowymi elementami ściskanyymi w przypadku, gdy klasa betonu łączonych elementów jest równa C30/37

Otulina betonowa $c_v$ [mm]			Oznaczenie łącznika									
30	35	50	K10S	K20S	K30S	K40S	K50S	K60S	K70M	K80M	K90M	K100M
1	2	3	4	5	6	7	8	9	10	11	12	13
Grubość płyty żelbetowej [mm]			Maksymalny obliczeniowy moment zginający $m_{Rd}$ [kNm/m]									
	160		-7,7	-15,4	-19,2	-23,1	-26,9	-30,8	-33,8	-42,3	-50,7	-59,2
160		180	-8,1	-16,3	-20,3	-24,4	-28,5	-32,5	-35,8	-44,7	-53,7	-62,6
	170		-8,6	-17,1	-21,4	-25,7	-30,0	-34,3	-37,8	-47,2	-56,6	-66,1
170		190	-9,0	-18,0	-22,5	-27,0	-31,5	-36,0	-39,7	-49,7	-59,6	-69,5
	180		-9,4	-18,9	-23,6	-28,3	-33,0	-37,8	-41,7	-52,1	-62,5	-73,0
180		200	-9,9	-19,8	-24,7	-29,6	-34,6	-39,5	-43,7	-54,6	-65,5	-76,4
	190		-10,3	-20,6	-25,8	-30,9	-36,1	-41,3	-45,6	-57,0	-68,4	-79,9
190		210	-10,8	-21,5	-26,9	-32,3	-37,6	-43,0	-47,6	-59,5	-71,4	-83,3
	200		-11,2	-22,4	-28,0	-33,6	-39,2	-44,8	-49,6	-62,0	-74,3	-86,7
200		220	-11,6	-23,3	-29,1	-34,9	-40,7	-46,5	-51,5	-64,4	-77,3	-90,2
	210		-12,1	-24,1	-30,2	-36,2	-42,2	-48,3	-53,5	-66,9	-80,2	-93,6
210		230	-12,5	-25,0	-31,3	-37,5	-43,8	-50,0	-55,5	-69,3	-83,2	-97,1
	220		-12,9	-25,9	-32,3	-38,8	-45,3	-51,8	-57,4	-71,8	-86,2	-100,5
220		240	-13,4	-26,7	-33,4	-40,1	-46,8	-53,5	-59,4	-74,3	-89,1	-104,0
	230		-13,8	-27,6	-34,5	-41,4	-48,3	-55,2	-61,4	-76,7	-92,1	-107,4
230		250	-14,2	-28,5	-35,6	-42,7	-49,9	-57,0	-63,3	-79,2	-95,0	-110,8
	240		-14,7	-29,4	-36,7	-44,1	-51,4	-58,7	-65,3	-81,6	-98,0	-114,3
240		260	-15,1	-30,2	-37,8	-45,4	-52,9	-60,5	-67,3	-84,1	-100,9	-117,7
	250		-15,6	-31,1	-38,9	-46,7	-54,5	-62,2	-69,2	-86,5	-103,9	-121,2
250		270	-16,0	-32,0	-40,0	-48,0	-56,0	-64,0	-71,2	-89,0	-106,8	-124,6
	260		-16,4	-32,9	-41,1	-49,3	-57,5	-65,7	-73,2	-91,5	-109,8	-128,0
260		280	-16,9	-33,7	-42,2	-50,6	-59,1	-67,5	-75,1	-93,9	-112,7	-131,5
	270		-17,3	-34,6	-43,3	-51,9	-60,6	-69,2	-77,1	-96,4	-115,7	-134,9
270		290	-17,7	-35,5	-44,4	-53,2	-62,1	-71,0	-79,1	-98,8	-118,6	-138,4
	280		-18,2	-36,4	-45,5	-54,5	-63,6	-72,7	-81,0	-101,3	-121,6	-141,8
280		300	-18,6	-37,2	-46,6	-55,9	-65,2	-74,5	-83,0	-103,8	-124,5	-145,3
	290		-19,1	-38,1	-47,6	-57,2	-66,7	-76,2	-85,0	-106,2	-127,5	-148,7
290			-19,5	-39,0	-48,7	-58,5	-68,2	-78,0	-86,9	-108,7	-130,4	-152,1
	300		-19,9	-39,9	-49,8	-59,8	-69,8	-79,7	-88,9	-111,1	-133,4	-155,6
300			-7,7	-15,4	-19,2	-23,1	-26,9	-30,8	-33,8	-42,3	-50,7	-59,2



**Tablica 9.** Maksymalne, obliczeniowe momenty zginające przenoszone przez połączenia wykonane z zastosowaniem łączników w wersji K-S, K-M i K-L z siatkobetonowymi elementami ściskanymi w przypadku, gdy klasa betonu łączonych elementów jest równa C20/25, C25/30 lub C30/37

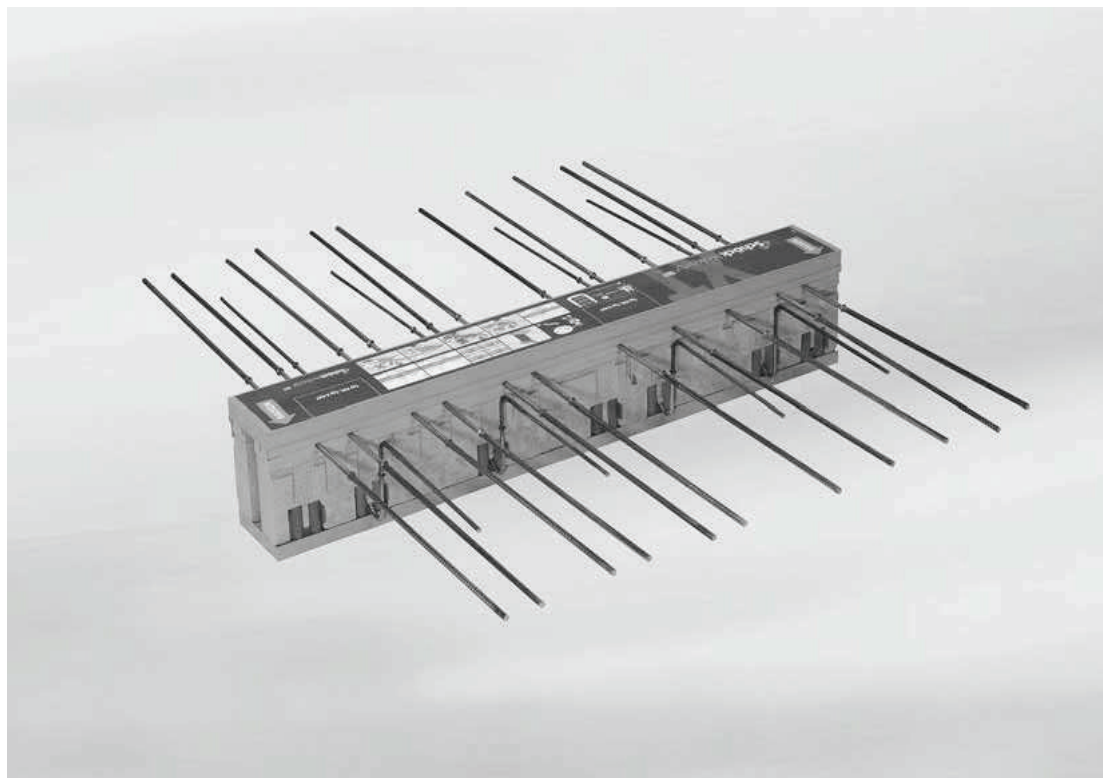
Otulina betonowa $c_v$ [mm]			Oznaczenie łącznika					
30	35	50	K110L	K150L	K110L	K150L	K110L	K150L
1	2	3	4	5	6	7	8	9
Grubość płyty żelbetowej [mm]			Maksymalny obliczeniowy moment zginający $m_{Rd}$ [kNm/m]					
			C20/25		C25/30		C30/37	
	160		-53,0	-62,6	-53,0	-72,7	-53,0	-80,7
160		180	-57,2	-66,6	-57,2	-77,2	-57,2	-85,8
	170		-61,4	-70,5	-61,4	-81,8	-61,4	-90,8
170		190	-65,6	-74,4	-65,6	-86,3	-65,6	-95,9
	180		-69,8	-78,3	-69,8	-90,9	-69,8	-100,9
180		200	-74,0	-82,2	-74,0	-95,4	-74,0	-105,9
	190		-78,2	-86,1	-78,2	-99,9	-78,2	-111,0
190		210	82,4	-90,0	-82,4	-104,5	-82,4	-116,0
	200		-86,6	-94,0	-86,6	-109,0	-86,6	-121,1
200		220	-90,8	-97,9	-90,8	-113,6	-90,8	-126,1
	210		-95,0	-101,8	-95,0	-118,1	-95,0	-131,2
210		230	-99,2	-105,7	-99,2	-122,7	-99,2	-136,2
	220		-103,4	-109,6	-103,4	-127,2	-103,4	-141,3
220		240	-107,6	-113,5	-107,6	-131,7	-107,6	-146,3
	230		-111,8	-117,5	-111,8	-136,3	-111,8	-151,3
230		250	-116,0	-121,4	-116,0	-140,8	-116,0	-156,4
	240		-120,2	-125,3	-120,2	-145,4	-120,2	-161,4
240		260	-124,4	-129,2	-124,4	-149,9	-124,4	-166,5
	250		-128,6	-133,1	-128,6	-154,5	-128,6	-171,5
250		270	-132,8	-137,0	-132,8	-159,0	-132,8	-176,6
	260		-137,1	-140,9	-137,1	-163,6	-137,1	-181,6
260		280	-141,3	-144,9	-141,3	-168,1	-141,3	-186,7
	270		-145,5	-148,8	-145,5	-172,6	-145,5	-191,7
270		290	-149,7	-152,7	-149,7	-177,2	-149,7	-196,7
	280		-153,9	-156,6	-153,9	-181,7	-153,9	-201,8
280		300	-158,1	-160,5	-158,1	-186,3	-158,1	-206,8
	290		-162,3	-164,4	-162,3	-190,8	-162,3	-211,9
290			-166,5	-168,3	-166,5	-195,4	-166,5	-216,9
	300		-170,7	-172,3	-170,7	-199,9	-170,7	-222,0
300			-174,9	-176,2	-174,9	-204,4	-174,9	-227,0

**Tablica 10.** Maksymalne, obliczeniowe siły poprzeczne przenoszone przez połączenia wykonane z zastosowaniem łączników w wersji K-S i K-M z siatkobetonowymi elementami ściskanymi w przypadku, gdy klasa betonu łączonych elementów jest równa C20/25, C25/30 lub C30/37

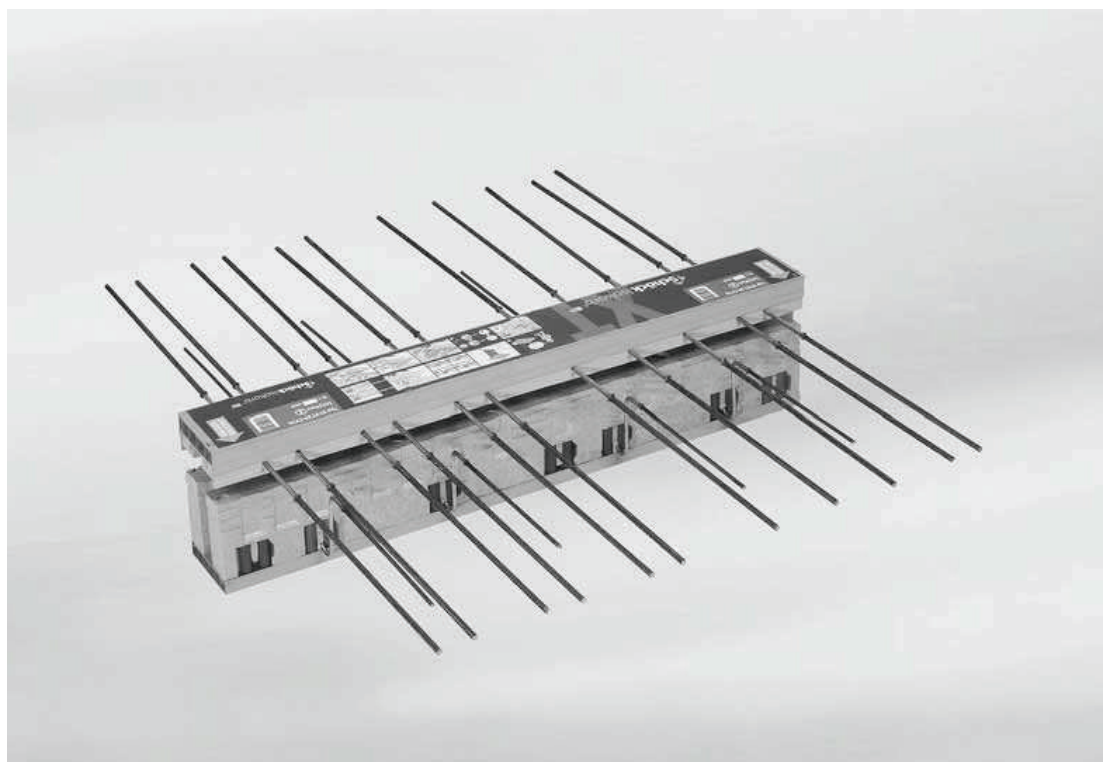
	Oznaczenie łącznika									
	K10S	K20S	K30S	K40S	K50S	K60S	K70M	K80M	K90M	K100M
1	2	3	4	5	6	7	8	9	10	11
Wariant wzmocnienia zbrojenia przenoszącego siłę poprzeczną	Maksymalna obliczeniowa siła poprzeczna $v_{Rd}$ [kN/m]									
	C20/25									
V8 (standard)	+54,4	+54,4	+54,4	+54,4	+54,4	+54,4	+81,7	+81,7	+81,7	+81,7
V10	-	-	-	-	-	-	+154,5	+154,5	+154,5	+154,5
V12	-	-	-	-	-	-	-	-	-	-
VV	-	-	-	-	-	-	+81,7/ -61,8	+81,7/ -61,8	+81,7/ -61,8	+81,7/ -61,8
	C25/30 lub C30/37									
V8 (standard)	+61,8	+61,8	+61,8	+61,8	+61,8	+61,8	+92,7	+92,7	+92,7	+92,7
V10	-	-	-	-	-	-	+154,5	+154,5	+154,5	+154,5
V12	-	-	-	-	-	-	-	-	-	-
VV	-	-	-	-	-	-	+92,7/ -61,8	+92,7/ -61,8	+92,7/ -61,8	+92,7/ -61,8

**Tablica 11.** Maksymalne, obliczeniowe siły poprzeczne przenoszone przez połączenia wykonane z zastosowaniem łączników w wersji K-L z siatkobetonowymi elementami ściskanymi w przypadku, gdy klasa betonu łączonych elementów jest równa C20/25, C25/30 lub C30/37

Wariant wzmocnienia zbrojenia przenoszącego siłę poprzeczną	Oznaczenie łącznika			
	K110L	K150L	K110L	K150L
1	2	3	4	5
Grubość płyty żelbetowej [mm]	Maksymalny obliczeniowy moment zginający $m_{Rd}$ [kNm/m]			
	C20/25		C25/30 lub C30/37	
V8 (standard)	+120,4	-	+123,6	-
V10	-	-	-	-
V12	-	+278,2	-	+278,2
VV	-	-	-	-



**Rysunek 6.** Łączniki w wersji KXT



**Rysunek 7.** Łączniki w wersji KFXT

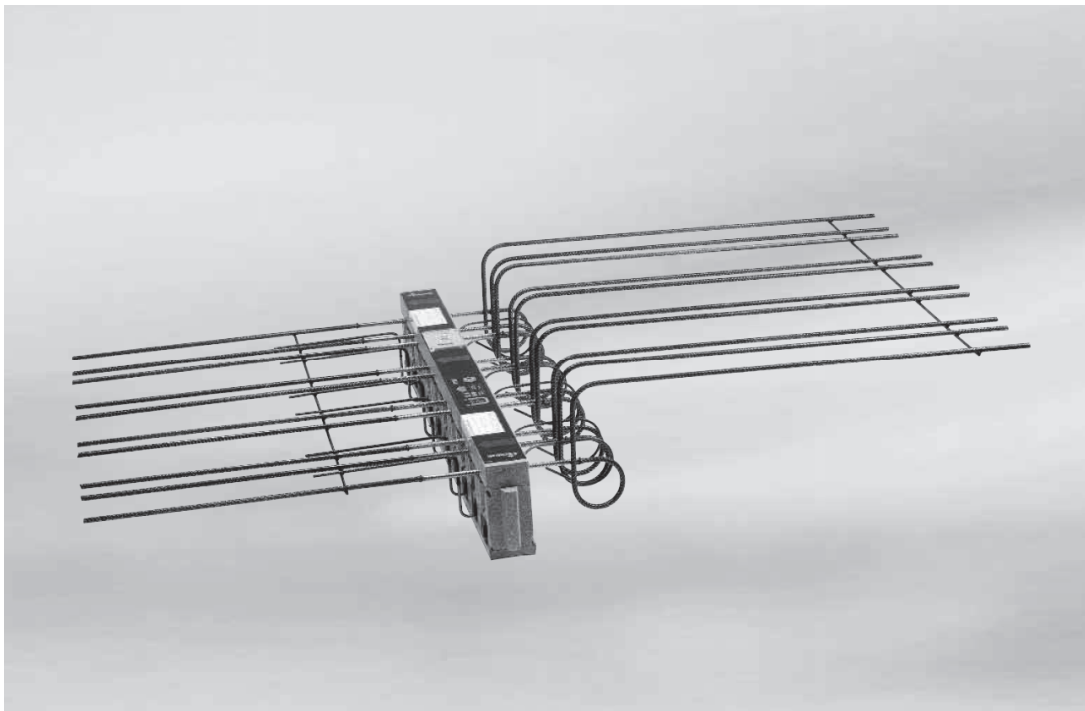


**Tablica 13.** Maksymalne, obliczeniowe momenty zginające i siły poprzeczne przenoszone przez połączenia, wykonane z zastosowaniem łączników w wersji KXT (KFXT) z siatkobetonowymi elementami ściskаныmi w przypadku, gdy klasa betonu łączonych elementów jest równa C20/25

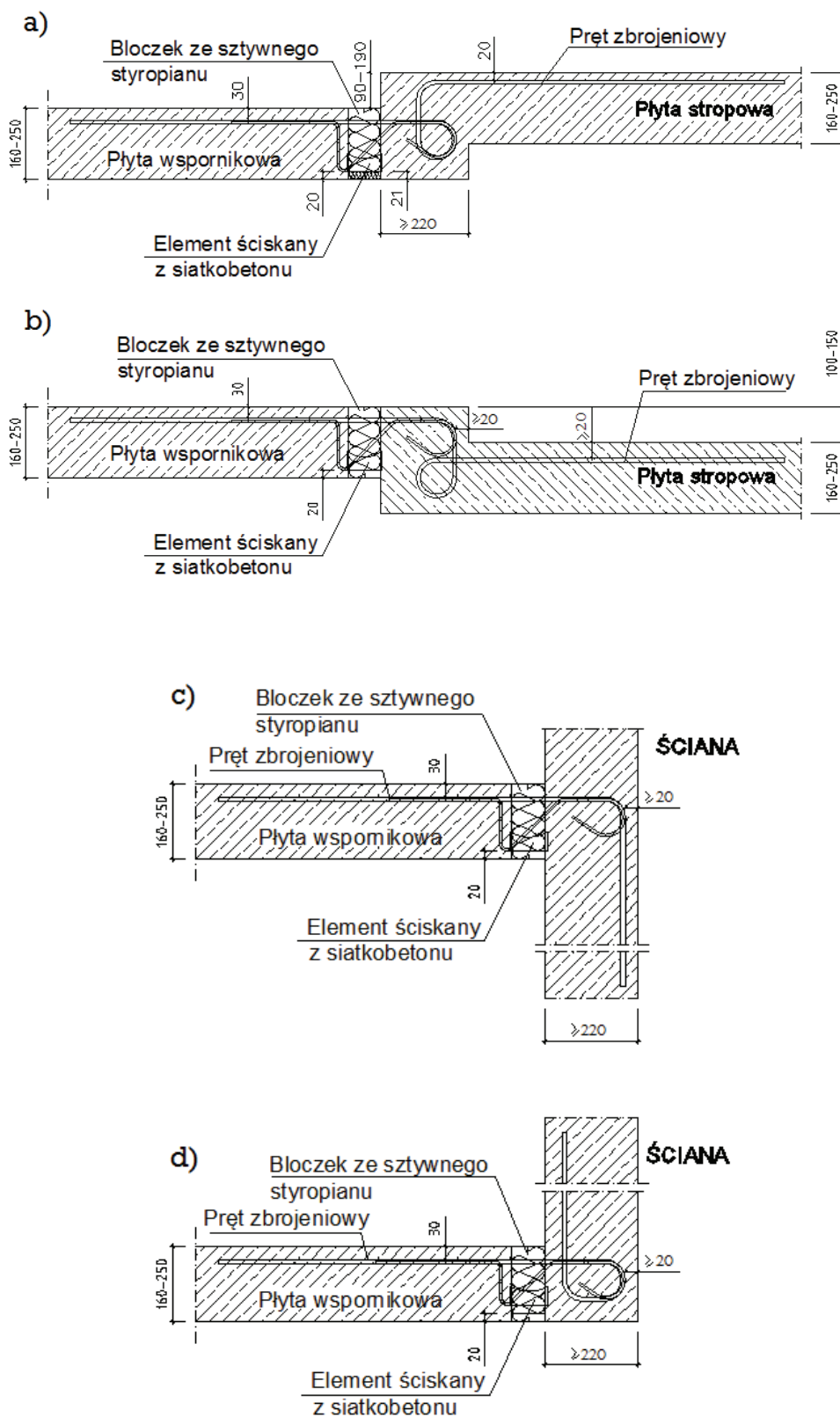
Otulina betonowa $c_v$ [mm]		Oznaczenie łącznika									
30	50	KXT10	KXT20	KXT30	KXT40	KXT50	KXT60	KXT70	KXT80	KXT90	KXT100
1	2	3	4	5	6	7	8	9	10	11	12
Grubość płyty żelbetowej [mm]		Maksymalny obliczeniowy moment zginający $m_{Rd}$ [kNm/m]									
160		-6,2	-12,4	-17,0	-20,1	-24,7	-28,9	-31,0	-35,1	-37,2	-37,2
	180	-6,6	-13,1	-18,0	-21,3	-26,2	-30,7	-32,9	-37,3	-39,5	-39,5
170		-6,9	-13,9	-19,1	-22,5	-27,7	-32,5	-34,8	-39,5	-41,8	-41,8
	190	-7,3	-14,6	-20,1	-23,7	-29,2	-34,3	-36,7	-41,6	-44,1	-44,1
180		-7,7	-15,3	-21,1	-24,9	-30,7	-36,1	-38,6	-43,8	-46,4	-46,4
	200	-8,0	-16,1	-22,1	-26,1	-32,2	-37,8	-40,6	-46,0	-48,7	-48,7
190		-8,4	-16,8	-23,1	-27,4	-33,7	-39,6	-42,5	-48,1	-51,0	-51,0
	210	-8,8	-17,6	-24,2	-28,6	-35,2	-41,4	-44,4	-50,3	-53,2	-53,2
200		-9,2	-18,3	-25,2	-29,8	-36,6	-43,2	-46,3	-52,5	-55,5	-55,5
	220	-9,5	-19,1	-26,2	-31,0	-38,1	-45,0	-48,2	-54,6	-57,8	-57,8
210		-9,9	-19,8	-27,2	-32,2	-39,6	-46,8	-50,1	-56,8	-60,1	-60,1
	230	-10,3	-20,6	-28,3	-33,4	-41,1	-48,6	-52,0	-59,0	-62,4	-62,4
220		-10,7	-21,3	-29,3	-34,6	-42,6	-50,3	-53,9	-61,1	-64,7	-64,7
	240	-11,0	-22,0	-30,3	-35,8	-44,1	-52,1	-55,9	-63,3	-67,0	-67,0
230		-11,4	-22,8	-31,3	-37,0	-45,6	-53,9	-57,8	-65,5	-69,3	-69,3
	250	-11,8	-23,5	-32,4	-38,2	-47,1	-55,7	-59,7	-67,6	-71,6	-71,6
240		-12,1	-24,5	-33,4	-39,5	-48,6	-57,5	-61,6	-69,8	-73,9	-73,9
250		-12,9	-25,8	-35,4	-41,9	-51,5	-61,1	-65,4	-74,1	-78,5	-78,5
Wariant wzmocnienia zbrojenia przenoszącego siłę poprzeczną		Maksymalna obliczeniowa siła poprzeczna $v_{Rd}$ [kN/m]									
V6 (standard)		24,0	24,0	24,0	30,0	30,0	-	-	-	-	-
V8		42,7	42,7	53,4	53,4	53,4	74,8	74,8	85,4	96,1	96,1
V10		-	-	-	-	-	96,1	96,1	96,1	106,8	106,8
VV		-	-	+42,7/ -42,7	+42,7/ -42,7	+42,7/ -42,7	+74,8/ -42,7	-	-	-	-

**Tablica 14.** Maksymalne, obliczeniowe momenty zginające i siły poprzeczne przenoszone przez połączenia, wykonane z zastosowaniem łączników w wersji KXT (KFXT) z siatkobetonowymi elementami ściskanymi w przypadku, gdy klasa betonu łączonych elementów jest równa C25/30, a w przypadku łącznika K100 – C30/37

Otulina betonowa $c_v$ [mm]		Oznaczenie łącznika									
30	50	KXT10	KXT20	KXT30	KXT40	KXT50	KXT60	KXT70	KXT80	KXT90	KXT100
1	2	3	4	5	6	7	8	9	10	11	12
Grubość płyty żelbetowej [mm]		Maksymalny obliczeniowy moment zginający $m_{Rd}$ [kNm/m]									
160		-7,3	-14,3	-20,0	-22,8	-28,6	-34,9	-38,6	-42,6	-46,4	-50,2
	180	-7,7	-15,1	-21,2	-24,2	-30,3	-37,0	-41,0	-45,2	-49,2	-53,3
170		-8,1	-16,0	-22,4	-25,6	-32,0	-39,2	-43,4	-47,9	-52,1	-56,4
	190	-8,6	-16,9	-23,6	-27,0	-33,7	-41,3	-45,8	-50,5	-55,0	-59,4
180		-9,0	-17,7	-24,8	-28,4	-35,4	-43,5	-48,2	-53,1	-57,8	-62,5
	200	-9,4	-18,6	-26,0	-29,7	-37,2	-45,6	-50,6	-55,7	-60,7	-65,0
190		-9,9	-19,4	-27,2	-31,1	-38,9	-47,8	-53,0	-58,4	-63,5	-68,7
	210	-10,3	-20,3	-28,4	-32,5	-40,6	-49,9	-55,3	-61,0	-66,4	-71,8
200		-10,8	-21,2	-29,6	-33,9	-42,3	-52,1	-57,7	-63,6	-69,3	-74,9
	220	-11,2	-22,0	-30,8	-35,2	-44,0	-54,2	-60,1	-66,3	-72,1	-78,0
210		-11,6	-22,9	-32,0	-36,6	-45,8	-56,4	-62,5	-68,9	-75,0	-81,1
	230	-12,1	-23,7	-33,2	-38,0	-47,5	-58,5	-64,9	-71,5	-77,9	-84,2
220		-12,5	-24,6	-34,4	-39,4	-49,2	-60,7	-67,3	-74,2	-80,7	-87,3
	240	-12,9	-25,5	-35,6	-40,7	-50,9	-62,8	-69,6	-76,8	-83,6	-90,4
230		-13,4	-26,3	-36,8	-42,1	-52,6	-65,0	-72,0	-79,4	-86,4	-93,5
	250	-13,8	-27,2	-38,0	-43,5	-54,4	-67,1	-74,4	-82,0	-89,3	-96,6
240		-14,3	-28,0	-39,2	-44,9	-56,1	-69,3	-76,8	-84,7	-92,2	-99,7
250		-15,1	-29,8	-41,6	-47,6	-59,5	-73,6	-81,6	-89,9	-97,9	-105,9
Wariant wzmocnienia zbrojenia przenoszącego siłę poprzeczną		Maksymalna obliczeniowa siła poprzeczna $v_{Rd}$ [kN/m]									
V6 (standard)		28,2	28,2	28,2	35,3	35,3	-	-	-	-	-
V8		50,1	50,1	62,7	62,7	62,7	87,7	87,7	100,3	112,8	112,8
V10		-	-	-	-	-	112,8	112,8	112,8	125,4	125,4
VV		-	-	+50,1/ -50,1	+50,1/ -50,1	+50,1/ -50,1	+87,7/ -50,1	-	-	-	-



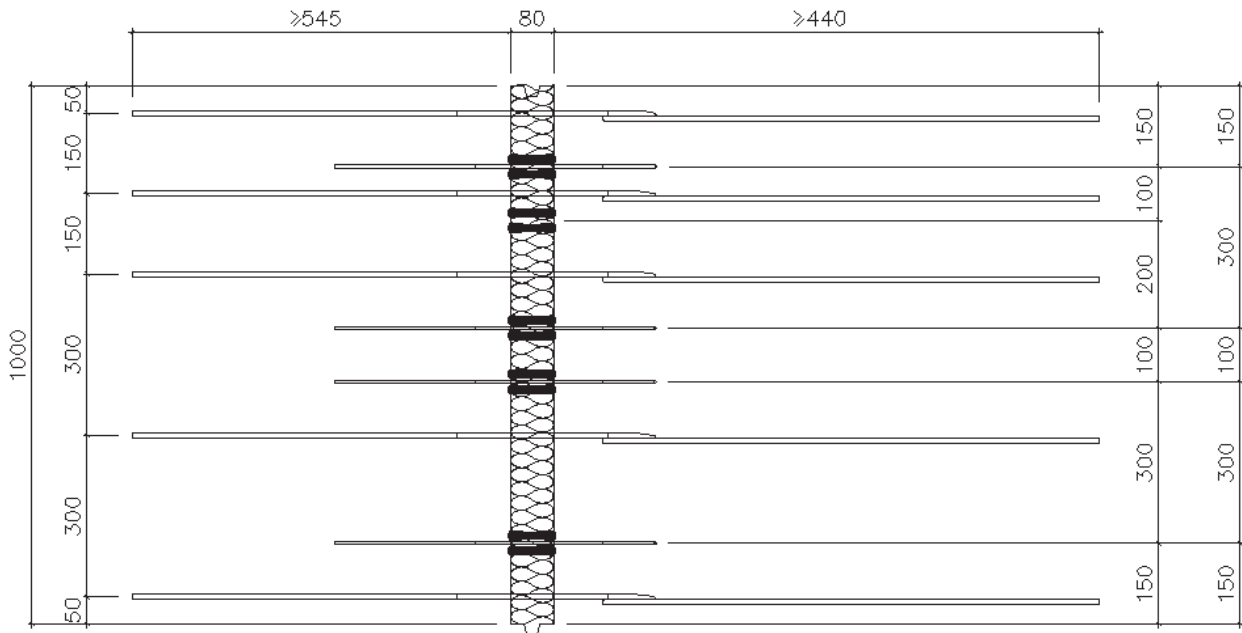
**Rysunek 8.** Łączniki w wersji K-HV



**Rysunek 9.** Połączenia wykonane z zastosowaniem łączników w wersjach K-HV, K-BH, K-WU i K-WO

**a)** z zastosowaniem łącznika K-HV, **b)** z zastosowaniem łącznika K-BH, **c)** z zastosowaniem łącznika K-WU, **d)** z zastosowaniem łącznika K-WO




**Rysunek 10.** Łącznik w wersji K 20-HV 10/15

**Tablica 15.** Ilości i średnice prętów stalowych i stalowych elementów ściskanych oraz ilości siatkobetonowych elementów ściskanych łączników w wersjach: K-HV, K-BH, K-WO i K-WU

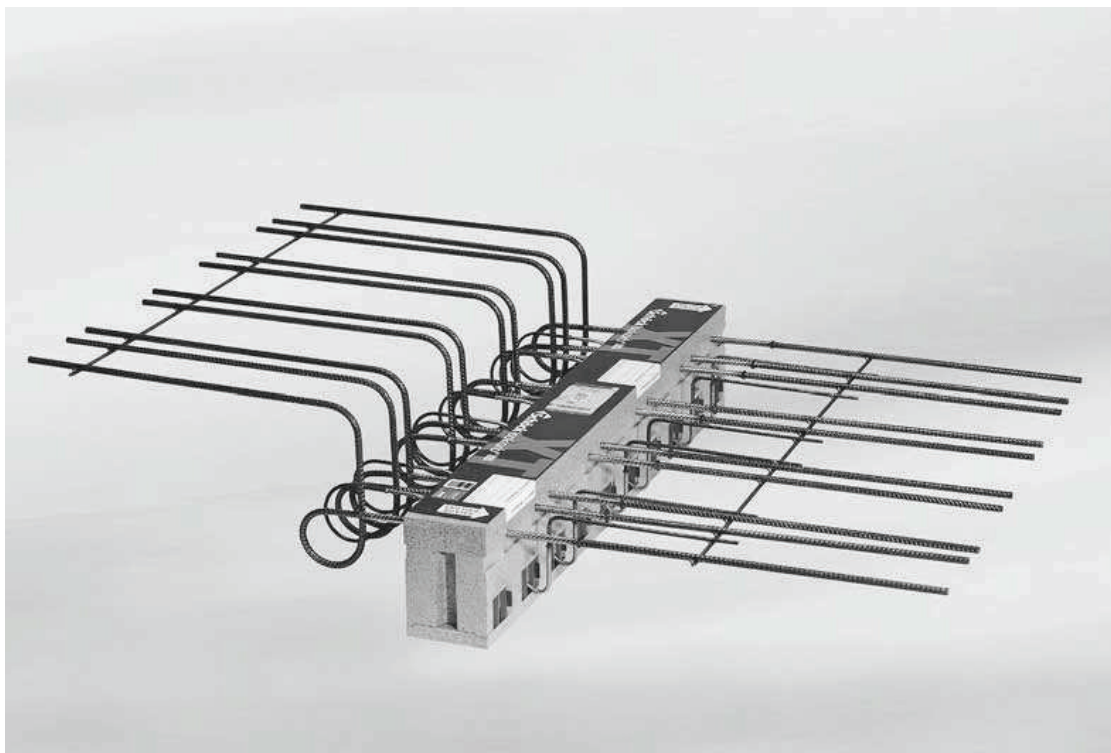
Poz.	Rodzaj pręta lub elementu ściskanego	Oznaczenie łącznika			
		K 20-HV 10/15 K 20-BH 10/15 K 20-WO K 20-WU	K 30-HV 10/15 K 30-BH 10/15 K 30-WO K 30-WU	K 50-HV 10/15 K 50-BH 10/15 K 50-WO K 50-WU	K 60-HV 10/15 K 60-BH 10/15 K 60-WO K 60-WU
1	2	3	4	5	6
1	Długość elementu [m]	1,00	1,00	1,00	1,00
2	Pręty rozciągane	5Ø10	7Ø10	10Ø10	13Ø10
3	Pręty przenoszące siły poprzeczne	4Ø6	6Ø6	6Ø6	7Ø8
4	Elementy ściskane, siatkobetonowe	5 <sup>(1)</sup>	7 <sup>(1)</sup>	10 <sup>(1)</sup>	16 <sup>(2)</sup>
5	Strzemiona specjalne	-	-	-	4

<sup>(1)</sup> – elementy ściskane, siatkobetonowe o nośności 34,4 kN  
<sup>(2)</sup> – elementy ściskane, siatkobetonowe o nośności 31,7 kN w przypadku betonu klasy C25/30 lub 25,5 kN w przypadku betonu klasy C20/25

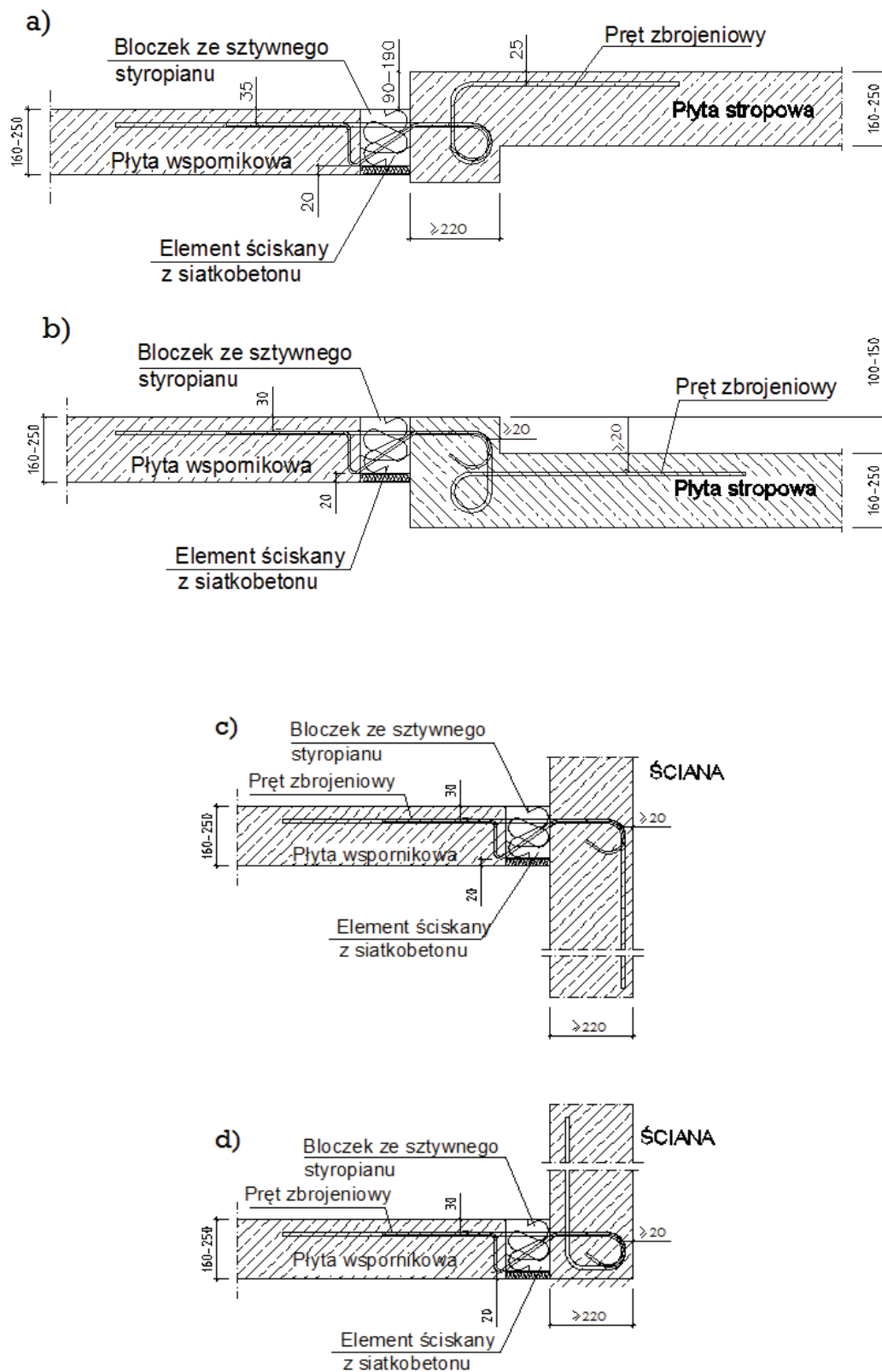
**Tablica 16.** Maksymalne, obliczeniowe momenty zginające i siły poprzeczne przenoszone przez połączenia, wykonane z zastosowaniem łączników w wersjach: K-HV, K-BH, K-WO i K-WU w przypadku, gdy klasa betonu łączonych elementów jest równa C20/25

Otulina betonowa $c_v$ [mm]			Oznaczenie łącznika			
30	35	50	K 20-HV 10/15 K 20-BH 10/15 K 20-WO K 20-WU	K 30-HV 10/15 K 30-BH 10/15 K 30-WO K 30-WU	K 50-HV 10/15 K 50-BH 10/15 K 50-WO K 50-WU	K 60-HV 10/15 K 60-BH 10/15 K 60-WO K 60-WU
1	2	3	4	5	6	7
Grubość płyty żelbetowej [mm]			Maksymalny obliczeniowy moment zginający $m_{Rd}$ [kNm/m] <sup>(1)</sup>			
	160		-14,0	-19,6	-28,0	-33,5 (-36,4)
160		180	-14,9	-20,8	-29,7	-35,5 (-38,6)
	170		-15,7	-22,0	-31,4	-37,5 (-40,8)
170		190	-16,6	-23,2	-33,1	-39,6 (-43,0)
	180		-17,4	-24,4	-34,8	-41,6 (-45,3)
180		200	-18,3	-25,6	-36,5	-43,7 (-47,5)
	190		-19,1	-26,8	-38,3	-45,7 (-49,7)
190		210	-20,0	-28,0	-40,0	-47,7 (-51,9)
	200		-20,8	-29,2	-41,7	-49,8 (-54,2)
200		220	-21,7	-30,4	-43,4	-51,8 (-56,4)
	210		-22,5	-31,6	-45,1	-53,9 (-58,6)
210		230	-23,4	-32,8	-46,8	-55,9 (-60,8)
	220		-24,2	-33,9	-48,5	-57,9 (-63,0)
220		240	-25,1	-35,1	-50,2	-60,0 (-65,3)
	230		-26,0	-36,3	-51,9	-62,0 (-67,5)
230		250	-26,8	-37,5	-53,6	-64,1 (-69,7)
	240		-27,7	-38,7	-55,3	-66,1 (-72,0)
240			-28,5	-39,9	-57,0	-68,1 (-74,1)
	250		-29,4	-41,1	-58,7	-70,2 (-76,4)
250			-30,2	-42,3	-60,4	-72,2 (-78,6)
			Maksymalna obliczeniowa siła poprzeczna $v_{Rd}$ [kN/m]			
			28,0	42,0	42,0	49,8

<sup>(1)</sup> wartości w nawiasach dotyczą przypadku, gdy klasa betonu łączonych elementów jest równa C25/30

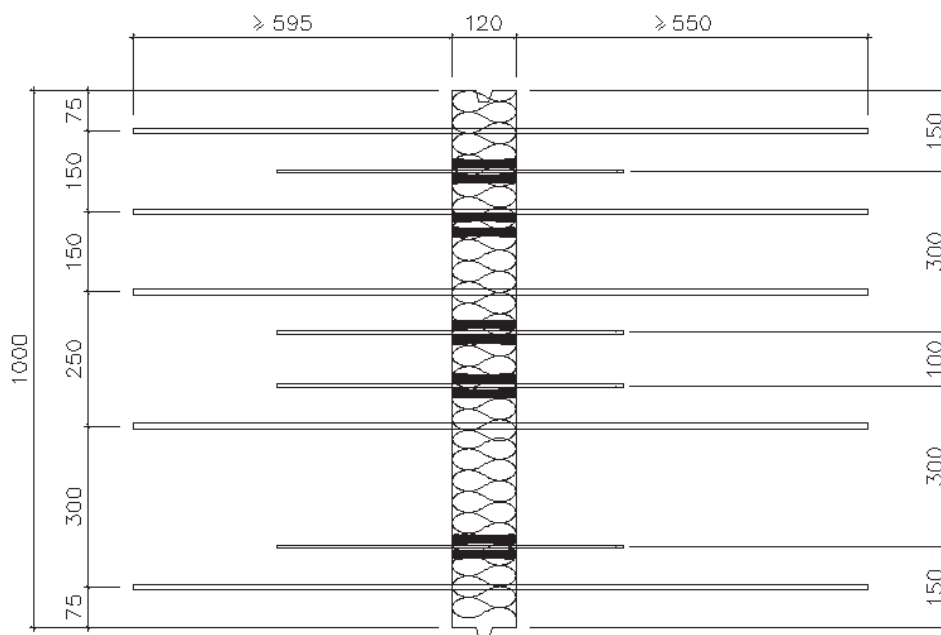


**Rysunek 11.** Łączniki w wersji KXT-HV



**Rysunek 12.** Połączenia wykonane z zastosowaniem łączników w wersjach KXT-HV, KXT-BH, KXT-WU i KXT-WO

- a)** z zastosowaniem łącznika KXT-HV, **b)** z zastosowaniem łącznika KXT-BH, **c)** z zastosowaniem łącznika KXT-WU, **d)** z zastosowaniem łącznika KXT-WO


**Rysunek 13.** Łącznik w wersji K 20 XT-HV 10/15

**Tablica 17.** Ilości i średnice prętów stalowych i stalowych elementów ściskanych oraz ilości siatkobetonowych elementów ściskanych łączników w wersjach: KXT-HV, KXT-BH, KXT-WO i KXT-WU

Poz.	Rodzaj pręta lub elementu ściskanego	Oznaczenie łącznika			
		KXT20-HV 10/15 KXT20-BH 10/15 KXT20-WO KXT20-WU	KXT30-HV 10/15 KXT30-BH 10/15 KXT30-WO KXT30-WU	KXT50-HV 10/15 KXT50-BH 10/15 KXT50-WO KXT50-WU	KXT60-HV 10/15 KXT60-BH 10/15 KXT60-WO KXT60-WU
1	2	3	4	5	6
1	Długość elementu [m]	1,00	1,00	1,00	1,00
2	Pręty rozciągane	5Ø10	7Ø10	10Ø10	13Ø10
3	Pręty przenoszące siły poprzeczne	4Ø6	6Ø6	6Ø6	6Ø8 (dla V6) 7Ø8 (dla V6)
4	Elementy ściskane, siatkobetonowe	5 <sup>(1)</sup>	7 <sup>(1)</sup>	10 <sup>(1)</sup>	16 <sup>(2)</sup>
5	Strzemiona specjalne	-	-	-	4

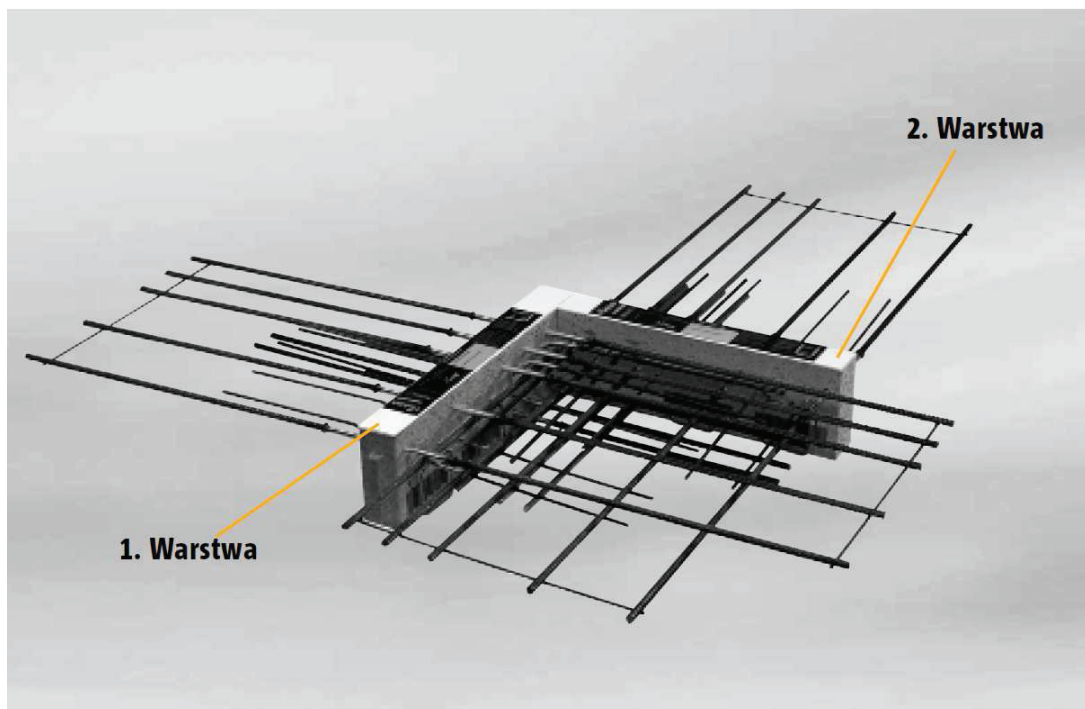
<sup>(1)</sup> – elementy ściskane, siatkobetonowe o nośności 34,4 kN  
<sup>(2)</sup> – elementy ściskane, siatkobetonowe o nośności 31,7 kN w przypadku betonu klasy C25/30 lub 25,5 kN w przypadku betonu klasy C20/25

**Tablica 18.** Maksymalne, obliczeniowe momenty zginające i siły poprzeczne przenoszone przez połączenia, wykonane z zastosowaniem łączników w wersjach: KXT-HV, KXT-BH, KXT-WO i KXT-WU w przypadku, gdy klasa betonu łączonych elementów jest równa C20/25

Otulina betonowa $c_v$ [mm]		Oznaczenie łącznika			
35	50	KXT20-HV 10/15 KXT20-BH 10/15 KXT20-WO KXT20-WU	KXT30-HV 10/15 KXT30-BH 10/15 KXT30-WO KXT30-WU	KXT50-HV 10/15 KXT50-BH 10/15 KXT50-WO KXT50-WU	KXT60-HV 10/15 KXT60-BH 10/15 KXT60-WO KXT60-WU
1	2	3	4	5	6
Grubość płyty żelbetowej [mm]		Maksymalny obliczeniowy moment zginający $m_{Rd}$ [kNm/m]			
160		-11,9	-16,7	-23,9	-31,0
	180	-12,7	-17,7	-25,3	-32,9
170		-13,4	-18,7	-26,8	-34,8
	190	-14,1	-19,8	-28,2	-36,7
180		-14,8	-20,8	-29,7	-38,6
	200	-15,6	-21,8	-31,1	-40,5
190		-16,3	-22,8	-32,6	-42,4
	210	-17,0	-23,8	-34,0	-44,2
200		-17,7	-24,8	-35,5	-46,1
	220	-18,5	-25,9	-36,9	-48,0
210		-19,2	-26,9	-38,4	-49,9
	230	-20,1	-28,2	-40,3	-52,3
220		-20,9	-29,2	-41,7	-54,2
	240	-21,6	-30,2	-43,2	-56,2
230		-22,3	-31,3	-44,7	-58,1
	250	-23,1	-32,3	-46,1	-60,0
240		-23,8	-33,3	-47,6	-61,9
250		-25,3	-35,4	-50,5	-65,7
		Maksymalna obliczeniowa siła poprzeczna $v_{Rd}$ [kN/m]			
		+24,0	+36,0	+36,0	+48,4 dla V6 +56,5 dla V8

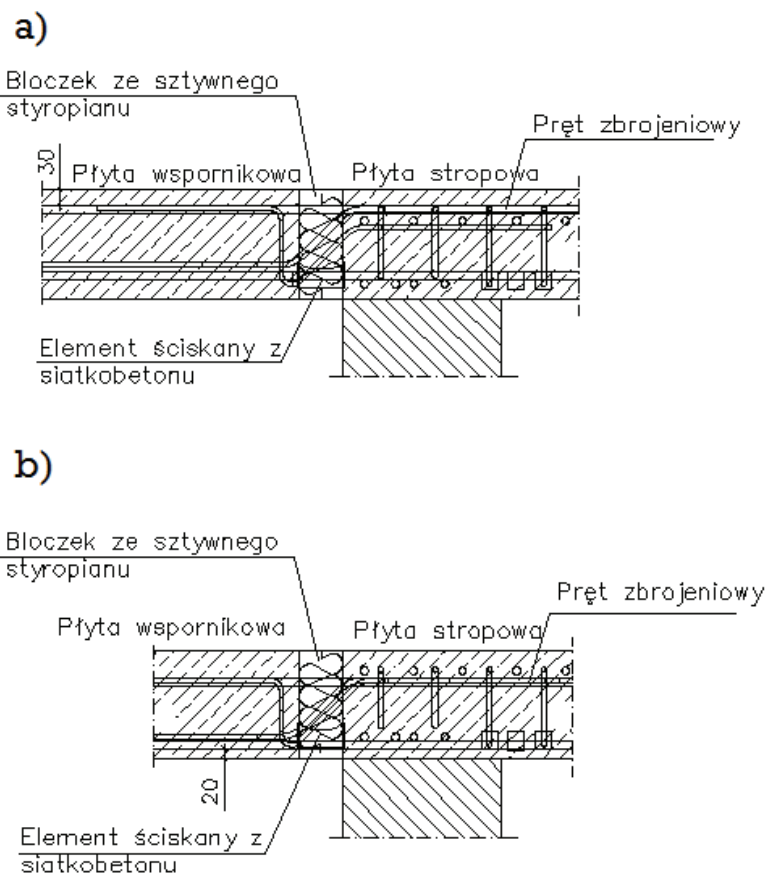
**Tablica 19.** Maksymalne, obliczeniowe momenty zginające i siły poprzeczne przenoszone przez połączenia, wykonane z zastosowaniem łączników w wersjach: KXT-HV, KXT-BH, KXT-WO i KXT-WU w przypadku, gdy klasa betonu łączonych elementów jest równa C25/30

Otulina betonowa $c_v$ [mm]		Oznaczenie łącznika			
35	50	KXT20-HV 10/15 KXT20-BH 10/15 KXT20-WO KXT20-WU	KXT30-HV 10/15 KXT30-BH 10/15 KXT30-WO KXT30-WU	KXT50-HV 10/15 KXT50-BH 10/15 KXT50-WO KXT50-WU	KXT60-HV 10/15 KXT60-BH 10/15 KXT60-WO KXT60-WU
1	2	3	4	5	6
Grubość płyty żelbetowej [mm]		Maksymalny obliczeniowy moment zginający $m_{Rd}$ [kNm/m]			
160		-14,0	-19,6	-28,0	-36,4
	180	-14,9	-20,8	-29,7	-38,6
170		-15,7	-22,0	-31,4	-40,8
	190	-16,6	-23,2	-33,1	-43,1
180		-17,4	-24,4	-34,8	-45,3
	200	-18,3	-25,6	-36,5	-47,5
190		-19,1	-26,8	-38,3	-49,7
	210	-20,0	-28,0	-40,0	-51,9
200		-20,8	-29,2	-41,7	-54,2
	220	-21,7	-30,4	-43,4	-56,4
210		-22,5	-31,6	-45,1	-58,6
	230	-23,4	-32,8	-46,8	-60,8
220		-24,2	-33,9	-48,5	-63,0
	240	-25,1	-35,1	-50,2	-65,3
230		-26,0	-36,3	-51,9	-67,5
	250	-26,8	-37,5	-53,6	-69,7
240		-27,7	-38,7	-55,3	-71,9
250		-29,4	-41,1	-58,7	-76,4
		Maksymalna obliczeniowa siła poprzeczna $v_{Rd}$ [kN/m]			
		+28,2	+42,3	+42,3	+56,8 dla V6 +66,3 dla V8



**Rysunek 14.** Łączniki w wersji K-Eck

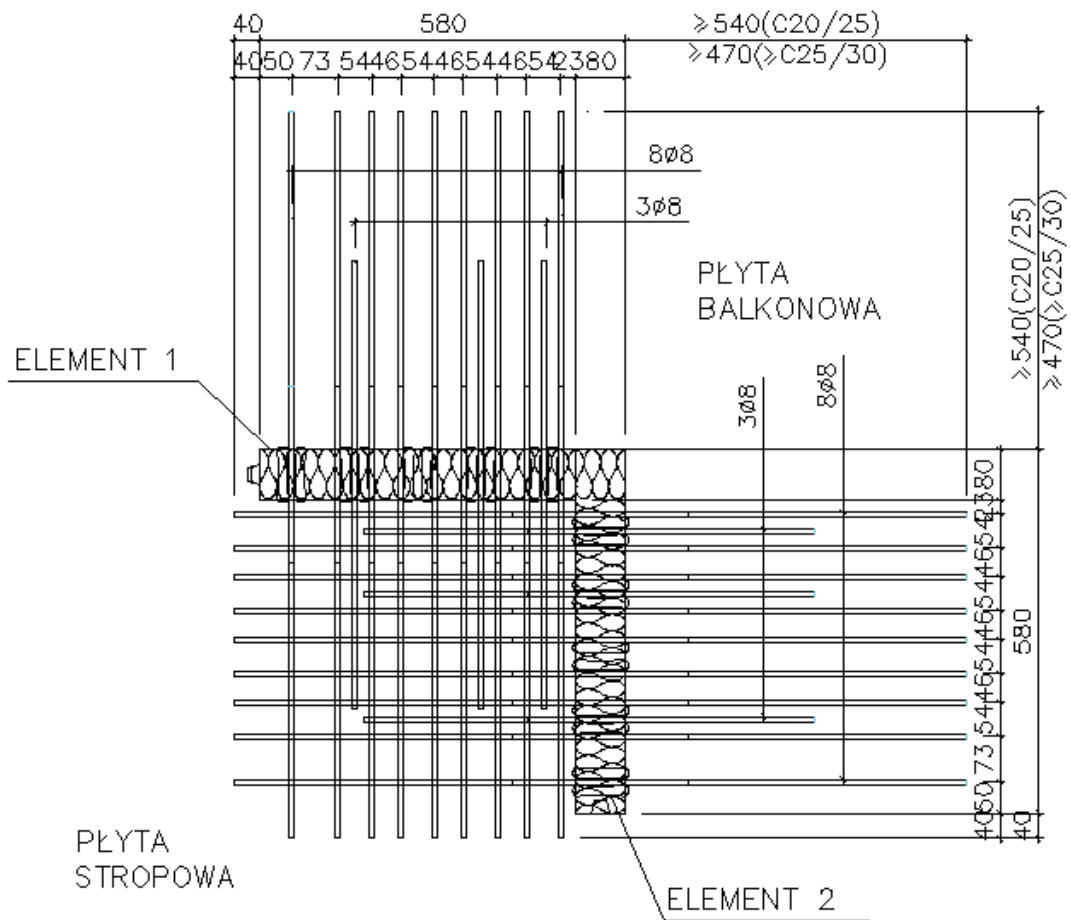




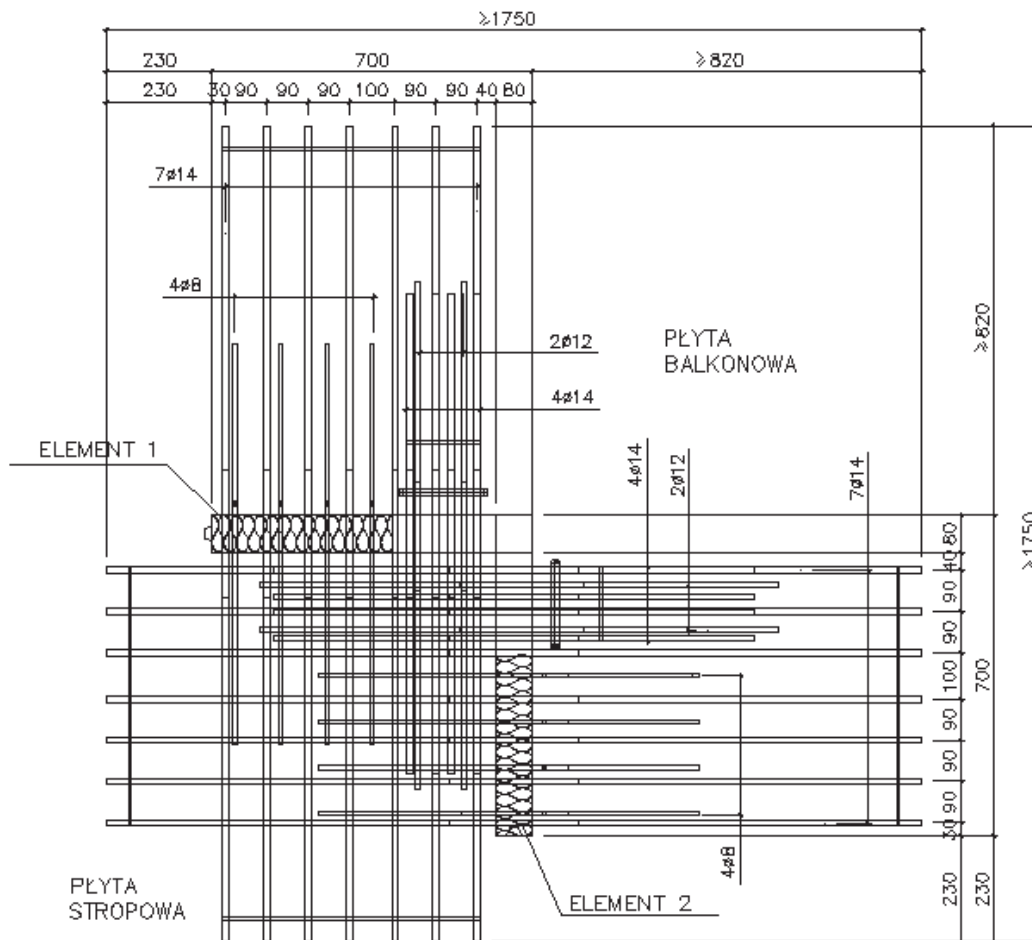
**Rysunek 15.** Połączenia wykonane z zastosowaniem łączników w wersji K-Eck

**a)** przekrój przez element 1 z rysunków 13 i 14,

**b)** przekrój przez element 2 z rysunków 13 i 14



Rysunek 16. Łącznik K 20-Eck



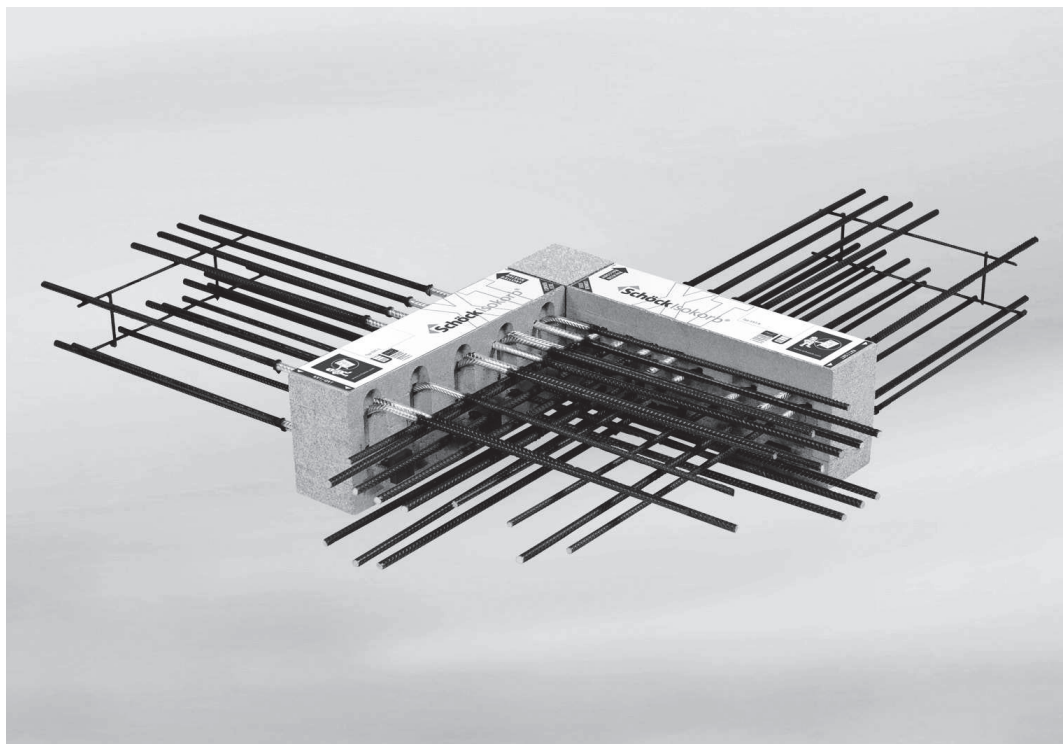
Rysunek 17. Łącznik K 50-Eck

Tablica 20. Ilości i średnice prętów stalowych łączników w wersji K-Eck

Poz.	Rodzaj pręta	Oznaczenie łącznika					
		K20-Eck		K30-Eck		K50-Eck	
		1. warstwa	2. warstwa	1. warstwa	2. warstwa	1. warstwa	2. warstwa
1	2	3	4	5	6	7	8
1	Długość elementu [mm]	500	620	620	620	620	620
2	Pręty rozciągane	8 $\phi$ 8	8 $\phi$ 8	5 $\phi$ 14	5 $\phi$ 14	6 $\phi$ 14	6 $\phi$ 14
3	Pręty ściskane	-	-	3 $\phi$ 14	3 $\phi$ 14	4 $\phi$ 14	4 $\phi$ 14
4	Łożysko oporowe [szt.]	5	5	6	6	6	6
5	Pręty przenoszące siły poprzeczne, przy wysokości łącznika [mm]:						
	180-190	3 $\phi$ 8	3 $\phi$ 8	3 $\phi$ 8 +2 $\phi$ 10	3 $\phi$ 8 +2 $\phi$ 10	4 $\phi$ 8 +2 $\phi$ 10	4 $\phi$ 8 +2 $\phi$ 10
	$\geq 200$	3 $\phi$ 8	3 $\phi$ 8	3 $\phi$ 8 +2 $\phi$ 12	3 $\phi$ 8 +2 $\phi$ 12	4 $\phi$ 8 +2 $\phi$ 12	4 $\phi$ 8 +2 $\phi$ 12

**Tablica 21.** Maksymalne, obliczeniowe momenty zginające i siły poprzeczne przenoszone przez połączenia wykonane z zastosowaniem łączników w wersji K-Eck w przypadku, gdy klasa betonu łączonych elementów jest równa C20/25

Otulina betonowa $c_v$ [mm]		Oznaczenie łącznika					
		K20-Eck	K30-Eck	K50-Eck	K20-Eck	K30-Eck	K50-Eck
30	35	Klasa betonu C20/25			Klasa betonu C25/30		
1	2	3	4	5	6	7	8
Grubość płyty żelbetowej [mm]		Maksymalny obliczeniowy moment zginający $m_{Rd}$ [kNm/m] (na każdy element 1. i 2. warstwy)					
	180	-14,3	-25,5	-27,9	-14,3	-28,7	-32,9
180		-15,1	-26,9	-31,3	-15,1	-30,4	-34,8
	190	-16,0	-28,3	-33,0	-16,0	-32,0	-36,6
190		-16,9	-29,8	-34,6	-16,9	-33,6	-38,4
	200	-17,7	-31,2	-36,2	-17,7	-35,2	-40,2
200		-18,6	-32,6	-37,9	-18,6	-36,8	-42,0
	210	-19,4	-34,0	-39,5	-19,4	-38,4	-43,9
210		-20,3	-35,4	-41,1	-20,3	-40,0	-45,7
	220	-21,2	-36,8	-42,8	-21,2	-41,6	-47,5
220		-22,0	-38,2	-44,4	-22,0	-43,2	-49,3
	230	-22,9	-39,7	-46,0	-22,9	-44,8	-51,2
230		-23,7	-41,1	-47,7	-23,7	-46,4	-53,0
	240	-24,6	-42,5	-49,3	-24,6	-48,0	-54,8
240		-25,5	-43,9	-50,9	-25,5	-49,6	-56,6
	250	-26,3	-45,3	-52,6	-26,3	-51,2	-58,5
250		-27,2	-46,7	-54,2	-27,2	-52,8	-60,3
		Maksymalna obliczeniowa siła poprzeczna $v_{Rd}$ [kN/m] (na każdy element 1. i 2. warstwy)					
180-190		+37,3	+72,5	+84,9	+37,3	+78,6	+91,1
$\geq 200$		+37,3	+96,4	+108,9	+37,3	+106,7	+119,2



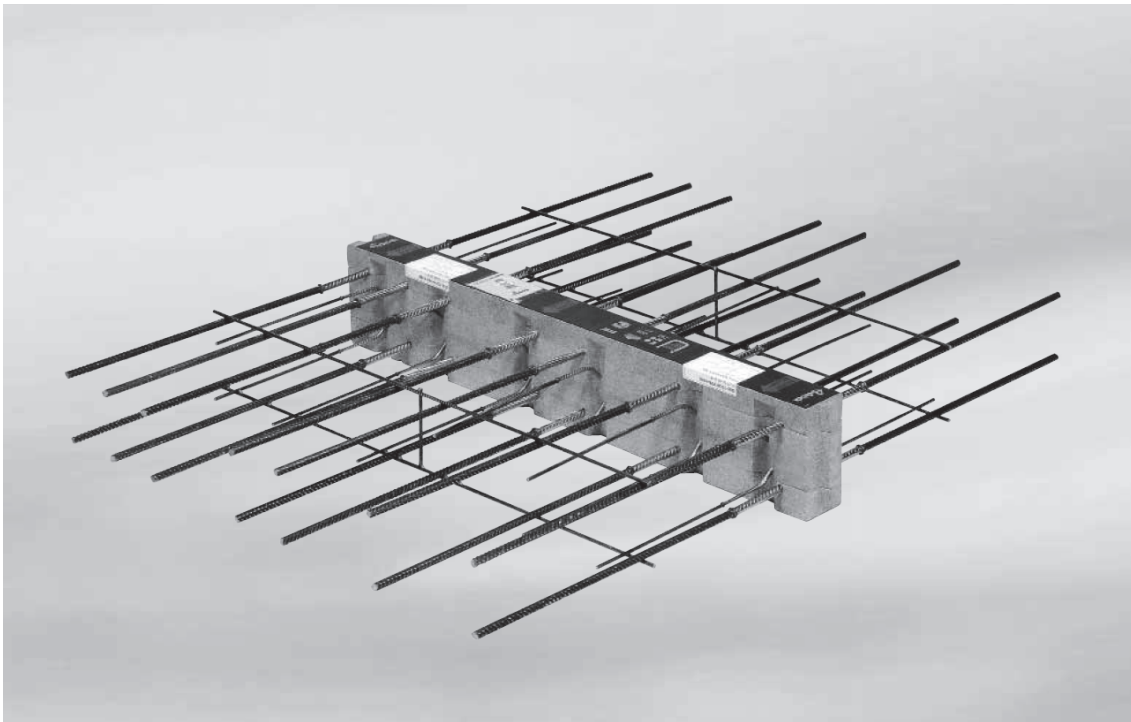
Rysunek 18. Łącznik w wersji EXT

Tablica 22. Ilości i średnice prętów stalowych łączników w wersji EXT

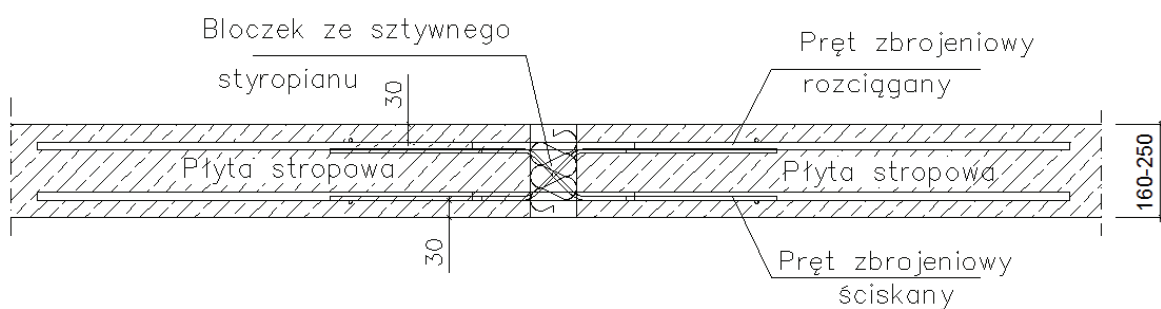
Poz.	Rodzaj pręta	Oznaczenie łącznika			
		EXT-30		EXT-50	
		1. warstwa	2. warstwa	1. warstwa	2. warstwa
1	2	3			
1	Długość elementu [mm]	500	500	500	620
2	Pręty rozciągane	5 $\phi$ 12	5 $\phi$ 12	5 $\phi$ 12	5 $\phi$ 12
3	Pręty ściskane	3 $\phi$ 12	3 $\phi$ 12	3 $\phi$ 12	3 $\phi$ 12
4	Łożysko oporowe [szt.]	2 $\phi$ 12	2 $\phi$ 12	2 $\phi$ 12	2 $\phi$ 12
5	Pręty przenoszące siły poprzeczne, w wariantach:				
	V10	5 $\phi$ 10	5 $\phi$ 10	5 $\phi$ 10	5 $\phi$ 10
	V12 (min. wysokość – 200 mm)	5 $\phi$ 12	5 $\phi$ 12	5 $\phi$ 12	5 $\phi$ 12

**Tablica 23.** Maksymalne, obliczeniowe momenty zginające i siły poprzeczne przenoszone przez połączenia wykonane z zastosowaniem łączników w wersji K-EXT w przypadku, gdy klasa betonu łączonych elementów jest równa C20/25

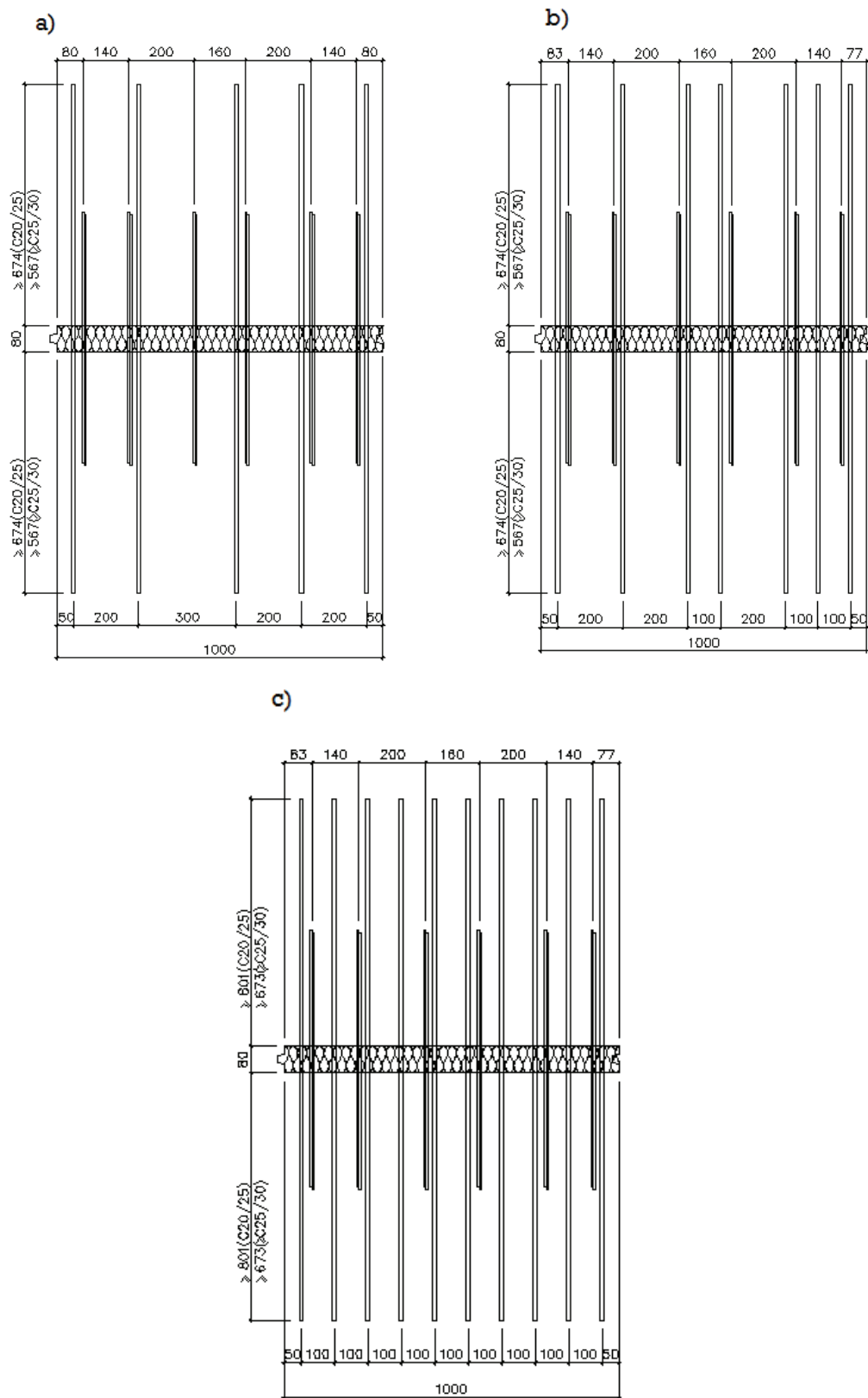
Otulina betonowa $c_v$ [mm]	Oznaczenie łącznika			
	EXT-30-L, EXT-30-R	EXT-50-L, EXT-50-R	EXT-30-L, EXT-30-R	EXT-50-L, EXT-50-R
30/35	Klasa betonu C20/25		Klasa betonu C25/30	
1	2	3	4	5
Grubość płyty żelbetowej [mm]	Maksymalny obliczeniowy moment zginający $m_{Rd}$ [kNm/m] (na każdy element 1. i 2. warstwy)			
180	-15,5	-19,9	-18,2	-23,4
190	-17,3	-22,3	-20,4	-26,2
200	-19,2	-24,7	-22,6	-29,0
210	-21,1	-27,1	-24,7	-31,8
220	-22,9	-29,5	-26,9	-34,7
230	-24,8	-31,9	-29,1	-37,5
250	-26,7	-34,3	-31,3	-40,3
Wariant wzmocnienia zbrojenia przenoszącego siłę poprzeczną	Maksymalna obliczeniowa siła poprzeczna $v_{Rd}$ [kN/m] (na każdy element 1. i 2. warstwy)			
V10	+83,4	+83,4	+97,9	+97,9
V12	+120,1	+120,1	+141,0	+141,0



**Rysunek 19.** Łącznik w wersji D



**Rysunek 20.** Połączenie wykonane z zastosowaniem łącznika w wersji D



**Rysunek 21.** Łączniki w wersji D  
**a)** łącznik D 30, **b)** łącznik D 50, **c)** łącznik D 70



**Tablica 24.** Ilości i średnice prętów stalowych i stalowych elementów ściskanych łączników w wersji D

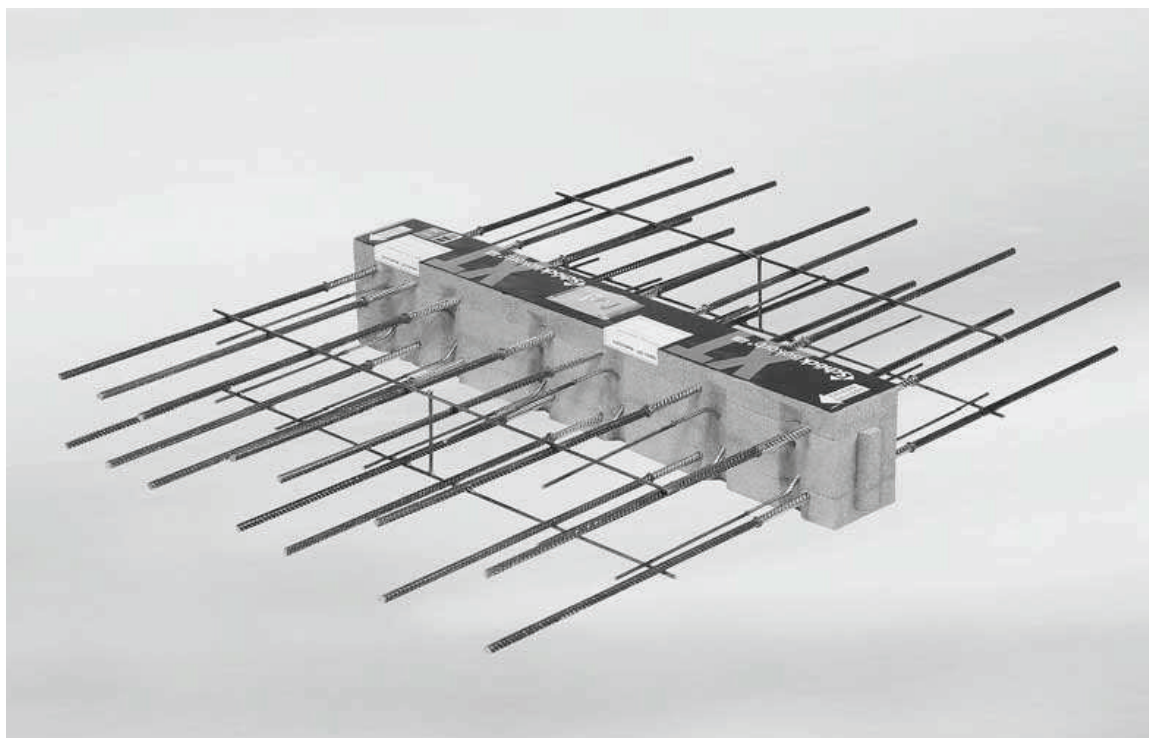
Poz.	Rodzaj pręta lub elementu ściskanego	Wariant wzmocnienia zbrojenia przenoszącego siłę poprzeczną	Oznaczenie łącznika			
			D 30	D 50	D 70	D 90
1	2	3	4	5	6	7
1	Pręty rozciągane	–	2×5φ12	2×7φ12	2×10φ12	2×12φ12
2	Pręty przenoszące siły poprzeczne	VV 6	6φ6 <sup>(1)</sup> + 6φ6 <sup>(2)</sup>	6φ6 <sup>(1)</sup> + 6φ6 <sup>(2)</sup>	6φ6 <sup>(1)</sup> + 6φ6 <sup>(2)</sup>	6φ6 <sup>(1)</sup> + 6φ6 <sup>(2)</sup>
		VV 8	6φ8 <sup>(1)</sup> + 6φ8 <sup>(2)</sup>	6φ8 <sup>(1)</sup> + 6φ8 <sup>(2)</sup>	6φ8 <sup>(1)</sup> + 6φ8 <sup>(2)</sup>	6φ8 <sup>(1)</sup> + 6φ8 <sup>(2)</sup>
		VV 10	6φ10 <sup>(1)</sup> + 6φ10 <sup>(2)</sup>	6φ10 <sup>(1)</sup> + 6φ10 <sup>(2)</sup>	6φ10 <sup>(1)</sup> + 6φ10 <sup>(2)</sup>	6φ10 <sup>(1)</sup> + 6φ10 <sup>(2)</sup>
3	Elementy ściskane, stalowe	–	2×5φ12	2×7φ12	2×10φ12	2×12φ12
<sup>(1)</sup> – pręty rozciągane <sup>(2)</sup> – pręty ściskane						

**Tablica 25.** Maksymalne, obliczeniowe momenty zginające i siły poprzeczne przenoszone przez połączenia, wykonane z zastosowaniem łączników w wersji D w przypadku, gdy klasa betonu łączonych elementów jest nie niższa niż C20/25

Poz.	Otulina betonowa $c_v$ [mm]			Oznaczenie łącznika								
				D 30			D 50			D 70		
				Oznaczenie wariantu wzmocnienia zbrojenia <sup>(1)</sup>								
				VV 6	VV 8	VV 10	VV 6	VV 8	VV 10	VV 6	VV 8	VV 10
1	2	3	4	5	6	7	8	9	10	11	12	13
	Grubość płyty żelbetowej, mm			Maksymalny, obliczeniowy moment zginający $M_d$ , kNm								
1		160		±18,6	-	-	±26,8	-	-	±38,3	-	-
2	160		200	±19,7	-	-	±28,4	-	-	±40,6	-	-
3		170		±20,9	±19,3	-	±30,0	±28,4	-	±42,9	±42,2	-
4	170		210	±22,0	±20,3	-	±31,6	±30,0	-	±45,3	±44,4	-
5		180		±23,1	±21,3	±19,5	±33,3	±31,5	±29,7	±47,6	±46,7	±44,9
6	180		220	±24,2	±22,4	±20,4	±34,9	±33,0	±31,1	±49,9	±49,0	±47,1
7		190		±25,3	±23,4	±21,4	±36,5	±34,5	±32,5	±52,2	±51,3	±49,2
8	190		230	±26,5	±24,4	±22,3	±38,1	±36,1	±34,0	±54,5	±53,5	±51,4
9		200		±27,6	±25,5	±23,3	±39,7	±37,6	±35,4	±56,8	±55,8	±53,6
10	200		240	±28,7	±26,5	±24,2	±41,3	±39,1	±36,9	±59,1	±58,1	±55,8
11		210		±29,8	±27,5	±25,2	±42,9	±40,7	±38,3	±61,4	±60,3	±58,0
12	210		250	±31,0	±28,6	±26,1	±44,6	±42,2	±39,7	±63,7	±62,6	±60,1
13		220		±32,1	±29,6	±27,1	±46,2	±43,7	±41,2	±66,0	±64,9	±62,3
14	220			±33,2	±30,6	±28,0	±47,8	±45,2	±42,6	±68,3	±67,1	±64,5
15		230		±34,3	±31,7	±29,0	±49,4	±46,8	±44,0	±70,6	±69,4	±66,7
16	230			±35,4	±32,7	±29,9	±51,0	±48,3	±45,5	±73,0	±71,7	±68,9
17		240		±36,6	±33,7	±30,9	±52,6	±49,8	±46,9	±75,3	±73,9	±71,0
18	240			±37,7	±34,8	±31,8	±54,2	±51,3	±48,4	±77,6	±76,2	±73,2
19		250		±38,8	±35,8	±32,7	±55,9	±52,9	±49,8	±79,9	±78,5	±75,4
20	250			±39,9	±36,9	±33,7	±57,5	±54,4	±51,2	±82,2	±80,7	±77,6
	-			Maksymalna, obliczeniowa siła poprzeczna $V_d$ , kN								
21	-			±44,4	±79,9	±114,5	±44,4	±79,9	±114,5	±44,4	±79,9	±114,5

**Tablica 26.** Maksymalne, obliczeniowe momenty zginające i siły poprzeczne przenoszone przez połączenia, wykonane z zastosowaniem łączników w wersji D w przypadku, gdy klasa betonu łączonych elementów jest nie niższa niż C25/30

Poz.	Otulina betonowa $c_v$ [mm]			Oznaczenie łącznika								
				D 30			D 50			D 70		
				Oznaczenie wariantu wzmocnienia zbrojenia <sup>(1)</sup>								
				VV 6	VV 8	VV 10	VV 6	VV 8	VV 10	VV 6	VV 8	VV 10
1	2	3	4	5	6	7	8	9	10	11	12	13
	Grubość płyty żelbetowej, mm			Maksymalny, obliczeniowy moment zginający $M_d$ , kNm								
1		160		±18,3	-	-	±26,5	-	-	±38,8	-	-
2	160		200	±19,4	-	-	±28,1	-	-	±41,1	-	-
3		170		±20,5	±18,6	-	±29,7	±27,8	-	±43,4	±41,5	-
4	170		210	±21,6	±19,6	-	±31,3	±29,3	-	±45,8	±43,8	-
5		180		±22,7	±20,6	±18,5	±32,9	±30,8	±28,6	±48,1	±46,0	±43,9
6	180		220	±23,8	±21,6	±19,4	±34,5	±32,3	±30,0	±50,4	±48,2	±46,0
7		190		±24,9	±22,6	±20,3	±36,1	±33,8	±31,4	±52,8	±50,5	±48,1
8	190		230	±26,0	±23,6	±21,2	±37,6	±35,3	±32,8	±55,1	±52,7	±50,3
9		200		±27,1	±24,6	±22,1	±39,2	±36,7	±34,2	±57,4	±54,9	±52,4
10	200		240	±28,2	±25,6	±23,0	±40,8	±38,2	±35,6	±59,8	±57,2	±54,5
11		210		±29,3	±26,6	±23,9	±42,4	±39,7	±37,0	±62,1	±59,4	±56,6
12	210		250	±30,4	±27,6	±24,8	±44,0	±41,2	±38,4	±64,4	±61,6	±58,8
13		220		±31,5	±28,6	±25,6	±45,6	±42,7	±39,7	±66,8	±63,9	±60,9
14	220			±32,6	±29,6	±26,5	±47,2	±44,2	±41,1	±69,1	±66,1	±63,0
15		230		±33,7	±30,6	±27,4	±48,8	±45,7	±42,5	±71,4	±68,3	±65,2
16	230			±34,8	±31,6	±28,3	±50,4	±47,2	±43,9	±73,8	±70,6	±67,3
17		240		±35,9	±32,6	±29,2	±52,0	±48,7	±45,3	±76,1	±72,8	±69,4
18	240			±37,0	±33,6	±30,1	±53,6	±50,2	±46,7	±78,4	±75,0	±71,5
19		250		±38,1	±34,6	±31,0	±55,2	±51,7	±48,1	±80,8	±77,3	±73,7
20	250			±39,2	±35,6	±31,9	±56,8	±53,2	±49,5	±83,1	±79,5	±75,8
	-			Maksymalna, obliczeniowa siła poprzeczna $V_d$ , kN								
21	-			±52,2	±92,7	±134,4	±52,2	±92,7	±134,4	±52,2	±92,7	±134,4


**Rysunek 22.** Łącznik w wersji DXT

**Tablica 27.** Ilości i średnice prętów stalowych i stalowych elementów ściskanych łączników w wersji DXT

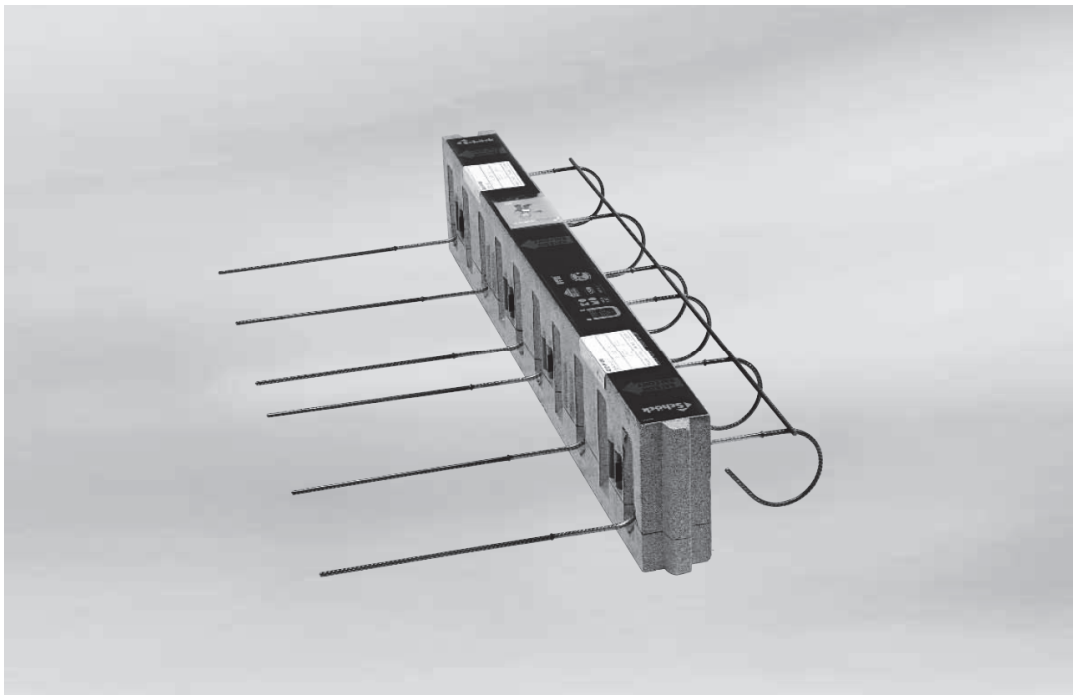
Poz.	Rodzaj pręta lub elementu ściskanego	Wariant wzmocnienia zbrojenia przenoszącego siłę poprzeczną	Oznaczenie łącznika			
			DXT 30	DXT 50	DXT 70	DXT 90
1	2	3	4	5	6	7
1	Pręty rozciągane	–	2×5φ12	2×7φ12	2×10φ12	2×12φ12
2	Pręty przenoszące siły poprzeczne	VV 6	6φ6 <sup>(1)</sup> + 6φ6 <sup>(2)</sup>	6φ6 <sup>(1)</sup> + 6φ6 <sup>(2)</sup>	6φ6 <sup>(1)</sup> + 6φ6 <sup>(2)</sup>	6φ6 <sup>(1)</sup> + 6φ6 <sup>(2)</sup>
		VV 8	6φ8 <sup>(1)</sup> + 6φ8 <sup>(2)</sup>	6φ8 <sup>(1)</sup> + 6φ8 <sup>(2)</sup>	6φ8 <sup>(1)</sup> + 6φ8 <sup>(2)</sup>	6φ8 <sup>(1)</sup> + 6φ8 <sup>(2)</sup>
		VV 10	6φ10 <sup>(1)</sup> + 6φ10 <sup>(2)</sup>	6φ10 <sup>(1)</sup> + 6φ10 <sup>(2)</sup>	6φ10 <sup>(1)</sup> + 6φ10 <sup>(2)</sup>	6φ10 <sup>(1)</sup> + 6φ10 <sup>(2)</sup>
3	Elementy ściskane, stalowe	–	2×5φ12	2×7φ12	2×10φ12	2×12φ12
<sup>(1)</sup> – pręty rozciągane <sup>(2)</sup> – pręty ściskane						

**Tablica 28.** Maksymalne, obliczeniowe momenty zginające i siły poprzeczne przenoszone przez połączenia, wykonane z zastosowaniem łączników w wersji DXT w przypadku, gdy klasa betonu łączonych elementów jest nie niższa niż C20/25

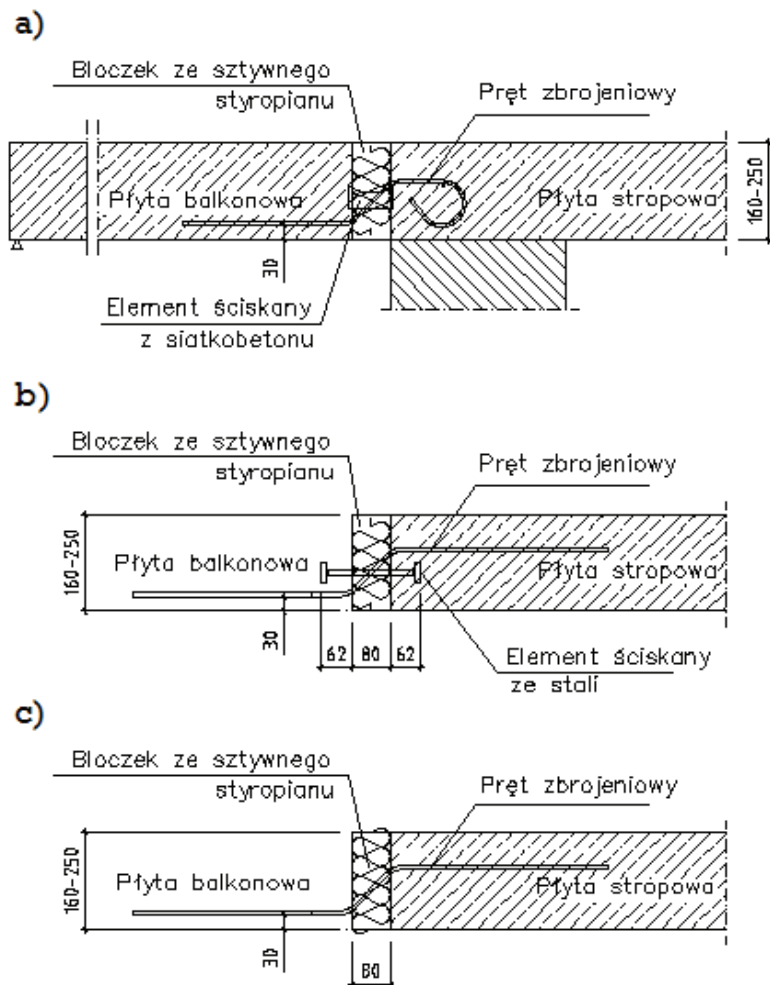
Poz.	Otulina betonowa $c_v$ [mm]		Oznaczenie łącznika								
			DXT 30			DXT 50			DXT 70		
			Oznaczenie wariantu wzmocnienia zbrojenia <sup>(1)</sup>								
			VV 6	VV 8	VV 10	VV 6	VV 8	VV 10	VV 6	VV 8	VV 10
1	2	3	4	5	6	7	8	9	10	11	12
	Grubość płyty żelbetowej, mm		Maksymalny, obliczeniowy moment zginający $M_d$ , kNm								
1	160		±16,0	-	-	±23,3	-	-	±33,1	-	-
2		200	±17,0	-	-	±24,7	-	-	±35,1	-	-
3	170		±18,0	±16,1	-	±26,1	±24,3	-	±37,1	±36,5	-
4		210	±18,9	±17,0	-	±27,5	±25,6	-	±39,1	±38,4	-
5	180		±19,9	±17,8	±15,2	±28,9	±26,9	±24,2	±41,1	±40,4	±37,8
6		220	±20,9	±18,7	±15,9	±30,3	±28,2	±25,4	±43,1	±42,4	±39,6
7	190		±21,8	±19,6	±16,7	±31,7	±29,2	±26,6	±45,0	±44,3	±41,4
8		230	±22,8	±20,4	±17,4	±33,1	±30,8	±27,7	±47,0	±46,3	±43,3
9	200		±23,8	±21,3	±18,1	±34,6	±32,1	±28,9	±49,0	±48,3	±45,1
10		240	±24,7	±22,2	±18,9	±36,0	±33,4	±30,1	±51,0	±50,2	±46,9
11	210		±25,7	±23,0	±19,6	±37,4	±34,7	±31,3	±53,0	±52,2	±48,8
12		250	±26,7	±23,9	±20,4	±38,8	±36,0	±32,5	±55,0	±54,1	±50,6
13	220		±27,6	±24,8	±21,1	±40,2	±37,3	±33,6	±57,0	±56,1	±52,4
14	230		±29,6	±26,5	±22,6	±43,0	±39,9	±36,0	±61,0	±60,0	±56,1
15	240		±31,5	±28,2	±24,1	±45,8	±42,5	±38,3	±65,0	±63,9	±59,7
16	250		±33,4	±30,0	±25,5	±48,6	±45,1	±40,7	±69,0	±67,9	±63,4
	-		Maksymalna, obliczeniowa siła poprzeczna $V_d$ , kN								
17	-		±36,0	±64,1	±100,1	±36,0	±64,1	±100,1	±36,0	±64,1	±100,1

**Tablica 29.** Maksymalne, obliczeniowe momenty zginające i siły poprzeczne przenoszone przez połączenia, wykonane z zastosowaniem łączników w wersji DXT w przypadku, gdy klasa betonu łączonych elementów jest nie niższa niż C25/30

Poz.	Otulina betonowa $c_v$ [mm]		Oznaczenie łącznika								
			DXT 30			DXT 50			DXT 70		
			Oznaczenie wariantu wzmocnienia zbrojenia <sup>(1)</sup>								
			VV 6	VV 8	VV 10	VV 6	VV 8	VV 10	VV 6	VV 8	VV 10
1	2	3	4	5	6	7	8	9	10	11	12
	Grubość płyty żelbetowej, mm		Maksymalny, obliczeniowy moment zginający $M_d$ , kNm								
1	160		±15,7	-	-	±22,9	-	-	±33,9	-	-
2		200	±16,6	-	-	±24,3	-	-	±35,9	-	-
3	170		±17,6	±15,4	-	±25,7	±23,5	-	±37,9	±35,7	-
4		210	±18,5	±16,2	-	±27,1	±24,8	-	±40,0	±37,7	-
5	180		±19,5	±17,0	±13,9	±28,5	±26,1	±22,9	±42,0	±39,6	±36,5
6		220	±20,4	±17,9	±14,6	±29,9	±27,3	±24,1	±44,0	±41,5	±38,2
7	190		±21,3	±18,7	±15,3	±31,2	±28,6	±25,2	±46,1	±43,4	±40,0
8		230	±22,3	±19,5	±15,9	±32,6	±29,8	±26,3	±48,1	±45,4	±41,8
9	200		±23,2	±20,3	±16,6	±34,0	±31,1	±27,4	±50,2	±47,3	±43,6
10		240	±24,2	±21,2	±17,3	±35,4	±32,4	±28,5	±52,2	±49,2	±45,3
11	210		±25,1	±22,0	±18,0	±36,8	±33,6	±29,6	±54,2	±51,1	±47,1
12		250	±26,1	±22,8	±18,6	±38,1	±34,9	±30,7	±56,3	±53,0	±48,9
13	220		±27,0	±23,6	±19,3	±39,5	±36,2	±31,8	±58,3	±55,0	±50,6
14	230		±28,9	±25,3	±20,7	±42,3	±38,7	±34,1	±62,4	±58,8	±54,2
15	240		±30,8	±26,9	±22,0	±45,1	±41,2	±36,3	±66,5	±62,6	±57,7
16	250		±32,7	±28,6	±23,4	±47,8	±43,8	±38,5	±70,6	±66,5	±61,3
		-	Maksymalna, obliczeniowa siła poprzeczna $V_d$ , kN								
17		-	±42,3	±75,2	±117,5	±42,3	±75,2	±117,5	±42,3	±75,2	±117,5



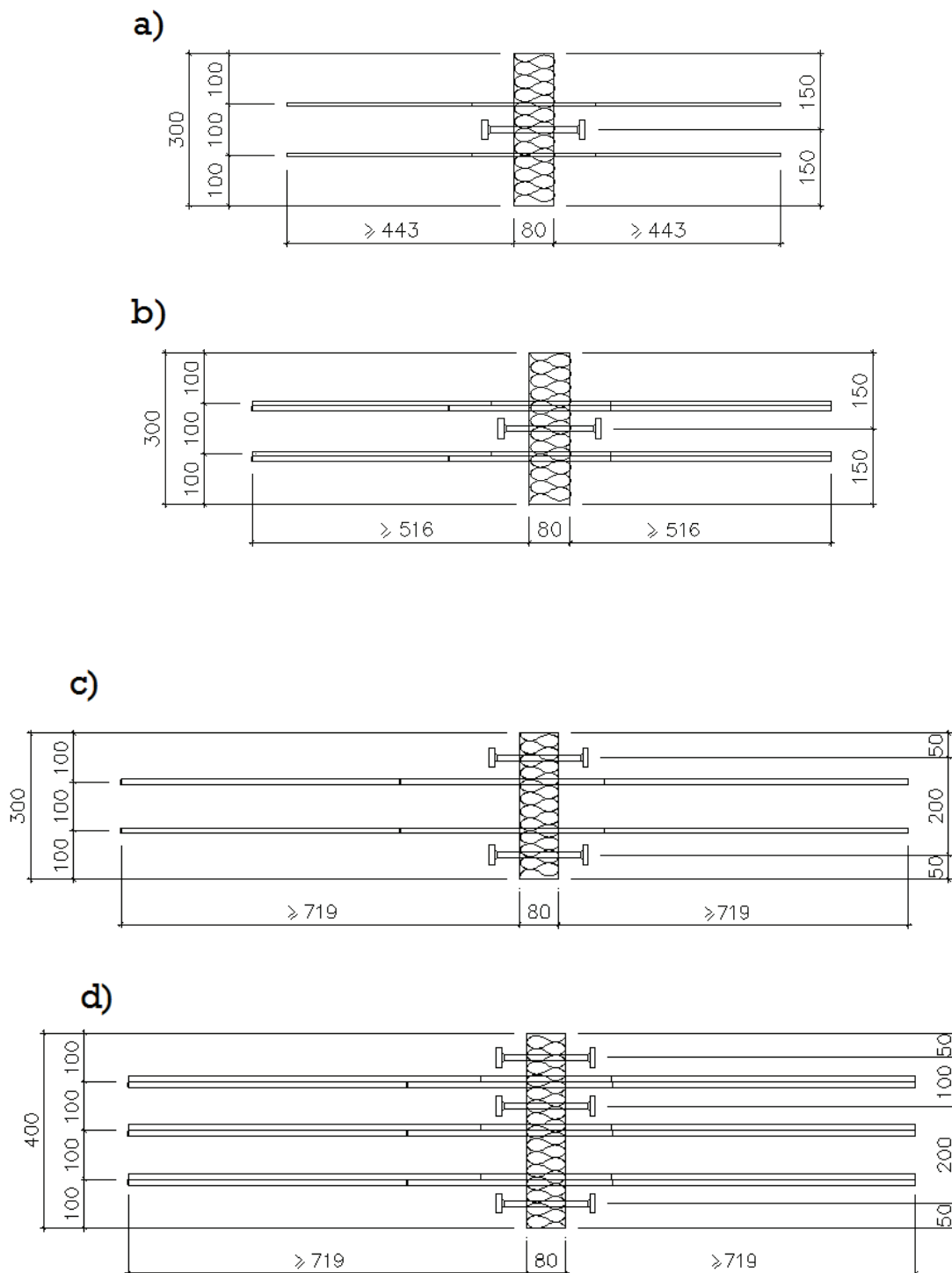
**Rysunek 23.** Łącznik w wersji Q



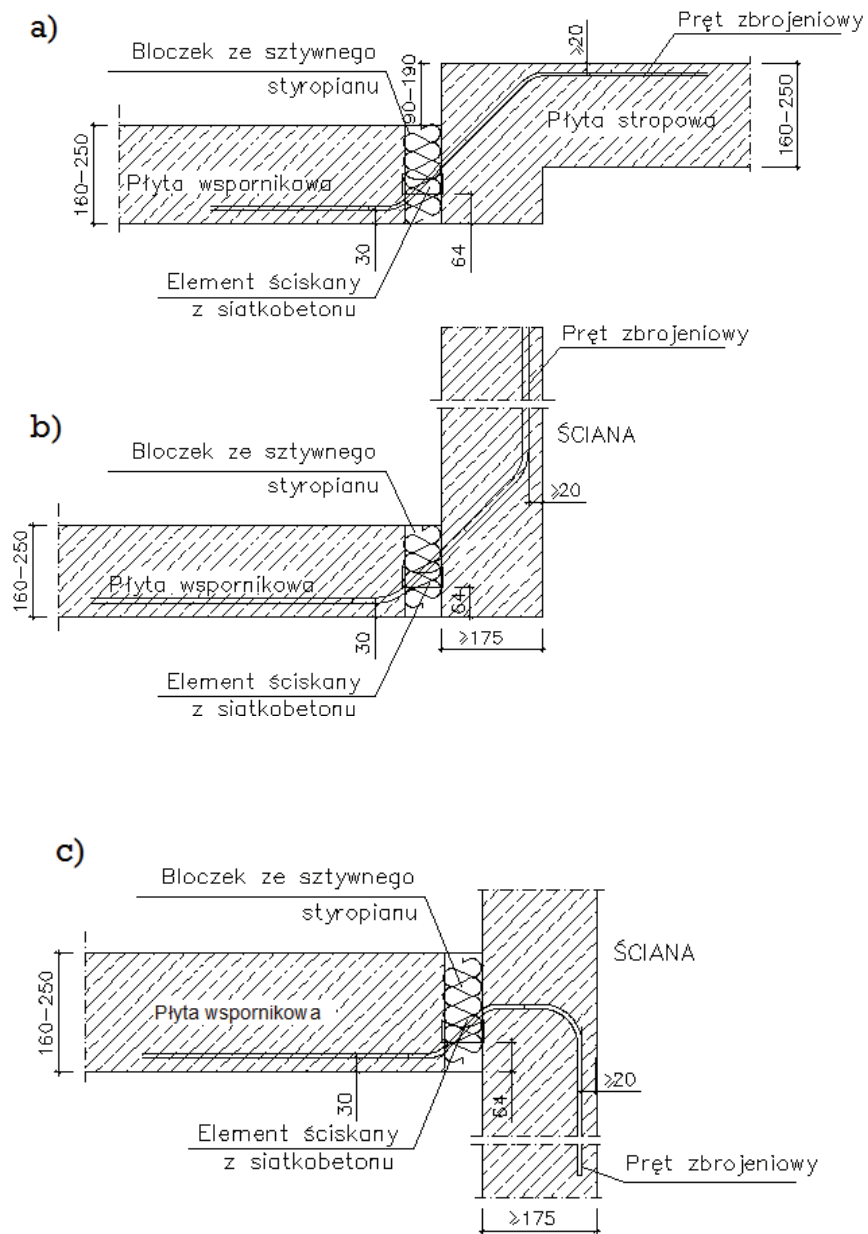
**Rysunek 24.** Połączenia wykonane z zastosowaniem łączników w wersjach Q, QP i QPZ  
 a) z zastosowaniem łącznika Q, b) z zastosowaniem łącznika QP,  
 c) z zastosowaniem łącznika QPZ





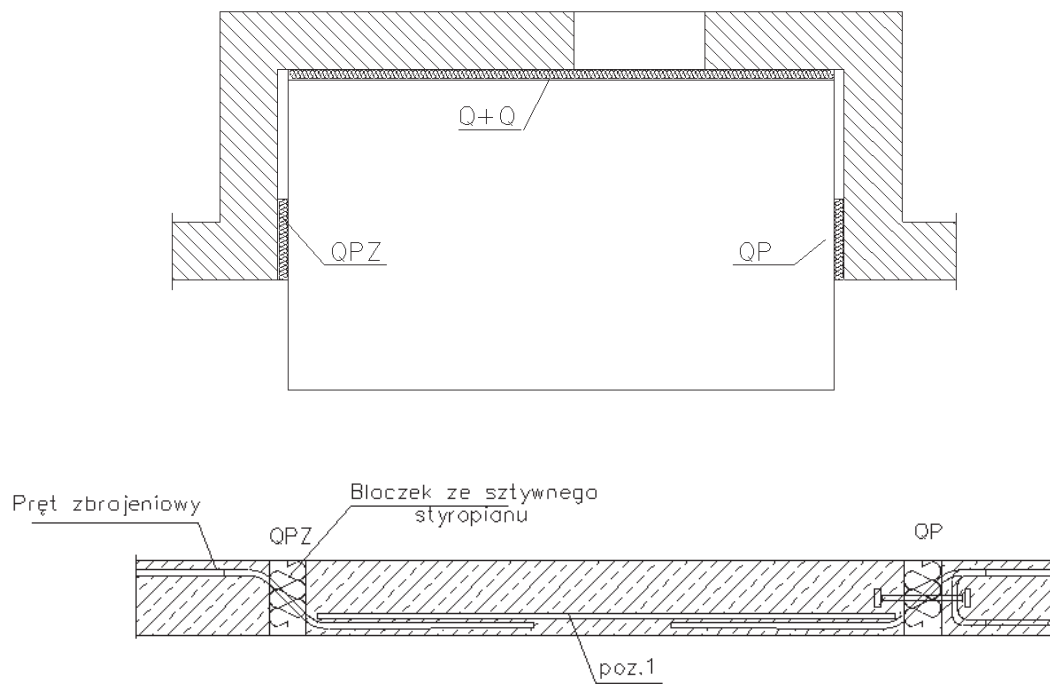

**Rysunek 26.** Łączniki w wersji QP

**a)** łącznik QP 10 [QP 8/2], **b)** łącznik QP 40+QP 40 [QP 10/2+QP 10/2],  
**c)** łącznik QP 60 [QP 12/2], **d)** łącznik QP 70+QP 70 [QP 12/3+QP 12/3]

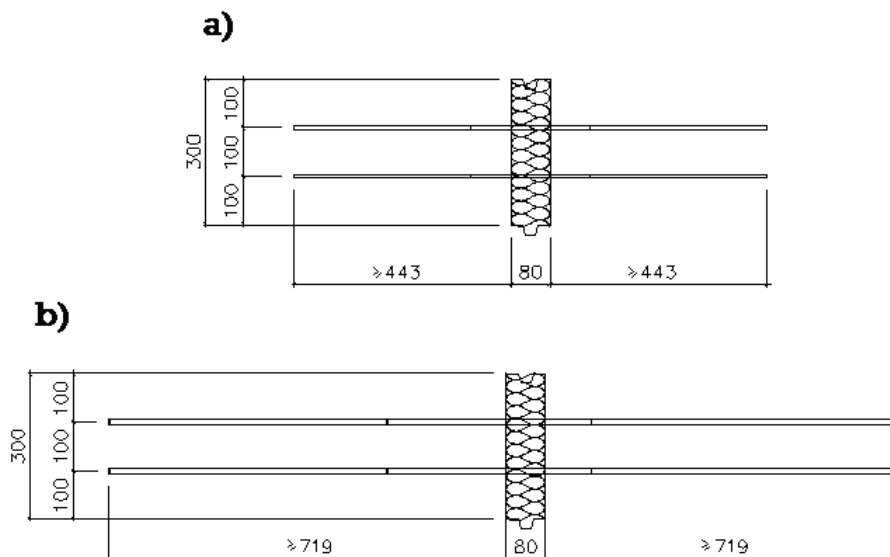


**Rysunek 27.** Połączenia wykonane z zastosowaniem łączników w wersjach Q-HV, Q-WO i Q-WU

- a) z zastosowaniem łącznika Q-HV, b) z zastosowaniem łącznika Q-WO, c) z zastosowaniem łącznika Q-WU



**Rysunek 28.** Połączenia wykonane z zastosowaniem łączników w wersjach QPZ, Q oraz QP



**Rysunek 29.** Łączniki w wersji QPZ  
**a)** łącznik QPZ 10, **b)** łącznik QPZ 60

**Tablica 30.** Ilości i średnice prętów stalowych i stalowych elementów ściskanych oraz ilości siatkobetonowych elementów ściskanych łączników wersji Q

Poz.	Rodzaj pręta lub elementu ściskanego	Oznaczenie łącznika												
		Q10	Q20	Q30	Q40	Q50	Q70	Q80	Q90	Q100	Q110	Q10 +Q10	Q30 +Q30	Q50 +Q50
1	Długość elementu [m]	1,00	1,00	1,00	1,00	1,00	1,00	1,00	1,00	1,00	1,00	1,00	1,00	1,00
2	Pręty przenoszące siły poprzeczne	4Ø6	5Ø6	6Ø6	8Ø6	10Ø6	6Ø8	5Ø10	6Ø10	5Ø12	6Ø12	2× 4Ø6	2× 6Ø6	2× 10Ø6
3	Łożysko oporowe (szt.)	4	4	4	4	4	4	4	4	6	6	4	4	4

**Tablica 31.** Maksymalne, obliczeniowe siły poprzeczne przenoszone przez połączenia, wykonane z zastosowaniem łączników w wersji Q

Poz.	Klasa betonu	Maksymalne, obliczeniowe siły poprzeczne $V_{Rd}$ [kN]												
		Oznaczenie łącznika												
		Q10	Q20	Q30	Q40	Q50	Q70	Q80	Q90	Q100	Q110	Q10 +Q10	Q30 +Q30	Q50 +Q50
1	C20/25	+30,2	+37,7	+45,3	+60,4	+75,5	+79,0	+94,6	+113,5	+147,7	+177,2	±30,2	±45,3	±75,5
2	C25/30	+34,8	+43,5	+52,2	+69,5	+86,9	+92,7	+111,1	+133,3	+173,3	+206,4	±34,8	±52,2	±86,9

**Tablica 32.** Ilości i średnice prętów stalowych i stalowych elementów ściskanych oraz ilości siatkobetonowych elementów ściskanych łączników wersji Q-S i Q-M

Poz.	Rodzaj pręta lub elementu ściskanego	Oznaczenie łącznika					
		Q10S	Q20S	Q30S	Q40M	Q50M	Q60M
1	Długość elementu [m]	1,00	1,00	1,00	1,00	1,00	1,00
2	Pręty przenoszące siły poprzeczne	4Ø8	6Ø8	8Ø8	4Ø12	6Ø12	8Ø12
3	Łożysko oporowe (szt.)	4	4	8	4	6	4

**Tablica 33.** Maksymalne, obliczeniowe siły poprzeczne przenoszone przez połączenia, wykonane z zastosowaniem łączników w wersji Q-S i Q-M

Poz.	Klasa betonu	Maksymalne, obliczeniowe siły poprzeczne $V_{Rd}$ [kN]					
		Oznaczenie łącznika					
		Q10S	Q20S	Q30S	Q40M	Q50M	Q60M
1	C20/25	+43,8	+65,7	+87,6	+98,6	+147,8	+187,1
2	C25/30	+54,8	+82,1	+109,5	+123,2	+184,8	+246,4
3	C30/37	+61,8	+92,7	+123,6	+139,1	+208,6	+278,2

**Tablica 34.** Ilości i średnice prętów stalowych i stalowych elementów ściskanych oraz ilości siatkobetonowych elementów ściskanych łączników wersji Q-S VV i Q-M VV

Poz.	Rodzaj pręta lub elementu ściskanego	Oznaczenie łącznika					
		Q10S VV	Q20S VV	Q30S VV	Q40M VV	Q50M VV	Q60M VV
1	Długość elementu [m]	1,00	1,00	1,00	1,00	1,00	1,00
2	Pręty przenoszące siły poprzeczne	2 × 4Ø8	2 × 6Ø8	2 × 8Ø8	2 × 4Ø12	2 × 6Ø12	2 × 8Ø12
3	Łożysko oporowe (szt.)	4	4	8	4	6	4

**Tablica 35.** Maksymalne, obliczeniowe siły poprzeczne przenoszone przez połączenia, wykonane z zastosowaniem łączników w wersji Q-S VV i Q-M VV

Poz.	Klasa betonu	Maksymalne, obliczeniowe siły poprzeczne $V_{Rd}$ [kN]					
		Oznaczenie łącznika					
		Q10S VV	Q20S VV	Q30S VV	Q40M VV	Q50M VV	Q60M VV
1	C20/25	+43,8	+65,7	+87,6	+98,6	+147,8	+187,1
2	C25/30	+54,8	+82,1	+109,5	+123,2	+184,8	+246,4
3	C30/37	+61,8	+92,7	+123,6	+139,1	+208,6	+278,2

**Tablica 36.** Ilości i średnice prętów stalowych i stalowych elementów ściskanych oraz ilości siatkobetonowych elementem ściskanych łączników wersji QZ-S i QZ-M

Poz.	Rodzaj pręta lub elementu ściskanego	Oznaczenie łącznika					
		QZ10S	QZ20S	QZ30S	QZ40M	QZ50M	QZ60M
1	Długość elementu [m]	1,00	1,00	1,00	1,00	1,00	1,00
2	Pręty przenoszące siły poprzeczne	4Ø8	6Ø8	8Ø8	4Ø12	6Ø12	8Ø12

**Tablica 37.** Maksymalne, obliczeniowe siły poprzeczne przenoszone przez połączenia, wykonane z zastosowaniem łączników w wersji Q-S

Poz.	Klasa betonu	Maksymalne, obliczeniowe siły poprzeczne $V_{Rd}$ [kN]					
		Oznaczenie łącznika					
		Q10S	Q20S	Q30S	Q40M	Q50M	Q60M
1	C20/25	+43,8	+65,7	+87,6	+98,6	+147,8	+187,1
2	C25/30	+54,8	+82,1	+109,5	+123,2	+184,8	+246,4
3	C30/37	+61,8	+92,7	+123,6	+139,1	+208,6	+278,2



**Tablica 38.** Ilości i średnice prętów stalowych i stalowych elementów ściskanych oraz ilości siatkobetonowych elementów ściskanych łączników wersji QP

Poz.	Rodzaj pręta lub elementu ściskanego	Oznaczenie łącznika												
		QP10	QP20	QP30	QP40	QP50	QP60	QP70	QP80	QP90	QP10 +QP10	QP40 +QP40	QP60 +QP60	QP70 +QP70
1	Długość elementu [m]	300	400	500	300	400	300	400	300	400	300	300	300	400
2	Pręty przenoszące siły poprzeczne	2Ø8	3Ø8	4Ø8	2Ø10	3Ø10	2Ø12	3Ø12	2Ø14	3Ø14	2 <sup>x</sup> 2Ø8	2 <sup>x</sup> 2Ø10	2 <sup>x</sup> 2Ø12	2 <sup>x</sup> 3Ø12
3	Łożysko oporowe (szt.)	1Ø10	2Ø10	2Ø10	1Ø12	2Ø10	2Ø10	2Ø12	2Ø12	3Ø12	1Ø10	1Ø12	2Ø10	2Ø12

**Tablica 39.** Maksymalne, obliczeniowe siły poprzeczne przenoszone przez połączenia, wykonane z zastosowaniem łączników w wersji QP

Poz.	Klasa betonu	Maksymalne, obliczeniowe siły poprzeczne $V_{Rd}$ [kN]												
		Oznaczenie łącznika												
		QP10	QP20	QP30	QP40	QP50	QP60	QP70	QP80	QP90	QP10 +QP10	QP40 +QP40	QP60 +QP60	QP70 +QP70
1	C20/25	+26,3	+39,5	+52,7	+38,2	+57,2	+60,3	+90,4	+73,2	+109,8	±26,3	±38,2	±60,3	±90,4
2	C25/30	+30,9	+46,4	+61,8	+44,8	+65,4	+65,4	+98,6	+85,9	+128,9	±30,9	±44,8	±65,4	±98,6

**Tablica 40.** Ilości i średnice prętów stalowych i stalowych elementów ściskanych oraz ilości siatkobetonowych elementów ściskanych łączników wersji QP-S, QP-M i QP-L

Poz.	Rodzaj pręta lub elementu ściskanego	Oznaczenie łącznika							
		QP10S	QP20S	QP30S	QP40M	QP50M	QP60M	QP70L	QP80L
1	Długość elementu [m]	300	400	500	300	400	500	300	400
2	Pręty przenoszące siły poprzeczne	2Ø8	3Ø8	4Ø8	2Ø12	3Ø12	4Ø12	2Ø14	3Ø14
3	Łożysko oporowe (szt.)	-	-	4	-	-	4	-	-
4	Łożysko oporowe stalowe (szt.)	1Ø10	2Ø10	-	2Ø10	3Ø10	-	2Ø12	3Ø12

**Tablica 41.** Maksymalne, obliczeniowe siły poprzeczne przenoszone przez połączenia, wykonane z zastosowaniem łączników w wersji QP-S, QP-M i QP-L

Poz.	Klasa betonu	Maksymalne, obliczeniowe siły poprzeczne $V_{Rd}$ [kN]							
		Oznaczenie łącznika							
		QP10S	QP20S	QP30S	QP40M	QP50M	QP60M	QP70L	QP80L
1	C20/25	+21,9	+32,9	+43,8	+49,3	+73,9	+98,6	+67,1	+100,6
2	C25/30	+27,4	+41,1	+54,8	61,6	+92,4	+123,2	+83,8	+125,8
3	C30/37	+30,9	+46,4	+61,8	+69,5	+104,3	+139,1	+94,7	+142,0

**Tablica 42.** Ilości i średnice prętów stalowych i stalowych elementów ściskanych oraz ilości siatkobetonowych elementem ściskanych łączników wersji QP-S VV, QP-M VV i QP-L VV

Poz.	Rodzaj pręta lub elementu ściskanego	Oznaczenie łącznika							
		QP10S VV	QP20S VV	QP30S VV	QP40M VV	QP50M VV	QP60M VV	QP70L VV	QP80L VV
1	Długość elementu [m]	300	400	500	300	400	500	300	400
2	Pręty przenoszące siły poprzeczne	2 x 2Ø8	2 x 3Ø8	2 x 4Ø8	2 x 2Ø12	2 x 3Ø12	2 x 4Ø12	2 x 2Ø14	2 x 3Ø14
3	Łożysko oporowe (szt.)	-	-	4	-	-	4	-	-
4	Łożysko oporowe stalowe (szt.)	1Ø10	2Ø10	-	2Ø10	3Ø10	-	2Ø12	3Ø12

**Tablica 43.** Maksymalne, obliczeniowe siły poprzeczne przenoszone przez połączenia, wykonane z zastosowaniem łączników w wersji QP-S VV, QP-M VV i QP-L VV

Poz.	Klasa betonu	Maksymalne, obliczeniowe siły poprzeczne $V_{Rd}$ [kN]							
		Oznaczenie łącznika							
		QP10S VV	QP20S VV	QP30S VV	QP40M VV	QP50M VV	QP60M VV	QP70L VV	QP80L VV
1	C20/25	+21,9	+32,9	+43,8	+49,3	+73,9	+98,6	+67,1	+100,6
2	C25/30	+27,4	+41,1	+54,8	61,6	+92,4	+123,2	+83,8	+125,8
3	C30/37	+30,9	+46,4	+61,8	+69,5	+104,3	+139,1	+94,7	+142,0

**Tablica 44.** Ilości i średnice prętów stalowych łączników w wersji QPZ

Poz.	Rodzaj pręta	Oznaczenie łącznika				
		QPZ 10	QPZ 40	QPZ 60	QPZ 70	QPZ 90
1	2	3	4	5	6	7
1	Długość elementu	300	300	300	400	300
2	Pręty przenoszące siły poprzeczne	2 $\phi$ 8	2 $\phi$ 10	2 $\phi$ 12	3 $\phi$ 12	2 $\phi$ 14

**Tablica 45.** Maksymalne, obliczeniowe siły poprzeczne przenoszone przez połączenia, wykonane z zastosowaniem łączników w wersji QPZ

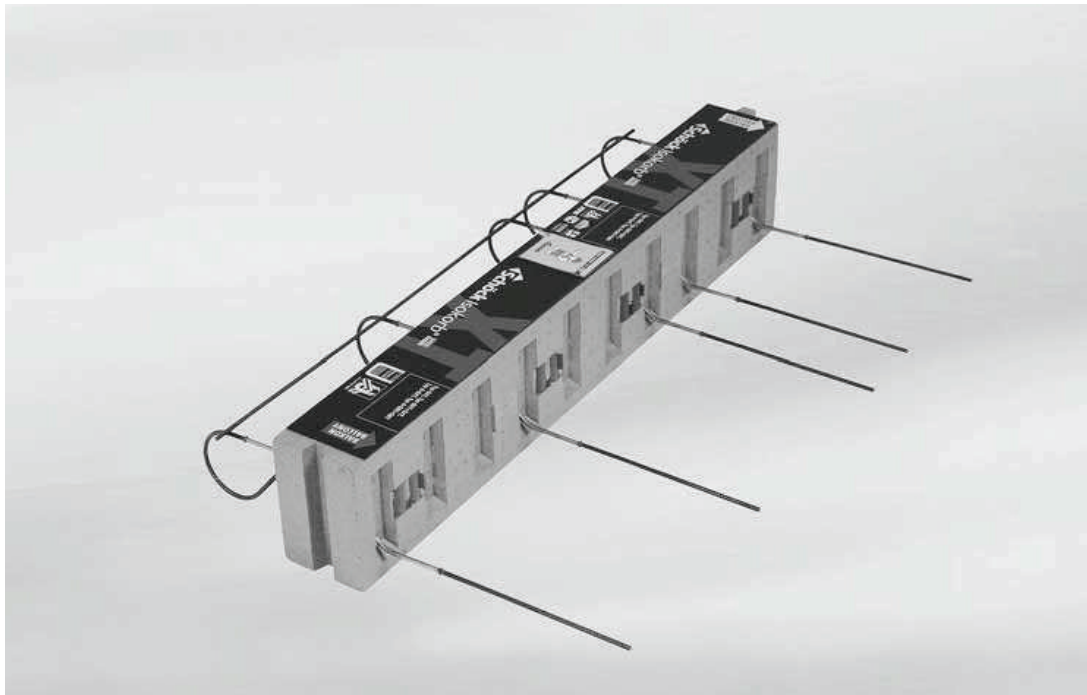
Poz.	Klasa betonu	Maksymalne, obliczeniowe siły poprzeczne $V_{Rd}$ [kN]				
		Oznaczenie łącznika				
		QPZ 10	QPZ 40	QPZ 60	QPZ 70	QPZ 90
1	2	3	4	5	6	7
1	C20/25	+26,3	+38,2	+60,3	+90,4	+73,2
2	C25/30	+30,9	+44,8	+65,4	+98,6	+85,9

**Tablica 46.** Ilości i średnice prętów stalowych i stalowych elementów ściskanych oraz ilości siatkobetonowych elementów ściskanych łączników wersji QPZ-S, QPZ-M i QPZ-L

Poz.	Rodzaj pręta lub elementu ściskanego	Oznaczenie łącznika							
		QPZ10S	QPZ20S	QPZ30S	QPZ40M	QPZ50M	QPZ60M	QPZ70L	QPZ80L
1	Długość elementu [m]	300	400	500	300	400	500	300	400
2	Pręty przenoszące siły poprzeczne	2Ø8	3Ø8	4Ø8	2Ø12	3Ø12	4Ø12	2Ø14	3Ø14

**Tablica 47.** Maksymalne, obliczeniowe siły poprzeczne przenoszone przez połączenia, wykonane z zastosowaniem łączników w wersji QP-S, QP-M i QP-L

Poz.	Klasa betonu	Maksymalne, obliczeniowe siły poprzeczne $V_{Rd}$ [kN]							
		Oznaczenie łącznika							
		QPZ10S	QPZ20S	QPZ30S	QPZ40M	QPZ50M	QPZ60M	QPZ70L	QPZ80L
1	C20/25	+21,9	+32,9	+43,8	+49,3	+73,9	+98,6	+67,1	+100,6
2	C25/30	+27,4	+41,1	+54,8	61,6	+92,4	+123,2	+83,8	+125,8
3	C30/37	+30,9	+46,4	+61,8	+69,5	+104,3	+139,1	+94,7	+142,0



**Rysunek 30.** Łączniki w wersji QXT

**Tablica 48.** Ilości i średnice prętów stalowych i stalowych elementów ściskanych oraz ilości siatkobetonowych elementów ściskanych łączników wersji QXT

Poz.	Rodzaj pręta lub elementu ściskanego	Oznaczenie łącznika											
		QXT10	QXT20	QXT30	QXT40	QXT60	QXT70	QXT80	QXT90	QXT10 +QXT10	QXT20 +QXT20	QXT30 +QXT30	QXT40 +QXT40
1	Długość elementu [m]	1,00	1,00	1,00	1,00	1,00	1,00	1,00	1,00	1,00	1,00	1,00	1,00
2	Pręty przenoszące siły poprzeczne	5Ø6	6Ø6	8Ø6	10Ø6	7Ø8	5Ø10	6Ø10	7Ø10	2× 5Ø6	2× 6Ø6	2× 8Ø6	2× 10Ø6
3	Łożysko oporowe (szt.)	4	4	4	4	4	4	5	6	4	4	4	

**Tablica 49.** Maksymalne, obliczeniowe siły poprzeczne przenoszone przez połączenia, wykonane z zastosowaniem łączników w wersji QXT

Poz.	Klasa betonu	Maksymalne, obliczeniowe siły poprzeczne $V_{Rd}$ [kN]											
		Oznaczenie łącznika											
		QXT10	QXT20	QXT30	QXT40	QXT60	QXT70	QXT80	QXT90	QXT10 +Q10	Q20 +Q20	Q30 +Q30	Q40 +Q40
1	C20/25	+30,0	+36,0	+48,1	+60,1	+74,7	+83,4	+100,1	+116,8	±30,0	±36,0	±48,1	±60,1
2	C25/30	+35,3	+42,3	+56,4	+70,5	+87,7	+96,3	+117,5	+137,1	±35,3	±42,3	±56,4	±70,5

**Tablica 50.** Ilości i średnice prętów stalowych i stalowych elementów ściskanych oraz ilości siatkobetonowych elementów ściskanych łączników wersji QPXT

Poz.	Rodzaj pręta lub elementu ściskanego	Oznaczenie łącznika												
		QPXT10	QPXT20	QPXT30	QPXT40	QPXT50	QPXT60	QPXT70	QPXT75	QPXT100	QXT10 +QXT10	QXT40 +QXT40	QXT60 +QXT60	QXT70 +QXT70
1	Długość elementu [m]	300	400	500	300	400	300	400	400	500	300	300	300	400
2	Pręty przenoszące siły poprzeczne	2Ø10	3Ø10	4Ø10	2Ø12	3Ø12	2Ø14	3Ø14	2Ø14	4Ø14	3Ø14	2Ø14	2x 2Ø14	2x 3Ø14
3	Łożysko oporowe (szt.)	1Ø14	2Ø12	2Ø14	2Ø12	2Ø14	2Ø14	3Ø12	4Ø12	4Ø14	1Ø14	2Ø10	2Ø12	

**Tablica 51.** Maksymalne, obliczeniowe siły poprzeczne przenoszone przez połączenia, wykonane z zastosowaniem łączników w wersji QPXT

Poz.	Klasa betonu	Maksymalne, obliczeniowe siły poprzeczne $V_{Rd}$ [kN]												
		Oznaczenie łącznika												
		QPXT10	QPXT20	QPXT30	QPXT40	QPXT50	QPXT60	QPXT70	QPXT75	QPXT100	QXT10 +QXT10	QXT40 +QXT40	QXT60 +QXT60	QXT70 +QXT70
1	C20/25	+33,4	+50,1	+66,7	+48,1	+70,2	+65,4	+92,0	+98,1	+130,8	±33,4	±48,1	±65,4	±90,0
2	C25/30	+35,1	+58,8	+70,2	+56,4	+72,0	+70,2	+92	+115,2	+140,3	±35,1	±56,4	±70,2	±92,0

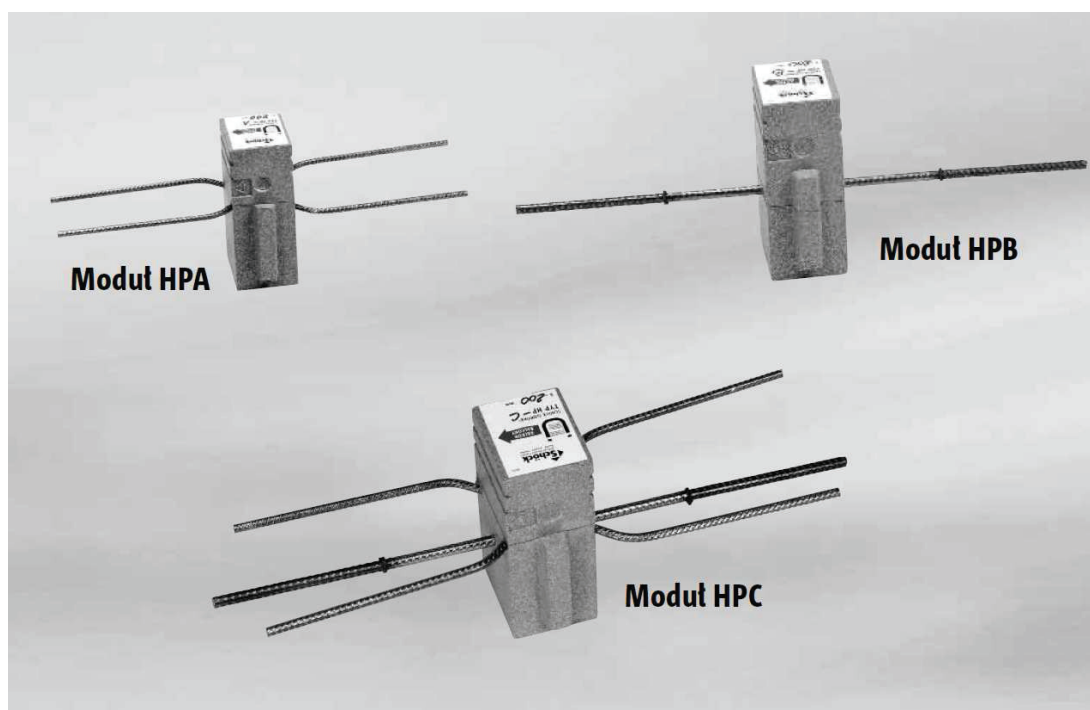


**Tablica 52.** Ilości i średnice prętów stalowych łączników w wersji QPZXT

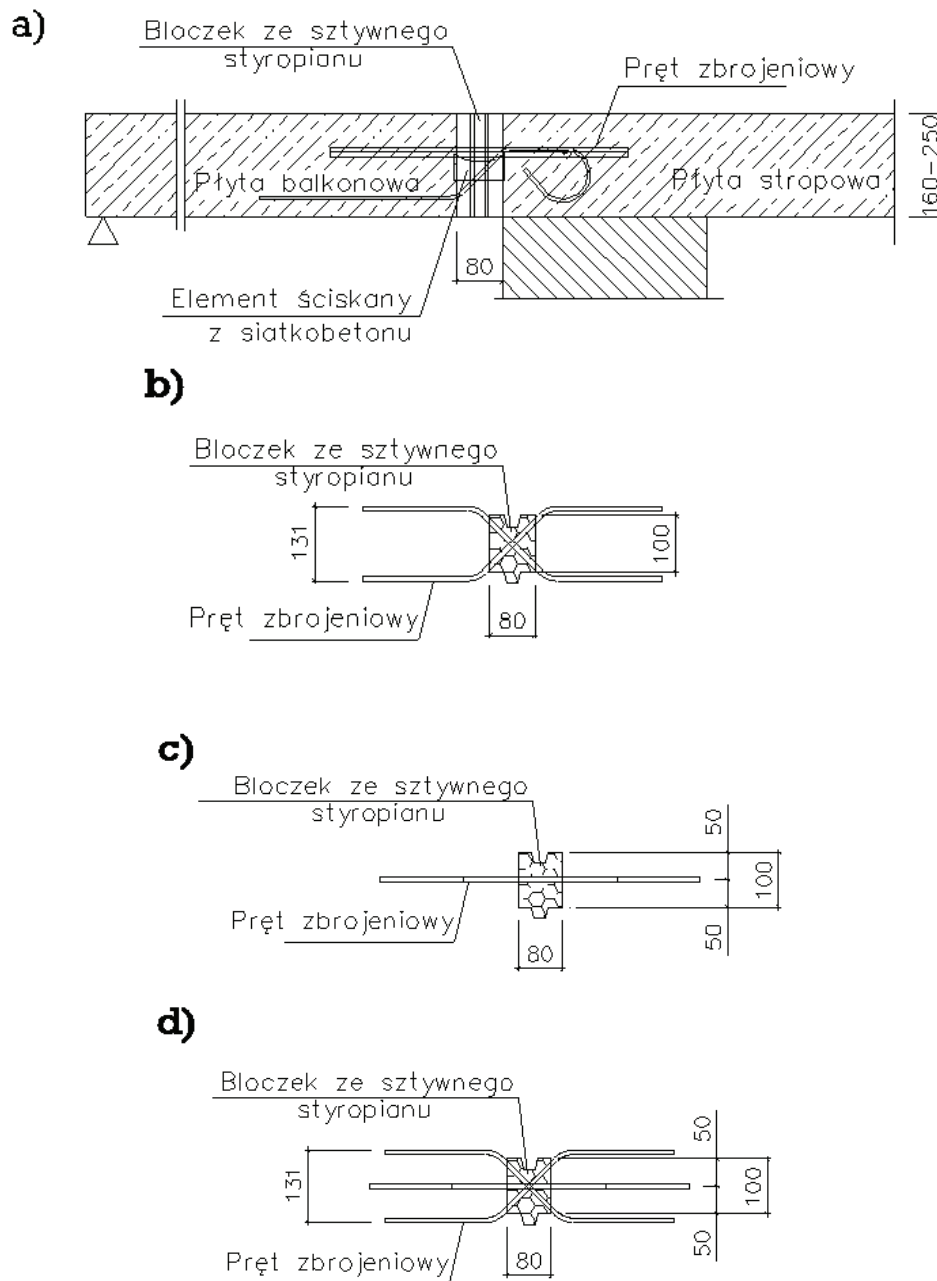
Poz.	Rodzaj pręta	Oznaczenie łącznika			
		QPZXT 10	QPZXT 40	QPZXT 60	QPZXT 75
1	2	3	4	5	6
1	Długość elementu	300	300	300	400
2	Pręty przenoszące siły poprzeczne	2 $\phi$ 10	2 $\phi$ 12	2 $\phi$ 14	3 $\phi$ 14

**Tablica 53.** Maksymalne, obliczeniowe siły poprzeczne przenoszone przez połączenia, wykonane z zastosowaniem łączników w wersji QPZXT

Poz.	Klasa betonu	Maksymalne, obliczeniowe siły poprzeczne $V_{Rd}$ [kN]			
		Oznaczenie łącznika			
		QPZ 10	QPZ 40	QPZ 60	QPZ 75
1	2	3	4	5	6
1	C20/25	+33,4	+48,1	+65,4	+98,1
2	C25/30	+35,1	+56,4	+70,2	+115,2



Rysunek 31. Łączniki w wersji HP



**Rysunek 32.** Połączenie wykonane z zastosowaniem łącznika w wersji HP oraz łączniki w wersji HP

- a) połączenie wykonane z zastosowaniem łączników HPC oraz Q,  
 b) łącznik HPA, c) łącznik HPB, d) łącznik HPC

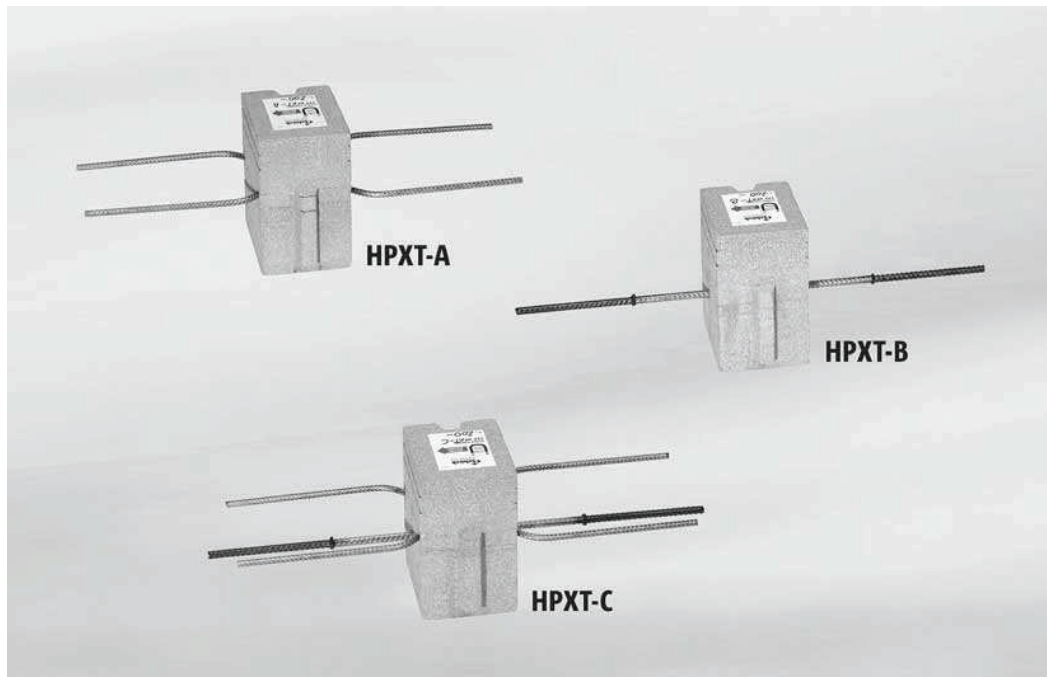
**Tablica 54.** Ilości i średnice prętów stalowych łączników w wersji HP

Poz.	Rodzaj pręta	Oznaczenie łącznika		
		HPA	HPB	HPC
1	2	3	4	5
1	Długość elementu [mm]	100	100	100
2	Pręty rozciągane	–	1Ø10	1Ø10
2	Pręty przenoszące siły poprzeczne, poziome	2× 1Ø8	–	2× 1Ø8

**Tablica 55.** Maksymalne, obliczeniowe siły poziome przenoszone przez połączenia, wykonane z zastosowaniem łączników w wersji HP

Poz.	Oznaczenie łącznika	Maksymalna, obliczeniowa siła pozioma $V_d$ , kN	
		Klasa betonu łączonych elementów	
		C20/25	C25/30
1	2	3	4
1	HPA	$\pm 7,4^{(1)}$	$\pm 8,6^{(1)}$
2	HPB	$\pm 18,1^{(2)}$	$\pm 20,9^{(2)}$
3	HPC	$\pm 7,4^{(1)} / \pm 18,1^{(2)}$	$\pm 8,6^{(1)} / \pm 20,9^{(2)}$

<sup>(1)</sup> siła pozioma, równoległa do bloczka styropianowego  
<sup>(2)</sup> siła pozioma, prostopadła do bloczka styropianowego



Rysunek 33. Łącznik w wersji HPXT

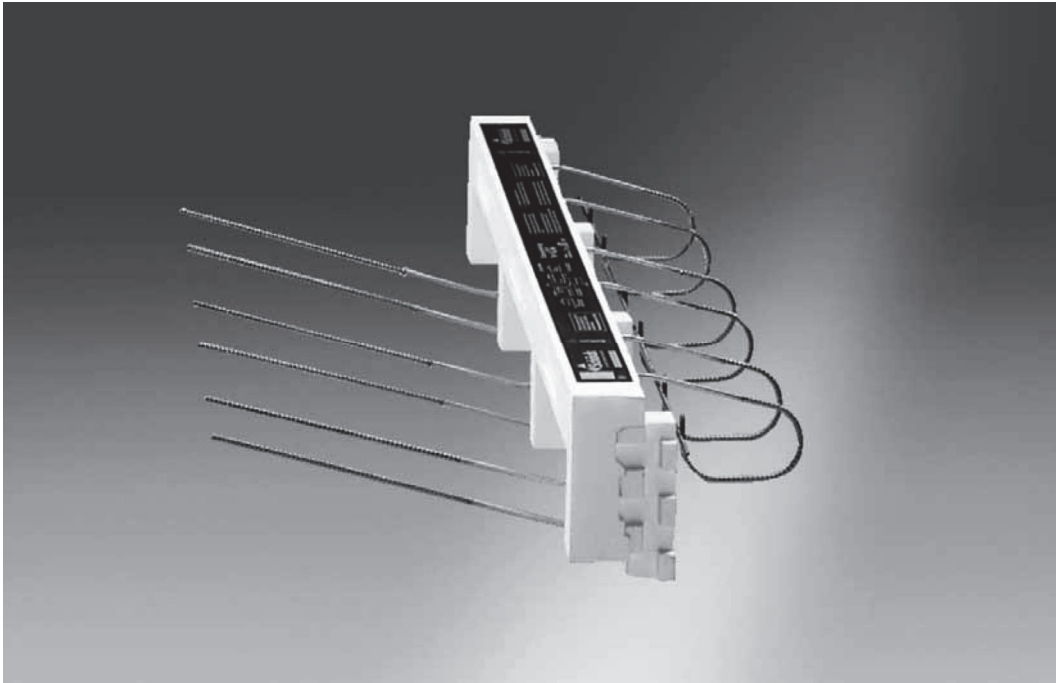
Tablica 56. Ilości i średnice prętów stalowych łączników w wersji HPXT

Poz.	Rodzaj pręta	Oznaczenie łącznika		
		HPXT-A	HPXT-B	HPXT-C
1	2	3	4	5
1	Długość elementu [mm]	150	150	150
2	Pręty rozciągane	–	1Ø10	1Ø10
2	Pręty przenoszące siły poprzeczne, poziome	2× 1Ø8	–	2× 1Ø8

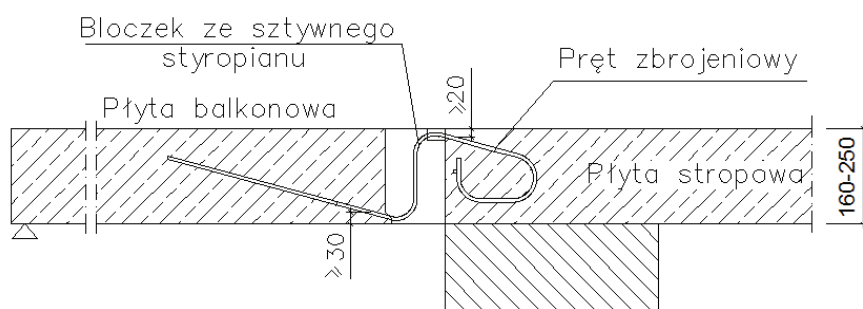
Tablica 57. Maksymalne, obliczeniowe siły poziome przenoszone przez połączenia, wykonane z zastosowaniem łączników w wersji HPXT

Poz.	Oznaczenie łącznika	Maksymalna, obliczeniowa siła pozioma $V_d$ , kN	
		Klasa betonu łączonych elementów	
		C20/25	C25/30
1	2	3	4
4	HPXT-A	$\pm 7,4^{(1)}$	$\pm 8,6^{(1)}$
5	HPXT-B	$\pm 18,1^{(2)}$	$\pm 20,9^{(2)}$
6	HPXT-C	$\pm 7,4^{(1)} / \pm 18,1^{(2)}$	$\pm 8,6^{(1)} / \pm 20,9^{(2)}$

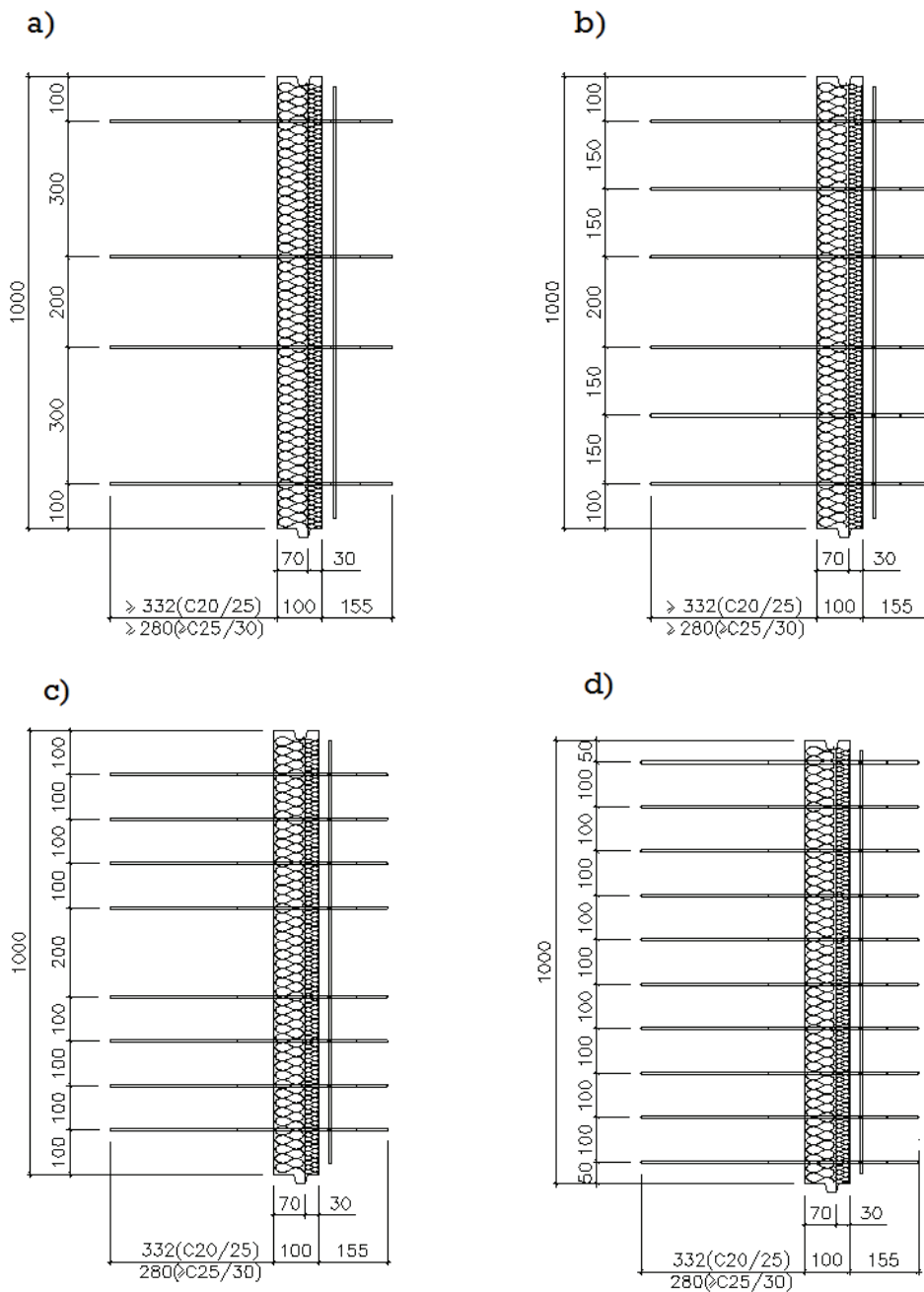
(1) siła pozioma, równoległa do bloczka styropianowego  
 (2) siła pozioma, prostopadła do bloczka styropianowego



**Rysunek 34.** Łącznik w wersji V



**Rysunek 35.** Połączenie wykonane z zastosowaniem łącznika w wersji V



**Rysunek 36.** Łączniki w wersji V

**a)** łącznik V 6/4, **b)** łącznik V 6/6, **c)** łącznik V 6/8, **d)** łącznik V 6/10

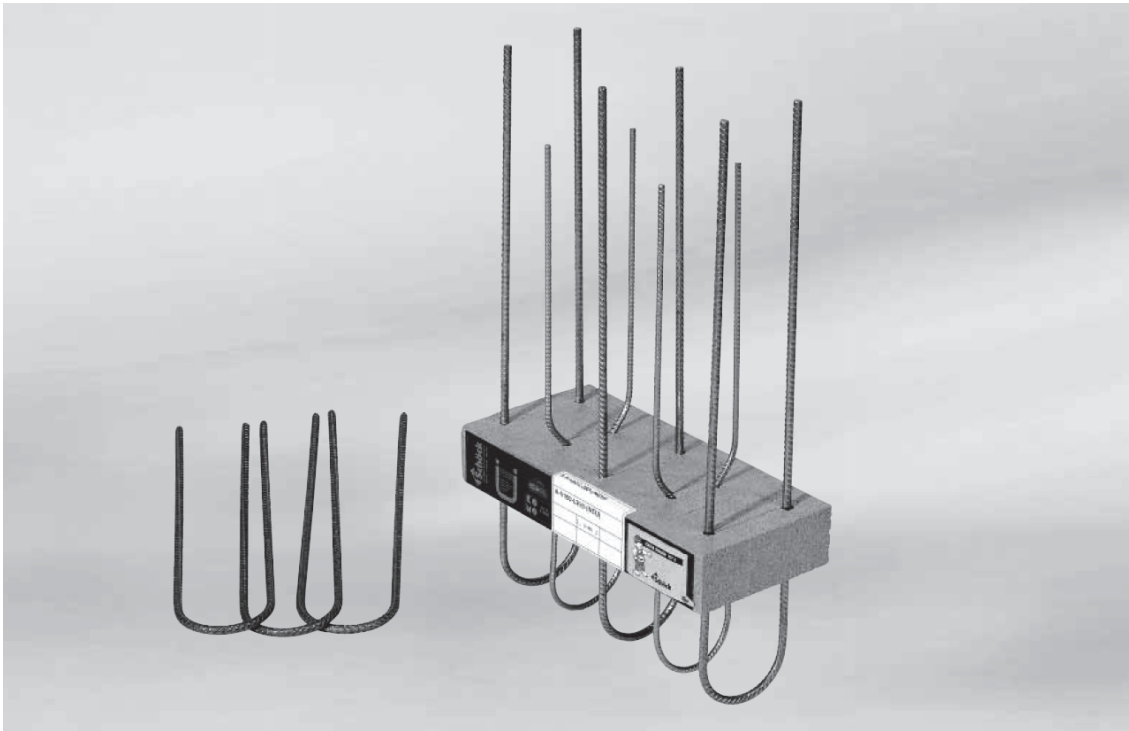
**Tablica 58.** Ilości i średnice prętów stalowych łączników w wersji V

Poz.	Rodzaj pręta	Oznaczenie łącznika			
		V 6/4	V 6/6	V 6/8	V 6/10
1	2	3	4	5	6
1	Długość elementu [m]	1,0	1,0	1,0	1,0
2	Pręty przenoszące siły poprzeczne	4 $\phi$ 6	6 $\phi$ 6	8 $\phi$ 6	10 $\phi$ 6

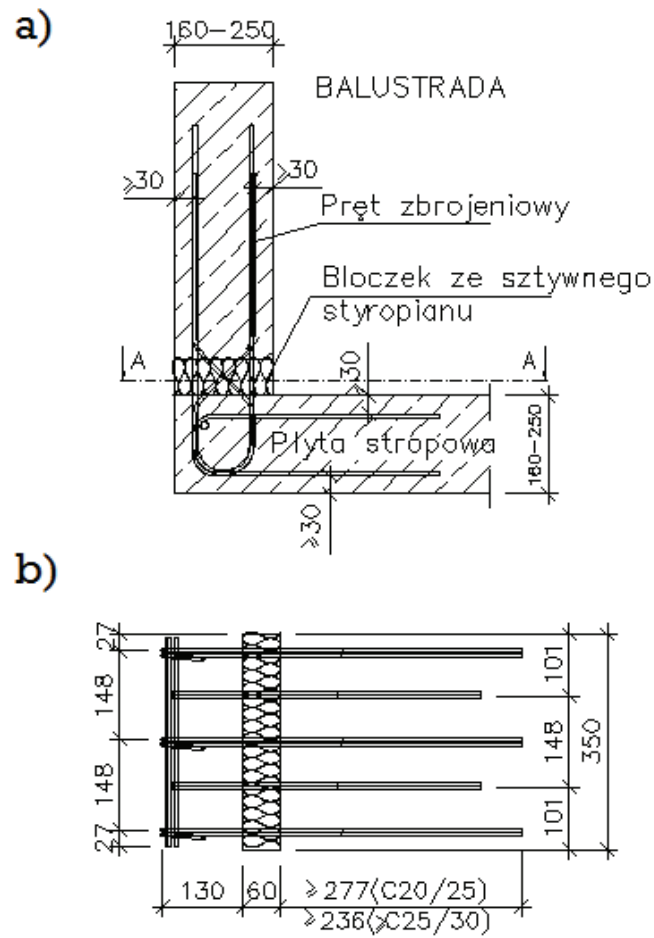
**Tablica 59.** Maksymalne, obliczeniowe siły poprzeczne przenoszone przez połączenia, wykonane z zastosowaniem łączników w wersji V

Poz.	Oznaczenie łącznika	Maksymalna, obliczeniowa siła poprzeczna $V_d$ , kN
1	2	3
1	V 6/4	49,2
2	V 6/6	73,8
3	V 6/8	98,4
4	V 6/10	122,9





**Rysunek 37.** Łącznik w wersji A



**Rysunek 38.** Połączenie wykonane z zastosowaniem łącznika w wersji A (a), łącznik w wersji A (b)

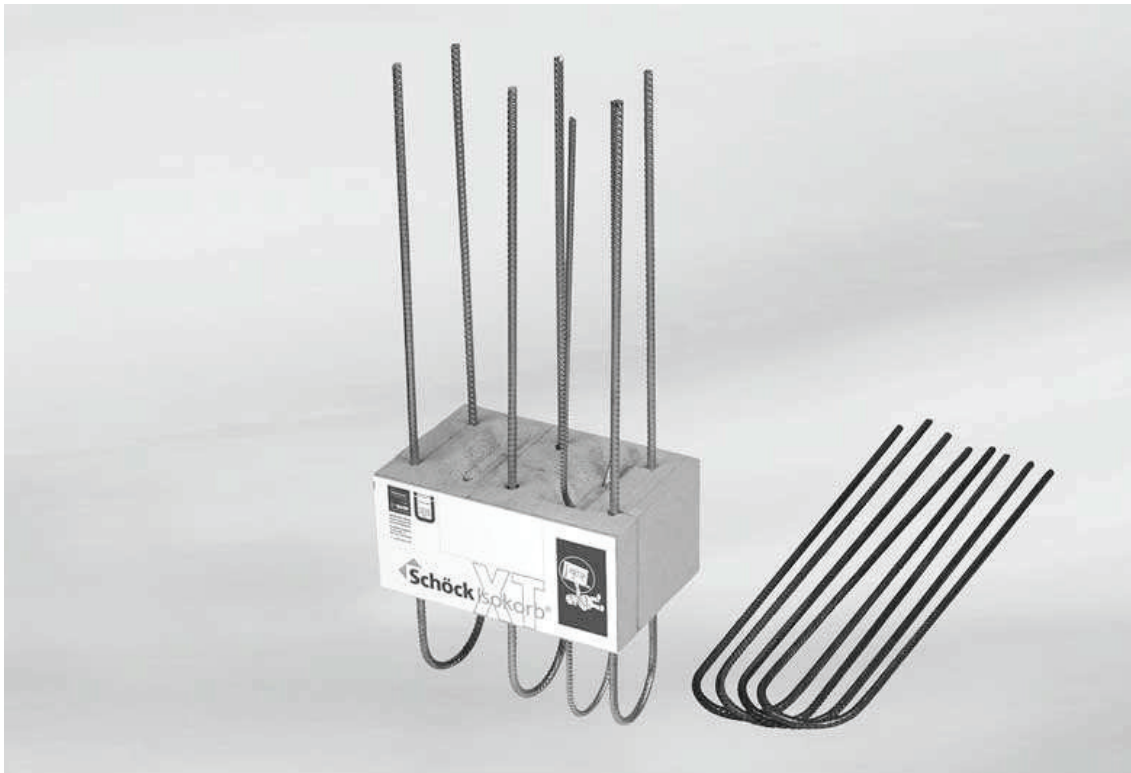
**Tablica 60.** Ilości i średnice prętów stalowych łączników w wersji A

<b>Poz.</b>	<b>Rodzaj pręta</b>	<b>Oznaczenie łącznika A</b>
<i>1</i>	<i>2</i>	<i>3</i>
1	Długość elementu [mm]	350
2	Wysokość łącznika [mm]	160-250
3	Pręty rozciągane / ściskane	3 $\phi$ 8
4	Pręty przenoszące siły poprzeczne	2 $\phi$ 6

**Tablica 61.** Maksymalne, obliczeniowe siły poprzeczne, podłużne i momenty zginające przenoszone przez połączenia, wykonane z zastosowaniem łączników w wersji A

<b>Poz.</b>	<b>Maksymalne, obliczeniowe siły poprzeczne <math>V_d</math>, kN</b>	<b>Maksymalne, obliczeniowe momenty zginające <math>M_d</math>, kNm<sup>(1)</sup></b>						
		<b>Maksymalne, obliczeniowe siły podłużne <math>N_d</math>, kN</b>						
		<b>0</b>	<b>10</b>	<b>20</b>	<b>30</b>	<b>40</b>	<b>50</b>	<b>59,1</b>
<i>1</i>	<i>2</i>	<i>3</i>	<i>4</i>	<i>5</i>	<i>6</i>	<i>7</i>	<i>8</i>	<i>9</i>
1	16,0	2,72	2,26	1,80	1,34	0,88	0,42	0
2	0	2,93	2,47	2,01	1,55	1,09	0,63	0,21
3	0	-2,93	-2,47	-2,01	-1,55	-1,09	-0,63	-0,21
4	-16,0	-2,72	-2,26	-1,80	-1,34	-0,88	-0,42	-

<sup>(1)</sup> wartości pośrednie mogą być interpolowane liniowo



**Rysunek 39.** Łącznik w wersji AXT

**Tablica 62.** Ilości i średnice prętów stalowych łączników w wersji AXT

Poz.	Rodzaj łącznika	Oznaczenie łącznika – A	
		AXT1	AXT2
1	2	3	4
1	Długość elementu [mm]	250	250
2	Wysokość łącznika [mm]	150-250	150-250
3	Pręty rozciągane / ściskane	2×2φ8	2×3φ8
4	Pręty przenoszące siły poprzeczne	2×1φ6	2×1φ6

**Tablica 63.** Maksymalne, obliczeniowe siły poprzeczne, podłużne i momenty zginające przenoszone przez połączenia, wykonane z zastosowaniem łączników w wersji AXT1

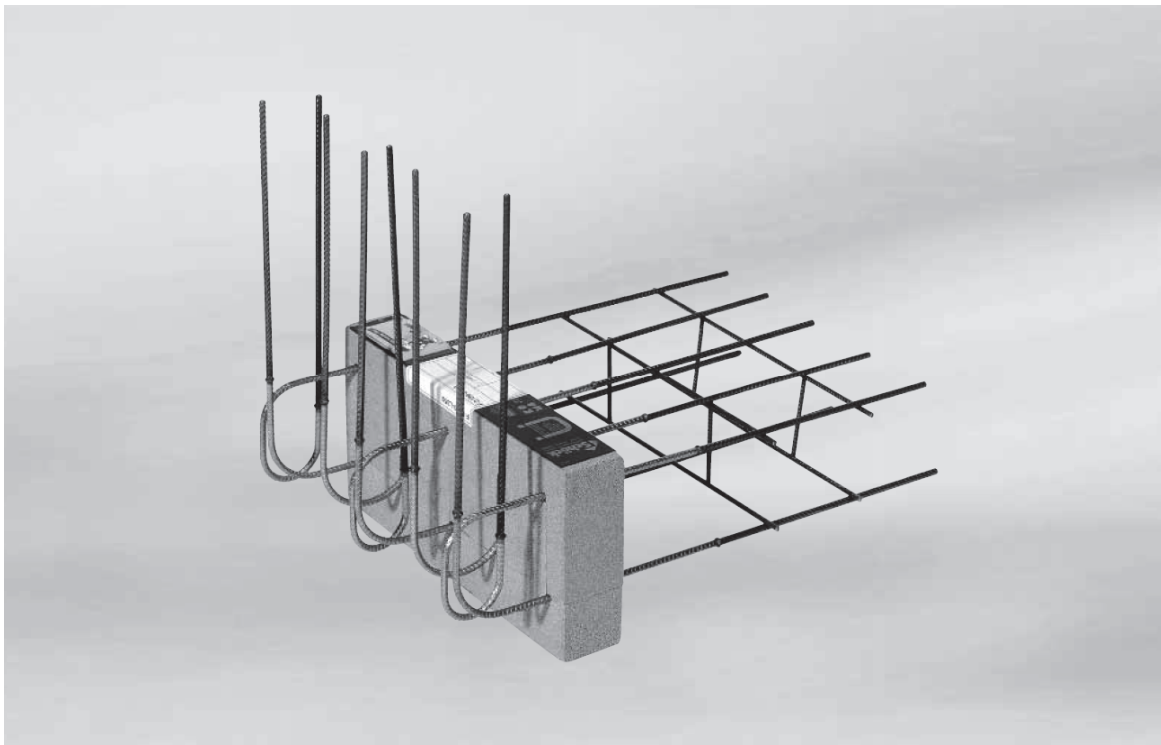
Poz.	Wysokość	Maksymalne, obliczeniowe siły poprzeczne $V_d$ , kN	Maksymalne, obliczeniowe momenty zginające $M_d$ , kNm <sup>(1)</sup>							
			Maksymalne, obliczeniowe siły podłużne $N_d$ , kN							
			0	5	10	15	20	25	30	35
1	2	3	4	5	6	7	8	9	10	11
1	150-190	5,84	-1,75	-1,52	-1,29	-1,06	-0,83	-0,60	-0,37	-0,14
2		-5,84	1,75	1,52	1,29	1,06	0,83	0,60	0,37	0,14
3	200-250	5,84	-2,36	-2,03	-1,70	-1,37	-1,04	-0,71	-0,38	-0,05
4		-5,84	2,36	2,03	1,70	1,37	1,04	0,71	0,38	0,05

<sup>(1)</sup> wartości pośrednie mogą być interpolowane liniowo

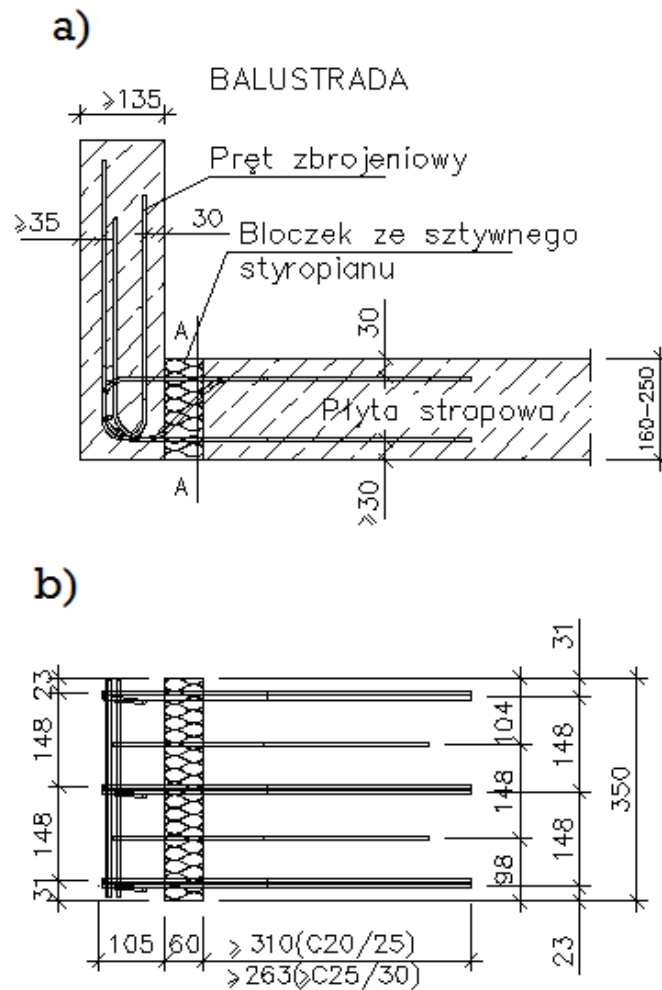
**Tablica 64.** Maksymalne, obliczeniowe siły poprzeczne, podłużne i momenty zginające przenoszone przez połączenia, wykonane z zastosowaniem łączników w wersji AXT2

Poz.	Wysokość	Maksymalne, obliczeniowe siły poprzeczne $V_d$ , kN	Maksymalne, obliczeniowe momenty zginające $M_d$ , kNm <sup>(1)</sup>					
			Maksymalne, obliczeniowe siły podłużne $N_d$ , kN					
			0	10	20	30	40	50
1	2	3	4	5	6	7	8	9
1	150-190	7,05	-4,40	-3,94	-3,48	-3,02	-2,56	-2,10
2		-7,05	4,40	3,94	3,48	3,02	2,56	2,10
3	200-250	7,05	6,13	-5,47	1,80	-4,81	-3,49	-2,83
4		-7,05	6,13	5,47	-1,80	4,81	+3,49	2,83

<sup>(1)</sup> wartości pośrednie mogą być interpolowane liniowo



**Rysunek 40.** Łącznik w wersji F



**Rysunek 41.** Połączenie wykonane z zastosowaniem łącznika w wersji F (a), łącznik w wersji F (b)

**Tablica 65.** Ilości i średnice prętów stalowych łączników w wersji F

Poz.	Rodzaj pręta	Oznaczenie łącznika F
1	2	3
1	Długość elementu [mm]	350
2	Wysokość łącznika [mm]	160-250
3	Pręty rozciągane / ściskane	2×3φ8
4	Pręty przenoszące siły poprzeczne	2×3φ6

**Tablica 66.** Maksymalne, obliczeniowe siły poprzeczne, podłużne i momenty zginające przenoszone przez połączenia, wykonane z zastosowaniem łączników w wersji F w przypadku siły podłużnej, ściskającej

Poz.	Maksymalne, obliczeniowe siły poprzeczne $V_d$ , kN	Maksymalne, obliczeniowe momenty zginające $M_d$ , kNm <sup>(1)</sup>						
		Maksymalne, obliczeniowe siły podłużne $N_d$ , kN						
		-29,7	-25,0	-20,0	-15,0	-10,0	-5,0	0,0
1	2	3	4	5	6	7	8	9
1	12,71	0	0,22	0,45	0,69	0,92	1,16	1,39
2	0	0,6	0,82	1,05	1,29	1,52	1,76	1,63

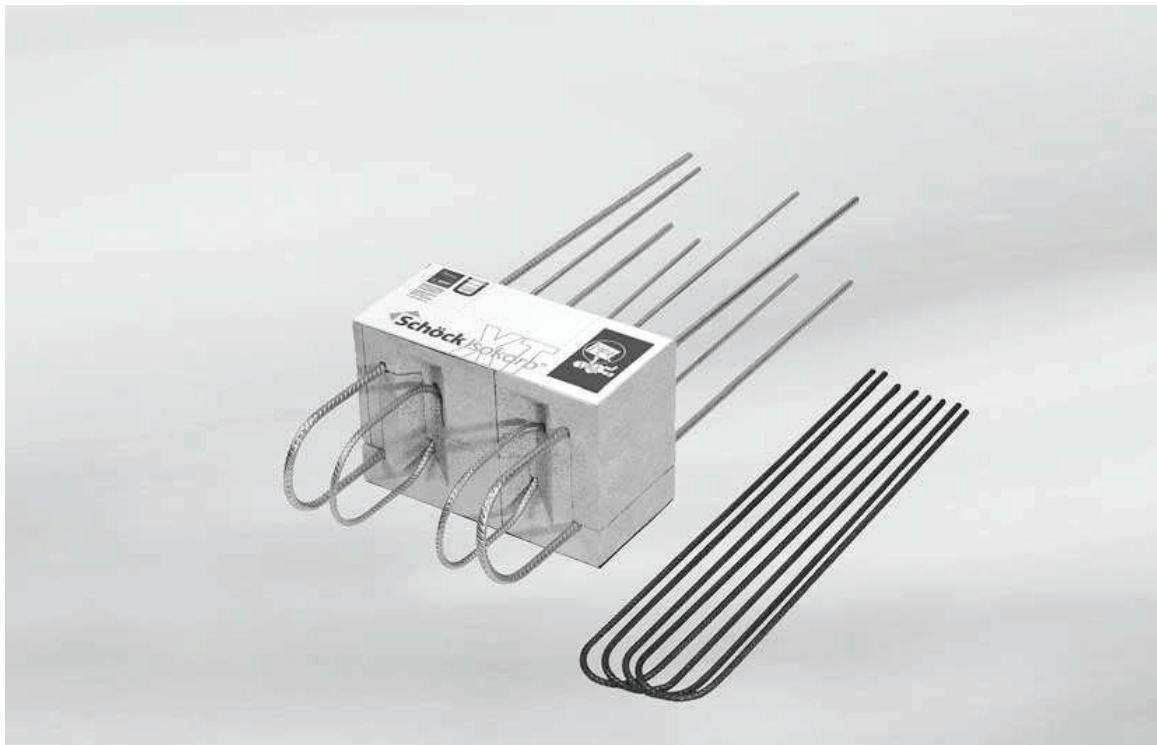
<sup>(1)</sup> wartości pośrednie mogą być interpolowane liniowo

**Tablica 67.** Maksymalne, obliczeniowe siły poprzeczne, podłużne i momenty zginające przenoszone przez połączenia, wykonane z zastosowaniem łączników w wersji F w przypadku siły podłużnej, rozciągającej

Poz.	Maksymalne, obliczeniowe siły poprzeczne $V_d$ , kN	Maksymalne, obliczeniowe momenty zginające $M_d$ , kNm <sup>(1)</sup>							
		Maksymalne, obliczeniowe siły podłużne $N_d$ , kN							
		2,51	5,0	10,0	15,0	20,0	25,0	30,0	34,8
1	2	3	4	5	6	7	8	9	10
1	12,71	1,51	1,63	1,76	1,53	1,29	1,06	0,82	0,59
2	0	1,51	1,40	1,16	0,93	0,69	0,46	0,22	0

<sup>(1)</sup> wartości pośrednie mogą być interpolowane liniowo





**Rysunek 42.** Łącznik w wersji FXT

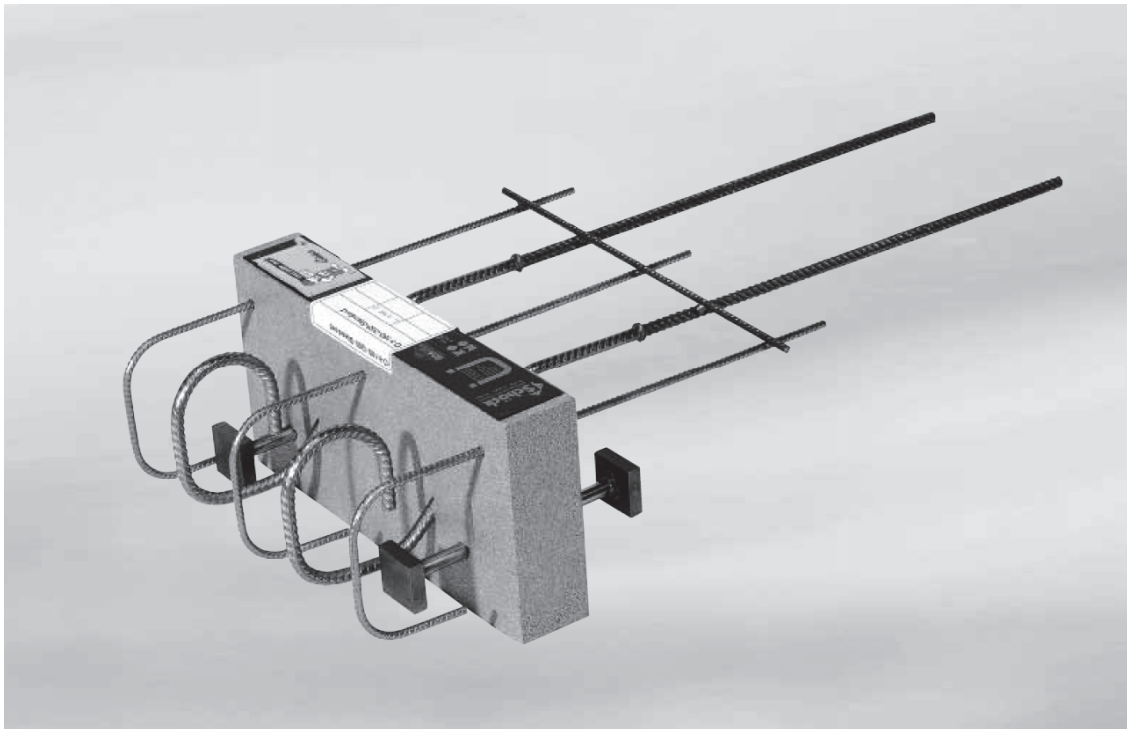
**Tablica 68.** Ilości i średnice prętów stalowych łączników w wersji FXT

Poz.	Rodzaj pręta	Oznaczenie łącznika F
1	2	3
1	Długość elementu [mm]	250
2	Wysokość łącznika [mm]	160-250
3	Pręty rozciągane / ściskane	2×2φ8
4	Pręty przenoszące siły poprzeczne	2×2φ6

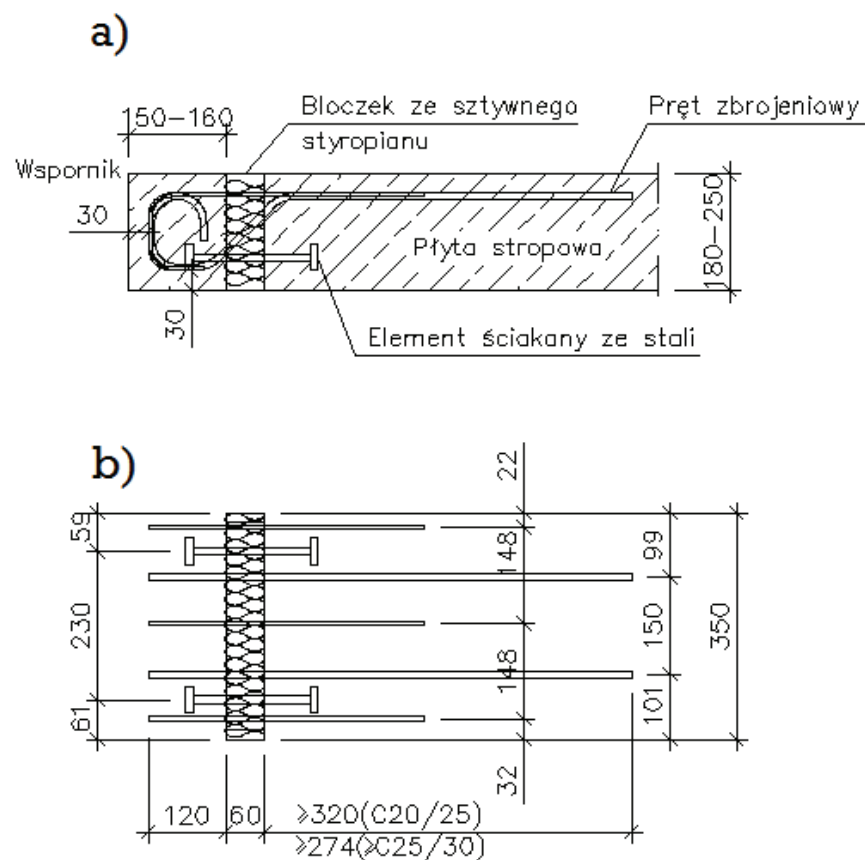
**Tablica 69.** Maksymalne, obliczeniowe siły poprzeczne, podłużne i momenty zginające przenoszone przez połączenia, wykonane z zastosowaniem łączników w wersji FXT w przypadku siły podłużnej, ściskającej

Poz.	Wysokość	Maksymalne, obliczeniowe siły poprzeczne $V_d$ , kN	Maksymalne, obliczeniowe momenty zginające $M_d$ , kNm <sup>(1)</sup>								
			Maksymalne, obliczeniowe siły podłużne $N_d$ , kN								
			-30	-20	-10	0	10	20	30	40	50
1	2	3	4	5	6	7	8	9	10	11	12
1	160-190	12,0	-0,35	-0,81	-1,27	-1,73	-1,73	-1,60	-1,14	-0,68	-0,22
2		-12,0	0,35	0,81	1,27	1,73	1,73	1,60	1,14	0,68	0,22
3	200-250	12,0	-0,51	-1,17	-1,83	-2,49	-2,49	-2,30	-1,64	-0,98	-0,32
4		-12,0	0,51	1,17	1,83	2,49	2,49	2,30	1,64	0,98	0,32

<sup>(1)</sup> wartości pośrednie mogą być interpolowane liniowo



**Rysunek 43.** Łącznik w wersji O



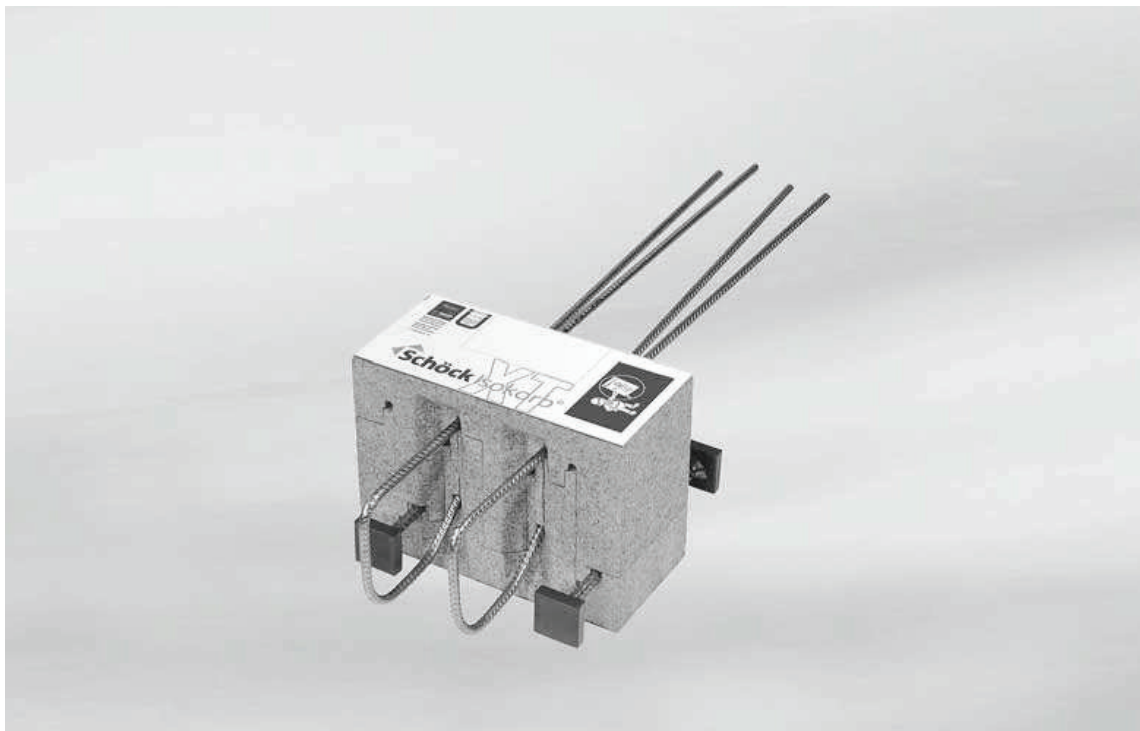
**Rysunek 44.** Połączenie wykonane z zastosowaniem łącznika w wersji O (a), łącznik w wersji O (b)

**Tablica 70.** Ilości i średnice prętów stalowych łączników w wersji O

Poz.	Rodzaj pręta	
1	2	3
1	Długość elementu [mm]	250
2	Wysokość łącznika [mm]	180-250
3	Pręty rozciągane	3 $\phi$ 6
4	Pręty przenoszące siły poprzeczne	2 $\phi$ 10
5	Łożysko oporowe	2 $\phi$ 12

**Tablica 71.** Maksymalne, obliczeniowe siły pionowe i poziome przenoszone przez połączenia, wykonane z zastosowaniem łączników w wersji O

Poz.	Oddziaływanie	Maksymalna, obliczeniowa siła pionowa $F_d$ , kN	Maksymalna, obliczeniowa siła pozioma $H_D$ , kN
1		2	3
Klasa betonu $\geq$ C20/25			
1	Parcie wiatru	$-2,50 \leq H_{Ed} \leq 0$	$P_{rd} = 17,95$
2			$P_{rd} \geq 2,06 \cdot H_{Ed}$
3	Ssanie wiatru	$0 < H_{Ed} \leq 1,80$	$P_{rd} = 0,38 \cdot (47,56 - H_{Ed})$
4			$P_{rd} \geq 10 \cdot H_{Ed}$
Klasa betonu $\geq$ C25/30			
5	Parcie wiatru	$-3,14 \leq H_{Ed} \leq 0$	$P_{rd} = 22,56$
6			$P_{rd} \geq 2,06 \cdot H_{Ed}$
7	Ssanie wiatru	$0 < H_{Ed} \leq 2,26$	$P_{rd} = 0,38 \cdot (59,77 - H_{Ed})$
8			$P_{rd} \geq 10 \cdot H_{Ed}$



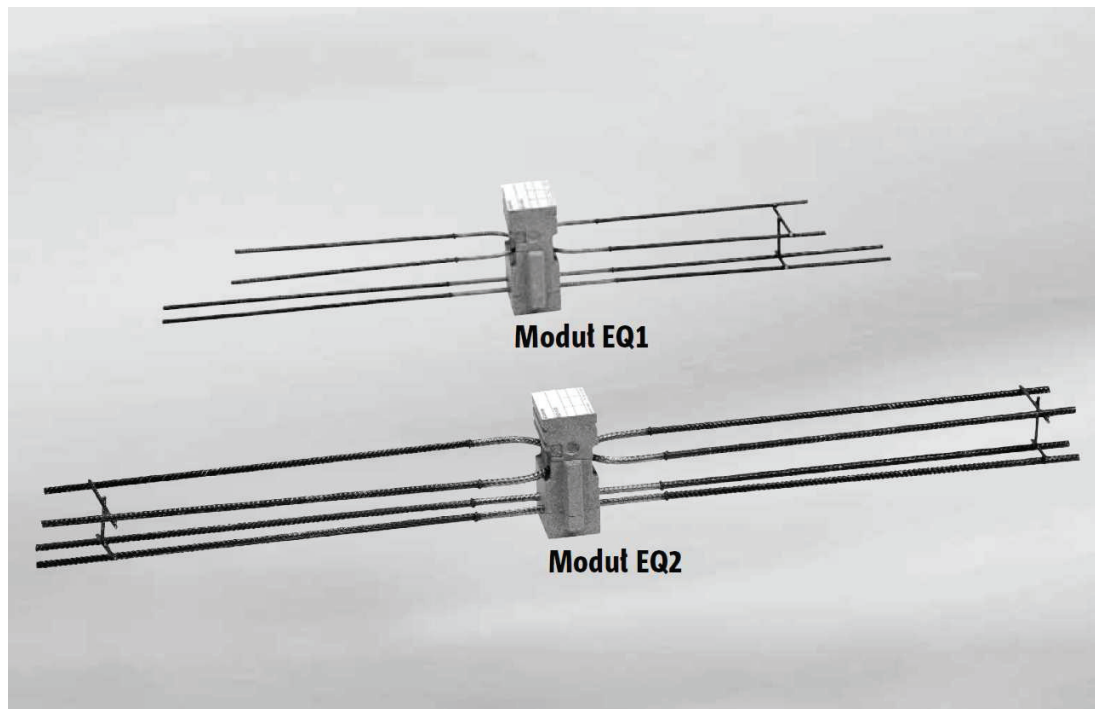
**Rysunek 45.** Łącznik w wersji OXT

**Tablica 72.** Ilości i średnice prętów stalowych łączników w wersji OXT

Poz.	Rodzaj pręta	OXT 16	OXT 20
1	2	3	
1	Długość elementu [mm]	250	250
2	Wysokość łącznika [mm]	180-250	180-250
3	Pręty rozciągane	2 $\phi$ 8	2 $\phi$ 8
4	Pręty przenoszące siły poprzeczne	2 $\phi$ 8	2 $\phi$ 8
5	Łożysko oporowe	2 $\phi$ 10	2 $\phi$ 10

**Tablica 73.** Maksymalne, obliczeniowe siły pionowe i poziome przenoszone przez połączenia, wykonane z zastosowaniem łączników w wersji OXT

1	Oznaczenie łącznika			
	OXT 16	OXT 20	OXT 16	OXT 20
	Klasa betonu C20/25		Klasa betonu C25/30	
2	3	4	5	
Odległość przyłożenia siły x [mm]	Maksymalna obliczeniowa siła poprzeczna $v_{Rd}$ [kN]			
60-75	21,4	21,4	25,1	25,1
85	21,4	21,4	24,2	24,2
98	21,4	21,4	23,1	23,1
105	21,4	21,4	22,2	22,2
115	-	21,3	-	21,3
125	-	20,5	-	20,5
135	-	19,8	-	19,8
145	-	19,1	-	19,1
	Maksymalna obliczeniowa siła podłużna $N_{Rd,x}$ [kN]			
	$\leq 1/10 V_{ed,z} \leq 0$		$\leq 1/10 V_{ed,z} \leq 0$	



**Rysunek 46.** Łącznik w wersji EQ

**Tablica 74.** Ilości i średnice prętów stalowych łączników w wersji EQ

Poz.	Rodzaj pręta	Moduł EQ1	Moduł EQ2
1	2	3	
1	Długość elementu [mm]	100	100
3	Pręty odgięte	2× 1φ8	2× 1φ8
5	Pręty poziome	2× 1φ12	2× 1φ12

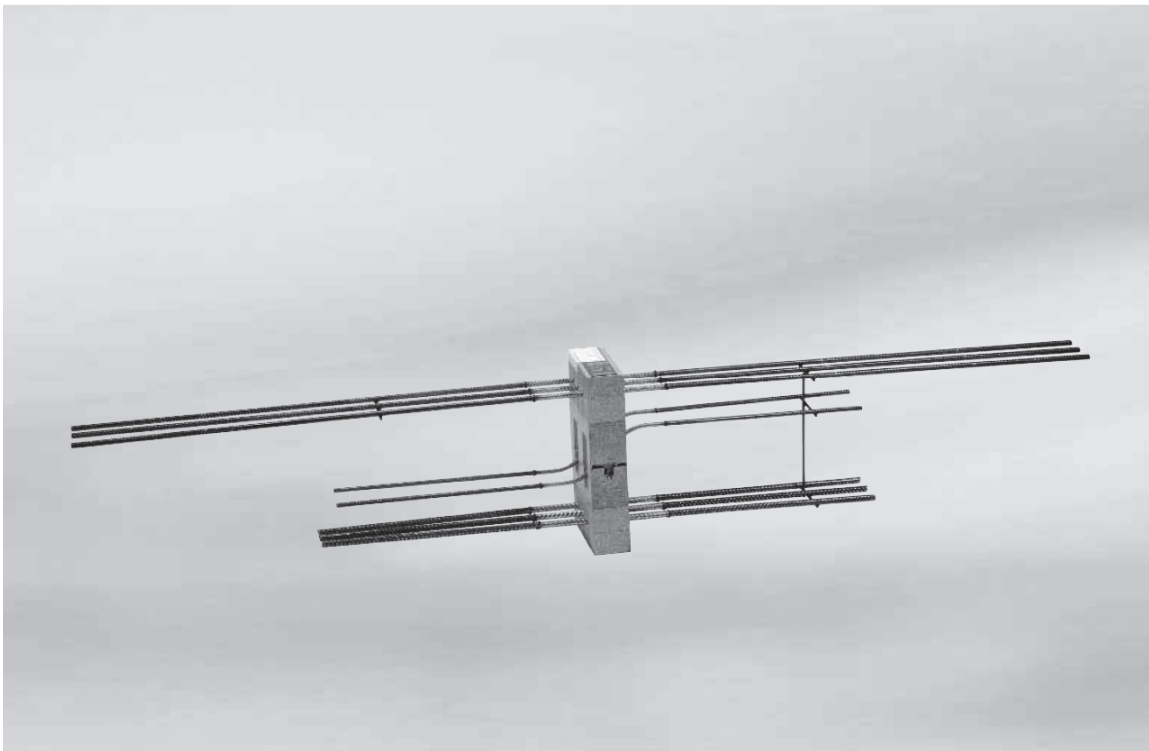


**Tablica 75.** Maksymalne, obliczeniowe siły poziome przenoszone przez połączenia, wykonane z zastosowaniem łączników w wersji EQ w przypadku, gdy klasa betonu łączonych elementów jest równa C20/25

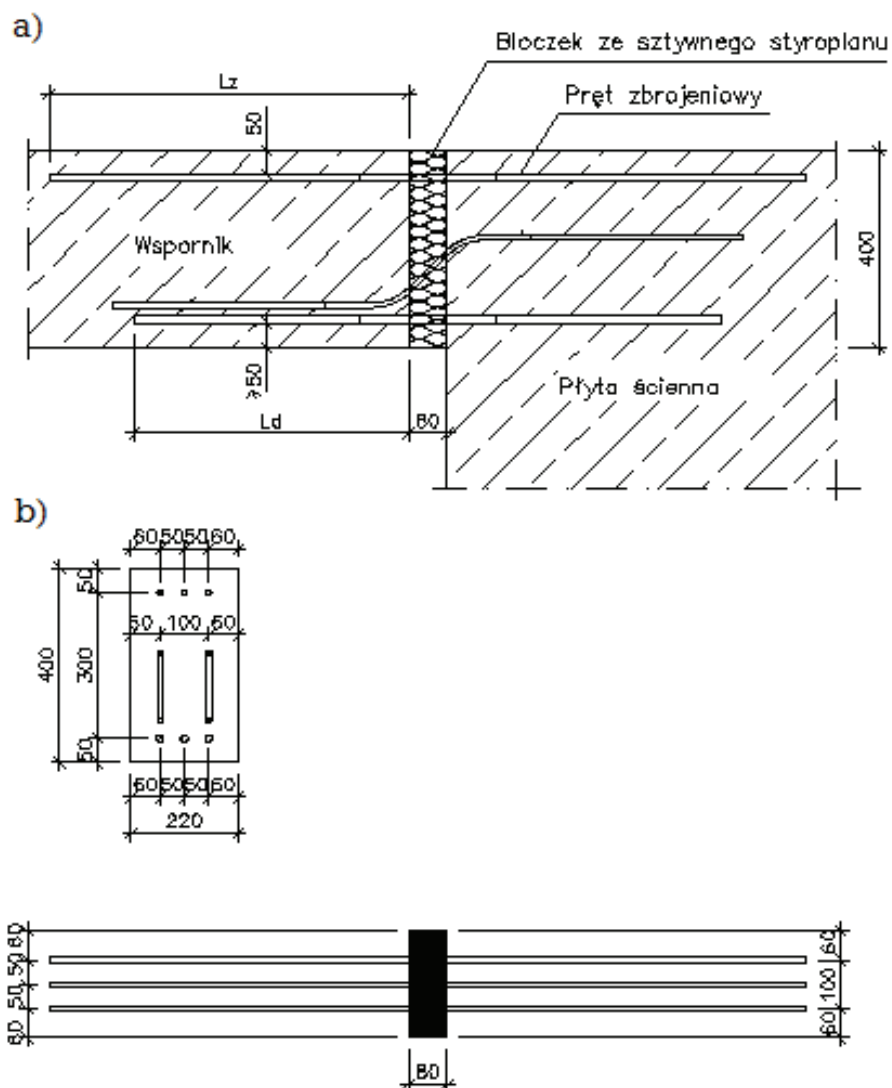
Rodzaj obciążenia	Oznaczenie łącznika	
	Moduł EQ1	Moduł EQ2
1	2	3
Siła pozioma równoległa do bloczka styropianowego $H_{Rd}$ [kN]	± 15,4	± 34,7
Siła pozioma prostopadła do bloczka styropianowego $Z_{Rd}$ [kN]	±43,7	± 83,7

**Tablica 76.** Maksymalne, obliczeniowe momenty zginające przenoszone przez połączenia wykonane z zastosowaniem łączników w wersji EQ w przypadku, gdy klasa betonu łączonych elementów jest równa C20/25

Wysokość łącznika	Oznaczenie łącznika			
	Moduł EQ1		Moduł EQ2	
	Otulina zbrojenia sąsiadującego cv [mm]			
	30	35	30	35
1	2	3	4	5
160	3,9	3,7	7,5	7,1
170	4,4	4,2	8,4	8,0
180	4,8	4,6	9,2	8,8
190	5,2	5,0	10,0	9,6
200	5,7	5,5	10,9	10,5
210	6,1	5,9	11,7	11,3
220	6,6	6,3	12,6	12,1
230	7,0	6,8	13,4	13,0
240	7,4	7,2	14,2	13,8
250	7,9	7,6	15,1	14,7



**Rysunek 47.** Łącznik w wersji S



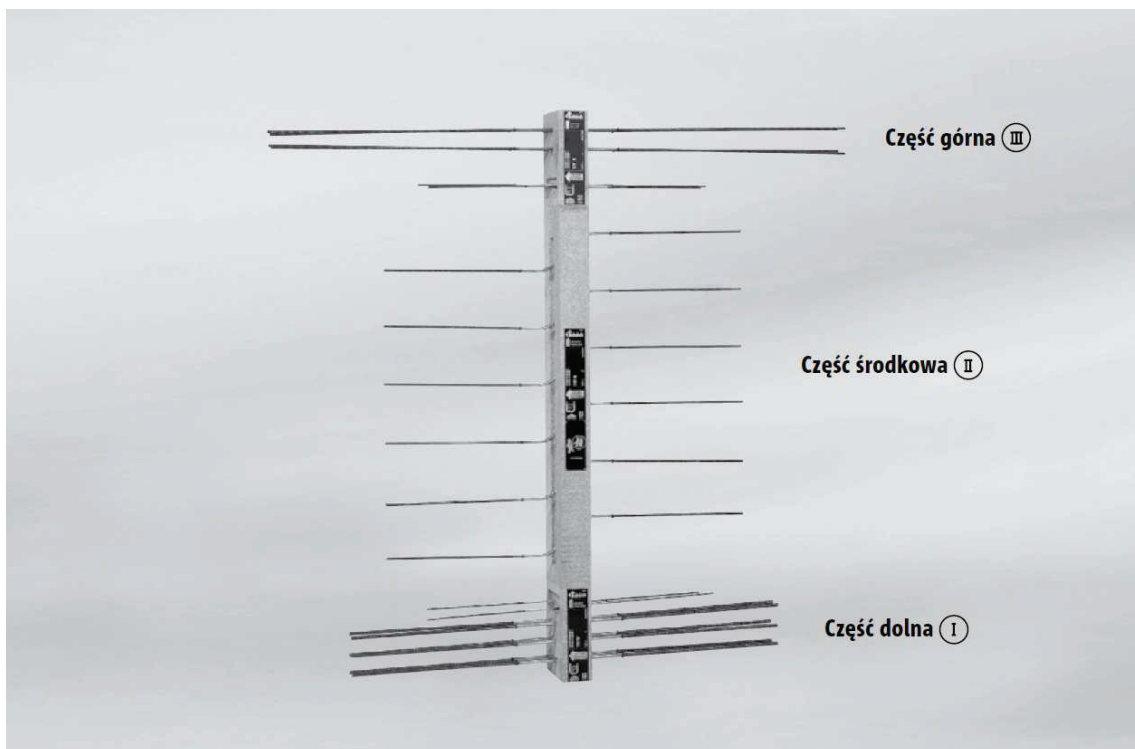
**Rysunek 48.** Połączenie wykonane z zastosowaniem łącznika w wersji S (a), łącznik w wersji S (b)

**Tablica 77.** Ilości i średnice prętów stalowych łączników w wersji S

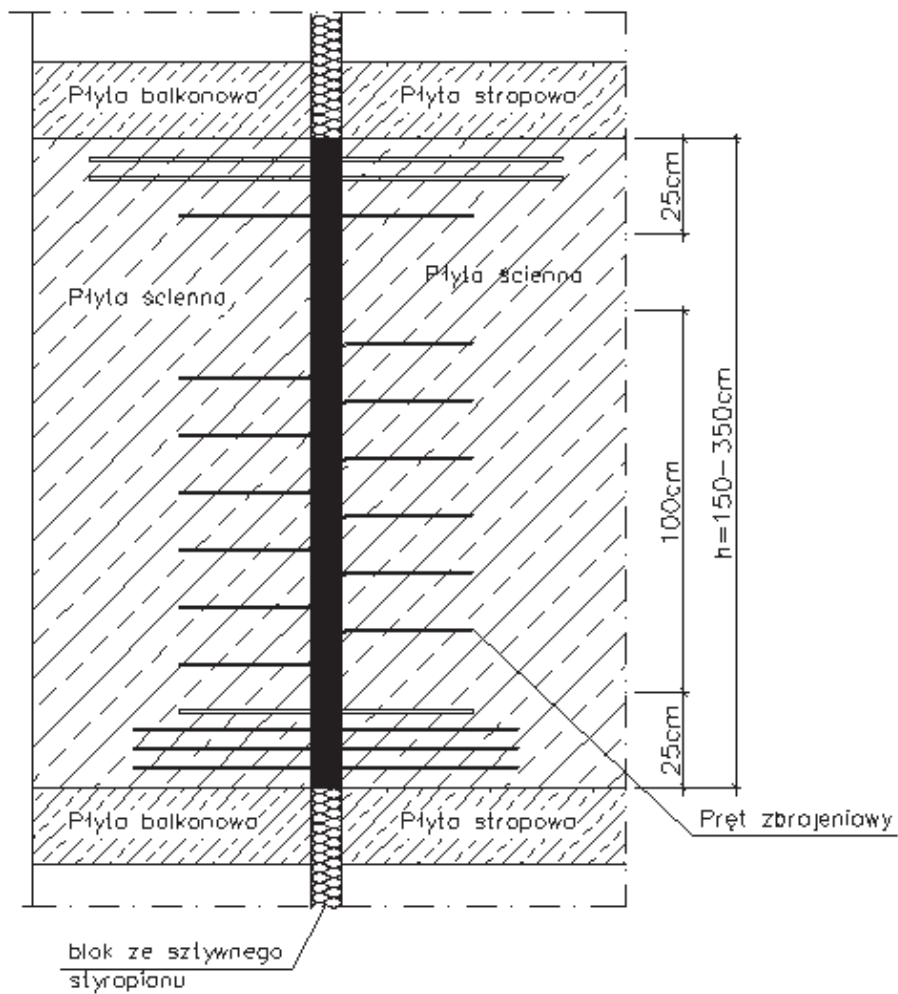
Poz.	Rodzaj pręta	Oznaczenie łącznika			
		S 1	S 2	S 3	S 4
1	2	3	4	5	6
1	Szerokość elementu [mm]	220	220	220	220
2	Wysokość łącznika [mm]	400	400	400	400
3	Pręty rozciągane	3 $\phi$ 10	3 $\phi$ 12	3 $\phi$ 14	3 $\phi$ 16
4	Pręty ściskane	3 $\phi$ 12	3 $\phi$ 14	3 $\phi$ 16	3 $\phi$ 20
5	Pręty przenoszące siły poprzeczne	2 $\phi$ 8	2 $\phi$ 10	2 $\phi$ 12	2 $\phi$ 14

**Tablica 78.** Maksymalne, obliczeniowe momenty zginające i siły poprzeczne przenoszone przez połączenia, wykonane z zastosowaniem łączników w wersji S w przypadku, gdy klasa betonu łączonych elementów jest równa C20/25

Poz.	Rodzaj obciążenia	Oznaczenie łącznika			
		S 1	S 2	S 3	S 4
1	2	3	4	5	6
1	Maksymalny, obliczeniowy moment zginający $M_d$ , kNm	-20,8	-27,8	-38,2	-60,6
2	Maksymalna, obliczeniowa siła poprzeczna $V_d$ , kN	21,2	33,1	47,7	64,9



**Rysunek 49.** Łącznik w wersji W



**Rysunek 50.** Połączenie wykonane z zastosowaniem łącznika w wersji W



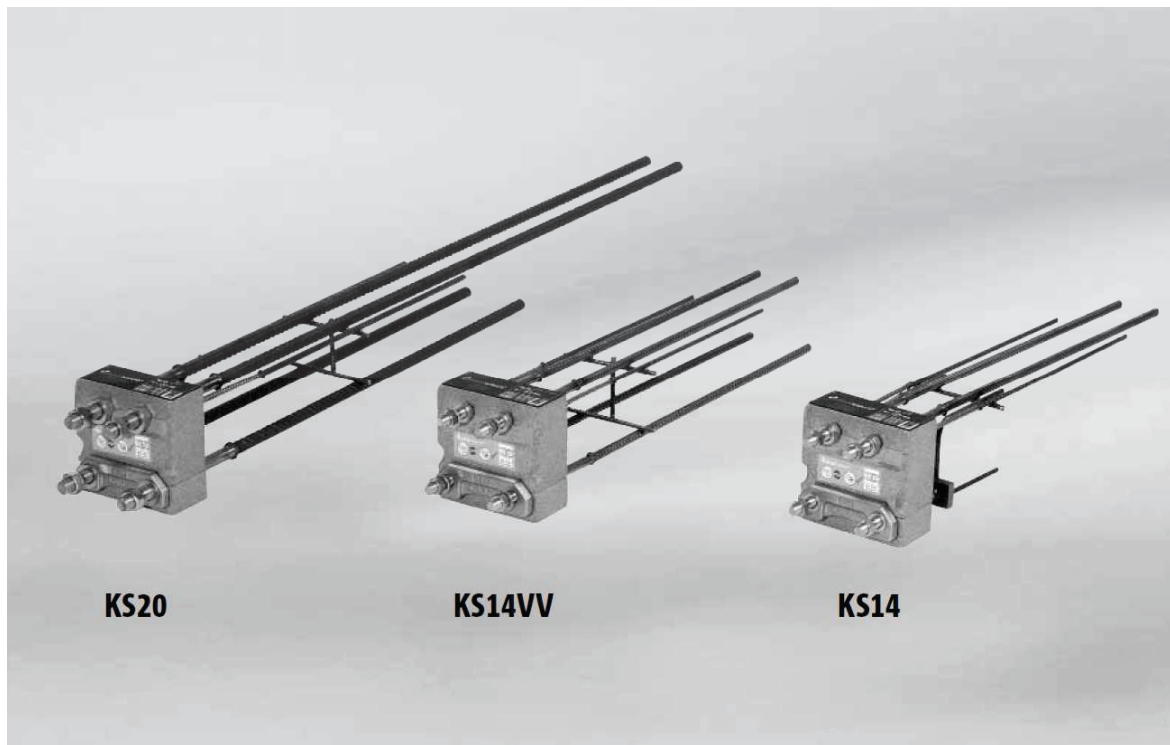
**Tablica 79.** Ilości i średnice prętów stalowych łączników w wersji W (szerokość elementu – 150-250 mm, wysokość elementu 1,5-3,5 m)

Poz.	Rodzaj pręta	Oznaczenie łącznika			
		W 1	W 2	W 3	W 4
1	2	3	4	5	6
1	Pręty rozciągane	4 $\phi$ 6	4 $\phi$ 8	4 $\phi$ 10	4 $\phi$ 12
2	Pręty ściskane	6 $\phi$ 8	6 $\phi$ 10	6 $\phi$ 12	6 $\phi$ 14
3	Pręty przenoszące siły poprzeczne, pionowe	6 $\phi$ 6	6 $\phi$ 8	6 $\phi$ 10	6 $\phi$ 12
4	Pręty przenoszące siły poprzeczne, poziome	2 × 2 $\phi$ 6	2 × 2 $\phi$ 6	2 × 2 $\phi$ 6	2 × 2 $\phi$ 6

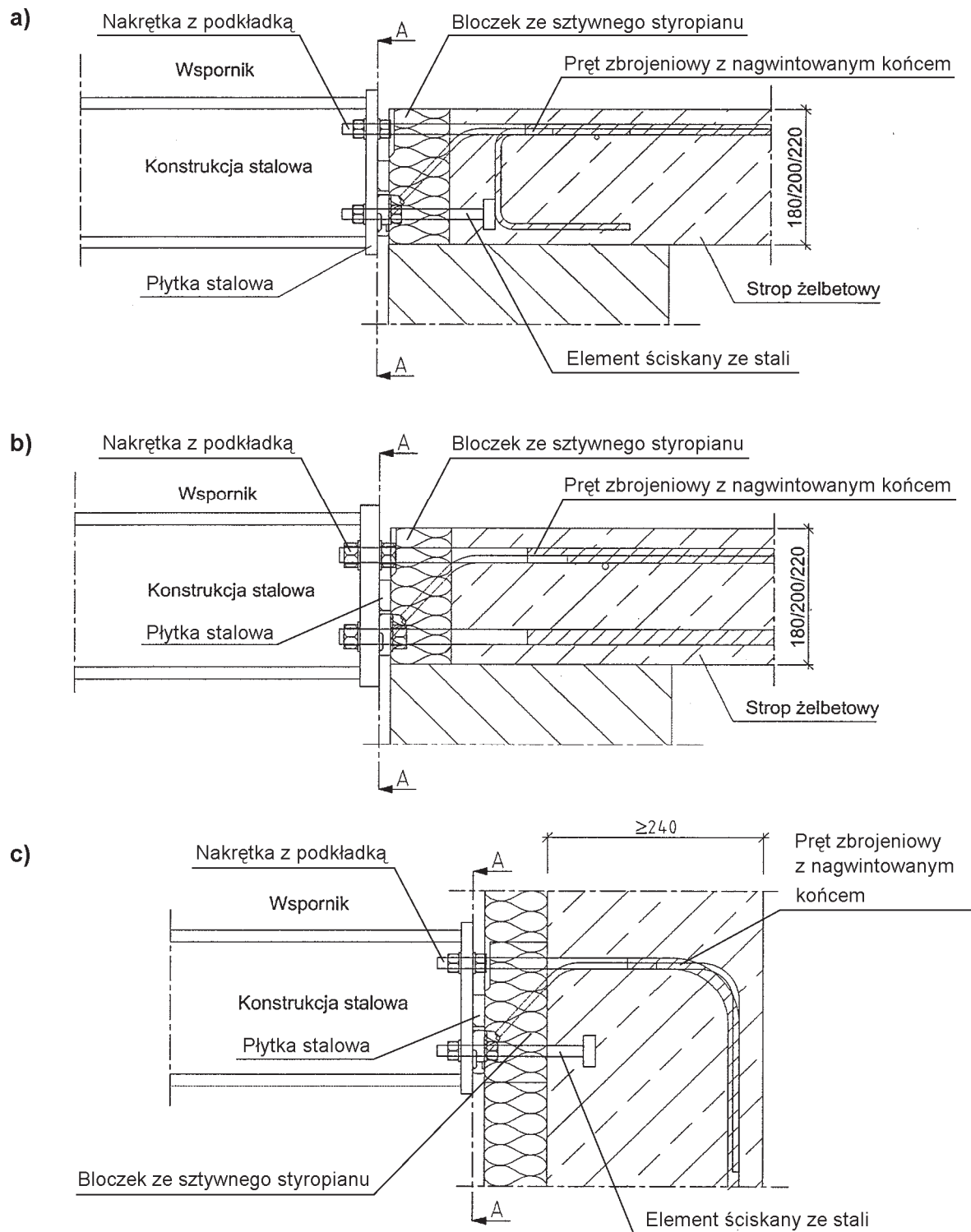
**Tablica 80.** Maksymalne, obliczeniowe momenty zginające i siły poprzeczne przenoszone przez połączenia, wykonane z zastosowaniem łączników w wersji W w przypadku, gdy klasa betonu łączonych elementów jest równa C20/25

Poz.	Rodzaj obciążenia	Wysokość płyty ściennej h, m	Oznaczenie łącznika			
			W 1	W 2	W 3	W 4
1	2	3	4	5	6	7
1	Maksymalny, obliczeniowy moment zginający w płaszczyźnie pionowej $M_{Rd}$ , kNm	1,50 ÷ 2,00	-52,8	-80,3	-114,8	-154,7
		2,00 ÷ 2,50	-72,7	-110,6	-158,1	-213,1
		> 2,50	-92,6	-140,9	-201,5	-271,4
2	Maksymalna, obliczeniowa siła poprzeczna, $V_{Rd}$ , kN	–	35,8	63,6	99,4	143,1

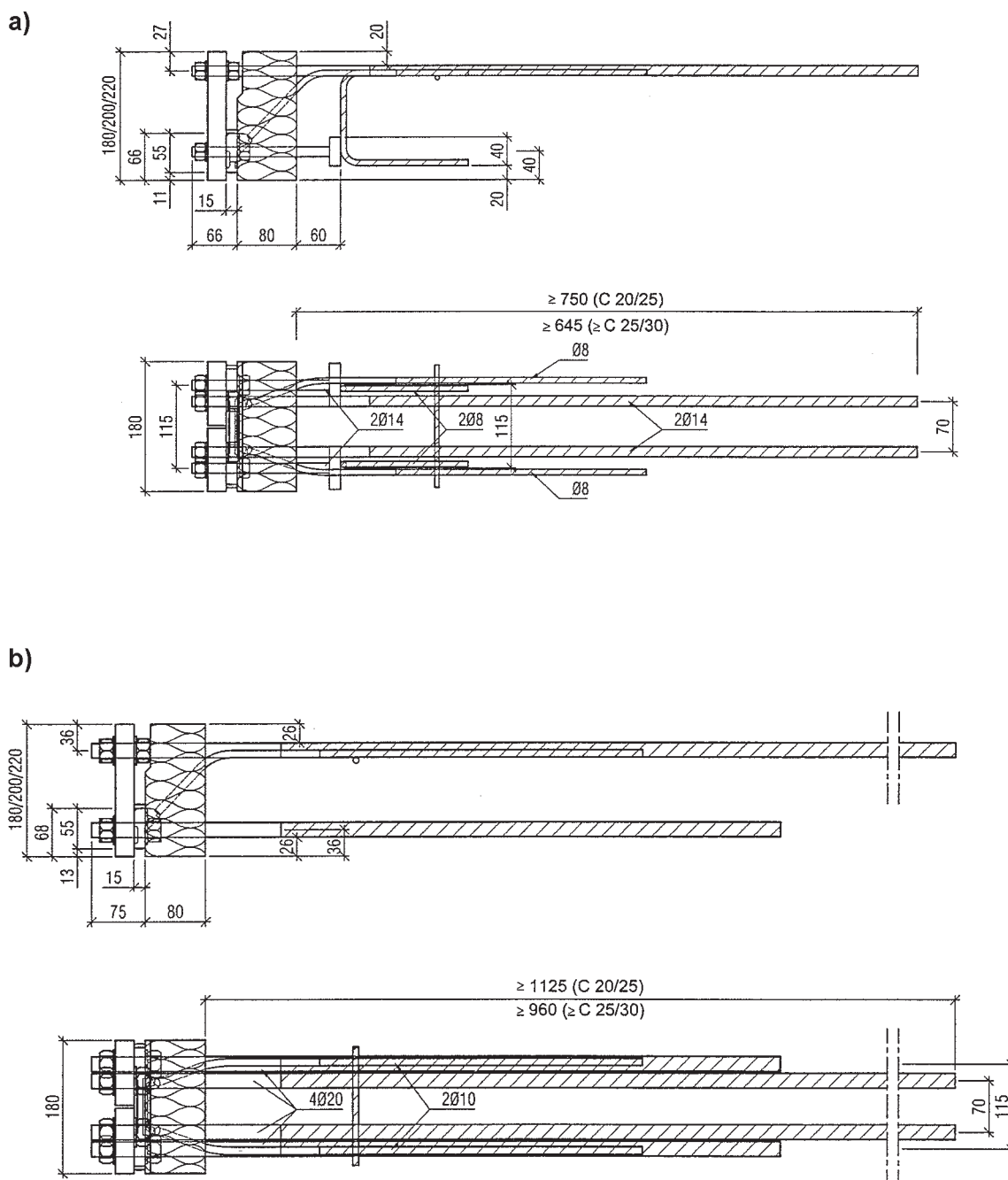




**Rysunek 52.** Łącznik w wersji KS

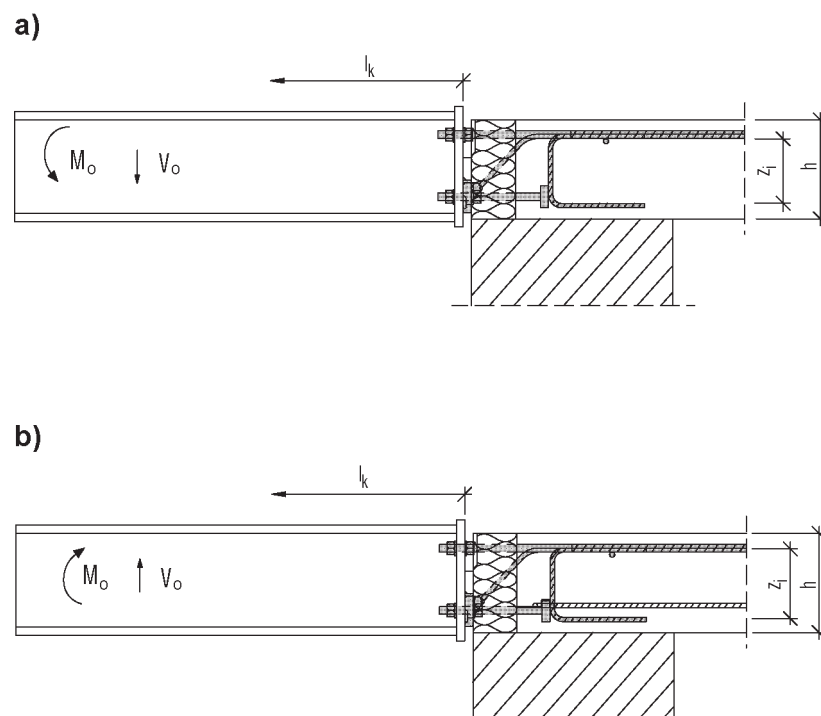


**Rysunek 53.** Połączenie wykonane z zastosowaniem łączników w wersji KS  
 a) z zastosowaniem łącznika KS 14, b) z zastosowaniem łącznika KS 20,  
 c) z zastosowaniem łącznika KS-WU



**Rysunek 54. Łącznik w wersji KS**

**a)** rzut pionowy i poziomy łącznika KS 14, **b)** rzut pionowy i poziomy łącznika KS 20



**Rysunek 55.** Warianty obciążenia łączników w wersji KS  
a) obciążenie powodujące rozciąganie górnego trzpienia,  
b) obciążenie powodujące ściskanie górnego trzpienia

**Tablica 81.** Ilości i średnice prętów stalowych i stalowych elementów ściskanych łączników w wersji KS (długość elementu – 180 mm, wysokość elementu 180-280 mm)

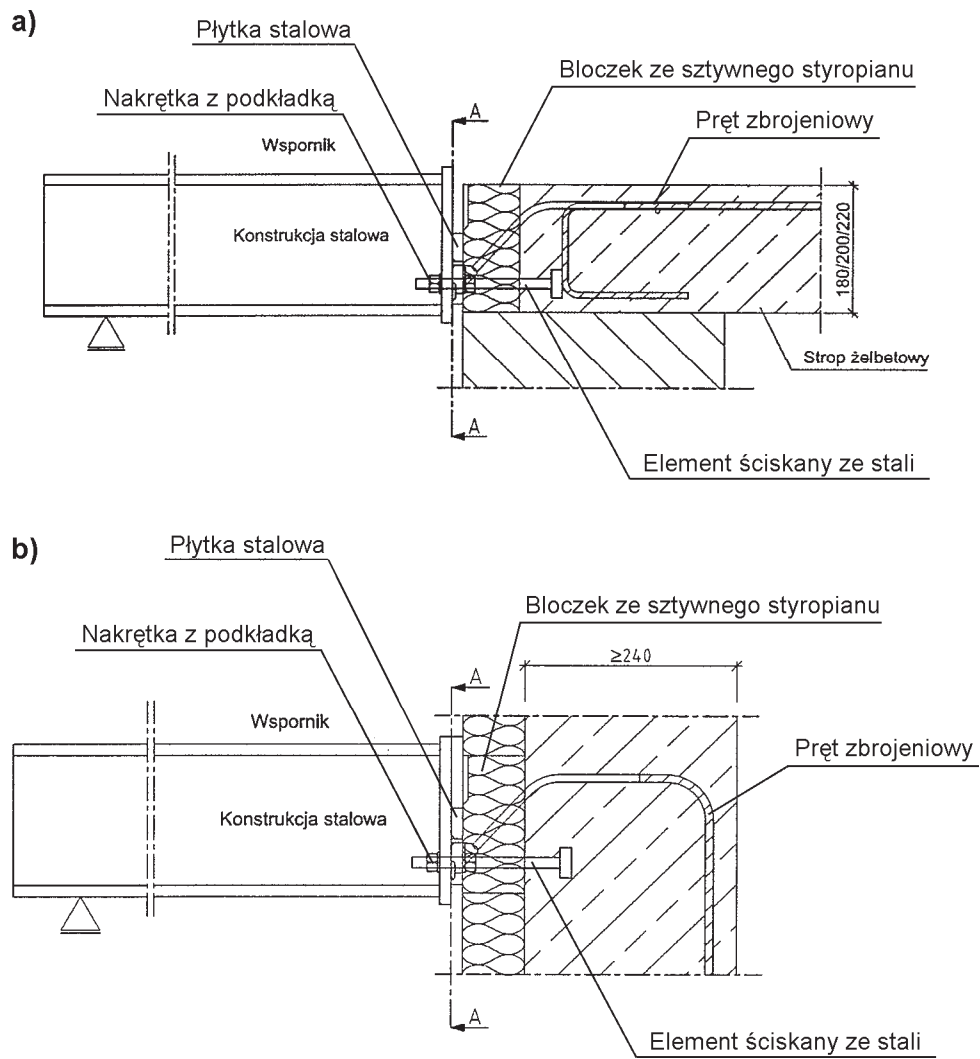
Poz.	Rodzaj pręta lub elementu ściskanego	Oznaczenie łącznika				
		KS 14-V8	KS 14-V10	KS 14-VV	KS 20-V10	KS 20-V12
1	2	3	4	5	6	
1	Pręty rozciągane	2φ14	2φ14	2φ14	2φ20	2φ20
2	Pręty ściskane	–	–	2φ14	2φ20	2φ20
3	Pręty przenoszące siły poprzeczne	2φ8	2φ10	2φ8	2φ10	2φ12
4	Łożyska oporowe, stalowe	2φ14	2φ14	–	–	–

**Tablica 82.** Maksymalne, obliczeniowe momenty zginające i siły poprzeczne przenoszone przez połączenia, wykonane z zastosowaniem łączników w wersji KS o oznaczeniu KS 14

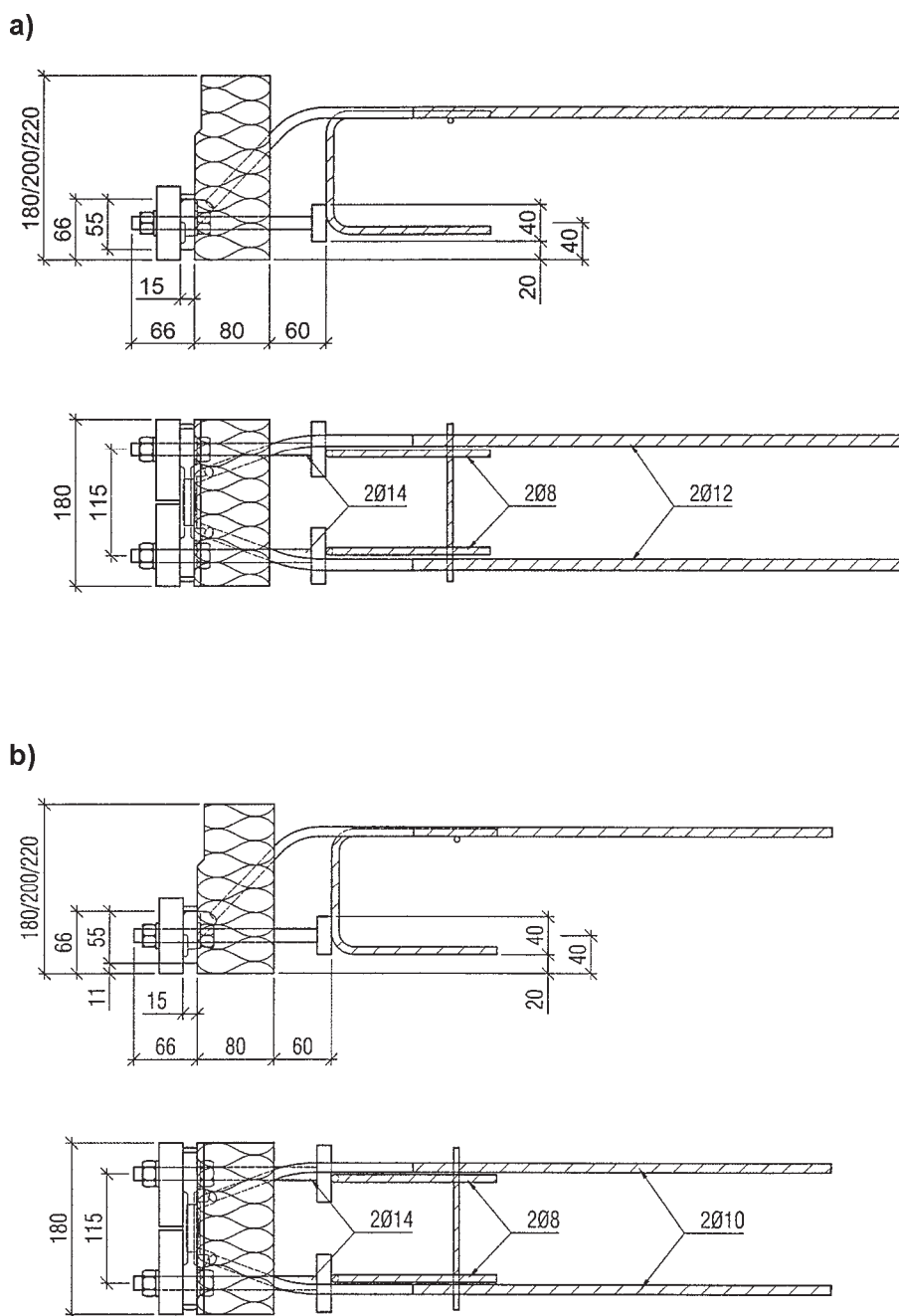
Poz.						Oznaczenie łącznika				
						KS 14-V8	KS 14-V10	KS 14-VV	KS 20-V10	KS 20-V12
1	2	3	4	5	6	7	8	9	10	
<b>Maksymalny, obliczeniowy moment zginający <math>M_d</math>, kNm<sup>(1)</sup></b>										
1	Wysokość łącznika [mm]	180	Ramie sił wewnętrznych $Z_i$ [mm]	113/108	-10,13	-8,85	-10,30 +9,02	-22,13 +11,22	-20,61 +11,22	
2		190		123/118	-11,02	-9,64	-11,21 +9,82	-24,18 +12,26	-22,52 +12,26	
3		200		133/128	-11,92	-10,42	-12,12 +10,62	-26,23 +13,29	-24,42 +13,29	
4		210		143/138	-12,81	-11,20	-13,03 +11,42	-28,28 +14,33	-26,33 +14,33	
5		220		153/148	-13,71	-11,99	-13,95 +12,22	-30,33 +15,37	-28,24 +15,37	
6		230		163/158	-14,61	-12,77	-14,86 +13,02	-32,38 +16,41	-30,15 +16,41	
7		240		173/168	-15,50	-13,55	-15,77 +13,81	-34,43 +17,45	-32,06 +17,45	
8		250		183/178	-16,40	-14,34	-16,68 +14,61	-36,47 +18,49	-33,97 +18,49	
9		260		193/188	-17,29	-15,12	-17,59 +15,41	-38,52 +19,53	-35,87 +19,53	
10		270		203/198	-18,19	-15,90	-18,50 +16,21	-40,57 +20,57	-37,78 +20,57	
11		280		213/208	-19,09	-16,69	-19,41 +17,01	-42,62 +21,60	-39,69 +21,60	
<b>Maksymalna, obliczeniowa siła poprzeczna, pionowa <math>V_d</math>, kN</b>										
12	Wysokość łącznika 180-280 mm				+18,0	+30,0	+18,0 -12,0	+30,0 -12,0	+45,0 -12,0	
<b>Maksymalna, obliczeniowa siła poprzeczna, pozioma (działająca na wysokości górnego trzpienia) <math>V_y</math>, kN</b>										
13	Wysokość łącznika 180-280 mm				± 2,5	± 4,0	± 2,5	± 4,0	± 2,5	



**Rysunek 56.** Łącznik w wersji QS



**Rysunek 57.** Połączenie wykonane z zastosowaniem łączników w wersji QS  
**a)** z zastosowaniem łącznika QS, **b)** z zastosowaniem łącznika QS-WU



**Rysunek 58.** Łączniki w wersji QS

a) rzut pionowy i poziomy łącznika QS 12, b) rzut pionowy i poziomy łącznika QS 10



**Tablica 83.** Ilość i średnice prętów stalowych i stalowych elementów ściskanych łączników w wersji QS (długość elementu – 180 mm, wysokość elementu 180-280 mm)

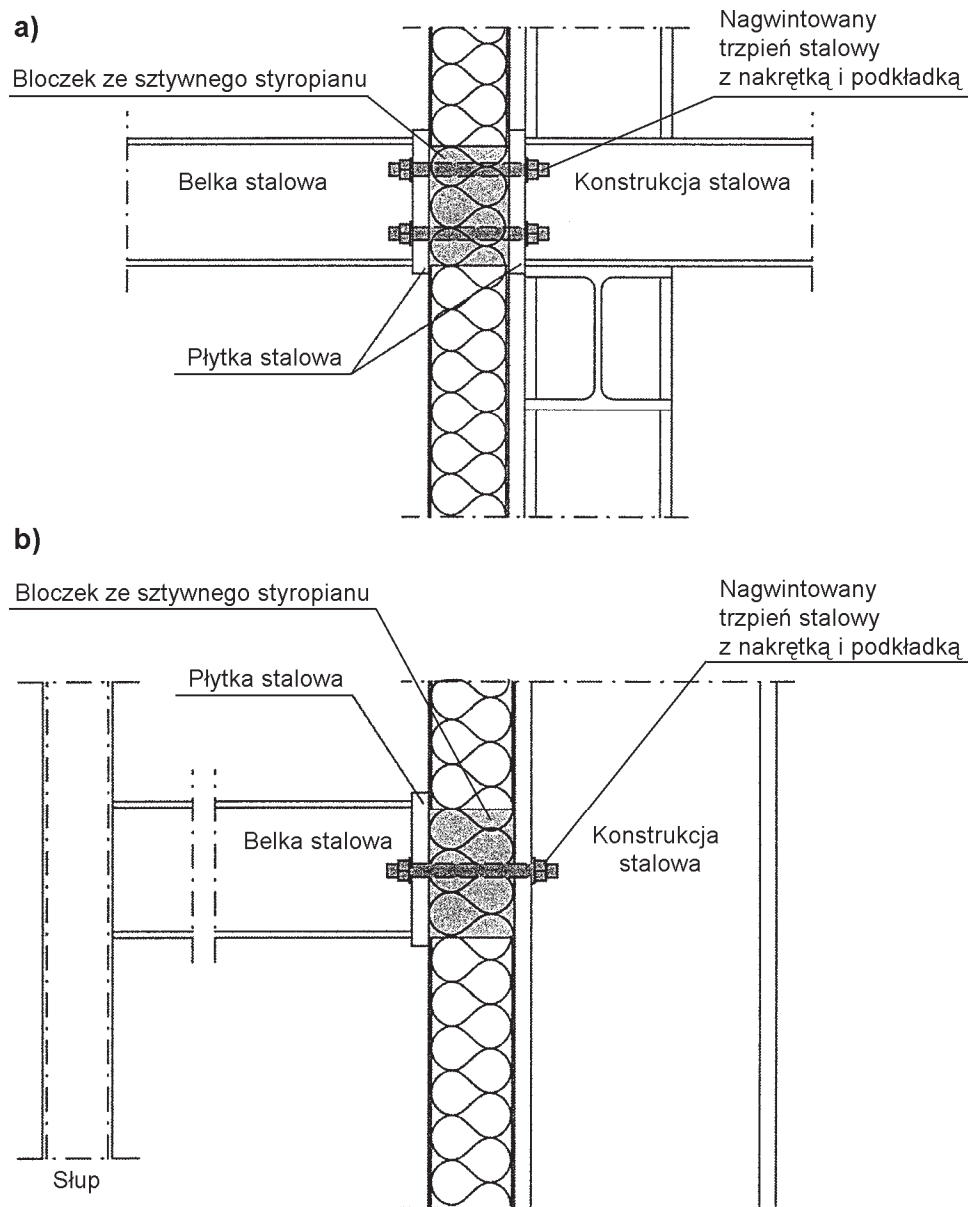
Poz.	Rodzaj pręta lub elementu ściskanego	Oznaczenie łącznika	
		QS 10	QS 12
1	2	3	4
1	Łożyska oporowe, stalowe	2 $\phi$ 14	2 $\phi$ 14
2	Pręty przenoszące siły poprzeczne	2 $\phi$ 10	2 $\phi$ 12

**Tablica 84.** Maksymalne, obliczeniowe siły poprzeczne przenoszone przez połączenia, wykonane z zastosowaniem łączników w wersji QS

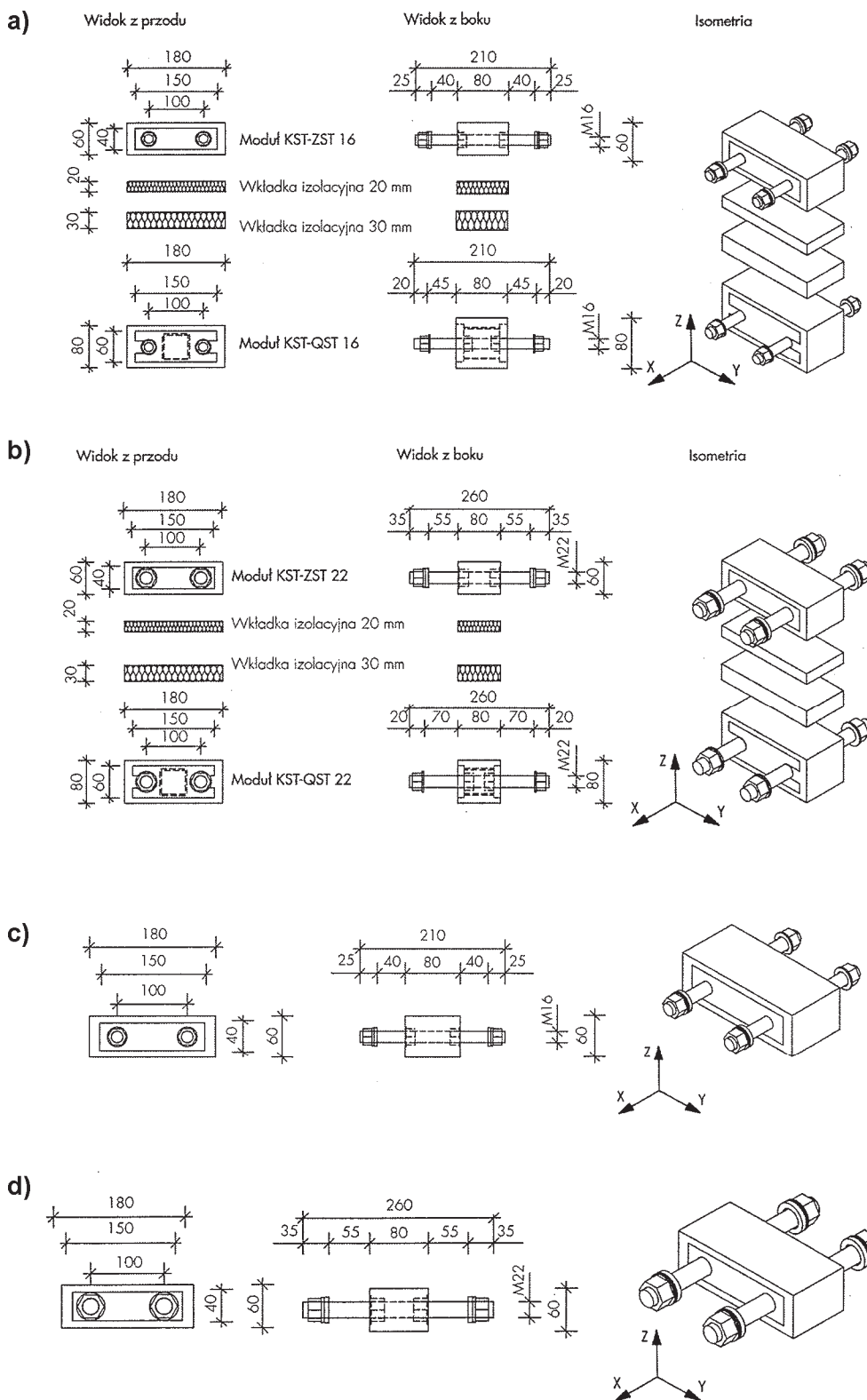
Poz.	Rodzaj obciążenia	Oznaczenie łącznika	
		QS 10	QS 12
1	2	3	4
1	Minimalna, obliczeniowa siła poprzeczna, pionowa $V_d$ , kN	18,0	69,6
2	Maksymalna, obliczeniowa siła poprzeczna, pozioma (działająca na poziomie górnego zbrojenia) $H_d$ , kN	$\pm 4,0$	$\pm 6,5$



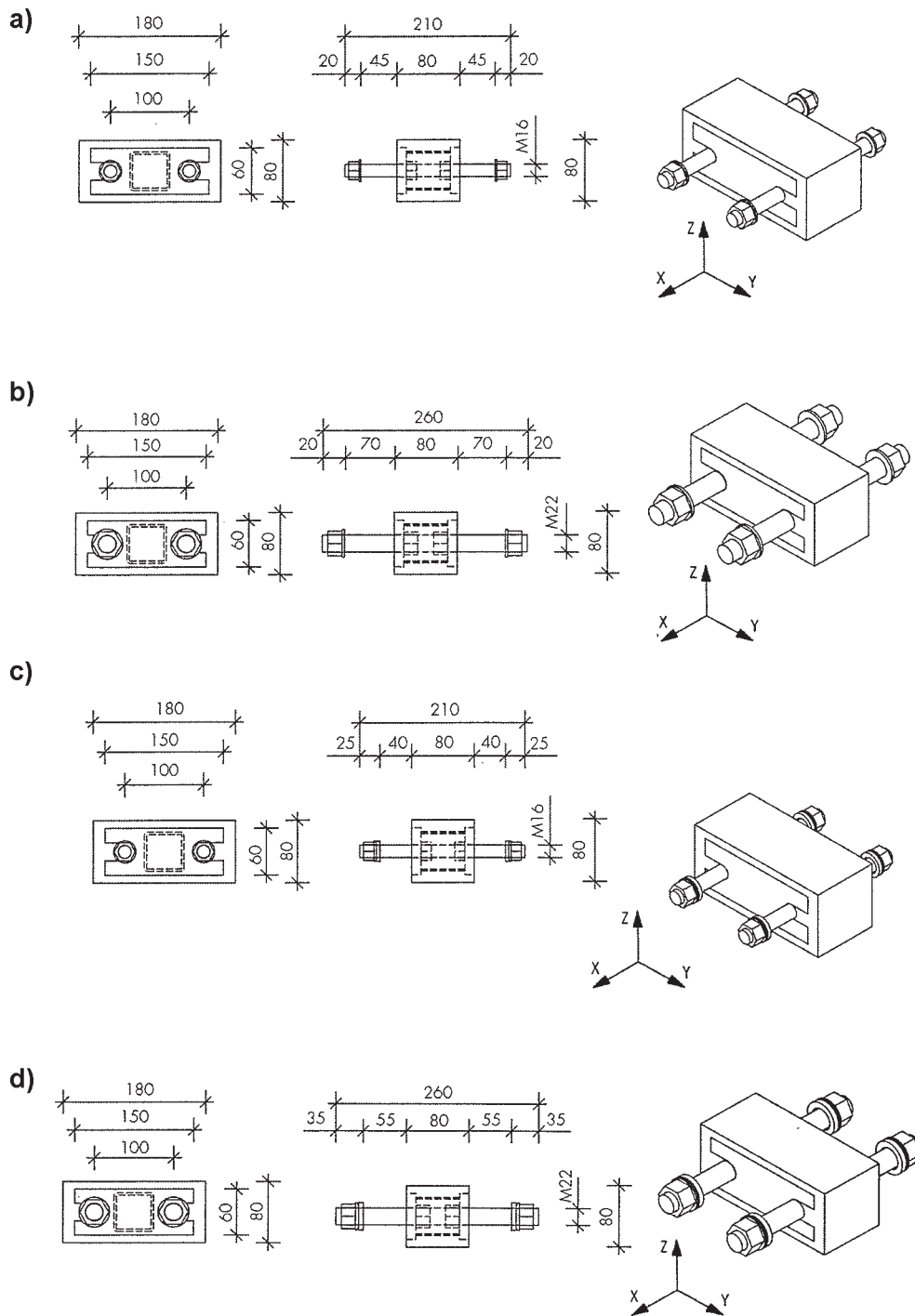
**Rysunek 59.** Łącznik w wersji KST



**Rysunek 60.** Połączenie wykonane z zastosowaniem łączników w wersji KST  
**a)** z zastosowaniem łącznika KST, **b)** z zastosowaniem łącznika KST-QST lub KST-ZQST



**Rysunek 61. Łączniki w wersji KST, część I**  
**a) łącznik KST 16, b) łącznik KST 22,**  
**c) łącznik KST-ZST 16, d) łącznik KST-ZST 22**

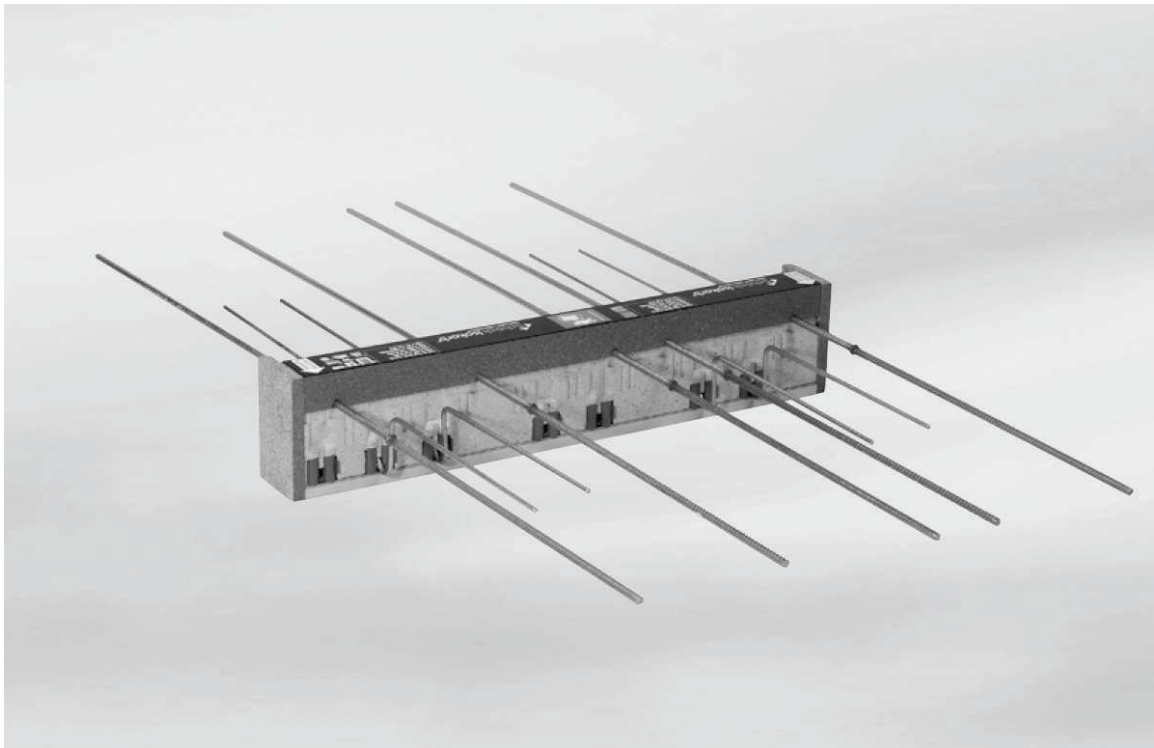


**Rysunek 61.** Łączniki w wersji KST, część II

**a)** łącznik KST-QST 16, **b)** łącznik KST-QST 22,  
**c)** łącznik KST-ZQST 16, **d)** łącznik KST-ZQST 22

**Tablica 85.** Maksymalne, obliczeniowe siły poprzeczne (pionowe i poziome) oraz podłużne (rozciągające i ściskające) przenoszone przez połączenia, wykonane z zastosowaniem łączników w wersji KST

Poz.	Rodzaj obciążenia	Oznaczenie łącznika					
		KST 16	KST 22	KST-QST 16 oraz KST- ZQST16	KST-QST 22 oraz KST-ZQS T22	KST-ZST 16	KST-ZST 22
1	2	3	4	5	6	7	8
1	Maksymalna, obliczeniowa siła poprzeczna, pionowa $V_d$ , kN	30,0	36,0	30,0	36,0	0	0
2	Maksymalna, obliczeniowa siła poprzeczna, pozioma $H_d$ , kN	$\pm 6,0$	$\pm 6,0$	$\pm 6,0$	$\pm 6,0$	0	0
3	Maksymalna, obliczeniowa siła podłużna, rozciągająca $N_{t,d}$ , kN	116,8	225,4	116,8	225,4	116,8	225,4
3	Maksymalna, obliczeniowa siła podłużna, ściskająca $N_{c,d}$ , kN	116,8	225,4	116,8	225,4	0	0



**Rysunek 62.** Łącznik w wersji RK

**Tablica 86.** Ilości i średnice prętów stalowych łączników w wersji RK (długość elementu – 1,0 m)

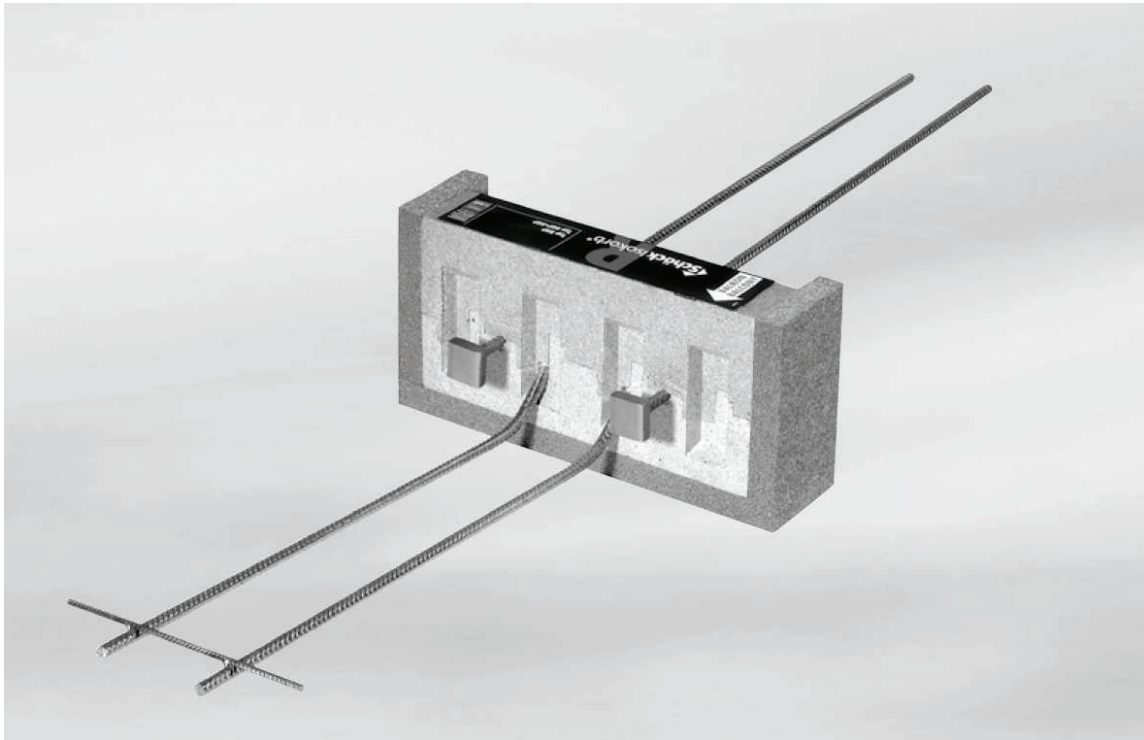
Poz.	Rodzaj pręta	Oznaczenie łącznika	
		RK25	RK45
1	2	3	4
1	Pręty rozciągane ( $l_{v, \text{strop}}$ w mm)	5 $\phi$ 12 (872)	4 $\phi$ 12 (872)
2	Pręty przenoszące siły poprzeczne ( $l_{v, \text{strop}}$ w mm)	4 $\phi$ 8 (456)	8 $\phi$ 12 (456)
3	Łożyska oporowe, stalowe	7	15
4	Strzemiona specjalne	-	4

$l_{v, \text{strop}}$  - długość zakotwienia prętów w stropie

**Tablica 87.** Maksymalne, obliczeniowe momenty zginające i siły poprzeczne przenoszone przez połączenia, wykonane z zastosowaniem łączników w wersji RK w przypadku, gdy klasa betonu łączonych elementów jest równa C20/25

Poz.	Wysokość łącznika mm	Oznaczenie łącznika	
		RK25	RK45
1	2	3	4
<b>Maksymalny, obliczeniowy moment zginający <math>M_d</math>, kNm<sup>(1)</sup></b>			
1	180	-21,4	-34,0
2	200	-26,2	-41,7
3	220	-31,1	-49,3
4	240	-35,9	-57,0
5	250	-38,3	-60,8
<b>Maksymalna, obliczeniowa siła poprzeczna, pionowa <math>V_d</math>, kN</b>			
6	180-250	+49,8	+74,6





**Rysunek 63.** Łącznik w wersji RQP

**Tablica 88.** Ilości i średnice prętów stalowych łączników w wersji RQP

Poz.	Rodzaj pręta	Oznaczenie łącznika			
		RQP10	RQP40	RQP60	RQP70
1	2	3	4	5	6
1	Długość elementu	360	360	460	660
2	Pręty przenoszące siły poprzeczne ( $l_{v, \text{strop}}$ w mm)	2 $\phi$ 10 (365)	2 $\phi$ 10 (511)	2 $\phi$ 12 (706)	3 $\phi$ 12 (706)
3	Łożyska oporowe, stalowe	1 $\phi$ 12	1 $\phi$ 12	2 $\phi$ 12	3 $\phi$ 12

$l_{v, \text{strop}}$  - długość zakotwienia prętów w stropie

**Tablica 89.** Maksymalne, obliczeniowe momenty zginające i siły poprzeczne przenoszone przez połączenia, wykonane z zastosowaniem łączników w wersji RQP w przypadku, gdy klasa betonu łączonych elementów jest równa C20/25

Poz.	Wysokość łącznika mm	Oznaczenie łącznika			
		RQP10	RQP40	RQP60	RQP70
1	2	3	4	5	6
<b>Maksymalny, obliczeniowy moment zginający <math>M_d</math>, kNm<sup>(1)</sup></b>					
1	160/180/200	1,3	1,9	3,2	5,0
<b>Maksymalna, obliczeniowa siła poprzeczna, pionowa <math>V_d</math>, kN</b>					
2	160	+26,3	+37,8	-	-
3	180/200	+26,3	+37,8	+59,1	+88,6

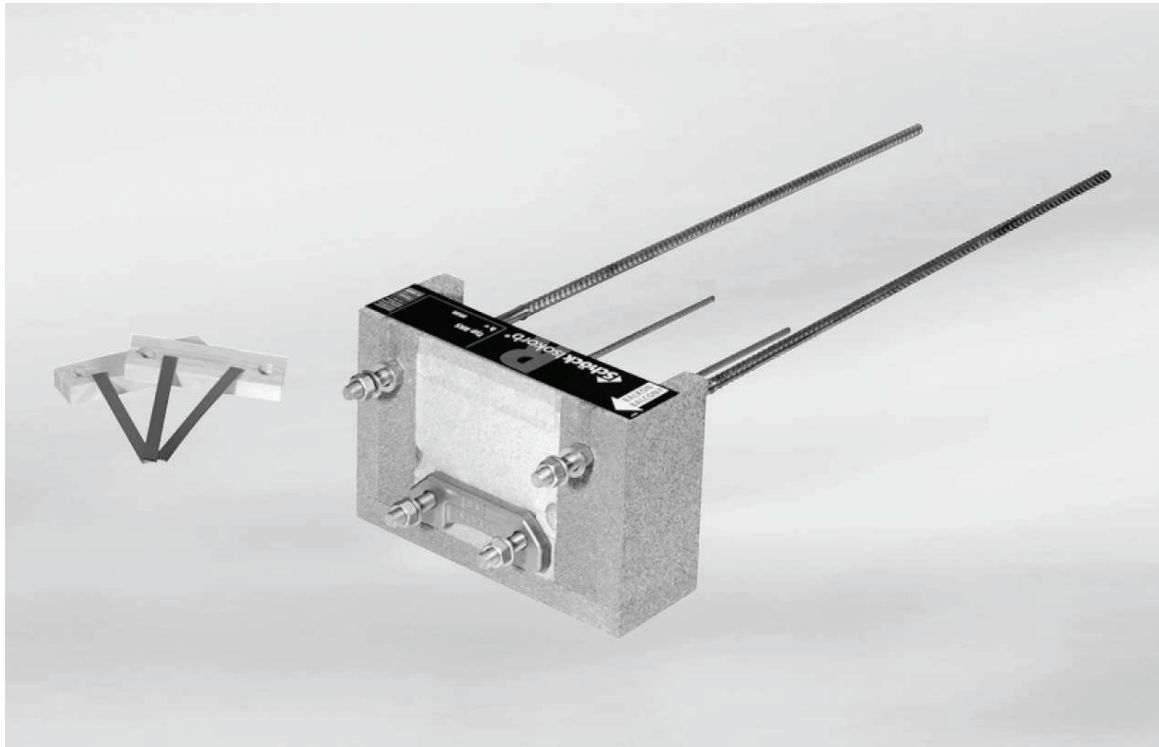
**Tablica 90.** Ilości i średnice prętów stalowych łączników w wersji RQP+RQP

Poz.	Rodzaj pręta	Oznaczenie łącznika			
		RQP10	RQP40	RQP60	RQP70
1	2	3	4	5	6
1	Długość elementu	360	360	460	660
2	Pręty przenoszące siły poprzeczne ( $l_{v, \text{strop}}$ w mm)	2×2φ10 (365)	2×2φ10 (511)	2×2φ12 (706)	2×3φ12 (706)
3	Łożyska oporowe, stalowe	1φ12	1φ12	2φ12	3φ12

$l_{v, \text{strop}}$  - długość zakotwienia prętów w stropie

**Tablica 91.** Maksymalne, obliczeniowe momenty zginające i siły poprzeczne przenoszone przez połączenia, wykonane z zastosowaniem łączników w wersji RQP+RQP w przypadku, gdy klasa betonu łączonych elementów jest równa C20/25

Poz.	Wysokość łącznika mm	Oznaczenie łącznika			
		RQP10+ RQP10	RQP40+ RQP40	RQP60+ RQP60	RQP70+ RQP70
1	2	3	4	5	6
<b>Maksymalny, obliczeniowy moment zginający <math>M_d</math>, kNm<sup>(1)</sup></b>					
1	160/180/200	1,3	1,9	3,2	5,0
<b>Maksymalna, obliczeniowa siła poprzeczna, pionowa <math>V_d</math>, kN</b>					
2	160	+26,3	+37,8	-	-
3	180/200	+26,3	+37,8	+59,1	+88,6



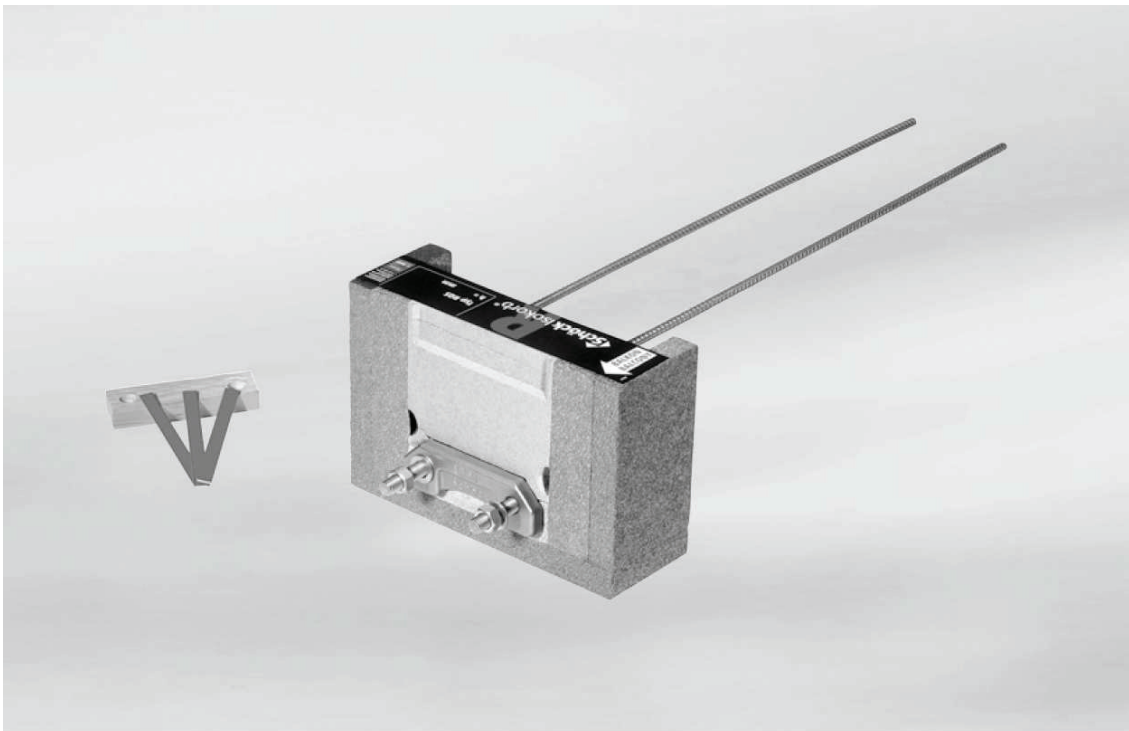
**Rysunek 64.** Łącznik w wersji RKS

**Tablica 92.** Ilości i średnice prętów stalowych łączników w wersji RKS (długość elementu – 340 mm)

Poz.	Rodzaj pręta	Oznaczenie łącznika	
		RKS10	RKS14
1	2	3	4
1	Pręty rozciągane ( $l_{v, \text{strop}}$ w mm)	2 $\phi$ 10 (497)	2 $\phi$ 14 (755)
2	Pręty przenoszące siły poprzeczne ( $l_{v, \text{strop}}$ w mm)	2 $\phi$ 8 (510)	2 $\phi$ 8 (287)
3	Łożyska oporowe, stalowe	2 $\phi$ 14	2 $\phi$ 14
$l_{v, \text{strop}}$ - długość zakotwienia prętów w stropie			

**Tablica 93.** Maksymalne, obliczeniowe momenty zginające i siły poprzeczne przenoszone przez połączenia, wykonane z zastosowaniem łączników w wersji RKS w przypadku, gdy klasa betonu łączonych elementów jest równa C20/25

Poz.	Wysokość łącznika mm	Oznaczenie łącznika	
		RKS10	RKS14
1	2	3	4
<b>Maksymalny, obliczeniowy moment zginający <math>M_d</math>, kNm</b>			
1	160	-3,07	-6,29
2	170	-3,48	-7,21
3	180	-3,89	-8,13
4	190	-4,30	-9,06
5	200	-4,71	-9,98
6	210	-5,12	-10,91
7	220	-5,53	-11,83
8	230	-5,94	-12,76
9	240	-6,35	-13,68
10	250	-6,76	-14,60
<b>Maksymalna, obliczeniowa siła poprzeczna, pionowa <math>V_d</math>, kN</b>			
11	180-280	+28,0	+15,0
<b>Maksymalna, obliczeniowa siła poprzeczna, pozioma <math>H_d</math>, kN</b>			
12	180-280	$\pm$ 2,50	$\pm$ 2,50



**Rysunek 65.** Łącznik w wersji RQS

**Tablica 94.** Ilości i średnice prętów stalowych łączników w wersji RKS (długość elementu – 340 mm)

Poz.	Rodzaj pręta	Oznaczenie łącznika		
		QS8	QS10	QS12
1	2	3	4	5
1	Pręty przenoszące siły poprzeczne ( $l_{v, \text{strop}}$ w mm)	2 $\phi$ 8 (510)	2 $\phi$ 10 (695)	2 $\phi$ 12 (825)
2	Łożyska oporowe, stalowe	2 $\phi$ 14	2 $\phi$ 14	2 $\phi$ 14
$l_{v, \text{strop}}$ - długość zakotwienia prętów w stropie				

**Tablica 95.** Maksymalne, obliczeniowe momenty zginające i siły poprzeczne przenoszone przez połączenia, wykonane z zastosowaniem łączników w wersji RKS w przypadku, gdy klasa betonu łączonych elementów jest równa C20/25

Poz.	Wysokość łącznika mm	Oznaczenie łącznika		
		QS8	QS10	QS12
1	2	3	4	
<b>Maksymalna, obliczeniowa siła poprzeczna, pionowa <math>V_d</math>, kN</b>				
1	160-170	+28,0	+43,8	-
2	180-250	+28,0	+28,0	+69,6
<b>Maksymalna, obliczeniowa siła poprzeczna, pozioma <math>H_d</math>, kN</b>				
3	180-280	$\pm 2,50$	$\pm 2,50$	$\pm 2,50$

**Tablica 96.** Niszczące momenty zginające i siły poprzeczne połączeń wykonanych z zastosowaniem łączników odmian: K 20 i KS 14

	Grubość płyty żelbetowej, cm	Oznaczenie odmiany łącznika	
		K 20	KS 14
Niszczący moment zginający $M_d$ , kNm	18	–	22,0
	16	24,5	–
Niszcząca siła poprzeczna, pionowa $V_d$ , kN	–	43,0	33,1



**Tablica 97.** Klasyfikacja w zakresie odporności ogniowej żelbetowych płyt balkonowych zamocowanych do budynku łącznikami SCHÖCK ISOKORB. Część I.

Poz.	Wersja łącznika	Maksymalna szerokość łącznika, mm	Izolacja ogniochronna	Minimalna grubość płyty żelbetowej / minimalna odległość osi zbrojenia od krawędzi betonu <sup>3)</sup> , mm	Klasa odporności ogniowej płyty balkonowej
1	2	3	4	5	6
1	K KF K-HV K-BH K-WO K-WU K-Eck	80	wełna mineralna <sup>1)</sup>	160 / 20	<b>R 30</b> Szczelność i izolacyjność ogniowa płyty balkonowej i połączenia zostanie zachowana przez co najmniej 30 minut nagrzewania według krzywej standardowej
2			wkładki Aestuver <sup>2)</sup>	160 / 20	<b>R 60</b> Szczelność i izolacyjność ogniowa płyty balkonowej i połączenia zostanie zachowana przez co najmniej 60 minut nagrzewania według krzywej standardowej
3			wkładki Aestuver <sup>2)</sup>	180 / 40	<b>R 120</b> Szczelność i izolacyjność ogniowa płyty balkonowej i połączenia zostanie zachowana przez co najmniej 120 minut nagrzewania według krzywej standardowej
4	D V Q Q+Q QZ QP QP+QP QPZ HP EQ	80	wełna mineralna <sup>1)</sup>	160 / 20	<b>R 30</b> Szczelność i izolacyjność ogniowa płyty balkonowej i połączenia zostanie zachowana przez co najmniej 30 minut nagrzewania według krzywej standardowej
5			wkładki Aestuver <sup>2)</sup>	160 / 20	<b>R 60</b> Szczelność i izolacyjność ogniowa płyty balkonowej i połączenia zostanie zachowana przez co najmniej 60 minut nagrzewania według krzywej standardowej
6	S	80	wkładki Aestuver <sup>2)</sup>	belka o wymiarach 220 × 400 mm odległość osiowa zbrojenia 50 mm	<b>R 60</b>
7	W	80	wkładki Aestuver <sup>2)</sup>	160 / 20	<b>R 60</b> Szczelność i izolacyjność ogniowa płyty balkonowej i połączenia zostanie zachowana przez co najmniej 60 minut nagrzewania według krzywej standardowej
8	A O F	60	wkładki Aestuver <sup>2)</sup>	160 / 20	<b>R 60</b> Szczelność i izolacyjność ogniowa płyty balkonowej i połączenia zostanie zachowana przez co najmniej 60 minut nagrzewania według krzywej standardowej

<sup>1)</sup> wełna mineralna o grubości 30 mm i gęstości co najmniej 150 kg/m<sup>3</sup> od dołu złącza i góry złącza (w przypadku, gdy powierzchnia górna złącza nie jest osłonięta ścianą murowaną, betonową lub wylewką cementową o gr. min. 30mm),  
<sup>2)</sup> wkładki Aestuver grubości 15 mm od dołu i od góry złącza  
<sup>3)</sup> minimalna odległość osiowa zbrojenia dotyczy każdego zbrojenia w elementach żelbetowych i łącznikach

**Tablica 98.** Klasyfikacja w zakresie odporności ogniowej żelbetowych płyt balkonowych zamocowanych do budynku łącznikami SCHÖCK ISOKORB. Część II

Poz.	Wersja łącznika	Maksymalna szerokość łącznika, mm	Izolacja ogniochronna	Minimalna grubość płyty żelbetowej / minimalna odległość osi zbrojenia od krawędzi betonu <sup>3)</sup> , mm	Klasa odporności ogniowej płyty balkonowej
1	2	3	4	5	6
1	KXT KFXT KXT-HV KXT-BH KXT-WO KXT-WU EXT QXT	120	wełna mineralna <sup>1)</sup>	160 / 20	<b>R 30</b> Szczelność i izolacyjność ogniowa płyty balkonowej i połączenia zostanie zachowana przez co najmniej 30 minut nagrzewania według krzywej standardowej
2	QXT+QXT QPXT QPXT+QP XT HPXT DXT		wkładki Aestuver <sup>2)</sup>	160 / 20	<b>R 60</b> Szczelność i izolacyjność ogniowa płyty balkonowej i połączenia zostanie zachowana przez co najmniej 60 minut nagrzewania według krzywej standardowej
3	AXT OXT FXT	120	wkładki Aestuver <sup>2)</sup>	160 / 20	<b>R 60</b> Szczelność i izolacyjność ogniowa płyty balkonowej i połączenia zostanie zachowana przez co najmniej 60 minut nagrzewania według krzywej standardowej

<sup>1)</sup> wełna mineralna o grubości 30 mm i gęstości co najmniej 150 kg/m<sup>3</sup> od dołu złącza i góry złącza (w przypadku, gdy powierzchnia górna złącza nie jest osłonięta ścianą murowaną, betonową lub wylewką cementową o gr. min. 30mm),  
<sup>2)</sup> wkładki Aestuver grubości 15 mm od dołu i od góry złącza  
<sup>3)</sup> minimalna odległość osiowa zbrojenia dotyczy każdego zbrojenia w elementach żelbetowych i łącznikach

**Tablica 99.** Klasyfikacja w zakresie właściwości cieplnych łączników SCHÖCK ISOKORB o szerokości 80 mm i 60 mm (wartości obliczeniowe)

Schöck Isokorb typu:	Wysokość Isokorb H [mm]	Długość Isokorb L [m]	Współczynnik przewodzenia ciepła $\lambda_{eq}$ [W/(m*K)]		Opór cieplny $R_{eq}$ [m <sup>2</sup> K/W]		Oceniana różnica w poziomie kroków $\Delta L_{n,v,w}$ [dB] w porównaniu z ciągłą płytą stropową	
			bez ochrony ppoż.	z ochroną ppoż.	bez ochrony ppoż.	z ochroną ppoż.	bez ochrony ppoż.	z ochroną ppoż.
K10	160	1,00	0,078	0,099	1,02	0,81	15,6	7,7
K10	170	1,00	0,076	0,095	1,06	0,84		
K10	180	1,00	0,073	0,092	1,09	0,87		
K10	190	1,00	0,071	0,089	1,12	0,90	-	-
K10	200	1,00	0,070	0,086	1,15	0,93		
K10	210	1,00	0,068	0,083	1,18	0,96		
K10	220	1,00	0,066	0,081	1,21	0,99		
K10	230	1,00	0,065	0,079	1,23	1,01		
K10	240	1,00	0,064	0,077	1,26	1,04		
K10	250	1,00	0,062	0,076	1,28	1,06		
K10-V8	160	1,00	0,096	0,117	0,83	0,69	10,8	7,7
K10-V8	170	1,00	0,093	0,112	0,86	0,72		
K10-V8	180	1,00	0,089	0,107	0,90	0,74		
K10-V8	190	1,00	0,086	0,104	0,93	0,77	-	-
K10-V8	200	1,00	0,084	0,100	0,96	0,80		
K10-V8	210	1,00	0,081	0,097	0,98	0,82		
K10-V8	220	1,00	0,079	0,094	1,01	0,85		
K10-V8	230	1,00	0,077	0,091	1,04	0,87		
K10-V8	240	1,00	0,075	0,089	1,06	0,90		
K10-V8	250	1,00	0,074	0,087	1,08	0,92		
K20	160	1,00	0,098	0,118	0,82	0,68	10,8	7,7
K20	170	1,00	0,094	0,113	0,85	0,71		
K20	180	1,00	0,091	0,109	0,88	0,74		
K20	190	1,00	0,088	0,105	0,91	0,76	-	-
K20	200	1,00	0,085	0,101	0,94	0,79		
K20	210	1,00	0,083	0,098	0,97	0,82		
K20	220	1,00	0,080	0,095	1,00	0,84		
K20	230	1,00	0,078	0,093	1,02	0,86		
K20	240	1,00	0,076	0,090	1,05	0,89		
K20	250	1,00	0,075	0,088	1,07	0,91		
K20-V8	160	1,00	0,111	0,131	0,72	0,61	10,8	7,7
K20-V8	170	1,00	0,106	0,125	0,75	0,64		
K20-V8	180	1,00	0,102	0,120	0,78	0,67		
K20-V8	190	1,00	0,099	0,116	0,81	0,69	-	-
K20-V8	200	1,00	0,095	0,112	0,84	0,72		
K20-V8	210	1,00	0,092	0,108	0,87	0,74		
K20-V8	220	1,00	0,090	0,105	0,89	0,76		
K20-V8	230	1,00	0,087	0,102	0,92	0,79		

Schöck Isokorb typu:	Wysokość Isokorb H [mm]	Długość Isokorb L [m]	Współczynnik przewodzenia ciepła $\lambda_{eq}$ [W/(m*K)]		Opór cieplny $R_{eq}$ [m <sup>2</sup> K/W]		Oceniana różnica w poziomie kroków $\Delta L_{n,v,w}$ [dB] w porównaniu z ciągłą płytą stropową	
			bez ochrony ppoż.	z ochroną ppoż.	bez ochrony ppoż.	z ochroną ppoż.	bez ochrony ppoż.	z ochroną ppoż.
K20-V8	240	1,00	0,085	0,099	0,94	0,81	-	-
K20-V8	250	1,00	0,083	0,096	0,96	0,83	-	-
K30	160	1,00	0,127	0,148	0,63	0,54	10,8	7,7
K30	170	1,00	0,122	0,141	0,66	0,57		
K30	180	1,00	0,117	0,135	0,69	0,59		
K30	190	1,00	0,112	0,130	0,71	0,62	-	-
K30	200	1,00	0,108	0,125	0,74	0,64		
K30	210	1,00	0,105	0,120	0,76	0,66		
K30	220	1,00	0,102	0,117	0,79	0,69		
K30	230	1,00	0,099	0,113	0,81	0,71		
K30	240	1,00	0,096	0,110	0,83	0,73		
K30	250	1,00	0,094	0,107	0,85	0,75		
K30-V8	160	1,00	0,144	0,165	0,56	0,49	10,8	7,7
K30-V8	170	1,00	0,138	0,157	0,58	0,51		
K30-V8	180	1,00	0,132	0,150	0,61	0,53		
K30-V8	190	1,00	0,127	0,144	0,63	0,56	-	-
K30-V8	200	1,00	0,122	0,138	0,66	0,58		
K30-V8	210	1,00	0,118	0,133	0,68	0,60		
K30-V8	220	1,00	0,114	0,129	0,70	0,62		
K30-V8	230	1,00	0,111	0,125	0,72	0,64		
K30-V8	240	1,00	0,107	0,121	0,74	0,66		
K30-V8	250	1,00	0,104	0,118	0,77	0,68		
K30-V10	160	1,00	0,163	0,184	0,49	0,44	10,8	7,7
K30-V10	170	1,00	0,156	0,175	0,51	0,46		
K30-V10	180	1,00	0,149	0,167	0,54	0,48		
K30-V10	190	1,00	0,143	0,160	0,56	0,50	-	-
K30-V10	200	1,00	0,137	0,154	0,58	0,52		
K30-V10	210	1,00	0,132	0,148	0,60	0,54		
K30-V10	220	1,00	0,128	0,143	0,62	0,56		
K30-V10	230	1,00	0,124	0,138	0,65	0,58		
K30-V10	240	1,00	0,120	0,134	0,67	0,60		
K30-V10	250	1,00	0,117	0,130	0,69	0,62		
K40	160	1,00	0,136	0,156	0,59	0,51	10,8	7,7
K40	170	1,00	0,130	0,149	0,62	0,54		
K40	180	1,00	0,124	0,142	0,64	0,56		
K40	190	1,00	0,120	0,137	0,67	0,59	-	-
K40	200	1,00	0,115	0,132	0,69	0,61		
K40	210	1,00	0,111	0,127	0,72	0,63		
K40	220	1,00	0,108	0,123	0,74	0,65		
K40	230	1,00	0,105	0,119	0,76	0,67	-	-

Schöck Isokorb typu:	Wysokość Isokorb H [mm]	Długość Isokorb L [m]	Współczynnik przewodzenia ciepła $\lambda_{eq}$ [W/(m*K)]		Opór cieplny $R_{eq}$ [m²K/W]		Oceniana różnica w poziomie kroków $\Delta L_{n,v,w}$ [dB] w porównaniu z ciągłą płytą stropową	
			bez ochrony ppoż.	z ochroną ppoż.	bez ochrony ppoż.	z ochroną ppoż.	bez ochrony ppoż.	z ochroną ppoż.
K40	240	1,00	0,102	0,115	0,79	0,69	-	-
K40	250	1,00	0,099	0,112	0,81	0,71	-	-
K40-V8	160	1,00	0,153	0,173	0,52	0,46	10,8	7,7
K40-V8	170	1,00	0,146	0,165	0,55	0,49		
K40-V8	180	1,00	0,139	0,158	0,57	0,51		
K40-V8	190	1,00	0,134	0,151	0,60	0,53	-	-
K40-V8	200	1,00	0,129	0,145	0,62	0,55		
K40-V8	210	1,00	0,124	0,140	0,64	0,57		
K40-V8	220	1,00	0,120	0,135	0,67	0,59		
K40-V8	230	1,00	0,116	0,131	0,69	0,61		
K40-V8	240	1,00	0,113	0,127	0,71	0,63		
K40-V8	250	1,00	0,110	0,123	0,73	0,65		
K40-V10	160	1,00	0,167	0,187	0,48	0,43	10,8	7,7
K40-V10	170	1,00	0,159	0,178	0,50	0,45		
K40-V10	180	1,00	0,152	0,170	0,53	0,47		
K40-V10	190	1,00	0,146	0,163	0,55	0,49	-	-
K40-V10	200	1,00	0,140	0,157	0,57	0,51		
K40-V10	210	1,00	0,135	0,151	0,59	0,53		
K40-V10	220	1,00	0,131	0,145	0,61	0,55		
K40-V10	230	1,00	0,126	0,141	0,63	0,57		
K40-V10	240	1,00	0,123	0,136	0,65	0,59		
K40-V10	250	1,00	0,119	0,132	0,67	0,61		
K40-VV	160	1,00	0,177	0,197	0,45	0,41	10,8	7,7
K40-VV	170	1,00	0,168	0,187	0,48	0,43		
K40-VV	180	1,00	0,161	0,179	0,50	0,45		
K40-VV	190	1,00	0,154	0,171	0,52	0,47	-	-
K40-VV	200	1,00	0,148	0,164	0,54	0,49		
K40-VV	210	1,00	0,143	0,158	0,56	0,51		
K40-VV	220	1,00	0,138	0,153	0,58	0,52		
K40-VV	230	1,00	0,133	0,147	0,60	0,54		
K40-VV	240	1,00	0,129	0,143	0,62	0,56		
K40-VV	250	1,00	0,125	0,138	0,64	0,58		
K50	160	1,00	0,156	0,177	0,51	0,45	12,3	7,7
K50	170	1,00	0,149	0,168	0,54	0,48		
K50	180	1,00	0,143	0,161	0,56	0,50		
K50	190	1,00	0,137	0,154	0,58	0,52	-	-
K50	200	1,00	0,132	0,148	0,61	0,54		
K50	210	1,00	0,127	0,143	0,63	0,56		
K50	220	1,00	0,123	0,138	0,65	0,58		
K50	230	1,00	0,119	0,133	0,67	0,60		

Schöck Isokorb typu:	Wysokość Isokorb H [mm]	Długość Isokorb L [m]	Współczynnik przewodzenia ciepła $\lambda_{eq}$ [W/(m*K)]		Opór cieplny $R_{eq}$ [m <sup>2</sup> K/W]		Oceniana różnica w poziomie kroków $\Delta L_{n,v,w}$ [dB] w porównaniu z ciągłą płytą stropową			
			bez ochrony ppoż.	z ochroną ppoż.	bez ochrony ppoż.	z ochroną ppoż.	bez ochrony ppoż.	z ochroną ppoż.		
K50	240	1,00	0,115	0,129	0,69	0,62	-	-		
K50	250	1,00	0,112	0,125	0,71	0,64	-	-		
K50-V8	160	1,00	0,173	0,194	0,46	0,41	6,8	-		
K50-V8	170	1,00	0,165	0,184	0,49	0,43				
K50-V8	180	1,00	0,158	0,176	0,51	0,46				
K50-V8	190	1,00	0,151	0,168	0,53	0,48	-	-		
K50-V8	200	1,00	0,145	0,162	0,55	0,49				
K50-V8	210	1,00	0,140	0,156	0,57	0,51				
K50-V8	220	1,00	0,135	0,150	0,59	0,53				
K50-V8	230	1,00	0,131	0,145	0,61	0,55				
K50-V8	240	1,00	0,127	0,140	0,63	0,57				
K50-V8	250	1,00	0,123	0,136	0,65	0,59				
K50-V10	160	1,00	0,183	0,203	0,44	0,39			6,8	-
K50-V10	170	1,00	0,174	0,193	0,46	0,41				
K50-V10	180	1,00	0,166	0,184	0,48	0,43				
K50-V10	190	1,00	0,159	0,176	0,50	0,45	-	-		
K50-V10	200	1,00	0,153	0,169	0,52	0,47				
K50-V10	210	1,00	0,147	0,163	0,54	0,49				
K50-V10	220	1,00	0,142	0,157	0,56	0,51				
K50-V10	230	1,00	0,137	0,152	0,58	0,53				
K50-V10	240	1,00	0,133	0,147	0,60	0,55				
K50-V10	250	1,00	0,129	0,142	0,62	0,56				
K50-VV	160	1,00	0,202	0,222	0,40	0,36			6,8	-
K50-VV	170	1,00	0,192	0,211	0,42	0,38				
K50-VV	180	1,00	0,183	0,201	0,44	0,40				
K50-VV	190	1,00	0,175	0,193	0,46	0,42	-	-		
K50-VV	200	1,00	0,168	0,185	0,48	0,43				
K50-VV	210	1,00	0,162	0,178	0,49	0,45				
K50-VV	220	1,00	0,156	0,171	0,51	0,47				
K50-VV	230	1,00	0,151	0,165	0,53	0,48				
K50-VV	240	1,00	0,146	0,160	0,55	0,50				
K50-VV	250	1,00	0,141	0,155	0,57	0,52				
K60	160	1,00	0,224	0,244	0,36	0,33			6,8	-
K60	170	1,00	0,213	0,232	0,38	0,34				
K60	180	1,00	0,203	0,221	0,39	0,36				

Schöck Isokorb typu:	Wysokość Isokorb H [mm]	Długość Isokorb L [m]	Współczynnik przewodzenia ciepła $\lambda_{eq}$ [W/(m*K)]		Opór cieplny $R_{eq}$ [m <sup>2</sup> K/W]		Oceniana różnica w poziomie kroków $\Delta L_{n,v,w}$ [dB] w porównaniu z ciągłą płytą stropową	
			bez ochrony ppoż.	z ochroną ppoż.	bez ochrony ppoż.	z ochroną ppoż.	bez ochrony ppoż.	z ochroną ppoż.
K60	190	1,00	0,194	0,211	0,41	0,38	-	-
K60	200	1,00	0,186	0,202	0,43	0,40		
K60	210	1,00	0,179	0,194	0,45	0,41		
K60	220	1,00	0,172	0,187	0,46	0,43		
K60	230	1,00	0,166	0,180	0,48	0,44		
K60	240	1,00	0,161	0,174	0,50	0,46		
K60	250	1,00	0,156	0,169	0,51	0,47		
K60-V8	160	1,00	0,224	0,244	0,36	0,33	6,8	-
K60-V8	170	1,00	0,213	0,232	0,38	0,34		
K60-V8	180	1,00	0,203	0,221	0,39	0,36		
K60-V8	190	1,00	0,194	0,211	0,41	0,38	-	-
K60-V8	200	1,00	0,186	0,202	0,43	0,40		
K60-V8	210	1,00	0,179	0,194	0,45	0,41		
K60-V8	220	1,00	0,172	0,187	0,46	0,43		
K60-V8	230	1,00	0,166	0,180	0,48	0,44		
K60-V8	240	1,00	0,161	0,174	0,50	0,46		
K60-V8	250	1,00	0,156	0,169	0,51	0,47		
K60-V10	160	1,00	0,233	0,254	0,34	0,32	6,8	-
K60-V10	170	1,00	0,222	0,241	0,36	0,33		
K60-V10	180	1,00	0,211	0,229	0,38	0,35		
K60-V10	190	1,00	0,202	0,219	0,40	0,37	-	-
K60-V10	200	1,00	0,193	0,210	0,41	0,38		
K60-V10	210	1,00	0,186	0,201	0,43	0,40		
K60-V10	220	1,00	0,179	0,194	0,45	0,41		
K60-V10	230	1,00	0,173	0,187	0,46	0,43		
K60-V10	240	1,00	0,167	0,180	0,48	0,44		
K60-V10	250	1,00	0,162	0,175	0,50	0,46		
K60-VV	160	1,00	0,262	0,282	0,31	0,28	6,8	-
K60-VV	170	1,00	0,248	0,268	0,32	0,30		
K60-VV	180	1,00	0,236	0,255	0,34	0,31		
K60-VV	190	1,00	0,226	0,243	0,35	0,33	-	-
K60-VV	200	1,00	0,216	0,233	0,37	0,34		
K60-VV	210	1,00	0,208	0,223	0,39	0,36		
K60-VV	220	1,00	0,200	0,215	0,40	0,37		
K60-VV	230	1,00	0,192	0,207	0,42	0,39		
K60-VV	240	1,00	0,186	0,199	0,43	0,40		
K60-VV	250	1,00	0,180	0,193	0,44	0,41		

Schöck Isokorb typu:	Wysokość Isokorb H [mm]	Długość Isokorb L [m]	Współczynnik przewodzenia ciepła $\lambda_{eq}$ [W/(m*K)]		Opór cieplny $R_{eq}$ [m²K/W]		Oceniana różnica w poziomie kroków $\Delta L_{n,v,w}$ [dB] w porównaniu z ciągłą płytą stropową	
			bez ochrony ppoż.	z ochroną ppoż.	bez ochrony ppoż.	z ochroną ppoż.	bez ochrony ppoż.	z ochroną ppoż.
K70	160	1,00	0,241	0,261	0,33	0,31	6,8	-
K70	170	1,00	0,229	0,248	0,35	0,32		
K70	180	1,00	0,218	0,236	0,37	0,34		
K70	190	1,00	0,208	0,225	0,38	0,36	-	-
K70	200	1,00	0,199	0,216	0,40	0,37		
K70	210	1,00	0,192	0,207	0,42	0,39		
K70	220	1,00	0,184	0,199	0,43	0,40		
K70	230	1,00	0,178	0,192	0,45	0,42		
K70	240	1,00	0,172	0,185	0,47	0,43		
K70	250	1,00	0,166	0,179	0,48	0,45		
K70-V8	160	1,00	0,241	0,261	0,33	0,31	6,8	-
K70-V8	170	1,00	0,229	0,248	0,35	0,32		
K70-V8	180	1,00	0,218	0,236	0,37	0,34		
K70-V8	190	1,00	0,208	0,225	0,38	0,36	-	-
K70-V8	200	1,00	0,199	0,216	0,40	0,37		
K70-V8	210	1,00	0,192	0,207	0,42	0,39		
K70-V8	220	1,00	0,184	0,199	0,43	0,40		
K70-V8	230	1,00	0,178	0,192	0,45	0,42		
K70-V8	240	1,00	0,172	0,185	0,47	0,43		
K70-V8	250	1,00	0,166	0,179	0,48	0,45		
K70-V10	160	1,00	0,245	0,266	0,33	0,30	3,0	-
K70-V10	170	1,00	0,233	0,252	0,34	0,32		
K70-V10	180	1,00	0,222	0,240	0,36	0,33		
K70-V10	190	1,00	0,212	0,229	0,38	0,35	-	-
K70-V10	200	1,00	0,203	0,220	0,39	0,36		
K70-V10	210	1,00	0,195	0,211	0,41	0,38		
K70-V10	220	1,00	0,188	0,203	0,43	0,39		
K70-V10	230	1,00	0,181	0,195	0,44	0,41		
K70-V10	240	1,00	0,175	0,189	0,46	0,42		
K70-V10	250	1,00	0,169	0,182	0,47	0,44		
K70-VV	160	1,00	0,269	0,290	0,30	0,28	3,0	-
K70-VV	170	1,00	0,255	0,275	0,31	0,29		
K70-VV	180	1,00	0,243	0,261	0,33	0,31		
K70-VV	190	1,00	0,232	0,249	0,34	0,32	-	-
K70-VV	200	1,00	0,222	0,238	0,36	0,34		
K70-VV	210	1,00	0,213	0,229	0,38	0,35		
K70-VV	220	1,00	0,205	0,220	0,39	0,36		
K70-VV	230	1,00	0,198	0,212	0,40	0,38		
K70-VV	240	1,00	0,191	0,204	0,42	0,39		
K70-VV	250	1,00	0,184	0,198	0,43	0,40		



Schöck Isokorb typu:	Wysokość Isokorb H [mm]	Długość Isokorb L [m]	Współczynnik przewodzenia ciepła $\lambda_{eq}$ [W/(m*K)]		Opór cieplny $R_{eq}$ [m <sup>2</sup> K/W]		Oceniana różnica w poziomie kroków $\Delta L_{n,v,w}$ [dB] w porównaniu z ciągłą płytą stropową	
			bez ochrony ppoż.	z ochroną ppoż.	bez ochrony ppoż.	z ochroną ppoż.	bez ochrony ppoż.	z ochroną ppoż.
K80-V8	160	1,00	0,250	0,271	0,32	0,30	3,0	-
K80-V8	170	1,00	0,238	0,257	0,34	0,31		
K80-V8	180	1,00	0,226	0,244	0,35	0,33		
K80-V8	190	1,00	0,216	0,233	0,37	0,34	-	-
K80-V8	200	1,00	0,207	0,223	0,39	0,36		
K80-V8	210	1,00	0,199	0,214	0,40	0,37		
K80-V8	220	1,00	0,191	0,206	0,42	0,39		
K80-V8	230	1,00	0,184	0,199	0,43	0,40		
K80-V8	240	1,00	0,178	0,192	0,45	0,42		
K80-V8	250	1,00	0,172	0,186	0,46	0,43		
K80-V10	160	1,00	0,250	0,271	0,32	0,30	3,0	-
K80-V10	170	1,00	0,238	0,257	0,34	0,31		
K80-V10	180	1,00	0,226	0,244	0,35	0,33		
K80-V10	190	1,00	0,216	0,233	0,37	0,34	-	-
K80-V10	200	1,00	0,207	0,223	0,39	0,36		
K80-V10	210	1,00	0,199	0,214	0,40	0,37		
K80-V10	220	1,00	0,191	0,206	0,42	0,39		
K80-V10	230	1,00	0,184	0,199	0,43	0,40		
K80-V10	240	1,00	0,178	0,192	0,45	0,42		
K80-V10	250	1,00	0,172	0,186	0,46	0,43		
K80-VV	160	1,00	0,269	0,290	0,30	0,28	3,0	-
K80-VV	170	1,00	0,255	0,275	0,31	0,29		
K80-VV	180	1,00	0,243	0,261	0,33	0,31		
K80-VV	190	1,00	0,232	0,249	0,34	0,32	-	-
K80-VV	200	1,00	0,222	0,238	0,36	0,34		
K80-VV	210	1,00	0,213	0,229	0,38	0,35		
K80-VV	220	1,00	0,205	0,220	0,39	0,36		
K80-VV	230	1,00	0,198	0,212	0,40	0,38		
K80-VV	240	1,00	0,191	0,204	0,42	0,39		
K80-VV	250	1,00	0,184	0,198	0,43	0,40		
K90-V8	160	1,00	0,263	0,283	0,30	0,28	3,0	-
K90-V8	170	1,00	0,249	0,268	0,32	0,30		
K90-V8	180	1,00	0,237	0,255	0,34	0,31		
K90-V8	190	1,00	0,226	0,244	0,35	0,33	-	-
K90-V8	200	1,00	0,217	0,233	0,37	0,34		
K90-V8	210	1,00	0,208	0,224	0,38	0,36		
K90-V8	220	1,00	0,200	0,215	0,40	0,37		
K90-V8	230	1,00	0,193	0,207	0,41	0,39		
K90-V8	240	1,00	0,186	0,200	0,43	0,40		
K90-V8	250	1,00	0,180	0,193	0,44	0,41		

Schöck Isokorb typu:	Wysokość Isokorb H [mm]	Długość Isokorb L [m]	Współczynnik przewodzenia ciepła $\lambda_{eq}$ [W/(m*K)]		Opór cieplny $R_{eq}$ [m <sup>2</sup> K/W]		Oceniana różnica w poziomie kroków $\Delta L_{n,v,w}$ [dB] w porównaniu z ciągłą płytą stropową	
			bez ochrony ppoż.	z ochroną ppoż.	bez ochrony ppoż.	z ochroną ppoż.	bez ochrony ppoż.	z ochroną ppoż.
K90-V10	160	1,00	0,263	0,283	0,30	0,28	3,0	-
K90-V10	170	1,00	0,249	0,268	0,32	0,30		
K90-V10	180	1,00	0,237	0,255	0,34	0,31		
K90-V10	190	1,00	0,226	0,244	0,35	0,33	-	-
K90-V10	200	1,00	0,217	0,233	0,37	0,34		
K90-V10	210	1,00	0,208	0,224	0,38	0,36		
K90-V10	220	1,00	0,200	0,215	0,40	0,37		
K90-V10	230	1,00	0,193	0,207	0,41	0,39		
K90-V10	240	1,00	0,186	0,200	0,43	0,40		
K90-V10	250	1,00	0,180	0,193	0,44	0,41		
K90-VV	160	1,00	0,281	0,302	0,28	0,27	3,0	-
K90-VV	170	1,00	0,267	0,286	0,30	0,28		
K90-VV	180	1,00	0,254	0,272	0,32	0,29		
K90-VV	190	1,00	0,242	0,260	0,33	0,31		
K90-VV	200	1,00	0,232	0,248	0,35	0,32	-	-
K90-VV	210	1,00	0,222	0,238	0,36	0,34		
K90-VV	220	1,00	0,214	0,229	0,37	0,35		
K90-VV	230	1,00	0,206	0,220	0,39	0,36		
K90-VV	240	1,00	0,199	0,213	0,40	0,38		
K90-VV	250	1,00	0,192	0,205	0,42	0,39		
K100-V8	160	1,00	0,270	0,290	0,30	0,28		
K100-V8	170	1,00	0,256	0,275	0,31	0,29		
K100-V8	180	1,00	0,244	0,262	0,33	0,31		
K100-V8	190	1,00	0,233	0,250	0,34	0,32		
K100-V8	200	1,00	0,223	0,239	0,36	0,33		
K100-V8	210	1,00	0,214	0,229	0,37	0,35		
K100-V8	220	1,00	0,206	0,220	0,39	0,36		
K100-V8	230	1,00	0,198	0,212	0,40	0,38		
K100-V8	240	1,00	0,191	0,205	0,42	0,39		
K100-V8	250	1,00	0,185	0,198	0,43	0,40		
K100-V10	160	1,00	0,275	0,295	0,29	0,27	-	-
K100-V10	170	1,00	0,260	0,280	0,31	0,29		
K100-V10	180	1,00	0,248	0,266	0,32	0,30		
K100-V10	190	1,00	0,237	0,254	0,34	0,32		
K100-V10	200	1,00	0,226	0,243	0,35	0,33		
K100-V10	210	1,00	0,217	0,233	0,37	0,34		
K100-V10	220	1,00	0,209	0,224	0,38	0,36		
K100-V10	230	1,00	0,201	0,216	0,40	0,37		
K100-V10	240	1,00	0,194	0,208	0,41	0,38		
K100-V10	250	1,00	0,188	0,201	0,43	0,40		

Schöck Isokorb typu:	Wysokość Isokorb H [mm]	Długość Isokorb L [m]	Współczynnik przewodzenia ciepła $\lambda_{eq}$ [W/(m*K)]		Opór cieplny $R_{eq}$ [m <sup>2</sup> K/W]		Oceniana różnica w poziomie kroków $\Delta L_{n,v,w}$ [dB] w porównaniu z ciągłą płytą stropową	
			bez ochrony ppoż.	z ochroną ppoż.	bez ochrony ppoż.	z ochroną ppoż.	bez ochrony ppoż.	z ochroną ppoż.
K100-VV	160	1,00	0,293	0,314	0,27	0,25		
K100-VV	170	1,00	0,278	0,297	0,29	0,27		
K100-VV	180	1,00	0,265	0,283	0,30	0,28		
K100-VV	190	1,00	0,252	0,270	0,32	0,30		
K100-VV	200	1,00	0,242	0,258	0,33	0,31		
K100-VV	210	1,00	0,232	0,247	0,35	0,32		
K100-VV	220	1,00	0,223	0,238	0,36	0,34		
K100-VV	230	1,00	0,214	0,229	0,37	0,35		
K100-VV	240	1,00	0,207	0,221	0,39	0,36		
K100-VV	250	1,00	0,200	0,213	0,40	0,38		
K10S	160	1,00	0,087	0,107	0,923	0,747		
K10S	170	1,00	0,084	0,103	0,957	0,778		
K10S	180	1,00	0,081	0,099	0,990	0,808		
K10S	190	1,00	0,078	0,096	1,021	0,837		
K10S	200	1,00	0,076	0,092	1,051	0,865		
K10S	210	1,00	0,074	0,090	1,079	0,892		
K10S	220	1,00	0,072	0,087	1,107	0,918		
K10S	230	1,00	0,071	0,085	1,133	0,943		
K10S	240	1,00	0,069	0,083	1,158	0,967		
K10S	250	1,00	0,068	0,081	1,182	0,990		
K10S	260	1,00	0,066	0,079	1,205	1,013		
K10S	270	1,00	0,065	0,077	1,227	1,035		
K10S	280	1,00	0,064	0,076	1,248	1,056		
K10S	290	1,00	0,063	0,074	1,269	1,076		
K10S	300	1,00	0,062	0,073	1,289	1,096		
K20S	160	1,00	0,101	0,121	0,792	0,659		
K20S	170	1,00	0,097	0,116	0,824	0,688		
K20S	180	1,00	0,094	0,112	0,855	0,716		
K20S	190	1,00	0,090	0,108	0,884	0,743		
K20S	200	1,00	0,088	0,104	0,913	0,769		
K20S	210	1,00	0,085	0,101	0,940	0,795		
K20S	220	1,00	0,083	0,098	0,967	0,819		
K20S	230	1,00	0,081	0,095	0,992	0,843		
K20S	240	1,00	0,079	0,092	1,017	0,867		
K20S	250	1,00	0,077	0,090	1,040	0,889		
K20S	260	1,00	0,075	0,088	1,063	0,911		
K20S	270	1,00	0,074	0,086	1,085	0,932		
K20S	280	1,00	0,072	0,084	1,106	0,952		
K20S	290	1,00	0,071	0,082	1,127	0,972		
K20S	300	1,00	0,070	0,081	1,147	0,992		

Schöck Isokorb typu:	Wysokość Isokorb H [mm]	Długość Isokorb L [m]	Współczynnik przewodzenia ciepła $\lambda_{eq}$ [W/(m*K)]		Opór cieplny $R_{eq}$ [m <sup>2</sup> K/W]		Oceniana różnica w poziomie kroków $\Delta L_{n,v,w}$ [dB] w porównaniu z ciągłą płytą stropową	
			bez ochrony ppoż.	z ochroną ppoż.	bez ochrony ppoż.	z ochroną ppoż.	bez ochrony ppoż.	z ochroną ppoż.
K30S	160	1,00	0,118	0,138	0,678	0,578		
K30S	170	1,00	0,113	0,132	0,708	0,605		
K30S	180	1,00	0,109	0,127	0,736	0,631		
K30S	190	1,00	0,105	0,122	0,764	0,656		
K30S	200	1,00	0,101	0,118	0,791	0,681		
K30S	210	1,00	0,098	0,114	0,817	0,705		
K30S	220	1,00	0,095	0,110	0,842	0,728		
K30S	230	1,00	0,092	0,107	0,866	0,750		
K30S	240	1,00	0,090	0,104	0,889	0,772		
K30S	250	1,00	0,088	0,101	0,912	0,793		
K30S	260	1,00	0,086	0,098	0,934	0,814		
K30S	270	1,00	0,084	0,096	0,955	0,834		
K30S	280	1,00	0,082	0,094	0,976	0,854		
K30S	290	1,00	0,080	0,092	0,996	0,873		
K30S	300	1,00	0,079	0,090	1,015	0,892		
K40S	160	1,00	0,125	0,146	0,639	0,549		
K40S	170	1,00	0,120	0,139	0,668	0,575		
K40S	180	1,00	0,115	0,133	0,695	0,601		
K40S	190	1,00	0,111	0,128	0,722	0,625		
K40S	200	1,00	0,107	0,123	0,748	0,649		
K40S	210	1,00	0,103	0,119	0,773	0,672		
K40S	220	1,00	0,100	0,115	0,798	0,695		
K40S	230	1,00	0,097	0,112	0,821	0,717		
K40S	240	1,00	0,095	0,108	0,844	0,738		
K40S	250	1,00	0,092	0,105	0,866	0,759		
K40S	260	1,00	0,090	0,103	0,888	0,779		
K40S	270	1,00	0,088	0,100	0,909	0,799		
K40S	280	1,00	0,086	0,098	0,929	0,818		
K40S	290	1,00	0,084	0,096	0,949	0,837		
K40S	300	1,00	0,083	0,094	0,968	0,855		
K50S	160	1,00	0,142	0,163	0,563	0,492		
K50S	170	1,00	0,136	0,155	0,589	0,516		
K50S	180	1,00	0,130	0,148	0,615	0,540		
K50S	190	1,00	0,125	0,142	0,640	0,562		
K50S	200	1,00	0,120	0,137	0,664	0,585		
K50S	210	1,00	0,116	0,132	0,688	0,606		
K50S	220	1,00	0,113	0,127	0,710	0,628		
K50S	230	1,00	0,109	0,123	0,733	0,648		
K50S	240	1,00	0,106	0,120	0,754	0,668		
K50S	250	1,00	0,103	0,116	0,775	0,688		

Schöck Isokorb typu:	Wysokość Isokorb H [mm]	Długość Isokorb L [m]	Współczynnik przewodzenia ciepła $\lambda_{eq}$ [W/(m*K)]		Opór cieplny $R_{eq}$ [m <sup>2</sup> K/W]		Oceniana różnica w poziomie kroków $\Delta L_{n,v,w}$ [dB] w porównaniu z ciągłą płytą stropową	
			bez ochrony ppoż.	z ochroną ppoż.	bez ochrony ppoż.	z ochroną ppoż.	bez ochrony ppoż.	z ochroną ppoż.
K50S	260	1,00	0,101	0,113	0,796	0,707		
K50S	270	1,00	0,098	0,110	0,816	0,726		
K50S	280	1,00	0,096	0,107	0,835	0,745		
K50S	290	1,00	0,094	0,105	0,854	0,763		
K50S	300	1,00	0,092	0,103	0,873	0,780		
K60S	160	1,00	0,149	0,170	0,536	0,471		
K60S	170	1,00	0,143	0,162	0,561	0,495		
K60S	180	1,00	0,136	0,155	0,586	0,517		
K60S	190	1,00	0,131	0,148	0,610	0,539		
K60S	200	1,00	0,126	0,143	0,634	0,561		
K60S	210	1,00	0,122	0,137	0,657	0,582		
K60S	220	1,00	0,118	0,133	0,679	0,603		
K60S	230	1,00	0,114	0,128	0,701	0,623		
K60S	240	1,00	0,111	0,124	0,722	0,643		
K60S	250	1,00	0,108	0,121	0,742	0,662		
K60S	260	1,00	0,105	0,118	0,762	0,681		
K60S	270	1,00	0,102	0,114	0,782	0,699		
K60S	280	1,00	0,100	0,112	0,801	0,717		
K60S	290	1,00	0,098	0,109	0,820	0,735		
K60S	300	1,00	0,095	0,106	0,838	0,752		
K70M	160	1,00	0,189	0,209	0,423	0,382		
K70M	170	1,00	0,180	0,199	0,445	0,402		
K70M	180	1,00	0,172	0,190	0,466	0,421		
K70M	190	1,00	0,165	0,182	0,486	0,440		
K70M	200	1,00	0,158	0,174	0,506	0,459		
K70M	210	1,00	0,152	0,168	0,526	0,477		
K70M	220	1,00	0,147	0,162	0,545	0,495		
K70M	230	1,00	0,142	0,156	0,564	0,513		
K70M	240	1,00	0,137	0,151	0,582	0,530		
K70M	250	1,00	0,133	0,146	0,601	0,547		
K70M	260	1,00	0,129	0,142	0,618	0,563		
K70M	270	1,00	0,126	0,138	0,636	0,580		
K70M	280	1,00	0,123	0,134	0,653	0,596		
K70M	290	1,00	0,120	0,131	0,669	0,612		
K70M	300	1,00	0,117	0,128	0,686	0,627		
K70M V10	160	1,00	0,208	0,228	0,385	0,350		
K70M V10	170	1,00	0,198	0,217	0,405	0,369		
K70M V10	180	1,00	0,189	0,207	0,424	0,387		
K70M V10	190	1,00	0,180	0,198	0,443	0,405		
K70M V10	200	1,00	0,173	0,189	0,462	0,422		

Schöck Isokorb typu:	Wysokość Isokorb H [mm]	Długość Isokorb L [m]	Współczynnik przewodzenia ciepła $\lambda_{eq}$ [W/(m*K)]		Opór cieplny $R_{eq}$ [m <sup>2</sup> K/W]		Oceniana różnica w poziomie kroków $\Delta L_{n,v,w}$ [dB] w porównaniu z ciągłą płytą stropową	
			bez ochrony ppoż.	z ochroną ppoż.	bez ochrony ppoż.	z ochroną ppoż.	bez ochrony ppoż.	z ochroną ppoż.
K70M V10	210	1,00	0,166	0,182	0,481	0,440		
K70M V10	220	1,00	0,160	0,175	0,499	0,456		
K70M V10	230	1,00	0,155	0,169	0,516	0,473		
K70M V10	240	1,00	0,150	0,164	0,534	0,489		
K70M V10	250	1,00	0,145	0,158	0,551	0,505		
K70M V10	260	1,00	0,141	0,154	0,567	0,521		
K70M V10	270	1,00	0,137	0,149	0,584	0,536		
K70M V10	280	1,00	0,133	0,145	0,600	0,552		
K70M V10	290	1,00	0,130	0,141	0,616	0,567		
K70M V10	300	1,00	0,127	0,138	0,631	0,581		
K70M VV	160	1,00	0,208	0,228	0,385	0,350		
K70M VV	170	1,00	0,198	0,217	0,405	0,369		
K70M VV	180	1,00	0,189	0,207	0,424	0,387		
K70M VV	190	1,00	0,180	0,198	0,443	0,405		
K70M VV	200	1,00	0,173	0,189	0,462	0,422		
K70M VV	210	1,00	0,166	0,182	0,481	0,440		
K70M VV	220	1,00	0,160	0,175	0,499	0,456		
K70M VV	230	1,00	0,155	0,169	0,516	0,473		
K70M VV	240	1,00	0,150	0,164	0,534	0,489		
K70M VV	250	1,00	0,145	0,158	0,551	0,505		
K70M VV	260	1,00	0,141	0,154	0,567	0,521		
K70M VV	270	1,00	0,137	0,149	0,584	0,536		
K70M VV	280	1,00	0,133	0,145	0,600	0,552		
K70M VV	290	1,00	0,130	0,141	0,616	0,567		
K70M VV	300	1,00	0,127	0,138	0,631	0,581		
K80M	160	1,00	0,204	0,224	0,393	0,357		
K80M	170	1,00	0,194	0,213	0,413	0,376		
K80M	180	1,00	0,185	0,203	0,433	0,394		
K80M	190	1,00	0,177	0,194	0,452	0,412		
K80M	200	1,00	0,170	0,186	0,471	0,430		
K80M	210	1,00	0,163	0,179	0,490	0,447		
K80M	220	1,00	0,157	0,172	0,508	0,464		
K80M	230	1,00	0,152	0,166	0,526	0,481		
K80M	240	1,00	0,147	0,161	0,544	0,498		
K80M	250	1,00	0,143	0,156	0,561	0,514		
K80M	260	1,00	0,138	0,151	0,578	0,530		
K80M	270	1,00	0,135	0,147	0,594	0,545		
K80M	280	1,00	0,131	0,143	0,611	0,561		
K80M	290	1,00	0,128	0,139	0,627	0,576		
K80M	300	1,00	0,125	0,135	0,642	0,591		

Schöck Isokorb typu:	Wysokość Isokorb H [mm]	Długość Isokorb L [m]	Współczynnik przewodzenia ciepła $\lambda_{eq}$ [W/(m*K)]		Opór cieplny $R_{eq}$ [m <sup>2</sup> K/W]		Oceniana różnica w poziomie kroków $\Delta L_{n,v,w}$ [dB] w porównaniu z ciągłą płytą stropową	
			bez ochrony ppoż.	z ochroną ppoż.	bez ochrony ppoż.	z ochroną ppoż.	bez ochrony ppoż.	z ochroną ppoż.
K80M V10	160	1,00	0,223	0,243	0,360	0,329		
K80M V10	170	1,00	0,211	0,231	0,378	0,347		
K80M V10	180	1,00	0,202	0,220	0,397	0,364		
K80M V10	190	1,00	0,193	0,210	0,415	0,381		
K80M V10	200	1,00	0,185	0,201	0,433	0,398		
K80M V10	210	1,00	0,178	0,193	0,450	0,414		
K80M V10	220	1,00	0,171	0,186	0,468	0,430		
K80M V10	230	1,00	0,165	0,179	0,484	0,446		
K80M V10	240	1,00	0,160	0,173	0,501	0,462		
K80M V10	250	1,00	0,155	0,168	0,517	0,477		
K80M V10	260	1,00	0,150	0,163	0,533	0,492		
K80M V10	270	1,00	0,146	0,158	0,549	0,507		
K80M V10	280	1,00	0,142	0,153	0,564	0,521		
K80M V10	290	1,00	0,138	0,149	0,580	0,536		
K80M V10	300	1,00	0,135	0,145	0,595	0,550		
K80M VV	160	1,00	0,223	0,243	0,360	0,329		
K80M VV	170	1,00	0,211	0,231	0,378	0,347		
K80M VV	180	1,00	0,202	0,220	0,397	0,364		
K80M VV	190	1,00	0,193	0,210	0,415	0,381		
K80M VV	200	1,00	0,185	0,201	0,433	0,398		
K80M VV	210	1,00	0,178	0,193	0,450	0,414		
K80M VV	220	1,00	0,171	0,186	0,468	0,430		
K80M VV	230	1,00	0,165	0,179	0,484	0,446		
K80M VV	240	1,00	0,160	0,173	0,501	0,462		
K80M VV	250	1,00	0,155	0,168	0,517	0,477		
K80M VV	260	1,00	0,150	0,163	0,533	0,492		
K80M VV	270	1,00	0,146	0,158	0,549	0,507		
K80M VV	280	1,00	0,142	0,153	0,564	0,521		
K80M VV	290	1,00	0,138	0,149	0,580	0,536		
K80M VV	300	1,00	0,135	0,145	0,595	0,550		
K90M	160	1,00	0,228	0,249	0,351	0,322		
K90M	170	1,00	0,217	0,236	0,369	0,339		
K90M	180	1,00	0,207	0,225	0,387	0,356		
K90M	190	1,00	0,197	0,215	0,405	0,373		
K90M	200	1,00	0,189	0,206	0,423	0,389		
K90M	210	1,00	0,182	0,197	0,440	0,405		
K90M	220	1,00	0,175	0,190	0,457	0,421		
K90M	230	1,00	0,169	0,183	0,473	0,437		
K90M	240	1,00	0,163	0,177	0,490	0,452		
K90M	250	1,00	0,158	0,171	0,506	0,467		

Schöck Isokorb typu:	Wysokość Isokorb H [mm]	Długość Isokorb L [m]	Współczynnik przewodzenia ciepła $\lambda_{eq}$ [W/(m*K)]		Opór cieplny $R_{eq}$ [m <sup>2</sup> K/W]		Oceniana różnica w poziomie kroków $\Delta L_{n,v,w}$ [dB] w porównaniu z ciągłą płytą stropową	
			bez ochrony ppoż.	z ochroną ppoż.	bez ochrony ppoż.	z ochroną ppoż.	bez ochrony ppoż.	z ochroną ppoż.
K90M	260	1,00	0,153	0,166	0,521	0,482		
K90M	270	1,00	0,149	0,161	0,537	0,496		
K90M	280	1,00	0,145	0,157	0,552	0,511		
K90M	290	1,00	0,141	0,152	0,567	0,525		
K90M	300	1,00	0,138	0,148	0,582	0,539		
K90M V10	160	1,00	0,247	0,267	0,324	0,299		
K90M V10	170	1,00	0,234	0,254	0,341	0,315		
K90M V10	180	1,00	0,223	0,241	0,358	0,331		
K90M V10	190	1,00	0,213	0,231	0,375	0,347		
K90M V10	200	1,00	0,204	0,221	0,391	0,362		
K90M V10	210	1,00	0,196	0,212	0,408	0,378		
K90M V10	220	1,00	0,189	0,204	0,424	0,393		
K90M V10	230	1,00	0,182	0,196	0,439	0,407		
K90M V10	240	1,00	0,176	0,190	0,455	0,422		
K90M V10	250	1,00	0,170	0,183	0,470	0,436		
K90M V10	260	1,00	0,165	0,178	0,485	0,450		
K90M V10	270	1,00	0,160	0,172	0,499	0,464		
K90M V10	280	1,00	0,156	0,167	0,514	0,478		
K90M V10	290	1,00	0,151	0,163	0,528	0,492		
K90M V10	300	1,00	0,148	0,158	0,542	0,505		
K90M VV	160	1,00	0,247	0,267	0,324	0,299		
K90M VV	170	1,00	0,234	0,254	0,341	0,315		
K90M VV	180	1,00	0,223	0,241	0,358	0,331		
K90M VV	190	1,00	0,213	0,231	0,375	0,347		
K90M VV	200	1,00	0,204	0,221	0,391	0,362		
K90M VV	210	1,00	0,196	0,212	0,408	0,378		
K90M VV	220	1,00	0,189	0,204	0,424	0,393		
K90M VV	230	1,00	0,182	0,196	0,439	0,407		
K90M VV	240	1,00	0,176	0,190	0,455	0,422		
K90M VV	250	1,00	0,170	0,183	0,470	0,436		
K90M VV	260	1,00	0,165	0,178	0,485	0,450		
K90M VV	270	1,00	0,160	0,172	0,499	0,464		
K90M VV	280	1,00	0,156	0,167	0,514	0,478		
K90M VV	290	1,00	0,151	0,163	0,528	0,492		
K90M VV	300	1,00	0,148	0,158	0,542	0,505		
K100M	160	1,00	0,243	0,263	0,329	0,304		
K100M	170	1,00	0,231	0,250	0,347	0,320		
K100M	180	1,00	0,220	0,238	0,364	0,336		
K100M	190	1,00	0,210	0,227	0,381	0,352		
K100M	200	1,00	0,201	0,217	0,398	0,368		



Schöck Isokorb typu:	Wysokość Isokorb H [mm]	Długość Isokorb L [m]	Współczynnik przewodzenia ciepła $\lambda_{eq}$ [W/(m*K)]		Opór cieplny $R_{eq}$ [m²K/W]		Oceniana różnica w poziomie kroków $\Delta L_{n,v,w}$ [dB] w porównaniu z ciągłą płytą stropową	
			bez ochrony ppoż.	z ochroną ppoż.	bez ochrony ppoż.	z ochroną ppoż.	bez ochrony ppoż.	z ochroną ppoż.
K100M	210	1,00	0,193	0,209	0,414	0,383		
K100M	220	1,00	0,186	0,201	0,430	0,399		
K100M	230	1,00	0,179	0,193	0,446	0,413		
K100M	240	1,00	0,173	0,187	0,462	0,428		
K100M	250	1,00	0,168	0,181	0,477	0,443		
K100M	260	1,00	0,163	0,175	0,492	0,457		
K100M	270	1,00	0,158	0,170	0,507	0,471		
K100M	280	1,00	0,153	0,165	0,522	0,485		
K100M	290	1,00	0,149	0,160	0,536	0,498		
K100M	300	1,00	0,145	0,156	0,550	0,512		
K100M V10	160	1,00	0,262	0,282	0,306	0,284		
K100M V10	170	1,00	0,248	0,267	0,322	0,299		
K100M V10	180	1,00	0,236	0,255	0,338	0,314		
K100M V10	190	1,00	0,226	0,243	0,354	0,329		
K100M V10	200	1,00	0,216	0,232	0,370	0,344		
K100M V10	210	1,00	0,207	0,223	0,386	0,359		
K100M V10	220	1,00	0,200	0,214	0,401	0,373		
K100M V10	230	1,00	0,192	0,207	0,416	0,387		
K100M V10	240	1,00	0,186	0,199	0,431	0,401		
K100M V10	250	1,00	0,180	0,193	0,445	0,415		
K100M V10	260	1,00	0,174	0,187	0,460	0,429		
K100M V10	270	1,00	0,169	0,181	0,474	0,442		
K100M V10	280	1,00	0,164	0,176	0,488	0,455		
K100M V10	290	1,00	0,160	0,171	0,501	0,468		
K100M V10	300	1,00	0,155	0,166	0,515	0,481		
K100M VV	160	1,00	0,262	0,282	0,306	0,284		
K100M VV	170	1,00	0,248	0,267	0,322	0,299		
K100M VV	180	1,00	0,236	0,255	0,338	0,314		
K100M VV	190	1,00	0,226	0,243	0,354	0,329		
K100M VV	200	1,00	0,216	0,232	0,370	0,344		
K100M VV	210	1,00	0,207	0,223	0,386	0,359		
K100M VV	220	1,00	0,200	0,214	0,401	0,373		
K100M VV	230	1,00	0,192	0,207	0,416	0,387		
K100M VV	240	1,00	0,186	0,199	0,431	0,401		
K100M VV	250	1,00	0,180	0,193	0,445	0,415		
K100M VV	260	1,00	0,174	0,187	0,460	0,429		
K100M VV	270	1,00	0,169	0,181	0,474	0,442		
K100M VV	280	1,00	0,164	0,176	0,488	0,455		
K100M VV	290	1,00	0,160	0,171	0,501	0,468		
K100M VV	300	1,00	0,155	0,166	0,515	0,481		

Schöck Isokorb typu:	Wysokość Isokorb H [mm]	Długość Isokorb L [m]	Współczynnik przewodzenia ciepła $\lambda_{eq}$ [W/(m*K)]		Opór cieplny $R_{eq}$ [m <sup>2</sup> K/W]		Oceniana różnica w poziomie kroków $\Delta L_{n,v,w}$ [dB] w porównaniu z ciągłą płytą stropową	
			bez ochrony ppoż.	z ochroną ppoż.	bez ochrony ppoż.	z ochroną ppoż.	bez ochrony ppoż.	z ochroną ppoż.
K110L	160	1,00	0,408	0,428	0,196	0,187		
K110L	170	1,00	0,386	0,405	0,207	0,198		
K110L	180	1,00	0,366	0,384	0,218	0,208		
K110L	190	1,00	0,349	0,366	0,229	0,219		
K110L	200	1,00	0,333	0,349	0,240	0,229		
K110L	210	1,00	0,319	0,334	0,251	0,239		
K110L	220	1,00	0,306	0,321	0,262	0,249		
K110L	230	1,00	0,294	0,308	0,272	0,260		
K110L	240	1,00	0,283	0,297	0,282	0,270		
K110L	250	1,00	0,273	0,286	0,293	0,279		
K110L	260	1,00	0,264	0,277	0,303	0,289		
K110L	270	1,00	0,256	0,268	0,313	0,299		
K110L	280	1,00	0,248	0,259	0,323	0,309		
K110L	290	1,00	0,240	0,252	0,333	0,318		
K110L	300	1,00	0,233	0,244	0,343	0,328		
K150L V12	160	1,00	-	-	-	-		
K150L V12	170	1,00	-	-	-	-		
K150L V12	180	1,00	0,460	0,478	0,174	0,167		
K150L V12	190	1,00	0,438	0,455	0,183	0,176		
K150L V12	200	1,00	0,418	0,434	0,192	0,184		
K150L V12	210	1,00	0,399	0,415	0,200	0,193		
K150L V12	220	1,00	0,383	0,398	0,209	0,201		
K150L V12	230	1,00	0,368	0,382	0,218	0,210		
K150L V12	240	1,00	0,354	0,367	0,226	0,218		
K150L V12	250	1,00	0,341	0,354	0,235	0,226		
K150L V12	260	1,00	0,329	0,342	0,243	0,234		
K150L V12	270	1,00	0,318	0,330	0,251	0,242		
K150L V12	280	1,00	0,308	0,320	0,260	0,250		
K150L V12	290	1,00	0,299	0,310	0,268	0,258		
K150L V12	300	1,00	0,290	0,301	0,276	0,266		
K20-Eck	180	500	0,169	0,187	0,47	0,43		
K20-Eck	190	500	0,162	0,179	0,49	0,45		
K20-Eck	200	500	0,156	0,172	0,51	0,47		
K20-Eck	210	500	0,150	0,165	0,53	0,48		
K20-Eck	220	500	0,145	0,159	0,55	0,50		
K20-Eck	230	500	0,140	0,154	0,57	0,52		
K20-Eck	240	500	0,135	0,149	0,59	0,54		
K20-Eck	250	500	0,131	0,144	0,61	0,55		
K30-Eck	180	620	0,282	0,300	0,28	0,27		
K30-Eck	190	620	0,269	0,286	0,30	0,28		

Schöck Isokorb typu:	Wysokość Isokorb H [mm]	Długość Isokorb L [m]	Współczynnik przewodzenia ciepła $\lambda_{eq}$ [W/(m*K)]		Opór cieplny $R_{eq}$ [m <sup>2</sup> K/W]		Oceniana różnica w poziomie kroków $\Delta L_{n,v,w}$ [dB] w porównaniu z ciągłą płytą stropową	
			bez ochrony ppoż.	z ochroną ppoż.	bez ochrony ppoż.	z ochroną ppoż.	bez ochrony ppoż.	z ochroną ppoż.
K30-Eck	200	620	0,257	0,282	0,31	0,28		
K30-Eck	210	620	0,247	0,270	0,32	0,30		
K30-Eck	220	620	0,237	0,260	0,34	0,31		
K30-Eck	230	620	0,228	0,250	0,35	0,32		
K30-Eck	240	620	0,220	0,241	0,36	0,33		
K30-Eck	250	620	0,213	0,232	0,38	0,34		
K50-Eck	180	620	0,330	0,348	0,24	0,23		
K50-Eck	190	620	0,315	0,332	0,25	0,24		
K50-Eck	200	620	0,301	0,325	0,27	0,25		
K50-Eck	210	620	0,288	0,311	0,28	0,26		
K50-Eck	220	620	0,276	0,299	0,29	0,27		
K50-Eck	230	620	0,266	0,287	0,30	0,28		
K50-Eck	240	620	0,256	0,277	0,31	0,29		
K50-Eck	250	620	0,247	0,267	0,32	0,30		
K20-HV10	160	1,00	0,106	0,126	0,76	0,63		
K20-HV10	170	1,00	0,101	0,121	0,79	0,66		
K20-HV10	180	1,00	0,098	0,116	0,82	0,69		
K20-HV10	190	1,00	0,094	0,112	0,85	0,72		
K20-HV10	200	1,00	0,091	0,108	0,88	0,74		
K20-HV10	210	1,00	0,089	0,104	0,90	0,77		
K20-HV10	220	1,00	0,086	0,101	0,93	0,79		
K20-HV10	230	1,00	0,084	0,098	0,95	0,82		
K20-HV10	240	1,00	0,082	0,095	0,98	0,84		
K20-HV10	250	1,00	0,080	0,093	1,00	0,86		
K30-HV10	160	1,00	0,135	0,156	0,59	0,51		
K30-HV10	170	1,00	0,129	0,149	0,62	0,54		
K30-HV10	180	1,00	0,124	0,142	0,64	0,56		
K30-HV10	190	1,00	0,119	0,137	0,67	0,59		
K30-HV10	200	1,00	0,115	0,131	0,70	0,61		
K30-HV10	210	1,00	0,111	0,127	0,72	0,63		
K30-HV10	220	1,00	0,108	0,123	0,74	0,65		
K30-HV10	230	1,00	0,104	0,119	0,77	0,67		
K30-HV10	240	1,00	0,102	0,115	0,79	0,69		
K30-HV10	250	1,00	0,099	0,112	0,81	0,71		
K50-HV10	160	1,00	0,172	0,192	0,47	0,42		
K50-HV10	170	1,00	0,164	0,183	0,49	0,44		
K50-HV10	180	1,00	0,157	0,175	0,51	0,46		
K50-HV10	190	1,00	0,150	0,167	0,53	0,48		
K50-HV10	200	1,00	0,144	0,161	0,55	0,50		
K50-HV10	210	1,00	0,139	0,155	0,58	0,52		

Schöck Isokorb typu:	Wysokość Isokorb H [mm]	Długość Isokorb L [m]	Współczynnik przewodzenia ciepła $\lambda_{eq}$ [W/(m*K)]		Opór cieplny $R_{eq}$ [m <sup>2</sup> K/W]		Oceniana różnica w poziomie kroków $\Delta L_{n,v,w}$ [dB] w porównaniu z ciągłą płytą stropową	
			bez ochrony ppoż.	z ochroną ppoż.	bez ochrony ppoż.	z ochroną ppoż.	bez ochrony ppoż.	z ochroną ppoż.
K50-HV10	220	1,00	0,134	0,149	0,60	0,54		
K50-HV10	230	1,00	0,130	0,144	0,62	0,55		
K50-HV10	240	1,00	0,126	0,140	0,64	0,57		
K50-HV10	250	1,00	0,122	0,135	0,65	0,59		
K60-HV10	160	1,00	0,251	0,271	0,32	0,29		
K60-HV10	170	1,00	0,238	0,257	0,34	0,31		
K60-HV10	180	1,00	0,227	0,245	0,35	0,33		
K60-HV10	190	1,00	0,217	0,234	0,37	0,34		
K60-HV10	200	1,00	0,207	0,224	0,39	0,36		
K60-HV10	210	1,00	0,199	0,215	0,40	0,37		
K60-HV10	220	1,00	0,192	0,207	0,42	0,39		
K60-HV10	230	1,00	0,185	0,199	0,43	0,40		
K60-HV10	240	1,00	0,179	0,192	0,45	0,42		
K60-HV10	250	1,00	0,173	0,179	0,46	0,45		
K20-HV15	160	1,00	0,106	0,126	0,76	0,63		
K20-HV15	170	1,00	0,101	0,121	0,79	0,66		
K20-HV15	180	1,00	0,098	0,116	0,82	0,69		
K20-HV15	190	1,00	0,094	0,112	0,85	0,72		
K20-HV15	200	1,00	0,091	0,108	0,88	0,74		
K20-HV15	210	1,00	0,089	0,104	0,90	0,77		
K20-HV15	220	1,00	0,086	0,101	0,93	0,79		
K20-HV15	230	1,00	0,084	0,098	0,95	0,82		
K20-HV15	240	1,00	0,082	0,095	0,98	0,84		
K20-HV15	250	1,00	0,080	0,093	1,00	0,86		
K30-HV15	160	1,00	0,135	0,156	0,59	0,51		
K30-HV15	170	1,00	0,129	0,149	0,62	0,54		
K30-HV15	180	1,00	0,124	0,142	0,64	0,56		
K30-HV15	190	1,00	0,119	0,137	0,67	0,59		
K30-HV15	200	1,00	0,115	0,131	0,70	0,61		
K30-HV15	210	1,00	0,111	0,127	0,72	0,63		
K30-HV15	220	1,00	0,108	0,123	0,74	0,65		
K30-HV15	230	1,00	0,104	0,119	0,77	0,67		
K30-HV15	240	1,00	0,102	0,115	0,79	0,69		
K30-HV15	250	1,00	0,099	0,112	0,81	0,71		
K50-HV15	160	1,00	0,172	0,192	0,47	0,42		
K50-HV15	170	1,00	0,164	0,183	0,49	0,44		
K50-HV15	180	1,00	0,157	0,175	0,51	0,46		
K50-HV15	190	1,00	0,150	0,167	0,53	0,48		
K50-HV15	200	1,00	0,144	0,161	0,55	0,50		
K50-HV15	210	1,00	0,139	0,155	0,58	0,52		

Schöck Isokorb typu:	Wysokość Isokorb H [mm]	Długość Isokorb L [m]	Współczynnik przewodzenia ciepła $\lambda_{eq}$ [W/(m*K)]		Opór cieplny $R_{eq}$ [m <sup>2</sup> K/W]		Oceniana różnica w poziomie kroków $\Delta L_{n,v,w}$ [dB] w porównaniu z ciągłą płytą stropową	
			bez ochrony ppoż.	z ochroną ppoż.	bez ochrony ppoż.	z ochroną ppoż.	bez ochrony ppoż.	z ochroną ppoż.
K50-HV15	220	1,00	0,134	0,149	0,60	0,54		
K50-HV15	230	1,00	0,130	0,144	0,62	0,55		
K50-HV15	240	1,00	0,126	0,140	0,64	0,57		
K50-HV15	250	1,00	0,122	0,135	0,65	0,59		
K60-HV15	160	1,00	0,251	0,271	0,32	0,29		
K60-HV15	170	1,00	0,238	0,257	0,34	0,31		
K60-HV15	180	1,00	0,227	0,245	0,35	0,33		
K60-HV15	190	1,00	0,217	0,234	0,37	0,34		
K60-HV15	200	1,00	0,207	0,224	0,39	0,36		
K60-HV15	210	1,00	0,199	0,215	0,40	0,37		
K60-HV15	220	1,00	0,192	0,207	0,42	0,39		
K60-HV15	230	1,00	0,185	0,199	0,43	0,40		
K60-HV15	240	1,00	0,179	0,192	0,45	0,42		
K60-HV15	250	1,00	0,173	0,179	0,46	0,45		
K20-HV20	160	1,00	0,106	0,126	0,76	0,63		
K20-HV20	170	1,00	0,101	0,121	0,79	0,66		
K20-HV20	180	1,00	0,098	0,116	0,82	0,69		
K20-HV20	190	1,00	0,094	0,112	0,85	0,72		
K20-HV20	200	1,00	0,091	0,108	0,88	0,74		
K20-HV20	210	1,00	0,089	0,104	0,90	0,77		
K20-HV20	220	1,00	0,086	0,101	0,93	0,79		
K20-HV20	230	1,00	0,084	0,098	0,95	0,82		
K20-HV20	240	1,00	0,082	0,095	0,98	0,84		
K20-HV20	250	1,00	0,080	0,093	1,00	0,86		
K30-HV20	160	1,00	0,135	0,156	0,59	0,51		
K30-HV20	170	1,00	0,129	0,149	0,62	0,54		
K30-HV20	180	1,00	0,124	0,142	0,64	0,56		
K30-HV20	190	1,00	0,119	0,137	0,67	0,59		
K30-HV20	200	1,00	0,115	0,131	0,70	0,61		
K30-HV20	210	1,00	0,111	0,127	0,72	0,63		
K30-HV20	220	1,00	0,108	0,123	0,74	0,65		
K30-HV20	230	1,00	0,104	0,119	0,77	0,67		
K30-HV20	240	1,00	0,102	0,115	0,79	0,69		
K30-HV20	250	1,00	0,099	0,112	0,81	0,71		
K50-HV20	160	1,00	0,172	0,192	0,47	0,42		
K50-HV20	170	1,00	0,164	0,183	0,49	0,44		
K50-HV20	180	1,00	0,157	0,175	0,51	0,46		
K50-HV20	190	1,00	0,150	0,167	0,53	0,48		
K50-HV20	200	1,00	0,144	0,161	0,55	0,50		
K50-HV20	210	1,00	0,139	0,155	0,58	0,52		

Schöck Isokorb typu:	Wysokość Isokorb H [mm]	Długość Isokorb L [m]	Współczynnik przewodzenia ciepła $\lambda_{eq}$ [W/(m*K)]		Opór cieplny $R_{eq}$ [m <sup>2</sup> K/W]		Oceniana różnica w poziomie kroków $\Delta L_{n,v,w}$ [dB] w porównaniu z ciągłą płytą stropową	
			bez ochrony ppoż.	z ochroną ppoż.	bez ochrony ppoż.	z ochroną ppoż.	bez ochrony ppoż.	z ochroną ppoż.
K50-HV20	220	1,00	0,134	0,149	0,60	0,54		
K50-HV20	230	1,00	0,130	0,144	0,62	0,55		
K50-HV20	240	1,00	0,126	0,140	0,64	0,57		
K50-HV20	250	1,00	0,122	0,135	0,65	0,59		
K60-HV20	160	1,00	0,251	0,271	0,32	0,29		
K60-HV20	170	1,00	0,238	0,257	0,34	0,31		
K60-HV20	180	1,00	0,227	0,245	0,35	0,33		
K60-HV20	190	1,00	0,217	0,234	0,37	0,34		
K60-HV20	200	1,00	0,207	0,224	0,39	0,36		
K60-HV20	210	1,00	0,199	0,215	0,40	0,37		
K60-HV20	220	1,00	0,192	0,207	0,42	0,39		
K60-HV20	230	1,00	0,185	0,199	0,43	0,40		
K60-HV20	240	1,00	0,179	0,192	0,45	0,42		
K60-HV20	250	1,00	0,173	0,179	0,46	0,45		
K20-BH10	160	1,00	0,106	0,126	0,76	0,63		
K20-BH10	170	1,00	0,101	0,121	0,79	0,66		
K20-BH10	180	1,00	0,098	0,116	0,82	0,69		
K20-BH10	190	1,00	0,094	0,112	0,85	0,72		
K20-BH10	200	1,00	0,091	0,108	0,88	0,74		
K20-BH10	210	1,00	0,089	0,104	0,90	0,77		
K20-BH10	220	1,00	0,086	0,101	0,93	0,79		
K20-BH10	230	1,00	0,084	0,098	0,95	0,82		
K20-BH10	240	1,00	0,082	0,095	0,98	0,84		
K20-BH10	250	1,00	0,080	0,093	1,00	0,86		
K30-BH10	160	1,00	0,135	0,156	0,59	0,51		
K30-BH10	170	1,00	0,129	0,149	0,62	0,54		
K30-BH10	180	1,00	0,124	0,142	0,64	0,56		
K30-BH10	190	1,00	0,119	0,137	0,67	0,59		
K30-BH10	200	1,00	0,115	0,131	0,70	0,61		
K30-BH10	210	1,00	0,111	0,127	0,72	0,63		
K30-BH10	220	1,00	0,108	0,123	0,74	0,65		
K30-BH10	230	1,00	0,104	0,119	0,77	0,67		
K30-BH10	240	1,00	0,102	0,115	0,79	0,69		
K30-BH10	250	1,00	0,099	0,112	0,81	0,71		
K50-BH10	160	1,00	0,172	0,192	0,47	0,42		
K50-BH10	170	1,00	0,164	0,183	0,49	0,44		
K50-BH10	180	1,00	0,157	0,175	0,51	0,46		
K50-BH10	190	1,00	0,150	0,167	0,53	0,48		
K50-BH10	200	1,00	0,144	0,161	0,55	0,50		
K50-BH10	210	1,00	0,139	0,155	0,58	0,52		

Schöck Isokorb typu:	Wysokość Isokorb H [mm]	Długość Isokorb L [m]	Współczynnik przewodzenia ciepła $\lambda_{eq}$ [W/(m*K)]		Opór cieplny $R_{eq}$ [m <sup>2</sup> K/W]		Oceniana różnica w poziomie kroków $\Delta L_{n,v,w}$ [dB] w porównaniu z ciągłą płytą stropową	
			bez ochrony ppoż.	z ochroną ppoż.	bez ochrony ppoż.	z ochroną ppoż.	bez ochrony ppoż.	z ochroną ppoż.
K50-BH10	220	1,00	0,134	0,149	0,60	0,54		
K50-BH10	230	1,00	0,130	0,144	0,62	0,55		
K50-BH10	240	1,00	0,126	0,140	0,64	0,57		
K50-BH10	250	1,00	0,122	0,135	0,65	0,59		
K60-BH10	160	1,00	0,251	0,271	0,32	0,29		
K60-BH10	170	1,00	0,238	0,257	0,34	0,31		
K60-BH10	180	1,00	0,227	0,245	0,35	0,33		
K60-BH10	190	1,00	0,217	0,234	0,37	0,34		
K60-BH10	200	1,00	0,207	0,224	0,39	0,36		
K60-BH10	210	1,00	0,199	0,215	0,40	0,37		
K60-BH10	220	1,00	0,192	0,207	0,42	0,39		
K60-BH10	230	1,00	0,185	0,199	0,43	0,40		
K60-BH10	240	1,00	0,179	0,192	0,45	0,42		
K60-BH10	250	1,00	0,173	0,179	0,46	0,45		
K20-BH15	160	1,00	0,106	0,126	0,76	0,63		
K20-BH15	170	1,00	0,101	0,121	0,79	0,66		
K20-BH15	180	1,00	0,098	0,116	0,82	0,69		
K20-BH15	190	1,00	0,094	0,112	0,85	0,72		
K20-BH15	200	1,00	0,091	0,108	0,88	0,74		
K20-BH15	210	1,00	0,089	0,104	0,90	0,77		
K20-BH15	220	1,00	0,086	0,101	0,93	0,79		
K20-BH15	230	1,00	0,084	0,098	0,95	0,82		
K20-BH15	240	1,00	0,082	0,095	0,98	0,84		
K20-BH15	250	1,00	0,080	0,093	1,00	0,86		
K30-BH15	160	1,00	0,135	0,156	0,59	0,51		
K30-BH15	170	1,00	0,129	0,149	0,62	0,54		
K30-BH15	180	1,00	0,124	0,142	0,64	0,56		
K30-BH15	190	1,00	0,119	0,137	0,67	0,59		
K30-BH15	200	1,00	0,115	0,131	0,70	0,61		
K30-BH15	210	1,00	0,111	0,127	0,72	0,63		
K30-BH15	220	1,00	0,108	0,123	0,74	0,65		
K30-BH15	230	1,00	0,104	0,119	0,77	0,67		
K30-BH15	240	1,00	0,102	0,115	0,79	0,69		
K30-BH15	250	1,00	0,099	0,112	0,81	0,71		
K50-BH15	160	1,00	0,172	0,192	0,47	0,42		
K50-BH15	170	1,00	0,164	0,183	0,49	0,44		
K50-BH15	180	1,00	0,157	0,175	0,51	0,46		
K50-BH15	190	1,00	0,150	0,167	0,53	0,48		
K50-BH15	200	1,00	0,144	0,161	0,55	0,50		
K50-BH15	210	1,00	0,139	0,155	0,58	0,52		

Schöck Isokorb typu:	Wysokość Isokorb H [mm]	Długość Isokorb L [m]	Współczynnik przewodzenia ciepła $\lambda_{eq}$ [W/(m*K)]		Opór cieplny $R_{eq}$ [m <sup>2</sup> K/W]		Oceniana różnica w poziomie kroków $\Delta L_{n,v,w}$ [dB] w porównaniu z ciągłą płytą stropową	
			bez ochrony ppoż.	z ochroną ppoż.	bez ochrony ppoż.	z ochroną ppoż.	bez ochrony ppoż.	z ochroną ppoż.
K50-BH15	220	1,00	0,134	0,149	0,60	0,54		
K50-BH15	230	1,00	0,130	0,144	0,62	0,55		
K50-BH15	240	1,00	0,126	0,140	0,64	0,57		
K50-BH15	250	1,00	0,122	0,135	0,65	0,59		
K60-BH15	160	1,00	0,251	0,271	0,32	0,29		
K60-BH15	170	1,00	0,238	0,257	0,34	0,31		
K60-BH15	180	1,00	0,227	0,245	0,35	0,33		
K60-BH15	190	1,00	0,217	0,234	0,37	0,34		
K60-BH15	200	1,00	0,207	0,224	0,39	0,36		
K60-BH15	210	1,00	0,199	0,215	0,40	0,37		
K60-BH15	220	1,00	0,192	0,207	0,42	0,39		
K60-BH15	230	1,00	0,185	0,199	0,43	0,40		
K60-BH15	240	1,00	0,179	0,192	0,45	0,42		
K60-BH15	250	1,00	0,173	0,179	0,46	0,45		
K20-BH20	160	1,00	0,106	0,126	0,76	0,63		
K20-BH20	170	1,00	0,101	0,121	0,79	0,66		
K20-BH20	180	1,00	0,098	0,116	0,82	0,69		
K20-BH20	190	1,00	0,094	0,112	0,85	0,72		
K20-BH20	200	1,00	0,091	0,108	0,88	0,74		
K20-BH20	210	1,00	0,089	0,104	0,90	0,77		
K20-BH20	220	1,00	0,086	0,101	0,93	0,79		
K20-BH20	230	1,00	0,084	0,098	0,95	0,82		
K20-BH20	240	1,00	0,082	0,095	0,98	0,84		
K20-BH20	250	1,00	0,080	0,093	1,00	0,86		
K30-BH20	160	1,00	0,135	0,156	0,59	0,51		
K30-BH20	170	1,00	0,129	0,149	0,62	0,54		
K30-BH20	180	1,00	0,124	0,142	0,64	0,56		
K30-BH20	190	1,00	0,119	0,137	0,67	0,59		
K30-BH20	200	1,00	0,115	0,131	0,70	0,61		
K30-BH20	210	1,00	0,111	0,127	0,72	0,63		
K30-BH20	220	1,00	0,108	0,123	0,74	0,65		
K30-BH20	230	1,00	0,104	0,119	0,77	0,67		
K30-BH20	240	1,00	0,102	0,115	0,79	0,69		
K30-BH20	250	1,00	0,099	0,112	0,81	0,71		
K50-BH20	160	1,00	0,172	0,192	0,47	0,42		
K50-BH20	170	1,00	0,164	0,183	0,49	0,44		
K50-BH20	180	1,00	0,157	0,175	0,51	0,46		
K50-BH20	190	1,00	0,150	0,167	0,53	0,48		
K50-BH20	200	1,00	0,144	0,161	0,55	0,50		
K50-BH20	210	1,00	0,139	0,155	0,58	0,52		



Schöck Isokorb typu:	Wysokość Isokorb H [mm]	Długość Isokorb L [m]	Współczynnik przewodzenia ciepła $\lambda_{eq}$ [W/(m*K)]		Opór cieplny $R_{eq}$ [m <sup>2</sup> K/W]		Oceniana różnica w poziomie kroków $\Delta L_{n,v,w}$ [dB] w porównaniu z ciągłą płytą stropową	
			bez ochrony ppoż.	z ochroną ppoż.	bez ochrony ppoż.	z ochroną ppoż.	bez ochrony ppoż.	z ochroną ppoż.
K50-BH20	220	1,00	0,134	0,149	0,60	0,54		
K50-BH20	230	1,00	0,130	0,144	0,62	0,55		
K50-BH20	240	1,00	0,126	0,140	0,64	0,57		
K50-BH20	250	1,00	0,122	0,135	0,65	0,59		
K60-BH20	160	1,00	0,251	0,271	0,32	0,29		
K60-BH20	170	1,00	0,238	0,257	0,34	0,31		
K60-BH20	180	1,00	0,227	0,245	0,35	0,33		
K60-BH20	190	1,00	0,217	0,234	0,37	0,34		
K60-BH20	200	1,00	0,207	0,224	0,39	0,36		
K60-BH20	210	1,00	0,199	0,215	0,40	0,37		
K60-BH20	220	1,00	0,192	0,207	0,42	0,39		
K60-BH20	230	1,00	0,185	0,199	0,43	0,40		
K60-BH20	240	1,00	0,179	0,192	0,45	0,42		
K60-BH20	250	1,00	0,173	0,179	0,46	0,45		
K20-WO	160	1,00	0,106	0,126	0,76	0,63		
K20-WO	170	1,00	0,101	0,121	0,79	0,66		
K20-WO	180	1,00	0,098	0,116	0,82	0,69		
K20-WO	190	1,00	0,094	0,112	0,85	0,72		
K20-WO	200	1,00	0,091	0,108	0,88	0,74		
K20-WO	210	1,00	0,089	0,104	0,90	0,77		
K20-WO	220	1,00	0,086	0,101	0,93	0,79		
K20-WO	230	1,00	0,084	0,098	0,95	0,82		
K20-WO	240	1,00	0,082	0,095	0,98	0,84		
K20-WO	250	1,00	0,080	0,093	1,00	0,86		
K30-WO	160	1,00	0,135	0,156	0,59	0,51		
K30-WO	170	1,00	0,129	0,149	0,62	0,54		
K30-WO	180	1,00	0,124	0,142	0,64	0,56		
K30-WO	190	1,00	0,119	0,137	0,67	0,59		
K30-WO	200	1,00	0,115	0,131	0,70	0,61		
K30-WO	210	1,00	0,111	0,127	0,72	0,63		
K30-WO	220	1,00	0,108	0,123	0,74	0,65		
K30-WO	230	1,00	0,104	0,119	0,77	0,67		
K30-WO	240	1,00	0,102	0,115	0,79	0,69		
K30-WO	250	1,00	0,099	0,112	0,81	0,71		
K50-WO	160	1,00	0,172	0,192	0,47	0,42		
K50-WO	170	1,00	0,164	0,183	0,49	0,44		
K50-WO	180	1,00	0,157	0,175	0,51	0,46		
K50-WO	190	1,00	0,150	0,167	0,53	0,48		
K50-WO	200	1,00	0,144	0,161	0,55	0,50		
K50-WO	210	1,00	0,139	0,155	0,58	0,52		

Schöck Isokorb typu:	Wysokość Isokorb H [mm]	Długość Isokorb L [m]	Współczynnik przewodzenia ciepła $\lambda_{eq}$ [W/(m*K)]		Opór cieplny $R_{eq}$ [m <sup>2</sup> K/W]		Oceniana różnica w poziomie kroków $\Delta L_{n,v,w}$ [dB] w porównaniu z ciągłą płytą stropową	
			bez ochrony ppoż.	z ochroną ppoż.	bez ochrony ppoż.	z ochroną ppoż.	bez ochrony ppoż.	z ochroną ppoż.
K50-WO	220	1,00	0,134	0,149	0,60	0,54		
K50-WO	230	1,00	0,130	0,144	0,62	0,55		
K50-WO	240	1,00	0,126	0,140	0,64	0,57		
K50-WO	250	1,00	0,122	0,135	0,65	0,59		
K60-WO	160	1,00	0,251	0,271	0,32	0,29		
K60-WO	170	1,00	0,238	0,257	0,34	0,31		
K60-WO	180	1,00	0,227	0,245	0,35	0,33		
K60-WO	190	1,00	0,217	0,234	0,37	0,34		
K60-WO	200	1,00	0,207	0,224	0,39	0,36		
K60-WO	210	1,00	0,199	0,215	0,40	0,37		
K60-WO	220	1,00	0,192	0,207	0,42	0,39		
K60-WO	230	1,00	0,185	0,199	0,43	0,40		
K60-WO	240	1,00	0,179	0,192	0,45	0,42		
K60-WO	250	1,00	0,173	0,179	0,46	0,45		
K20-WU	160	1,00	0,106	0,126	0,76	0,63		
K20-WU	170	1,00	0,101	0,121	0,79	0,66		
K20-WU	180	1,00	0,098	0,116	0,82	0,69		
K20-WU	190	1,00	0,094	0,112	0,85	0,72		
K20-WU	200	1,00	0,091	0,108	0,88	0,74		
K20-WU	210	1,00	0,089	0,104	0,90	0,77		
K20-WU	220	1,00	0,086	0,101	0,93	0,79		
K20-WU	230	1,00	0,084	0,098	0,95	0,82		
K20-WU	240	1,00	0,082	0,095	0,98	0,84		
K20-WU	250	1,00	0,080	0,093	1,00	0,86		
K30-WU	160	1,00	0,135	0,156	0,59	0,51		
K30-WU	170	1,00	0,129	0,149	0,62	0,54		
K30-WU	180	1,00	0,124	0,142	0,64	0,56		
K30-WU	190	1,00	0,119	0,137	0,67	0,59		
K30-WU	200	1,00	0,115	0,131	0,70	0,61		
K30-WU	210	1,00	0,111	0,127	0,72	0,63		
K30-WU	220	1,00	0,108	0,123	0,74	0,65		
K30-WU	230	1,00	0,104	0,119	0,77	0,67		
K30-WU	240	1,00	0,102	0,115	0,79	0,69		
K30-WU	250	1,00	0,099	0,112	0,81	0,71		
K50-WU	160	1,00	0,172	0,192	0,47	0,42		
K50-WU	170	1,00	0,164	0,183	0,49	0,44		
K50-WU	180	1,00	0,157	0,175	0,51	0,46		
K50-WU	190	1,00	0,150	0,167	0,53	0,48		
K50-WU	200	1,00	0,144	0,161	0,55	0,50		
K50-WU	210	1,00	0,139	0,155	0,58	0,52		

Schöck Isokorb typu:	Wysokość Isokorb H [mm]	Długość Isokorb L [m]	Współczynnik przewodzenia ciepła $\lambda_{eq}$ [W/(m*K)]		Opór cieplny $R_{eq}$ [m <sup>2</sup> K/W]		Oceniana różnica w poziomie kroków $\Delta L_{n,v,w}$ [dB] w porównaniu z ciągłą płytą stropową	
			bez ochrony ppoż.	z ochroną ppoż.	bez ochrony ppoż.	z ochroną ppoż.	bez ochrony ppoż.	z ochroną ppoż.
K50-WU	220	1,00	0,134	0,149	0,60	0,54		
K50-WU	230	1,00	0,130	0,144	0,62	0,55		
K50-WU	240	1,00	0,126	0,140	0,64	0,57		
K50-WU	250	1,00	0,122	0,135	0,65	0,59		
K60-WU	160	1,00	0,251	0,271	0,32	0,29		
K60-WU	170	1,00	0,238	0,257	0,34	0,31		
K60-WU	180	1,00	0,227	0,245	0,35	0,33		
K60-WU	190	1,00	0,217	0,234	0,37	0,34		
K60-WU	200	1,00	0,207	0,224	0,39	0,36		
K60-WU	210	1,00	0,199	0,215	0,40	0,37		
K60-WU	220	1,00	0,192	0,207	0,42	0,39		
K60-WU	230	1,00	0,185	0,199	0,43	0,40		
K60-WU	240	1,00	0,179	0,192	0,45	0,42		
K60-WU	250	1,00	0,173	0,179	0,46	0,45		
KF20	160	1,00	0,106	0,127	0,75	0,63		
KF20	180	1,00	0,098	0,117	0,81	0,69		
KF20	200	1,00	0,092	0,108	0,87	0,74		
KF20	250	1,00	0,080	0,093	1,00	0,86		
KF20-V8	160	1,00	0,119	0,140	0,67	0,57		
KF20-V8	180	1,00	0,110	0,128	0,73	0,62		
KF20-V8	200	1,00	0,102	0,119	0,78	0,67		
KF20-V8	250	1,00	0,089	0,102	0,90	0,79		
KF30	160	1,00	0,140	0,161	0,57	0,50		
KF30	180	1,00	0,129	0,147	0,62	0,55		
KF30	200	1,00	0,119	0,135	0,67	0,59		
KF30	250	1,00	0,102	0,115	0,78	0,69		
KF30-V8	160	1,00	0,157	0,178	0,51	0,45		
KF30-V8	180	1,00	0,144	0,162	0,56	0,49		
KF30-V8	200	1,00	0,133	0,149	0,60	0,54		
KF30-V8	250	1,00	0,113	0,126	0,71	0,63		
KF40	160	1,00	0,150	0,170	0,53	0,47		
KF40	180	1,00	0,137	0,155	0,58	0,52		
KF40	200	1,00	0,127	0,143	0,63	0,56		
KF40	250	1,00	0,108	0,121	0,74	0,66		
KF40-V10	160	1,00	0,181	0,202	0,44	0,40		
KF40-V10	180	1,00	0,165	0,183	0,49	0,44		
KF40-V10	200	1,00	0,152	0,168	0,53	0,48		
KF40-V10	250	1,00	0,128	0,141	0,62	0,57		
KF40-VV	160	1,00	0,191	0,211	0,42	0,38		
KF40-VV	180	1,00	0,173	0,192	0,46	0,42		

Schöck Isokorb typu:	Wysokość Isokorb H [mm]	Długość Isokorb L [m]	Współczynnik przewodzenia ciepła $\lambda_{eq}$ [W/(m*K)]		Opór cieplny $R_{eq}$ [m <sup>2</sup> K/W]		Oceniana różnica w poziomie kroków $\Delta L_{n,v,w}$ [dB] w porównaniu z ciągłą płytą stropową	
			bez ochrony ppoż.	z ochroną ppoż.	bez ochrony ppoż.	z ochroną ppoż.	bez ochrony ppoż.	z ochroną ppoż.
KF40-VV	200	1,00	0,160	0,176	0,50	0,45		
KF40-VV	250	1,00	0,134	0,147	0,60	0,54		
KF50	160	1,00	0,174	0,194	0,46	0,41		
KF50	180	1,00	0,158	0,176	0,51	0,45		
KF50	200	1,00	0,146	0,162	0,55	0,49		
KF50	250	1,00	0,123	0,136	0,65	0,59		
KF50-V8	160	1,00	0,191	0,211	0,42	0,38		
KF50-V8	180	1,00	0,173	0,191	0,46	0,42		
KF50-V8	200	1,00	0,159	0,176	0,50	0,46		
KF50-V8	250	1,00	0,134	0,147	0,60	0,54		
KF50-V10	160	1,00	0,220	0,240	0,36	0,33		
KF50-V10	180	1,00	0,199	0,217	0,40	0,37		
KF50-V10	200	1,00	0,182	0,199	0,44	0,40		
KF50-V10	250	1,00	0,153	0,166	0,52	0,48		
KF70	160	1,00	0,276	0,297	0,29	0,27		
KF70	180	1,00	0,249	0,268	0,32	0,30		
KF70	200	1,00	0,228	0,244	0,35	0,33		
KF70	250	1,00	0,189	0,202	0,42	0,40		
KF70-V8	160	1,00	0,276	0,297	0,29	0,27		
KF70-V8	180	1,00	0,249	0,268	0,32	0,30		
KF70-V8	200	1,00	0,228	0,244	0,35	0,33		
KF70-V8	250	1,00	0,189	0,202	0,42	0,40		
Q 10	160	1,00	0,064	0,084	1,25	0,95		
Q 10	170	1,00	0,062	0,081	1,29	0,98		
Q 10	180	1,00	0,061	0,079	1,32	1,01		
Q 10	190	1,00	0,059	0,076	1,35	1,05		
Q 10	200	1,00	0,058	0,074	1,38	1,08		
Q 10	210	1,00	0,057	0,072	1,41	1,10		
Q 10	220	1,00	0,056	0,071	1,43	1,13		
Q 10	230	1,00	0,055	0,069	1,46	1,16		
Q 10	240	1,00	0,054	0,068	1,48	1,18		
Q 10	250	1,00	0,053	0,066	1,50	1,21		
Q 20	160	1,00	0,067	0,087	1,20	0,92		
Q 20	170	1,00	0,065	0,084	1,24	0,95		
Q 20	180	1,00	0,063	0,081	1,27	0,99		
Q 20	190	1,00	0,062	0,079	1,30	1,02		
Q 20	200	1,00	0,060	0,076	1,33	1,05		
Q 20	210	1,00	0,059	0,074	1,36	1,07		
Q 20	220	1,00	0,058	0,073	1,39	1,10		
Q 20	230	1,00	0,057	0,071	1,41	1,13		

Schöck Isokorb typu:	Wysokość Isokorb H [mm]	Długość Isokorb L [m]	Współczynnik przewodzenia ciepła $\lambda_{eq}$ [W/(m*K)]		Opór cieplny $R_{eq}$ [m <sup>2</sup> K/W]		Oceniana różnica w poziomie kroków $\Delta L_{n,v,w}$ [dB] w porównaniu z ciągłą płytą stropową	
			bez ochrony ppoż.	z ochroną ppoż.	bez ochrony ppoż.	z ochroną ppoż.	bez ochrony ppoż.	z ochroną ppoż.
Q 20	240	1,00	0,056	0,069	1,43	1,15		
Q 20	250	1,00	0,055	0,068	1,46	1,18		
Q 30	160	1,00	0,069	0,090	1,15	0,89		
Q 30	170	1,00	0,067	0,086	1,19	0,93		
Q 30	180	1,00	0,065	0,084	1,22	0,96		
Q 30	190	1,00	0,064	0,081	1,26	0,99		
Q 30	200	1,00	0,062	0,079	1,29	1,02		
Q 30	210	1,00	0,061	0,076	1,31	1,05		
Q 30	220	1,00	0,060	0,075	1,34	1,07		
Q 30	230	1,00	0,059	0,073	1,37	1,10		
Q 30	240	1,00	0,058	0,071	1,39	1,12		
Q 30	250	1,00	0,057	0,070	1,41	1,15		
Q 40	160	1,00	0,075	0,095	1,07	0,84		
Q 40	170	1,00	0,072	0,091	1,11	0,87		
Q 40	180	1,00	0,070	0,088	1,14	0,91		
Q 40	190	1,00	0,068	0,085	1,17	0,94		
Q 40	200	1,00	0,066	0,083	1,20	0,97		
Q 40	210	1,00	0,065	0,081	1,23	0,99		
Q 40	220	1,00	0,064	0,078	1,26	1,02		
Q 40	230	1,00	0,062	0,076	1,29	1,05		
Q 40	240	1,00	0,061	0,075	1,31	1,07		
Q 40	250	1,00	0,060	0,073	1,33	1,09		
Q 50	160	1,00	0,080	0,100	1,00	0,80		
Q 50	170	1,00	0,077	0,096	1,04	0,83		
Q 50	180	1,00	0,075	0,093	1,07	0,86		
Q 50	190	1,00	0,073	0,090	1,10	0,89		
Q 50	200	1,00	0,071	0,087	1,13	0,92		
Q 50	210	1,00	0,069	0,085	1,16	0,95		
Q 50	220	1,00	0,067	0,082	1,19	0,97		
Q 50	230	1,00	0,066	0,080	1,21	1,00		
Q 50	240	1,00	0,065	0,078	1,24	1,02		
Q 50	250	1,00	0,063	0,076	1,26	1,05		
Q 60	160	1,00	0,077	0,097	1,04	0,82		
Q 60	170	1,00	0,074	0,094	1,07	0,85		
Q 60	180	1,00	0,072	0,090	1,11	0,89		
Q 60	190	1,00	0,070	0,087	1,14	0,92		
Q 60	200	1,00	0,068	0,085	1,17	0,94		
Q 60	210	1,00	0,067	0,082	1,20	0,97		
Q 60	220	1,00	0,065	0,080	1,23	1,00		
Q 60	230	1,00	0,064	0,078	1,25	1,02		

Schöck Isokorb typu:	Wysokość Isokorb H [mm]	Długość Isokorb L [m]	Współczynnik przewodzenia ciepła $\lambda_{eq}$ [W/(m*K)]		Opór cieplny $R_{eq}$ [m <sup>2</sup> K/W]		Oceniana różnica w poziomie kroków $\Delta L_{n,v,w}$ [dB] w porównaniu z ciągłą płytą stropową	
			bez ochrony ppoż.	z ochroną ppoż.	bez ochrony ppoż.	z ochroną ppoż.	bez ochrony ppoż.	z ochroną ppoż.
Q 60	240	1,00	0,063	0,076	1,28	1,05		
Q 60	250	1,00	0,061	0,075	1,30	1,07		
Q 70	160	1,00	0,082	0,102	0,98	0,78		
Q 70	170	1,00	0,079	0,098	1,01	0,82		
Q 70	180	1,00	0,076	0,095	1,05	0,85		
Q 70	190	1,00	0,074	0,091	1,08	0,88		
Q 70	200	1,00	0,072	0,088	1,11	0,90		
Q 70	210	1,00	0,070	0,086	1,14	0,93		
Q 70	220	1,00	0,069	0,084	1,17	0,96		
Q 70	230	1,00	0,067	0,081	1,19	0,98		
Q 70	240	1,00	0,066	0,079	1,22	1,01		
Q 70	250	1,00	0,064	0,078	1,24	1,03		
Q 80	160	1,00	-	-	-	-		
Q 80	170	1,00	0,087	-	0,92	-		
Q 80	180	1,00	0,084	0,102	0,95	0,78		
Q 80	190	1,00	0,081	0,099	0,98	0,81		
Q 80	200	1,00	0,079	0,095	1,01	0,84		
Q 80	210	1,00	0,077	0,092	1,04	0,87		
Q 80	220	1,00	0,075	0,090	1,07	0,89		
Q 80	230	1,00	0,073	0,087	1,09	0,92		
Q 80	240	1,00	0,071	0,085	1,12	0,94		
Q 80	250	1,00	0,070	0,083	1,14	0,96		
Q 90	160	1,00	-	-	-	-		
Q 90	170	1,00	0,094	-	0,85	-		
Q 90	180	1,00	0,090	0,109	0,88	0,74		
Q 90	190	1,00	0,087	0,105	0,91	0,76		
Q 90	200	1,00	0,085	0,101	0,94	0,79		
Q 90	210	1,00	0,082	0,098	0,97	0,82		
Q 90	220	1,00	0,080	0,095	1,00	0,84		
Q 90	230	1,00	0,078	0,092	1,02	0,87		
Q 90	240	1,00	0,076	0,090	1,05	0,89		
Q 90	250	1,00	0,075	0,088	1,07	0,91		
Q 100	160	1,00	-	-	-	-		
Q 100	170	1,00	-	-	-	-		
Q 100	180	1,00	0,107	-	0,75	-		
Q 100	190	1,00	0,103	0,120	0,78	0,66		
Q 100	200	1,00	0,100	0,116	0,80	0,69		
Q 100	210	1,00	0,097	0,112	0,83	0,71		
Q 100	220	1,00	0,094	0,109	0,85	0,74		
Q 100	230	1,00	0,091	0,105	0,88	0,76		

Schöck Isokorb typu:	Wysokość Isokorb H [mm]	Długość Isokorb L [m]	Współczynnik przewodzenia ciepła $\lambda_{eq}$ [W/(m*K)]		Opór cieplny $R_{eq}$ [m <sup>2</sup> K/W]		Oceniana różnica w poziomie kroków $\Delta L_{n,v,w}$ [dB] w porównaniu z ciągłą płytą stropową	
			bez ochrony ppoż.	z ochroną ppoż.	bez ochrony ppoż.	z ochroną ppoż.	bez ochrony ppoż.	z ochroną ppoż.
Q 100	240	1,00	0,089	0,102	0,90	0,78		
Q 100	250	1,00	0,087	0,100	0,92	0,80		
Q 110	160	1,00	-	-	-	-		
Q 110	170	1,00	-	-	-	-		
Q 110	180	1,00	0,116	-	0,69	-		
Q 110	190	1,00	0,112	0,129	0,71	0,62		
Q 110	200	1,00	0,108	0,124	0,74	0,64		
Q 110	210	1,00	0,105	0,120	0,76	0,67		
Q 110	220	1,00	0,101	0,116	0,79	0,69		
Q 110	230	1,00	0,098	0,113	0,81	0,71		
Q 110	240	1,00	0,096	0,109	0,84	0,73		
Q 110	250	1,00	0,093	0,106	0,86	0,75		
Q 10+Q 10	160	1,00	0,075	0,095	1,07	0,84		
Q 10+Q 10	170	1,00	0,072	0,091	1,11	0,87		
Q 10+Q 10	180	1,00	0,070	0,088	1,14	0,91		
Q 10+Q 10	190	1,00	0,068	0,085	1,17	0,94		
Q 10+Q 10	200	1,00	0,066	0,083	1,20	0,97		
Q 10+Q 10	210	1,00	0,065	0,081	1,23	0,99		
Q 10+Q 10	220	1,00	0,064	0,078	1,26	1,02		
Q 10+Q 10	230	1,00	0,062	0,076	1,29	1,05		
Q 10+Q 10	240	1,00	0,061	0,075	1,31	1,07		
Q 10+Q 10	250	1,00	0,060	0,073	1,33	1,09		
Q 30+Q 30	160	1,00	0,085	0,106	0,94	0,76		
Q 30+Q 30	170	1,00	0,082	0,101	0,97	0,79		
Q 30+Q 30	180	1,00	0,079	0,098	1,01	0,82		
Q 30+Q 30	190	1,00	0,077	0,094	1,04	0,85		
Q 30+Q 30	200	1,00	0,075	0,091	1,07	0,88		
Q 30+Q 30	210	1,00	0,073	0,089	1,10	0,90		
Q 30+Q 30	220	1,00	0,071	0,086	1,12	0,93		
Q 30+Q 30	230	1,00	0,070	0,084	1,15	0,95		
Q 30+Q 30	240	1,00	0,068	0,082	1,17	0,98		
Q 30+Q 30	250	1,00	0,067	0,080	1,20	1,00		
Q 50+Q 50	160	1,00	0,106	0,127	0,75	0,63		
Q 50+Q 50	170	1,00	0,102	0,121	0,78	0,66		
Q 50+Q 50	180	1,00	0,098	0,116	0,81	0,69		
Q 50+Q 50	190	1,00	0,095	0,112	0,84	0,71		
Q 50+Q 50	200	1,00	0,092	0,108	0,87	0,74		
Q 50+Q 50	210	1,00	0,089	0,105	0,90	0,76		
Q 50+Q 50	220	1,00	0,087	0,101	0,92	0,79		
Q 50+Q 50	230	1,00	0,084	0,099	0,95	0,81		

Schöck Isokorb typu:	Wysokość Isokorb H [mm]	Długość Isokorb L [m]	Współczynnik przewodzenia ciepła $\lambda_{eq}$ [W/(m*K)]		Opór cieplny $R_{eq}$ [m <sup>2</sup> K/W]		Oceniana różnica w poziomie kroków $\Delta L_{n,v,w}$ [dB] w porównaniu z ciągłą płytą stropową	
			bez ochrony ppoż.	z ochroną ppoż.	bez ochrony ppoż.	z ochroną ppoż.	bez ochrony ppoż.	z ochroną ppoż.
Q 50+Q 50	240	1,00	0,082	0,096	0,97	0,83		
Q 50+Q 50	250	1,00	0,080	0,093	1,00	0,86		
Q10S	160	1,00	0,072	0,093	1,109	0,864		
Q10S	170	1,00	0,070	0,089	1,144	0,897		
Q10S	180	1,00	0,068	0,086	1,178	0,929		
Q10S	190	1,00	0,066	0,083	1,210	0,960		
Q10S	200	1,00	0,065	0,081	1,240	0,989		
Q10S	210	1,00	0,063	0,079	1,269	1,017		
Q10S	220	1,00	0,062	0,077	1,296	1,044		
Q10S	230	1,00	0,061	0,075	1,321	1,070		
Q10S	240	1,00	0,059	0,073	1,346	1,095		
Q10S	250	1,00	0,058	0,071	1,370	1,119		
Q10S	260	1,00	0,057	0,070	1,392	1,142		
Q10S	270	1,00	0,057	0,069	1,413	1,164		
Q10S	280	1,00	0,056	0,067	1,434	1,186		
Q10S	290	1,00	0,055	0,066	1,453	1,206		
Q10S	300	1,00	0,054	0,065	1,472	1,226		
Q10S VV	160	1,00	0,091	0,111	0,880	0,718		
Q10S VV	170	1,00	0,088	0,107	0,913	0,749		
Q10S VV	180	1,00	0,085	0,103	0,945	0,778		
Q10S VV	190	1,00	0,082	0,099	0,976	0,807		
Q10S VV	200	1,00	0,080	0,096	1,005	0,834		
Q10S VV	210	1,00	0,077	0,093	1,034	0,861		
Q10S VV	220	1,00	0,075	0,090	1,061	0,886		
Q10S VV	230	1,00	0,074	0,088	1,087	0,911		
Q10S VV	240	1,00	0,072	0,086	1,112	0,935		
Q10S VV	250	1,00	0,070	0,084	1,136	0,958		
Q10S VV	260	1,00	0,069	0,082	1,159	0,980		
Q10S VV	270	1,00	0,068	0,080	1,181	1,002		
Q10S VV	280	1,00	0,067	0,078	1,202	1,023		
Q10S VV	290	1,00	0,065	0,077	1,223	1,043		
Q10S VV	300	1,00	0,064	0,075	1,243	1,063		
Q20S	160	1,00	0,082	0,102	0,981	0,784		
Q20S	170	1,00	0,079	0,098	1,016	0,816		
Q20S	180	1,00	0,076	0,094	1,049	0,847		
Q20S	190	1,00	0,074	0,091	1,080	0,877		
Q20S	200	1,00	0,072	0,088	1,110	0,905		
Q20S	210	1,00	0,070	0,086	1,139	0,932		
Q20S	220	1,00	0,069	0,083	1,166	0,959		
Q20S	230	1,00	0,067	0,081	1,193	0,984		



Schöck Isokorb typu:	Wysokość Isokorb H [mm]	Długość Isokorb L [m]	Współczynnik przewodzenia ciepła $\lambda_{eq}$ [W/(m*K)]		Opór cieplny $R_{eq}$ [m <sup>2</sup> K/W]		Oceniana różnica w poziomie kroków $\Delta L_{n,v,w}$ [dB] w porównaniu z ciągłą płytą stropową	
			bez ochrony ppoż.	z ochroną ppoż.	bez ochrony ppoż.	z ochroną ppoż.	bez ochrony ppoż.	z ochroną ppoż.
Q20S	240	1,00	0,066	0,079	1,218	1,008		
Q20S	250	1,00	0,064	0,078	1,242	1,032		
Q20S	260	1,00	0,063	0,076	1,265	1,055		
Q20S	270	1,00	0,062	0,074	1,287	1,077		
Q20S	280	1,00	0,061	0,073	1,308	1,098		
Q20S	290	1,00	0,060	0,072	1,328	1,119		
Q20S	300	1,00	0,059	0,070	1,348	1,139		
Q20S VV	160	1,00	0,110	0,130	0,729	0,614		
Q20S VV	170	1,00	0,105	0,125	0,760	0,642		
Q20S VV	180	1,00	0,101	0,120	0,789	0,669		
Q20S VV	190	1,00	0,098	0,115	0,818	0,696		
Q20S VV	200	1,00	0,095	0,111	0,846	0,721		
Q20S VV	210	1,00	0,092	0,107	0,872	0,746		
Q20S VV	220	1,00	0,089	0,104	0,898	0,770		
Q20S VV	230	1,00	0,087	0,101	0,923	0,793		
Q20S VV	240	1,00	0,085	0,098	0,947	0,815		
Q20S VV	250	1,00	0,082	0,096	0,970	0,837		
Q20S VV	260	1,00	0,081	0,093	0,992	0,858		
Q20S VV	270	1,00	0,079	0,091	1,014	0,879		
Q20S VV	280	1,00	0,077	0,089	1,035	0,899		
Q20S VV	290	1,00	0,076	0,087	1,055	0,919		
Q20S VV	300	1,00	0,074	0,085	1,075	0,938		
Q30S	160	1,00	0,110	0,131	0,725	0,612		
Q30S	170	1,00	0,106	0,125	0,756	0,640		
Q30S	180	1,00	0,102	0,120	0,786	0,667		
Q30S	190	1,00	0,098	0,115	0,814	0,693		
Q30S	200	1,00	0,095	0,111	0,842	0,718		
Q30S	210	1,00	0,092	0,108	0,868	0,743		
Q30S	220	1,00	0,089	0,104	0,894	0,767		
Q30S	230	1,00	0,087	0,101	0,919	0,790		
Q30S	240	1,00	0,085	0,098	0,943	0,812		
Q30S	250	1,00	0,083	0,096	0,966	0,834		
Q30S	260	1,00	0,081	0,094	0,988	0,855		
Q30S	270	1,00	0,079	0,091	1,010	0,876		
Q30S	280	1,00	0,078	0,089	1,031	0,896		
Q30S	290	1,00	0,076	0,087	1,051	0,916		
Q30S	300	1,00	0,075	0,086	1,071	0,935		
Q30S VV	160	1,00	0,148	0,168	0,541	0,475		
Q30S VV	170	1,00	0,141	0,160	0,567	0,499		
Q30S VV	180	1,00	0,135	0,153	0,591	0,521		

Schöck Isokorb typu:	Wysokość Isokorb H [mm]	Długość Isokorb L [m]	Współczynnik przewodzenia ciepła $\lambda_{eq}$ [W/(m*K)]		Opór cieplny $R_{eq}$ [m <sup>2</sup> K/W]		Oceniana różnica w poziomie kroków $\Delta L_{n,v,w}$ [dB] w porównaniu z ciągłą płytą stropową	
			bez ochrony ppoż.	z ochroną ppoż.	bez ochrony ppoż.	z ochroną ppoż.	bez ochrony ppoż.	z ochroną ppoż.
Q30S VV	190	1,00	0,130	0,147	0,616	0,544		
Q30S VV	200	1,00	0,125	0,141	0,639	0,565		
Q30S VV	210	1,00	0,121	0,136	0,662	0,587		
Q30S VV	220	1,00	0,117	0,132	0,685	0,607		
Q30S VV	230	1,00	0,113	0,127	0,706	0,628		
Q30S VV	240	1,00	0,110	0,124	0,728	0,647		
Q30S VV	250	1,00	0,107	0,120	0,748	0,667		
Q30S VV	260	1,00	0,104	0,117	0,769	0,686		
Q30S VV	270	1,00	0,102	0,114	0,788	0,704		
Q30S VV	280	1,00	0,099	0,111	0,807	0,722		
Q30S VV	290	1,00	0,097	0,108	0,826	0,740		
Q30S VV	300	1,00	0,095	0,106	0,844	0,757		
Q40M	160	1,00	-	-	-	-		
Q40M	170	1,00	-	-	-	-		
Q40M	180	1,00	-	-	-	-		
Q40M	190	1,00	-	-	-	-		
Q40M	200	1,00	0,083	0,100	0,960	0,803		
Q40M	210	1,00	0,081	0,097	0,988	0,829		
Q40M	220	1,00	0,079	0,094	1,015	0,854		
Q40M	230	1,00	0,077	0,091	1,040	0,878		
Q40M	240	1,00	0,075	0,089	1,065	0,902		
Q40M	250	1,00	0,073	0,087	1,089	0,924		
Q40M	260	1,00	0,072	0,085	1,112	0,947		
Q40M	270	1,00	0,071	0,083	1,134	0,968		
Q40M	280	1,00	0,069	0,081	1,156	0,989		
Q40M	290	1,00	0,068	0,079	1,176	1,009		
Q40M	300	1,00	0,067	0,078	1,196	1,028		
Q40M VV	160	1,00	-	-	-	-		
Q40M VV	170	1,00	-	-	-	-		
Q40M VV	180	1,00	-	-	-	-		
Q40M VV	190	1,00	-	-	-	-		
Q40M VV	200	1,00	0,117	0,134	0,683	0,599		
Q40M VV	210	1,00	0,113	0,129	0,707	0,621		
Q40M VV	220	1,00	0,110	0,124	0,730	0,643		
Q40M VV	230	1,00	0,106	0,121	0,752	0,664		
Q40M VV	240	1,00	0,103	0,117	0,774	0,684		
Q40M VV	250	1,00	0,101	0,114	0,796	0,704		
Q40M VV	260	1,00	0,098	0,111	0,816	0,724		
Q40M VV	270	1,00	0,096	0,108	0,837	0,743		
Q40M VV	280	1,00	0,093	0,105	0,856	0,761		

Schöck Isokorb typu:	Wysokość Isokorb H [mm]	Długość Isokorb L [m]	Współczynnik przewodzenia ciepła $\lambda_{eq}$ [W/(m*K)]		Opór cieplny $R_{eq}$ [m <sup>2</sup> K/W]		Oceniana różnica w poziomie kroków $\Delta L_{n,v,w}$ [dB] w porównaniu z ciągłą płytą stropową	
			bez ochrony ppoż.	z ochroną ppoż.	bez ochrony ppoż.	z ochroną ppoż.	bez ochrony ppoż.	z ochroną ppoż.
Q40M VV	290	1,00	0,091	0,103	0,876	0,779		
Q40M VV	300	1,00	0,089	0,100	0,894	0,797		
Q50M	160	1,00	-	-	-	-		
Q50M	170	1,00	-	-	-	-		
Q50M	180	1,00	-	-	-	-		
Q50M	190	1,00	-	-	-	-		
Q50M	200	1,00	0,108	0,124	0,741	0,643		
Q50M	210	1,00	0,104	0,120	0,766	0,666		
Q50M	220	1,00	0,101	0,116	0,790	0,689		
Q50M	230	1,00	0,098	0,113	0,814	0,711		
Q50M	240	1,00	0,096	0,109	0,836	0,732		
Q50M	250	1,00	0,093	0,106	0,858	0,753		
Q50M	260	1,00	0,091	0,103	0,880	0,773		
Q50M	270	1,00	0,089	0,101	0,901	0,793		
Q50M	280	1,00	0,087	0,099	0,921	0,812		
Q50M	290	1,00	0,085	0,096	0,941	0,831		
Q50M	300	1,00	0,083	0,094	0,960	0,849		
Q50M VV	160	1,00	-	-	-	-		
Q50M VV	170	1,00	-	-	-	-		
Q50M VV	180	1,00	-	-	-	-		
Q50M VV	190	1,00	-	-	-	-		
Q50M VV	200	1,00	0,159	0,175	0,504	0,457		
Q50M VV	210	1,00	0,153	0,168	0,523	0,475		
Q50M VV	220	1,00	0,147	0,162	0,543	0,493		
Q50M VV	230	1,00	0,142	0,157	0,561	0,510		
Q50M VV	240	1,00	0,138	0,152	0,580	0,528		
Q50M VV	250	1,00	0,134	0,147	0,598	0,545		
Q50M VV	260	1,00	0,130	0,143	0,616	0,561		
Q50M VV	270	1,00	0,126	0,139	0,633	0,577		
Q50M VV	280	1,00	0,123	0,135	0,650	0,593		
Q50M VV	290	1,00	0,120	0,131	0,666	0,609		
Q50M VV	300	1,00	0,117	0,128	0,683	0,625		
Q60M	160	1,00	-	-	-	-		
Q60M	170	1,00	-	-	-	-		
Q60M	180	1,00	-	-	-	-		
Q60M	190	1,00	-	-	-	-		
Q60M	200	1,00	0,133	0,149	0,603	0,537		
Q60M	210	1,00	0,128	0,144	0,625	0,557		
Q60M	220	1,00	0,124	0,139	0,647	0,577		
Q60M	230	1,00	0,120	0,134	0,668	0,597		

Schöck Isokorb typu:	Wysokość Isokorb H [mm]	Długość Isokorb L [m]	Współczynnik przewodzenia ciepła $\lambda_{eq}$ [W/(m*K)]		Opór cieplny $R_{eq}$ [m <sup>2</sup> K/W]		Oceniana różnica w poziomie kroków $\Delta L_{n,v,w}$ [dB] w porównaniu z ciągłą płytą stropową	
			bez ochrony ppoż.	z ochroną ppoż.	bez ochrony ppoż.	z ochroną ppoż.	bez ochrony ppoż.	z ochroną ppoż.
Q60M	240	1,00	0,116	0,130	0,688	0,616		
Q60M	250	1,00	0,113	0,126	0,708	0,635		
Q60M	260	1,00	0,110	0,122	0,728	0,653		
Q60M	270	1,00	0,107	0,119	0,747	0,671		
Q60M	280	1,00	0,104	0,116	0,766	0,689		
Q60M	290	1,00	0,102	0,113	0,784	0,706		
Q60M	300	1,00	0,100	0,111	0,802	0,723		
Q60M VV	160	1,00	-	-	-	-		
Q60M VV	170	1,00	-	-	-	-		
Q60M VV	180	1,00	-	-	-	-		
Q60M VV	190	1,00	-	-	-	-		
Q60M VV	200	1,00	0,200	0,217	0,399	0,369		
Q60M VV	210	1,00	0,192	0,208	0,416	0,385		
Q60M VV	220	1,00	0,185	0,200	0,432	0,400		
Q60M VV	230	1,00	0,179	0,193	0,448	0,415		
Q60M VV	240	1,00	0,173	0,186	0,463	0,430		
Q60M VV	250	1,00	0,167	0,180	0,479	0,444		
Q60M VV	260	1,00	0,162	0,175	0,494	0,458		
Q60M VV	270	1,00	0,157	0,169	0,509	0,472		
Q60M VV	280	1,00	0,153	0,165	0,523	0,486		
Q60M VV	290	1,00	0,149	0,160	0,538	0,500		
Q60M VV	300	1,00	0,145	0,156	0,552	0,513		
QP 10	160	0,30	-	-	-	-		
QP 10	170	0,30	0,087	-	0,92	-		
QP 10	180	0,30	0,084	0,116	0,96	0,69		
QP 10	190	0,30	0,081	0,113	0,99	0,71		
QP 10	200	0,30	0,079	0,109	1,02	0,73		
QP 10	210	0,30	0,077	0,106	1,05	0,75		
QP 10	220	0,30	0,075	0,104	1,07	0,77		
QP 10	230	0,30	0,073	0,101	1,10	0,79		
QP 10	240	0,30	0,071	0,099	1,12	0,81		
QP 10	250	0,30	0,070	0,097	1,15	0,82		
QP 20	160	0,40	-	-	-	-		
QP 20	170	0,40	0,102	-	0,79	-		
QP 20	180	0,40	0,098	0,127	0,82	0,63		
QP 20	190	0,40	0,095	0,123	0,85	0,65		
QP 20	200	0,40	0,092	0,119	0,87	0,67		
QP 20	210	0,40	0,089	0,115	0,90	0,69		
QP 20	220	0,40	0,086	0,112	0,93	0,71		
QP 20	230	0,40	0,084	0,109	0,95	0,73		

Schöck Isokorb typu:	Wysokość Isokorb H [mm]	Długość Isokorb L [m]	Współczynnik przewodzenia ciepła $\lambda_{eq}$ [W/(m*K)]		Opór cieplny $R_{eq}$ [m <sup>2</sup> K/W]		Oceniana różnica w poziomie kroków $\Delta L_{n,v,w}$ [dB] w porównaniu z ciągłą płytą stropową	
			bez ochrony ppoż.	z ochroną ppoż.	bez ochrony ppoż.	z ochroną ppoż.	bez ochrony ppoż.	z ochroną ppoż.
QP 20	240	0,40	0,082	0,106	0,98	0,75		
QP 20	250	0,40	0,080	0,104	1,00	0,77		
QP 30	160	0,50	-	-	-	-		
QP 30	170	0,50	0,097	-	0,82	-		
QP 30	180	0,50	0,094	0,120	0,86	0,66		
QP 30	190	0,50	0,090	0,116	0,88	0,69		
QP 30	200	0,50	0,088	0,113	0,91	0,71		
QP 30	210	0,50	0,085	0,109	0,94	0,73		
QP 30	220	0,50	0,083	0,106	0,97	0,75		
QP 30	230	0,50	0,081	0,103	0,99	0,77		
QP 30	240	0,50	0,079	0,101	1,02	0,79		
QP 30	250	0,50	0,077	0,099	1,04	0,81		
QP 40	160	0,30	-	-	-	-		
QP 40	170	0,30	-	-	-	-		
QP 40	180	0,30	0,109	-	0,73	-		
QP 40	190	0,30	0,105	0,136	0,76	0,59		
QP 40	200	0,30	0,101	0,132	0,79	0,61		
QP 40	210	0,30	0,098	0,128	0,81	0,62		
QP 40	220	0,30	0,095	0,124	0,84	0,64		
QP 40	230	0,30	0,093	0,121	0,86	0,66		
QP 40	240	0,30	0,090	0,118	0,89	0,68		
QP 40	250	0,30	0,088	0,115	0,91	0,69		
QP 50	160	0,40	-	-	-	-		
QP 50	170	0,40	-	-	-	-		
QP 50	180	0,40	0,116	-	0,69	-		
QP 50	190	0,40	0,111	0,139	0,72	0,57		
QP 50	200	0,40	0,107	0,135	0,74	0,59		
QP 50	210	0,40	0,104	0,130	0,77	0,61		
QP 50	220	0,40	0,101	0,126	0,79	0,63		
QP 50	230	0,40	0,098	0,123	0,82	0,65		
QP 50	240	0,40	0,095	0,120	0,84	0,67		
QP 50	250	0,40	0,093	0,117	0,86	0,69		
QP 60	160	0,30	-	-	-	-		
QP 60	170	0,30	-	-	-	-		
QP 60	180	0,30	-	-	-	-		
QP 60	190	0,30	0,135	-	0,59	-		
QP 60	200	0,30	0,130	0,160	0,62	0,50		
QP 60	210	0,30	0,125	0,155	0,64	0,52		
QP 60	220	0,30	0,121	0,150	0,66	0,53		
QP 60	230	0,30	0,117	0,146	0,68	0,55		

Schöck Isokorb typu:	Wysokość Isokorb H [mm]	Długość Isokorb L [m]	Współczynnik przewodzenia ciepła $\lambda_{eq}$ [W/(m*K)]		Opór cieplny $R_{eq}$ [m <sup>2</sup> K/W]		Oceniana różnica w poziomie kroków $\Delta L_{n,v,w}$ [dB] w porównaniu z ciągłą płytą stropową	
			bez ochrony ppoż.	z ochroną ppoż.	bez ochrony ppoż.	z ochroną ppoż.	bez ochrony ppoż.	z ochroną ppoż.
QP 60	240	0,30	0,114	0,142	0,70	0,57		
QP 60	250	0,30	0,110	0,138	0,72	0,58		
QP 70	160	0,40	-	-	-	-		
QP 70	170	0,40	-	-	-	-		
QP 70	180	0,40	-	-	-	-		
QP 70	190	0,40	0,145	-	0,55	-		
QP 70	200	0,40	0,140	0,167	0,57	0,48		
QP 70	210	0,40	0,135	0,161	0,59	0,50		
QP 70	220	0,40	0,130	0,156	0,61	0,51		
QP 70	230	0,40	0,126	0,151	0,63	0,53		
QP 70	240	0,40	0,122	0,147	0,65	0,55		
QP 70	250	0,40	0,119	0,142	0,67	0,56		
QP 80	160	0,30	-	-	-	-		
QP 80	170	0,30	-	-	-	-		
QP 80	180	0,30	-	-	-	-		
QP 80	190	0,30	-	-	-	-		
QP 80	200	0,30	0,167	-	0,48	-		
QP 80	210	0,30	0,161	0,191	0,50	0,42		
QP 80	220	0,30	0,155	0,184	0,52	0,43		
QP 80	230	0,30	0,150	0,178	0,53	0,45		
QP 80	240	0,30	0,145	0,173	0,55	0,46		
QP 80	250	0,30	0,141	0,168	0,57	0,48		
QP 90	160	0,40	-	-	-	-		
QP 90	170	0,40	-	-	-	-		
QP 90	180	0,40	-	-	-	-		
QP 90	190	0,40	-	-	-	-		
QP 90	200	0,40	0,184	-	0,44	-		
QP 90	210	0,40	0,177	0,203	0,45	0,39		
QP 90	220	0,40	0,170	0,196	0,47	0,41		
QP 90	230	0,40	0,164	0,189	0,49	0,42		
QP 90	240	0,40	0,159	0,183	0,50	0,44		
QP 90	250	0,40	0,154	0,178	0,52	0,45		
QP 10+QP 10	160	0,30	-	-	-	-		
QP 10+QP 10	170	0,30	-	-	-	-		
QP 10+QP 10	180	0,30	0,111	-	0,72	-		
QP 10+QP 10	190	0,30	0,107	0,139	0,74	0,58		
QP 10+QP 10	200	0,30	0,104	0,134	0,77	0,60		
QP 10+QP 10	210	0,30	0,100	0,130	0,80	0,61		
QP 10+QP 10	220	0,30	0,097	0,127	0,82	0,63		
QP 10+QP 10	230	0,30	0,095	0,123	0,85	0,65		

Schöck Isokorb typu:	Wysokość Isokorb H [mm]	Długość Isokorb L [m]	Współczynnik przewodzenia ciepła $\lambda_{eq}$ [W/(m*K)]		Opór cieplny $R_{eq}$ [m <sup>2</sup> K/W]		Oceniana różnica w poziomie kroków $\Delta L_{n,v,w}$ [dB] w porównaniu z ciągłą płytą stropową	
			bez ochrony ppoż.	z ochroną ppoż.	bez ochrony ppoż.	z ochroną ppoż.	bez ochrony ppoż.	z ochroną ppoż.
QP 10+QP 10	240	0,30	0,092	0,120	0,87	0,67		
QP 10+QP 10	250	0,30	0,090	0,117	0,89	0,68		
QP 40+QP 40	160	0,30	-	-	-	-		
QP 40+QP 40	170	0,30	-	-	-	-		
QP 40+QP 40	180	0,30	0,152	-	0,52	-		
QP 40+QP 40	190	0,30	0,146	0,178	0,55	0,45		
QP 40+QP 40	200	0,30	0,141	0,171	0,57	0,47		
QP 40+QP 40	210	0,30	0,135	0,165	0,59	0,48		
QP 40+QP 40	220	0,30	0,131	0,160	0,61	0,50		
QP 40+QP 40	230	0,30	0,127	0,155	0,63	0,52		
QP 40+QP 40	240	0,30	0,123	0,151	0,65	0,53		
QP 40+QP 40	250	0,30	0,119	0,147	0,67	0,55		
QP 60+QP 60	160	0,30	-	-	-	-		
QP 60+QP 60	170	0,30	-	-	-	-		
QP 60+QP 60	180	0,30	-	-	-	-		
QP 60+QP 60	190	0,30	0,194	-	0,41	-		
QP 60+QP 60	200	0,30	0,186	0,217	0,43	0,37		
QP 60+QP 60	210	0,30	0,179	0,209	0,45	0,38		
QP 60+QP 60	220	0,30	0,172	0,201	0,46	0,40		
QP 60+QP 60	230	0,30	0,166	0,195	0,48	0,41		
QP 60+QP 60	240	0,30	0,161	0,189	0,50	0,42		
QP 60+QP 60	250	0,30	0,156	0,183	0,51	0,44		
QP 70+QP 70	160	0,30	-	-	-	-		
QP 70+QP 70	170	0,30	-	-	-	-		
QP 70+QP 70	180	0,30	-	-	-	-		
QP 70+QP 70	190	0,30	0,272	-	0,29	-		
QP 70+QP 70	200	0,30	0,260	0,290	0,31	0,28		
QP 70+QP 70	210	0,30	0,249	0,279	0,32	0,29		
QP 70+QP 70	220	0,30	0,239	0,268	0,33	0,30		
QP 70+QP 70	230	0,30	0,230	0,259	0,35	0,31		
QP 70+QP 70	240	0,30	0,222	0,250	0,36	0,32		
QP 70+QP 70	250	0,30	0,215	0,242	0,37	0,33		
QP10S	160	0,30	0,090	0,119	0,891	0,672		
QP10S	170	0,30	0,087	0,115	0,924	0,697		
QP10S	180	0,30	0,084	0,111	0,957	0,722		
QP10S	190	0,30	0,081	0,107	0,987	0,745		
QP10S	200	0,30	0,079	0,104	1,017	0,767		
QP10S	210	0,30	0,077	0,101	1,045	0,789		
QP10S	220	0,30	0,075	0,099	1,072	0,809		
QP10S	230	0,30	0,073	0,097	1,098	0,829		

Schöck Isokorb typu:	Wysokość Isokorb H [mm]	Długość Isokorb L [m]	Współczynnik przewodzenia ciepła $\lambda_{eq}$ [W/(m*K)]		Opór cieplny $R_{eq}$ [m <sup>2</sup> K/W]		Oceniana różnica w poziomie kroków $\Delta L_{n,v,w}$ [dB] w porównaniu z ciągłą płytą stropową	
			bez ochrony ppoż.	z ochroną ppoż.	bez ochrony ppoż.	z ochroną ppoż.	bez ochrony ppoż.	z ochroną ppoż.
QP10S	240	0,30	0,071	0,094	1,123	0,848		
QP10S	250	0,30	0,070	0,092	1,147	0,866		
QP10S	260	0,30	0,068	0,091	1,170	0,883		
QP10S	270	0,30	0,067	0,089	1,192	0,900		
QP10S	280	0,30	0,066	0,087	1,214	0,916		
QP10S	290	0,30	0,065	0,086	1,234	0,932		
QP10S	300	0,30	0,064	0,084	1,254	0,947		
QP10S VV	160	0,30	0,121	0,150	0,660	0,532		
QP10S VV	170	0,30	0,116	0,144	0,689	0,555		
QP10S VV	180	0,30	0,111	0,139	0,718	0,577		
QP10S VV	190	0,30	0,107	0,134	0,745	0,598		
QP10S VV	200	0,30	0,104	0,129	0,771	0,618		
QP10S VV	210	0,30	0,100	0,125	0,797	0,638		
QP10S VV	220	0,30	0,097	0,122	0,821	0,657		
QP10S VV	230	0,30	0,095	0,118	0,845	0,676		
QP10S VV	240	0,30	0,092	0,115	0,868	0,694		
QP10S VV	250	0,30	0,090	0,112	0,891	0,711		
QP10S VV	260	0,30	0,088	0,110	0,913	0,728		
QP10S VV	270	0,30	0,086	0,107	0,934	0,744		
QP10S VV	280	0,30	0,084	0,105	0,954	0,760		
QP10S VV	290	0,30	0,082	0,103	0,974	0,776		
QP10S VV	300	0,30	0,080	0,101	0,994	0,790		
QP20S	160	0,40	0,106	0,133	0,755	0,601		
QP20S	170	0,40	0,102	0,128	0,786	0,626		
QP20S	180	0,40	0,098	0,123	0,816	0,651		
QP20S	190	0,40	0,095	0,119	0,845	0,674		
QP20S	200	0,40	0,092	0,115	0,873	0,696		
QP20S	210	0,40	0,089	0,111	0,900	0,718		
QP20S	220	0,40	0,086	0,108	0,926	0,739		
QP20S	230	0,40	0,084	0,105	0,951	0,759		
QP20S	240	0,40	0,082	0,103	0,976	0,778		
QP20S	250	0,40	0,080	0,100	0,999	0,797		
QP20S	260	0,40	0,078	0,098	1,022	0,815		
QP20S	270	0,40	0,077	0,096	1,044	0,833		
QP20S	280	0,40	0,075	0,094	1,065	0,850		
QP20S	290	0,40	0,074	0,092	1,085	0,866		
QP20S	300	0,40	0,072	0,091	1,105	0,882		
QP20S VV	160	0,40	0,141	0,168	0,566	0,475		
QP20S VV	170	0,40	0,135	0,161	0,593	0,497		
QP20S VV	180	0,40	0,129	0,154	0,619	0,518		



Schöck Isokorb typu:	Wysokość Isokorb H [mm]	Długość Isokorb L [m]	Współczynnik przewodzenia ciepła $\lambda_{eq}$ [W/(m*K)]		Opór cieplny $R_{eq}$ [m <sup>2</sup> K/W]		Oceniana różnica w poziomie kroków $\Delta L_{n,v,w}$ [dB] w porównaniu z ciągłą płytą stropową	
			bez ochrony ppoż.	z ochroną ppoż.	bez ochrony ppoż.	z ochroną ppoż.	bez ochrony ppoż.	z ochroną ppoż.
QP20S VV	190	0,40	0,124	0,148	0,643	0,539		
QP20S VV	200	0,40	0,120	0,143	0,668	0,559		
QP20S VV	210	0,40	0,116	0,138	0,691	0,578		
QP20S VV	220	0,40	0,112	0,134	0,714	0,597		
QP20S VV	230	0,40	0,109	0,130	0,737	0,616		
QP20S VV	240	0,40	0,106	0,126	0,758	0,633		
QP20S VV	250	0,40	0,103	0,123	0,779	0,651		
QP20S VV	260	0,40	0,100	0,120	0,800	0,668		
QP20S VV	270	0,40	0,098	0,117	0,820	0,684		
QP20S VV	280	0,40	0,095	0,114	0,840	0,700		
QP20S VV	290	0,40	0,093	0,112	0,859	0,716		
QP20S VV	300	0,40	0,091	0,109	0,877	0,731		
QP30S	160	0,50	0,110	0,136	0,725	0,588		
QP30S	170	0,50	0,106	0,130	0,756	0,613		
QP30S	180	0,50	0,102	0,125	0,786	0,638		
QP30S	190	0,50	0,098	0,121	0,814	0,661		
QP30S	200	0,50	0,095	0,117	0,842	0,684		
QP30S	210	0,50	0,092	0,113	0,868	0,706		
QP30S	220	0,50	0,089	0,110	0,894	0,727		
QP30S	230	0,50	0,087	0,107	0,919	0,748		
QP30S	240	0,50	0,085	0,104	0,943	0,768		
QP30S	250	0,50	0,083	0,102	0,966	0,787		
QP30S	260	0,50	0,081	0,099	0,988	0,806		
QP30S	270	0,50	0,079	0,097	1,010	0,824		
QP30S	280	0,50	0,078	0,095	1,031	0,841		
QP30S	290	0,50	0,076	0,093	1,051	0,858		
QP30S	300	0,50	0,075	0,091	1,071	0,875		
QP30S VV	160	0,50	0,148	0,174	0,541	0,461		
QP30S VV	170	0,50	0,141	0,166	0,567	0,482		
QP30S VV	180	0,50	0,135	0,159	0,591	0,504		
QP30S VV	190	0,50	0,130	0,153	0,616	0,524		
QP30S VV	200	0,50	0,125	0,147	0,639	0,544		
QP30S VV	210	0,50	0,121	0,142	0,662	0,564		
QP30S VV	220	0,50	0,117	0,137	0,685	0,582		
QP30S VV	230	0,50	0,113	0,133	0,706	0,601		
QP30S VV	240	0,50	0,110	0,129	0,728	0,619		
QP30S VV	250	0,50	0,107	0,126	0,748	0,636		
QP30S VV	260	0,50	0,104	0,122	0,769	0,653		
QP30S VV	270	0,50	0,102	0,119	0,788	0,670		
QP30S VV	280	0,50	0,099	0,117	0,807	0,686		

Schöck Isokorb typu:	Wysokość Isokorb H [mm]	Długość Isokorb L [m]	Współczynnik przewodzenia ciepła $\lambda_{eq}$ [W/(m*K)]		Opór cieplny $R_{eq}$ [m <sup>2</sup> K/W]		Oceniana różnica w poziomie kroków $\Delta L_{n,v,w}$ [dB] w porównaniu z ciągłą płytą stropową	
			bez ochrony ppoż.	z ochroną ppoż.	bez ochrony ppoż.	z ochroną ppoż.	bez ochrony ppoż.	z ochroną ppoż.
QP30S VV	290	0,50	0,097	0,114	0,826	0,702		
QP30S VV	300	0,50	0,095	0,112	0,844	0,717		
QP40M	160	0,30	-	-	-	-		
QP40M	170	0,30	-	-	-	-		
QP40M	180	0,30	-	-	-	-		
QP40M	190	0,30	-	-	-	-		
QP40M	200	0,30	0,130	0,155	0,617	0,515		
QP40M	210	0,30	0,125	0,150	0,640	0,533		
QP40M	220	0,30	0,121	0,145	0,662	0,551		
QP40M	230	0,30	0,117	0,141	0,683	0,568		
QP40M	240	0,30	0,114	0,137	0,704	0,585		
QP40M	250	0,30	0,110	0,133	0,724	0,601		
QP40M	260	0,30	0,108	0,130	0,744	0,617		
QP40M	270	0,30	0,105	0,127	0,763	0,632		
QP40M	280	0,30	0,102	0,124	0,782	0,647		
QP40M	290	0,30	0,100	0,121	0,801	0,661		
QP40M	300	0,30	0,098	0,118	0,819	0,675		
QP40M VV	160	0,30	-	-	-	-		
QP40M VV	170	0,30	-	-	-	-		
QP40M VV	180	0,30	-	-	-	-		
QP40M VV	190	0,30	-	-	-	-		
QP40M VV	200	0,30	0,186	0,212	0,430	0,378		
QP40M VV	210	0,30	0,179	0,204	0,447	0,393		
QP40M VV	220	0,30	0,172	0,196	0,465	0,407		
QP40M VV	230	0,30	0,166	0,190	0,481	0,421		
QP40M VV	240	0,30	0,161	0,184	0,498	0,435		
QP40M VV	250	0,30	0,156	0,178	0,514	0,449		
QP40M VV	260	0,30	0,151	0,173	0,530	0,462		
QP40M VV	270	0,30	0,147	0,168	0,546	0,475		
QP40M VV	280	0,30	0,143	0,164	0,561	0,488		
QP40M VV	290	0,30	0,139	0,160	0,576	0,500		
QP40M VV	300	0,30	0,135	0,156	0,591	0,513		
QP50M	160	0,40	-	-	-	-		
QP50M	170	0,40	-	-	-	-		
QP50M	180	0,40	-	-	-	-		
QP50M	190	0,40	-	-	-	-		
QP50M	200	0,40	0,142	0,165	0,565	0,485		
QP50M	210	0,40	0,136	0,159	0,586	0,503		
QP50M	220	0,40	0,132	0,154	0,607	0,521		
QP50M	230	0,40	0,128	0,149	0,627	0,537		

Schöck Isokorb typu:	Wysokość Isokorb H [mm]	Długość Isokorb L [m]	Współczynnik przewodzenia ciepła $\lambda_{eq}$ [W/(m*K)]		Opór cieplny $R_{eq}$ [m <sup>2</sup> K/W]		Oceniana różnica w poziomie kroków $\Delta L_{n,v,w}$ [dB] w porównaniu z ciągłą płytą stropową	
			bez ochrony ppoż.	z ochroną ppoż.	bez ochrony ppoż.	z ochroną ppoż.	bez ochrony ppoż.	z ochroną ppoż.
QP50M	240	0,40	0,124	0,144	0,647	0,554		
QP50M	250	0,40	0,120	0,140	0,666	0,570		
QP50M	260	0,40	0,117	0,137	0,685	0,586		
QP50M	270	0,40	0,114	0,133	0,704	0,601		
QP50M	280	0,40	0,111	0,130	0,722	0,616		
QP50M	290	0,40	0,108	0,127	0,740	0,631		
QP50M	300	0,40	0,106	0,124	0,757	0,645		
QP50M VV	160	0,40	-	-	-	-		
QP50M VV	170	0,40	-	-	-	-		
QP50M VV	180	0,40	-	-	-	-		
QP50M VV	190	0,40	-	-	-	-		
QP50M VV	200	0,40	0,205	0,228	0,390	0,350		
QP50M VV	210	0,40	0,197	0,219	0,406	0,365		
QP50M VV	220	0,40	0,189	0,211	0,422	0,378		
QP50M VV	230	0,40	0,183	0,204	0,438	0,392		
QP50M VV	240	0,40	0,177	0,197	0,453	0,405		
QP50M VV	250	0,40	0,171	0,191	0,468	0,419		
QP50M VV	260	0,40	0,166	0,185	0,483	0,432		
QP50M VV	270	0,40	0,161	0,180	0,498	0,444		
QP50M VV	280	0,40	0,156	0,175	0,512	0,457		
QP50M VV	290	0,40	0,152	0,171	0,526	0,469		
QP50M VV	300	0,40	0,148	0,166	0,540	0,481		
QP60M	160	0,50	-	-	-	-		
QP60M	170	0,50	-	-	-	-		
QP60M	180	0,50	-	-	-	-		
QP60M	190	0,50	-	-	-	-		
QP60M	200	0,50	0,133	0,155	0,603	0,518		
QP60M	210	0,50	0,128	0,149	0,625	0,536		
QP60M	220	0,50	0,124	0,144	0,647	0,555		
QP60M	230	0,50	0,120	0,140	0,668	0,573		
QP60M	240	0,50	0,116	0,136	0,688	0,590		
QP60M	250	0,50	0,113	0,132	0,708	0,607		
QP60M	260	0,50	0,110	0,128	0,728	0,624		
QP60M	270	0,50	0,107	0,125	0,747	0,640		
QP60M	280	0,50	0,104	0,122	0,766	0,656		
QP60M	290	0,50	0,102	0,119	0,784	0,671		
QP60M	300	0,50	0,100	0,117	0,802	0,686		
QP60M VV	160	0,50	-	-	-	-		
QP60M VV	170	0,50	-	-	-	-		
QP60M VV	180	0,50	-	-	-	-		

Schöck Isokorb typu:	Wysokość Isokorb H [mm]	Długość Isokorb L [m]	Współczynnik przewodzenia ciepła $\lambda_{eq}$ [W/(m*K)]		Opór cieplny $R_{eq}$ [m <sup>2</sup> K/W]		Oceniana różnica w poziomie kroków $\Delta L_{n,v,w}$ [dB] w porównaniu z ciągłą płytą stropową	
			bez ochrony ppoż.	z ochroną ppoż.	bez ochrony ppoż.	z ochroną ppoż.	bez ochrony ppoż.	z ochroną ppoż.
QP60M VV	190	0,50	-	-	-	-		
QP60M VV	200	0,50	0,200	0,222	0,399	0,360		
QP60M VV	210	0,50	0,192	0,214	0,416	0,375		
QP60M VV	220	0,50	0,185	0,206	0,432	0,389		
QP60M VV	230	0,50	0,179	0,199	0,448	0,403		
QP60M VV	240	0,50	0,173	0,192	0,463	0,417		
QP60M VV	250	0,50	0,167	0,186	0,479	0,430		
QP60M VV	260	0,50	0,162	0,180	0,494	0,444		
QP60M VV	270	0,50	0,157	0,175	0,509	0,457		
QP60M VV	280	0,50	0,153	0,170	0,523	0,470		
QP60M VV	290	0,50	0,149	0,166	0,538	0,482		
QP60M VV	300	0,50	0,145	0,162	0,552	0,495		
QP70L	160	0,30	-	-	-	-		
QP70L	170	0,30	-	-	-	-		
QP70L	180	0,30	-	-	-	-		
QP70L	190	0,30	-	-	-	-		
QP70L	200	0,30	0,167	0,193	0,478	0,415		
QP70L	210	0,30	0,161	0,186	0,497	0,431		
QP70L	220	0,30	0,155	0,179	0,516	0,446		
QP70L	230	0,30	0,150	0,174	0,534	0,461		
QP70L	240	0,30	0,145	0,168	0,552	0,476		
QP70L	250	0,30	0,141	0,163	0,569	0,490		
QP70L	260	0,30	0,136	0,159	0,586	0,504		
QP70L	270	0,30	0,133	0,154	0,603	0,518		
QP70L	280	0,30	0,129	0,151	0,619	0,531		
QP70L	290	0,30	0,126	0,147	0,636	0,545		
QP70L	300	0,30	0,123	0,144	0,651	0,557		
QP70L VV	160	0,30	-	-	-	-		
QP70L VV	170	0,30	-	-	-	-		
QP70L VV	180	0,30	-	-	-	-		
QP70L VV	190	0,30	-	-	-	-		
QP70L VV	200	0,30	0,244	0,270	0,328	0,297		
QP70L VV	210	0,30	0,234	0,259	0,342	0,309		
QP70L VV	220	0,30	0,225	0,249	0,356	0,321		
QP70L VV	230	0,30	0,217	0,240	0,369	0,333		
QP70L VV	240	0,30	0,209	0,232	0,383	0,345		
QP70L VV	250	0,30	0,202	0,225	0,396	0,356		
QP70L VV	260	0,30	0,196	0,218	0,409	0,367		
QP70L VV	270	0,30	0,190	0,211	0,422	0,378		
QP70L VV	280	0,30	0,184	0,205	0,435	0,389		

Schöck Isokorb typu:	Wysokość Isokorb H [mm]	Długość Isokorb L [m]	Współczynnik przewodzenia ciepła $\lambda_{eq}$ [W/(m*K)]		Opór cieplny $R_{eq}$ [m <sup>2</sup> K/W]		Oceniana różnica w poziomie kroków $\Delta L_{n,v,w}$ [dB] w porównaniu z ciągłą płytą stropową	
			bez ochrony ppoż.	z ochroną ppoż.	bez ochrony ppoż.	z ochroną ppoż.	bez ochrony ppoż.	z ochroną ppoż.
QP70L VV	290	0,30	0,179	0,200	0,447	0,400		
QP70L VV	300	0,30	0,174	0,195	0,460	0,411		
QP80L	160	0,40	-	-	-	-		
QP80L	170	0,40	-	-	-	-		
QP80L	180	0,40	-	-	-	-		
QP80L	190	0,40	-	-	-	-		
QP80L	200	0,40	0,184	0,207	0,435	0,386		
QP80L	210	0,40	0,177	0,199	0,453	0,401		
QP80L	220	0,40	0,170	0,192	0,470	0,416		
QP80L	230	0,40	0,164	0,186	0,487	0,431		
QP80L	240	0,40	0,159	0,180	0,503	0,445		
QP80L	250	0,40	0,154	0,174	0,520	0,459		
QP80L	260	0,40	0,149	0,169	0,536	0,473		
QP80L	270	0,40	0,145	0,164	0,552	0,487		
QP80L	280	0,40	0,141	0,160	0,567	0,500		
QP80L	290	0,40	0,137	0,156	0,582	0,513		
QP80L	300	0,40	0,134	0,152	0,597	0,526		
QP80L VV	160	0,40	-	-	-	-		
QP80L VV	170	0,40	-	-	-	-		
QP80L VV	180	0,40	-	-	-	-		
QP80L VV	190	0,40	-	-	-	-		
QP80L VV	200	0,40	0,270	0,294	0,296	0,273		
QP80L VV	210	0,40	0,259	0,282	0,309	0,284		
QP80L VV	220	0,40	0,249	0,271	0,322	0,296		
QP80L VV	230	0,40	0,239	0,261	0,334	0,307		
QP80L VV	240	0,40	0,231	0,252	0,346	0,318		
QP80L VV	250	0,40	0,223	0,243	0,359	0,329		
QP80L VV	260	0,40	0,216	0,236	0,371	0,340		
QP80L VV	270	0,40	0,209	0,228	0,383	0,350		
QP80L VV	280	0,40	0,203	0,222	0,395	0,361		
QP80L VV	290	0,40	0,197	0,216	0,406	0,371		
QP80L VV	300	0,40	0,192	0,210	0,418	0,381		
QPZ 10	160	0,30	-	-	-	-		
QPZ 10	170	0,30	0,064	-	1,26	-		
QPZ 10	180	0,30	0,062	0,094	1,29	0,85		
QPZ 10	190	0,30	0,060	0,092	1,32	0,87		
QPZ 10	200	0,30	0,059	0,090	1,35	0,89		
QPZ 10	210	0,30	0,058	0,088	1,38	0,91		
QPZ 10	220	0,30	0,057	0,086	1,41	0,93		
QPZ 10	230	0,30	0,056	0,084	1,43	0,95		

Schöck Isokorb typu:	Wysokość Isokorb H [mm]	Długość Isokorb L [m]	Współczynnik przewodzenia ciepła $\lambda_{eq}$ [W/(m*K)]		Opór cieplny $R_{eq}$ [m <sup>2</sup> K/W]		Oceniana różnica w poziomie kroków $\Delta L_{n,v,w}$ [dB] w porównaniu z ciągłą płytą stropową	
			bez ochrony ppoż.	z ochroną ppoż.	bez ochrony ppoż.	z ochroną ppoż.	bez ochrony ppoż.	z ochroną ppoż.
QPZ 10	240	0,30	0,055	0,083	1,46	0,97		
QPZ 10	250	0,30	0,054	0,081	1,48	0,98		
QPZ 40	160	0,30	-	-	-	-		
QPZ 40	170	0,30	-	-	-	-		
QPZ 40	180	0,30	0,078	-	1,03	-		
QPZ 40	190	0,30	0,075	0,107	1,06	0,75		
QPZ 40	200	0,30	0,073	0,104	1,09	0,77		
QPZ 40	210	0,30	0,071	0,101	1,12	0,79		
QPZ 40	220	0,30	0,070	0,099	1,15	0,81		
QPZ 40	230	0,30	0,068	0,097	1,18	0,83		
QPZ 40	240	0,30	0,067	0,095	1,20	0,85		
QPZ 40	250	0,30	0,065	0,093	1,22	0,86		
QPZ 60	160	0,30	-	-	-	-		
QPZ 60	170	0,30	-	-	-	-		
QPZ 60	180	0,30	-	-	-	-		
QPZ 60	190	0,30	0,093	-	0,86	-		
QPZ 60	200	0,30	0,090	0,121	0,88	0,66		
QPZ 60	210	0,30	0,088	0,118	0,91	0,68		
QPZ 60	220	0,30	0,085	0,114	0,94	0,70		
QPZ 60	230	0,30	0,083	0,112	0,96	0,72		
QPZ 60	240	0,30	0,081	0,109	0,99	0,73		
QPZ 60	250	0,30	0,079	0,107	1,01	0,75		
QPZ 70	160	0,40	-	-	-	-		
QPZ 70	170	0,40	-	-	-	-		
QPZ 70	180	0,40	-	-	-	-		
QPZ 70	190	0,40	0,101	-	0,79	-		
QPZ 70	200	0,40	0,097	0,125	0,82	0,64		
QPZ 70	210	0,40	0,094	0,121	0,85	0,66		
QPZ 70	220	0,40	0,092	0,117	0,87	0,68		
QPZ 70	230	0,40	0,089	0,114	0,90	0,70		
QPZ 70	240	0,40	0,087	0,111	0,92	0,72		
QPZ 70	250	0,40	0,085	0,109	0,94	0,74		
QPZ 80	160	0,30	-	-	-	-		
QPZ 80	170	0,30	-	-	-	-		
QPZ 80	180	0,30	-	-	-	-		
QPZ 80	190	0,30	-	-	-	-		
QPZ 80	200	0,30	0,111	-	0,72	-		
QPZ 80	210	0,30	0,107	0,137	0,75	0,58		
QPZ 80	220	0,30	0,104	0,133	0,77	0,60		
QPZ 80	230	0,30	0,101	0,129	0,79	0,62		

Schöck Isokorb typu:	Wysokość Isokorb H [mm]	Długość Isokorb L [m]	Współczynnik przewodzenia ciepła $\lambda_{eq}$ [W/(m*K)]		Opór cieplny $R_{eq}$ [m <sup>2</sup> K/W]		Oceniana różnica w poziomie kroków $\Delta L_{n,v,w}$ [dB] w porównaniu z ciągłą płytą stropową	
			bez ochrony ppoż.	z ochroną ppoż.	bez ochrony ppoż.	z ochroną ppoż.	bez ochrony ppoż.	z ochroną ppoż.
QPZ 80	240	0,30	0,098	0,126	0,82	0,64		
QPZ 80	250	0,30	0,095	0,123	0,84	0,65		
D30-VV6	160	1,00	0,172	0,192	0,47	0,42		
D30-VV6	170	1,00	0,163	0,183	0,49	0,44		
D30-VV6	180	1,00	0,156	0,174	0,51	0,46		
D30-VV6	190	1,00	0,150	0,167	0,53	0,48		
D30-VV6	200	1,00	0,144	0,160	0,56	0,50		
D30-VV6	210	1,00	0,139	0,154	0,58	0,52		
D30-VV6	220	1,00	0,134	0,149	0,60	0,54		
D30-VV6	230	1,00	0,130	0,144	0,62	0,56		
D30-VV6	240	1,00	0,126	0,139	0,64	0,57		
D30-VV6	250	1,00	0,122	0,135	0,66	0,59		
D30-VV8	160	1,00	-	-	-	-		
D30-VV8	170	1,00	0,187	0,206	0,43	0,39		
D30-VV8	180	1,00	0,178	0,196	0,45	0,41		
D30-VV8	190	1,00	0,171	0,188	0,47	0,43		
D30-VV8	200	1,00	0,164	0,180	0,49	0,44		
D30-VV8	210	1,00	0,158	0,173	0,51	0,46		
D30-VV8	220	1,00	0,152	0,167	0,53	0,48		
D30-VV8	230	1,00	0,147	0,161	0,54	0,50		
D30-VV8	240	1,00	0,142	0,156	0,56	0,51		
D30-VV8	250	1,00	0,138	0,151	0,58	0,53		
D30-VV10	160	1,00	-	-	-	-		
D30-VV10	170	1,00	-	-	-	-		
D30-VV10	180	1,00	0,206	0,225	0,39	0,36		
D30-VV10	190	1,00	0,197	0,215	0,41	0,37		
D30-VV10	200	1,00	0,189	0,206	0,42	0,39		
D30-VV10	210	1,00	0,182	0,197	0,44	0,41		
D30-VV10	220	1,00	0,175	0,190	0,46	0,42		
D30-VV10	230	1,00	0,169	0,183	0,47	0,44		
D30-VV10	240	1,00	0,163	0,177	0,49	0,45		
D30-VV10	250	1,00	0,158	0,171	0,51	0,47		
D50-VV6	160	1,00	0,214	0,234	0,37	0,34		
D50-VV6	170	1,00	0,203	0,222	0,39	0,36		
D50-VV6	180	1,00	0,194	0,212	0,41	0,38		
D50-VV6	190	1,00	0,185	0,203	0,43	0,39		
D50-VV6	200	1,00	0,178	0,194	0,45	0,41		
D50-VV6	210	1,00	0,171	0,187	0,47	0,43		
D50-VV6	220	1,00	0,165	0,180	0,49	0,45		
D50-VV6	230	1,00	0,159	0,173	0,50	0,46		

Schöck Isokorb typu:	Wysokość Isokorb H [mm]	Długość Isokorb L [m]	Współczynnik przewodzenia ciepła $\lambda_{eq}$ [W/(m*K)]		Opór cieplny $R_{eq}$ [m <sup>2</sup> K/W]		Oceniana różnica w poziomie kroków $\Delta L_{n,v,w}$ [dB] w porównaniu z ciągłą płytą stropową	
			bez ochrony ppoż.	z ochroną ppoż.	bez ochrony ppoż.	z ochroną ppoż.	bez ochrony ppoż.	z ochroną ppoż.
D50-VV6	240	1,00	0,154	0,168	0,52	0,48		
D50-VV6	250	1,00	0,149	0,162	0,54	0,49		
D50-VV8	160	1,00	-	-	-	-		
D50-VV8	170	1,00	0,226	0,246	0,35	0,33		
D50-VV8	180	1,00	0,216	0,234	0,37	0,34		
D50-VV8	190	1,00	0,206	0,223	0,39	0,36		
D50-VV8	200	1,00	0,198	0,214	0,40	0,37		
D50-VV8	210	1,00	0,190	0,205	0,42	0,39		
D50-VV8	220	1,00	0,183	0,198	0,44	0,40		
D50-VV8	230	1,00	0,176	0,190	0,45	0,42		
D50-VV8	240	1,00	0,170	0,184	0,47	0,43		
D50-VV8	250	1,00	0,165	0,178	0,49	0,45		
D50-VV10	160	1,00	-	-	-	-		
D50-VV10	170	1,00	-	-	-	-		
D50-VV10	180	1,00	0,244	0,262	0,33	0,31		
D50-VV10	190	1,00	0,233	0,250	0,34	0,32		
D50-VV10	200	1,00	0,223	0,239	0,36	0,33		
D50-VV10	210	1,00	0,214	0,230	0,37	0,35		
D50-VV10	220	1,00	0,206	0,221	0,39	0,36		
D50-VV10	230	1,00	0,198	0,213	0,40	0,38		
D50-VV10	240	1,00	0,192	0,205	0,42	0,39		
D50-VV10	250	1,00	0,185	0,198	0,43	0,40		
D70-VV6	160	1,00	0,277	0,298	0,29	0,27		
D70-VV6	170	1,00	0,263	0,282	0,30	0,28		
D70-VV6	180	1,00	0,250	0,268	0,32	0,30		
D70-VV6	190	1,00	0,239	0,256	0,33	0,31		
D70-VV6	200	1,00	0,229	0,245	0,35	0,33		
D70-VV6	210	1,00	0,219	0,235	0,36	0,34		
D70-VV6	220	1,00	0,211	0,226	0,38	0,35		
D70-VV6	230	1,00	0,203	0,217	0,39	0,37		
D70-VV6	240	1,00	0,196	0,210	0,41	0,38		
D70-VV6	250	1,00	0,190	0,203	0,42	0,39		
D70-VV8	160	1,00	-	-	-	-		
D70-VV8	170	1,00	0,286	0,305	0,28	0,26		
D70-VV8	180	1,00	0,272	0,290	0,29	0,28		
D70-VV8	190	1,00	0,260	0,277	0,31	0,29		
D70-VV8	200	1,00	0,248	0,265	0,32	0,30		
D70-VV8	210	1,00	0,238	0,254	0,34	0,32		
D70-VV8	220	1,00	0,229	0,244	0,35	0,33		
D70-VV8	230	1,00	0,220	0,235	0,36	0,34		



Schöck Isokorb typu:	Wysokość Isokorb H [mm]	Długość Isokorb L [m]	Współczynnik przewodzenia ciepła $\lambda_{eq}$ [W/(m*K)]		Opór cieplny $R_{eq}$ [m <sup>2</sup> K/W]		Oceniana różnica w poziomie kroków $\Delta L_{n,v,w}$ [dB] w porównaniu z ciągłą płytą stropową	
			bez ochrony ppoż.	z ochroną ppoż.	bez ochrony ppoż.	z ochroną ppoż.	bez ochrony ppoż.	z ochroną ppoż.
D70-VV8	240	1,00	0,213	0,226	0,38	0,35		
D70-VV8	250	1,00	0,206	0,219	0,39	0,37		
D70-VV10	160	1,00	-	-	-	-		
D70-VV10	170	1,00	-	-	-	-		
D70-VV10	180	1,00	0,300	0,319	0,27	0,25		
D70-VV10	190	1,00	0,286	0,304	0,28	0,26		
D70-VV10	200	1,00	0,274	0,290	0,29	0,28		
D70-VV10	210	1,00	0,262	0,278	0,30	0,29		
D70-VV10	220	1,00	0,252	0,267	0,32	0,30		
D70-VV10	230	1,00	0,243	0,257	0,33	0,31		
D70-VV10	240	1,00	0,234	0,247	0,34	0,32		
D70-VV10	250	1,00	0,226	0,239	0,35	0,33		
D90-VV6	160	1,00	0,320	0,340	0,25	0,24		
D90-VV6	170	1,00	0,303	0,322	0,26	0,25		
D90-VV6	180	1,00	0,288	0,306	0,28	0,26		
D90-VV6	190	1,00	0,275	0,292	0,29	0,27		
D90-VV6	200	1,00	0,263	0,279	0,30	0,29		
D90-VV6	210	1,00	0,252	0,267	0,32	0,30		
D90-VV6	220	1,00	0,242	0,257	0,33	0,31		
D90-VV6	230	1,00	0,233	0,247	0,34	0,32		
D90-VV6	240	1,00	0,224	0,238	0,36	0,34		
D90-VV6	250	1,00	0,217	0,230	0,37	0,35		
D90-VV8	160	1,00	-	-	-	-		
D90-VV8	170	1,00	0,326	0,345	0,25	0,23		
D90-VV8	180	1,00	0,310	0,328	0,26	0,24		
D90-VV8	190	1,00	0,295	0,313	0,27	0,26		
D90-VV8	200	1,00	0,282	0,299	0,28	0,27		
D90-VV8	210	1,00	0,270	0,286	0,30	0,28		
D90-VV8	220	1,00	0,260	0,275	0,31	0,29		
D90-VV8	230	1,00	0,250	0,264	0,32	0,30		
D90-VV8	240	1,00	0,241	0,255	0,33	0,31		
D90-VV8	250	1,00	0,233	0,246	0,34	0,33		
D90-VV10	160	1,00	-	-	-	-		
D90-VV10	170	1,00	-	-	-	-		
D90-VV10	180	1,00	0,338	0,356	0,24	0,22		
D90-VV10	190	1,00	0,322	0,339	0,25	0,24		
D90-VV10	200	1,00	0,308	0,324	0,26	0,25		
D90-VV10	210	1,00	0,295	0,310	0,27	0,26		
D90-VV10	220	1,00	0,283	0,298	0,28	0,27		
D90-VV10	230	1,00	0,272	0,286	0,29	0,28		

Schöck Isokorb typu:	Wysokość Isokorb H [mm]	Długość Isokorb L [m]	Współczynnik przewodzenia ciepła $\lambda_{eq}$ [W/(m*K)]		Opór cieplny $R_{eq}$ [m²K/W]		Oceniana różnica w poziomie kroków $\Delta L_{n,v,w}$ [dB] w porównaniu z ciągłą płytą stropową	
			bez ochrony ppoż.	z ochroną ppoż.	bez ochrony ppoż.	z ochroną ppoż.	bez ochrony ppoż.	z ochroną ppoż.
D90-VV10	240	1,00	0,262	0,276	0,31	0,29		
D90-VV10	250	1,00	0,253	0,266	0,32	0,30		
O	180	350	0,145	0,176	0,41	0,34		
O	190	350	0,139	0,169	0,43	0,36		
O	200	350	0,134	0,163	0,45	0,37		
O	210	350	0,129	0,157	0,46	0,38		
O	220	350	0,125	0,152	0,48	0,39		
O	230	350	0,121	0,147	0,50	0,41		
O	240	350	0,117	0,143	0,51	0,42		
O	250	350	0,114	0,139	0,53	0,43		
A	160	350	0,145	0,178	0,41	0,34		
A	170	350	0,138	0,170	0,43	0,35		
A	180	350	0,133	0,163	0,45	0,37		
A	190	350	0,127	0,157	0,47	0,38		
A	200	350	0,123	0,151	0,49	0,40		
A	210	350	0,118	0,146	0,51	0,41		
A	220	350	0,115	0,142	0,52	0,42		
A	230	350	0,111	0,138	0,54	0,44		
A	240	350	0,108	0,134	0,56	0,45		
A	250	350	0,105	0,130	0,57	0,46		
F	160	350	0,094	0,127	0,64	0,47		
F	170	350	0,091	0,122	0,66	0,49		
F	180	350	0,088	0,118	0,68	0,51		
F	190	350	0,085	0,114	0,71	0,52		
F	200	350	0,082	0,111	0,73	0,54		
F	210	350	0,080	0,108	0,75	0,56		
F	220	350	0,078	0,105	0,77	0,57		
F	230	350	0,076	0,103	0,79	0,59		
F	240	350	0,074	0,100	0,81	0,60		
F	250	350	0,073	0,098	0,83	0,61		
S1	400	220	0,094	--	0,85	--		
S2	400	220	0,388	--	0,21	--		
S3	400	220	0,523	--	0,15	--		
S4	400	220	0,687	--	0,12	--		
V6/4	160	1,0	0,046	--	1,10	--		
V6/4	170	1,0	0,045	--	1,11	--		
V6/4	180	1,0	0,044	0,062	1,13	0,80		
V6/4	190	1,0	0,044	0,061	1,14	0,82		
V6/4	200	1,0	0,043	0,060	1,15	0,84		
V6/4	210	1,0	0,043	0,058	1,16	0,85		

Schöck Isokorb typu:	Wysokość Isokorb H [mm]	Długość Isokorb L [m]	Współczynnik przewodzenia ciepła $\lambda_{eq}$ [W/(m*K)]		Opór cieplny $R_{eq}$ [m <sup>2</sup> K/W]		Oceniana różnica w poziomie kroków $\Delta L_{n,v,w}$ [dB] w porównaniu z ciągłą płytą stropową	
			bez ochrony ppoż.	z ochroną ppoż.	bez ochrony ppoż.	z ochroną ppoż.	bez ochrony ppoż.	z ochroną ppoż.
V6/4	220	1,0	0,043	0,057	1,17	0,87		
V6/4	230	1,0	0,042	0,056	1,18	0,89		
V6/4	240	1,0	0,042	0,056	1,19	0,90		
V6/4	250	1,0	0,042	0,055	1,20	0,91		
V6/6	160	1,0	0,051	--	0,98	--		
V6/6	170	1,0	0,050	--	1,00	--		
V6/6	180	1,0	0,049	0,067	1,02	0,75		
V6/6	190	1,0	0,048	0,065	1,03	0,76		
V6/6	200	1,0	0,048	0,064	1,05	0,78		
V6/6	210	1,0	0,047	0,063	1,06	0,80		
V6/6	220	1,0	0,047	0,061	1,07	0,82		
V6/6	230	1,0	0,046	0,060	1,09	0,83		
V6/6	240	1,0	0,046	0,059	1,10	0,85		
V6/6	250	1,0	0,045	0,058	1,11	0,86		
V6/8	160	1,0	0,056	--	0,89	--		
V6/8	170	1,0	0,055	--	0,91	--		
V6/8	180	1,0	0,054	0,072	0,93	0,70		
V6/8	190	1,0	0,053	0,070	0,95	0,72		
V6/8	200	1,0	0,052	0,068	0,96	0,73		
V6/8	210	1,0	0,051	0,067	0,98	0,75		
V6/8	220	1,0	0,050	0,065	0,99	0,77		
V6/8	230	1,0	0,050	0,064	1,01	0,78		
V6/8	240	1,0	0,049	0,063	1,02	0,80		
V6/8	250	1,0	0,049	0,062	1,03	0,81		
V6/10	160	1,0	0,061	--	0,81	--		
V6/10	170	1,0	0,060	--	0,83	--		
V6/10	180	1,0	0,059	0,077	0,85	0,65		
V6/10	190	1,0	0,057	0,074	0,87	0,67		
V6/10	200	1,0	0,056	0,072	0,89	0,69		
V6/10	210	1,0	0,055	0,071	0,91	0,71		
V6/10	220	1,0	0,054	0,069	0,92	0,73		
V6/10	230	1,0	0,053	0,067	0,94	0,74		
V6/10	240	1,0	0,053	0,066	0,95	0,76		
V6/10	250	1,0	0,052	0,065	0,96	0,77		
W1	150	1,5	0,080	0,102	1,00	0,78		
W1	160	1,5	0,077	0,098	1,03	0,82		
W1	170	1,5	0,075	0,094	1,07	0,85		
W1	180	1,5	0,073	0,091	1,10	0,88		
W1	190	1,5	0,071	0,088	1,13	0,91		
W1	200	1,5	0,069	0,085	1,16	0,94		

Schöck Isokorb typu:	Wysokość Isokorb H [mm]	Długość Isokorb L [m]	Współczynnik przewodzenia ciepła $\lambda_{eq}$ [W/(m*K)]		Opór cieplny $R_{eq}$ [m <sup>2</sup> K/W]		Oceniana różnica w poziomie kroków $\Delta L_{n,v,w}$ [dB] w porównaniu z ciągłą płytą stropową	
			bez ochrony ppoż.	z ochroną ppoż.	bez ochrony ppoż.	z ochroną ppoż.	bez ochrony ppoż.	z ochroną ppoż.
W1	210	1,5	0,067	0,083	1,19	0,97		
W1	220	1,5	0,066	0,080	1,22	0,99		
W1	230	1,5	0,064	0,078	1,25	1,02		
W1	240	1,5	0,063	0,077	1,27	1,04		
W1	250	1,5	0,062	0,070	1,29	1,14		
W2	150	1,5	0,106	0,128	0,75	0,62		
W2	160	1,5	0,102	0,122	0,79	0,65		
W2	170	1,5	0,098	0,117	0,82	0,68		
W2	180	1,5	0,094	0,112	0,85	0,71		
W2	190	1,5	0,091	0,108	0,88	0,74		
W2	200	1,5	0,088	0,105	0,91	0,76		
W2	210	1,5	0,086	0,101	0,93	0,79		
W2	220	1,5	0,083	0,098	0,96	0,81		
W2	230	1,5	0,081	0,095	0,99	0,84		
W2	240	1,5	0,079	0,093	1,01	0,86		
W2	250	1,5	0,077	0,086	1,03	0,93		
W3	150	1,5	0,139	0,161	0,58	0,50		
W3	160	1,5	0,132	0,153	0,60	0,52		
W3	170	1,5	0,127	0,146	0,63	0,55		
W3	180	1,5	0,121	0,140	0,66	0,57		
W3	190	1,5	0,117	0,134	0,68	0,60		
W3	200	1,5	0,113	0,129	0,71	0,62		
W3	210	1,5	0,109	0,125	0,73	0,64		
W3	220	1,5	0,106	0,120	0,76	0,66		
W3	230	1,5	0,102	0,117	0,78	0,69		
W3	240	1,5	0,100	0,113	0,80	0,71		
W3	250	1,5	0,097	0,106	0,83	0,76		
W4	150	1,5	0,178	0,200	0,45	0,40		
W4	160	1,5	0,169	0,190	0,47	0,42		
W4	170	1,5	0,161	0,180	0,50	0,44		
W4	180	1,5	0,154	0,172	0,52	0,46		
W4	190	1,5	0,148	0,165	0,54	0,48		
W4	200	1,5	0,142	0,158	0,56	0,50		
W4	210	1,5	0,137	0,153	0,58	0,52		
W4	220	1,5	0,132	0,147	0,60	0,54		
W4	230	1,5	0,128	0,142	0,62	0,56		
W4	240	1,5	0,124	0,138	0,64	0,58		
W4	250	1,5	0,121	0,129	0,66	0,62		
KS14	180	0,18	0,223	-	0,36	-		
KS14	200	0,18	0,204	-	0,39	-		

Schöck Isokorb typu:	Wysokość Isokorb H [mm]	Długość Isokorb L [m]	Współczynnik przewodzenia ciepła $\lambda_{eq}$ [W/(m*K)]		Opór cieplny $R_{eq}$ [m <sup>2</sup> K/W]		Oceniana różnica w poziomie kroków $\Delta L_{n,v,w}$ [dB] w porównaniu z ciągłą płytą stropową	
			bez ochrony ppoż.	z ochroną ppoż.	bez ochrony ppoż.	z ochroną ppoż.	bez ochrony ppoż.	z ochroną ppoż.
KS14	220	0,18	0,188	-	0,42	-	-	-
KS14-V10	180	0,18	0,249	-	0,32	-	-	-
KS14-V10	200	0,18	0,227	-	0,35	-	-	-
KS14-V10	220	0,18	0,210	-	0,38	-	-	-
KS14-VV	180	0,18	0,365	-	0,22	-	-	-
KS14-VV	200	0,18	0,332	-	0,24	-	-	-
KS14-VV	220	0,18	0,305	-	0,26	-	-	-
KS20	180	0,18	0,687	-	0,12	-	-	-
KS20	200	0,18	0,622	-	0,13	-	-	-
KS20	220	0,18	0,568	-	0,14	-	-	-
KS20-V12	180	0,18	0,719	-	0,11	-	-	-
KS20-V12	200	0,18	0,650	-	0,12	-	-	-
KS20-V12	220	0,18	0,594	-	0,13	-	-	-
QS10	180	0,18	0,250	-	0,32	-	-	-
QS10	200	0,18	0,228	-	0,35	-	-	-
QS10	220	0,18	0,211	-	0,38	-	-	-
QS12	180	0,18	0,282	-	0,28	-	-	-
QS12	200	0,18	0,257	-	0,31	-	-	-
QS12	220	0,18	0,237	-	0,34	-	-	-
KST16	250	0,18	0,650	-	0,12	-	-	-
KST22	250	0,18	0,850	-	0,09	-	-	-
QST16	80	0,18	1,400	-	0,06	-	-	-
QST22	80	0,18	1,900	-	0,04	-	-	-
ZQST16	80	0,18	1,400	-	0,06	-	-	-
ZQST22	80	0,18	1,900	-	0,04	-	-	-
ZST16	60	0,18	0,660	-	0,12	-	-	-
ZST22	60	0,18	1,300	-	0,06	-	-	-
KSH	180	0,18		-	0,22	-	-	-
QSH	180	0,18	0,250	-	0,32	-	-	-
HP-A	160	0,15	0,128	0,148	0,62	0,54	-	-
HP-A	180	0,15	0,118	0,136	0,68	0,59	-	-
HP-A	200	0,15	0,109	0,126	0,73	0,64	-	-
HP-B	160	0,15	0,107	0,128	0,74	0,63	-	-
HP-B	180	0,15	0,099	0,117	0,81	0,68	-	-
HP-B	200	0,15	0,093	0,109	0,86	0,73	-	-
HP-C	160	0,15	0,201	0,222	0,40	0,36	-	-
HP-C	180	0,15	0,183	0,201	0,44	0,40	-	-
HP-C	200	0,15	0,168	0,184	0,48	0,43	-	-
EQ-1	160	0,15	0,222	0,243	0,36	0,33	-	-

Schöck Isokorb typu:	Wysokość Isokorb H [mm]	Długość Isokorb L [m]	Współczynnik przewodzenia ciepła $\lambda_{eq}$ [W/(m*K)]		Opór cieplny $R_{eq}$ [m <sup>2</sup> K/W]		Oceniana różnica w poziomie kroków $\Delta L_{n,v,w}$ [dB] w porównaniu z ciągłą płytą stropową	
			bez ochrony ppoż.	z ochroną ppoż.	bez ochrony ppoż.	z ochroną ppoż.	bez ochrony ppoż.	z ochroną ppoż.
EQ-1	180	0,15	0,201	0,219	0,40	0,36	-	-
EQ-1	200	0,15	0,184	0,201	0,43	0,40		
EQ-2	160	0,15	0,457	0,478	0,17	0,17		
EQ-2	180	0,15	0,410	0,428	0,20	0,19		
EQ-2	200	0,15	0,373	0,389	0,21	0,21		

**Tablica 100.** Klasyfikacja w zakresie właściwości cieplnych łączników SCHÖCK ISOKORB o szerokości 120 mm (wartości obliczeniowe)

Schöck Isokorb typu:	Wysokość Isokorb H [mm]	Długość Isokorb L [m]	Współczynnik przewodzenia ciepła $\lambda_{eq}$ [W/(m*K)]		Opór cieplny $R_{eq}$ [m <sup>2</sup> K/W]		Oceniana różnica w poziomie kroków $DL_{n,v,w}$ [dB] w porównaniu z ciągłą płytą stropową	
			bez ochrony ppoż.	z ochroną ppoż.	bez ochrony ppoż.	z ochroną ppoż.	bez ochrony ppoż.	z ochroną ppoż.
KXT10	160	1,00	0,091	0,103	1,32	1,16	18,1	17,6
KXT10	170	1,00	0,087	0,099	1,37	1,21		
KXT10	180	1,00	0,084	0,096	1,42	1,26		
KXT10	190	1,00	0,082	0,092	1,47	1,30		
KXT10	200	1,00	0,079	0,089	1,51	1,34		
KXT10	210	1,00	0,077	0,087	1,55	1,38		
KXT10	220	1,00	0,075	0,084	1,59	1,42		
KXT10	230	1,00	0,074	0,082	1,63	1,46		
KXT10	240	1,00	0,072	0,080	1,67	1,50		
KXT10	250	1,00	0,070	0,078	1,71	1,53		
KXT10-V8	160	1,00	0,099	0,111	1,21	1,08	-	-
KXT10-V8	170	1,00	0,095	0,107	1,26	1,12		
KXT10-V8	180	1,00	0,092	0,103	1,31	1,17		
KXT10-V8	190	1,00	0,089	0,099	1,35	1,21		
KXT10-V8	200	1,00	0,086	0,096	1,40	1,25		
KXT10-V8	210	1,00	0,084	0,093	1,44	1,29		
KXT10-V8	220	1,00	0,081	0,090	1,48	1,33		
KXT10-V8	230	1,00	0,079	0,088	1,51	1,37		
KXT10-V8	240	1,00	0,077	0,086	1,55	1,40		
KXT10-V8	250	1,00	0,076	0,084	1,59	1,44		
KXT20	160	1,00	0,110	0,122	1,09	0,98	17,8	17,6
KXT20	170	1,00	0,106	0,117	1,14	1,02		
KXT20	180	1,00	0,102	0,113	1,18	1,07		
KXT20	190	1,00	0,098	0,108	1,22	1,11	-	-
KXT20	200	1,00	0,095	0,105	1,27	1,15		
KXT20	210	1,00	0,092	0,101	1,31	1,18		
KXT20	220	1,00	0,089	0,098	1,34	1,22		
KXT20	230	1,00	0,087	0,096	1,38	1,26		
KXT20	240	1,00	0,085	0,093	1,42	1,29		
KXT20	250	1,00	0,083	0,091	1,45	1,32		
KXT20-V8	160	1,00	0,118	0,131	1,01	0,92		
KXT20-V8	170	1,00	0,113	0,125	1,06	0,96		
KXT20-V8	180	1,00	0,109	0,120	1,10	1,00		
KXT20-V8	190	1,00	0,105	0,115	1,14	1,04		
KXT20-V8	200	1,00	0,101	0,111	1,18	1,08		
KXT20-V8	210	1,00	0,098	0,108	1,22	1,11		

Schöck Isokorb typu:	Wysokość Isokorb H [mm]	Długość Isokorb L [m]	Współczynnik przewodzenia ciepła $\lambda_{eq}$ [W/(m*K)]		Opór cieplny $R_{eq}$ [m <sup>2</sup> K/W]		Oceniana różnica w poziomie kroków $DL_{n,v,w}$ [dB] w porównaniu z ciągłą płytą stropową	
			bez ochrony ppoż.	z ochroną ppoż.	bez ochrony ppoż.	z ochroną ppoż.	bez ochrony ppoż.	z ochroną ppoż.
KXT20-V8	220	1,00	0,095	0,104	1,26	1,15	-	-
KXT20-V8	230	1,00	0,093	0,101	1,30	1,18		
KXT20-V8	240	1,00	0,090	0,098	1,33	1,22		
KXT20-V8	250	1,00	0,088	0,096	1,36	1,25		
KXT30	160	1,00	0,131	0,143	0,92	0,84	17,8	17,6
KXT30	170	1,00	0,125	0,137	0,96	0,88		
KXT30	180	1,00	0,120	0,131	1,00	0,92		
KXT30	190	1,00	0,115	0,126	1,04	0,95	-	-
KXT30	200	1,00	0,111	0,121	1,08	0,99		
KXT30	210	1,00	0,108	0,117	1,12	1,03		
KXT30	220	1,00	0,104	0,113	1,15	1,06		
KXT30	230	1,00	0,101	0,110	1,19	1,09		
KXT30	240	1,00	0,098	0,107	1,22	1,13		
KXT30	250	1,00	0,096	0,104	1,25	1,16		
KXT30-V8	160	1,00	0,143	0,156	0,84	0,77		
KXT30-V8	170	1,00	0,137	0,149	0,88	0,81		
KXT30-V8	180	1,00	0,131	0,142	0,91	0,84		
KXT30-V8	190	1,00	0,126	0,137	0,95	0,88		
KXT30-V8	200	1,00	0,122	0,132	0,99	0,91		
KXT30-V8	210	1,00	0,117	0,127	1,02	0,95		
KXT30-V8	220	1,00	0,114	0,123	1,06	0,98		
KXT30-V8	230	1,00	0,110	0,119	1,09	1,01		
KXT30-V8	240	1,00	0,107	0,115	1,12	1,04		
KXT30-V8	250	1,00	0,104	0,112	1,15	1,07		
KXT30-VV	160	1,00	0,162	0,175	0,74	0,69		
KXT30-VV	170	1,00	0,155	0,167	0,77	0,72		
KXT30-VV	180	1,00	0,148	0,159	0,81	0,75		
KXT30-VV	190	1,00	0,142	0,153	0,84	0,79		
KXT30-VV	200	1,00	0,137	0,147	0,88	0,82		
KXT30-VV	210	1,00	0,132	0,141	0,91	0,85		
KXT30-VV	220	1,00	0,127	0,136	0,94	0,88		
KXT30-VV	230	1,00	0,123	0,132	0,97	0,91		
KXT30-VV	240	1,00	0,120	0,128	1,00	0,94		
KXT30-VV	250	1,00	0,116	0,124	1,03	0,97		
KXT40	160	1,00	0,145	0,158	0,83	0,76	14,6	12,7
KXT40	170	1,00	0,139	0,150	0,87	0,80		
KXT40	180	1,00	0,133	0,144	0,90	0,83		
KXT40	190	1,00	0,128	0,138	0,94	0,87	-	-



Schöck Isokorb typu:	Wysokość Isokorb H [mm]	Długość Isokorb L [m]	Współczynnik przewodzenia ciepła $\lambda_{eq}$ [W/(m*K)]		Opór cieplny $R_{eq}$ [m <sup>2</sup> K/W]		Oceniana różnica w poziomie kroków DL <sub>n,v,w</sub> [dB] w porównaniu z ciągłą płytą stropową			
			bez ochrony ppoż.	z ochroną ppoż.	bez ochrony ppoż.	z ochroną ppoż.	bez ochrony ppoż.	z ochroną ppoż.		
KXT40	200	1,00	0,123	0,133	0,98	0,90	-	-		
KXT40	210	1,00	0,119	0,128	1,01	0,94				
KXT40	220	1,00	0,115	0,124	1,04	0,97				
KXT40	230	1,00	0,111	0,120	1,08	1,00				
KXT40	240	1,00	0,108	0,116	1,11	1,03				
KXT40	250	1,00	0,105	0,113	1,14	1,06				
KXT40-V8	160	1,00	0,156	0,168	0,77	0,71				
KXT40-V8	170	1,00	0,148	0,160	0,81	0,75				
KXT40-V8	180	1,00	0,142	0,153	0,84	0,78				
KXT40-V8	190	1,00	0,136	0,147	0,88	0,82				
KXT40-V8	200	1,00	0,131	0,141	0,91	0,85				
KXT40-V8	210	1,00	0,127	0,136	0,95	0,88				
KXT40-V8	220	1,00	0,122	0,131	0,98	0,91				
KXT40-V8	230	1,00	0,119	0,127	1,01	0,94				
KXT40-V8	240	1,00	0,115	0,123	1,04	0,97				
KXT40-V8	250	1,00	0,112	0,120	1,07	1,00				
KXT40-VV	160	1,00	0,170	0,182	0,71	0,66				
KXT40-VV	170	1,00	0,162	0,173	0,74	0,69				
KXT40-VV	180	1,00	0,155	0,166	0,78	0,72				
KXT40-VV	190	1,00	0,148	0,159	0,81	0,76				
KXT40-VV	200	1,00	0,143	0,152	0,84	0,79				
KXT40-VV	210	1,00	0,137	0,147	0,87	0,82				
KXT40-VV	220	1,00	0,133	0,142	0,90	0,85				
KXT40-VV	230	1,00	0,128	0,137	0,93	0,88				
KXT40-VV	240	1,00	0,124	0,133	0,96	0,90				
KXT40-VV	250	1,00	0,121	0,129	0,99	0,93				
KXT50	160	1,00	0,166	0,178	0,72	0,67			14,6	12,7
KXT50	170	1,00	0,158	0,170	0,76	0,71				
KXT50	180	1,00	0,151	0,162	0,79	0,74				
KXT50	190	1,00	0,145	0,155	0,83	0,77	-	-		
KXT50	200	1,00	0,139	0,149	0,86	0,80				
KXT50	210	1,00	0,134	0,144	0,89	0,83				
KXT50	220	1,00	0,130	0,139	0,92	0,86				
KXT50	230	1,00	0,126	0,134	0,95	0,89				
KXT50	240	1,00	0,122	0,130	0,98	0,92				
KXT50	250	1,00	0,118	0,126	1,01	0,95				
KXT50-V8	160	1,00	0,176	0,188	0,68	0,64				
KXT50-V8	170	1,00	0,168	0,179	0,72	0,67				

Schöck Isokorb typu:	Wysokość Isokorb H [mm]	Długość Isokorb L [m]	Współczynnik przewodzenia ciepła $\lambda_{eq}$ [W/(m*K)]		Opór cieplny $R_{eq}$ [m²K/W]		Oceniana różnica w poziomie kroków $DL_{n,v,w}$ [dB] w porównaniu z ciągłą płytą stropową	
			bez ochrony ppoż.	z ochroną ppoż.	bez ochrony ppoż.	z ochroną ppoż.	bez ochrony ppoż.	z ochroną ppoż.
KXT50-V8	180	1,00	0,160	0,171	0,75	0,70		
KXT50-V8	190	1,00	0,154	0,164	0,78	0,73		
KXT50-V8	200	1,00	0,148	0,158	0,81	0,76		
KXT50-V8	210	1,00	0,142	0,152	0,84	0,79		
KXT50-V8	220	1,00	0,137	0,146	0,87	0,82		
KXT50-V8	230	1,00	0,133	0,141	0,90	0,85		
KXT50-V8	240	1,00	0,129	0,137	0,93	0,88		
KXT50-V8	250	1,00	0,125	0,133	0,96	0,90		
KXT50-VV	160	1,00	0,200	0,212	0,60	0,57		
KXT50-VV	170	1,00	0,190	0,202	0,63	0,59		
KXT50-VV	180	1,00	0,181	0,193	0,66	0,62		
KXT50-VV	190	1,00	0,174	0,184	0,69	0,65		
KXT50-VV	200	1,00	0,167	0,177	0,72	0,68		
KXT50-VV	210	1,00	0,160	0,170	0,75	0,71		
KXT50-VV	220	1,00	0,155	0,164	0,78	0,73		
KXT50-VV	230	1,00	0,149	0,158	0,80	0,76		
KXT50-VV	240	1,00	0,145	0,153	0,83	0,78		
KXT50-VV	250	1,00	0,140	0,148	0,86	0,81		
KXT60-V8	160	1,00	0,224	0,236	0,54	0,51		
KXT60-V8	170	1,00	0,213	0,225	0,56	0,53	12,6	9,3
KXT60-V8	180	1,00	0,203	0,214	0,59	0,56		
KXT60-V8	190	1,00	0,194	0,204	0,62	0,59		
KXT60-V8	200	1,00	0,186	0,196	0,65	0,61		
KXT60-V8	210	1,00	0,179	0,188	0,67	0,64		
KXT60-V8	220	1,00	0,172	0,181	0,70	0,66		
KXT60-V8	230	1,00	0,166	0,175	0,72	0,69		
KXT60-V8	240	1,00	0,161	0,169	0,75	0,71		
KXT60-V8	250	1,00	0,156	0,164	0,77	0,73		
KXT60-V10	160	1,00	0,233	0,246	0,51	0,49		
KXT60-V10	170	1,00	0,222	0,233	0,54	0,51		
KXT60-V10	180	1,00	0,211	0,222	0,57	0,54		
KXT60-V10	190	1,00	0,202	0,212	0,59	0,56		
KXT60-V10	200	1,00	0,194	0,203	0,62	0,59		
KXT60-V10	210	1,00	0,186	0,195	0,65	0,61		
KXT60-V10	220	1,00	0,179	0,188	0,67	0,64		
KXT60-V10	230	1,00	0,173	0,181	0,69	0,66		
KXT60-V10	240	1,00	0,167	0,175	0,72	0,68		
KXT60-V10	250	1,00	0,162	0,170	0,74	0,71		

Schöck Isokorb typu:	Wysokość Isokorb H [mm]	Długość Isokorb L [m]	Współczynnik przewodzenia ciepła $\lambda_{eq}$ [W/(m*K)]		Opór cieplny $R_{eq}$ [m²K/W]		Oceniana różnica w poziomie kroków $DL_{n,v,w}$ [dB] w porównaniu z ciągłą płytą stropową	
			bez ochrony ppoż.	z ochroną ppoż.	bez ochrony ppoż.	z ochroną ppoż.	bez ochrony ppoż.	z ochroną ppoż.
KXT60-VV	160	1,00	0,248	0,260	0,48	0,46	-	-
KXT60-VV	170	1,00	0,235	0,247	0,51	0,49		
KXT60-VV	180	1,00	0,224	0,235	0,54	0,51		
KXT60-VV	190	1,00	0,214	0,224	0,56	0,53		
KXT60-VV	200	1,00	0,205	0,215	0,59	0,56		
KXT60-VV	210	1,00	0,197	0,206	0,61	0,58		
KXT60-VV	220	1,00	0,189	0,198	0,63	0,60		
KXT60-VV	230	1,00	0,183	0,191	0,66	0,63		
KXT60-VV	240	1,00	0,176	0,185	0,68	0,65		
KXT60-VV	250	1,00	0,171	0,179	0,70	0,67		
KXT70-V8	160	1,00	0,236	0,249	0,51	0,48		
KXT70-V8	170	1,00	0,224	0,236	0,53	0,51		
KXT70-V8	180	1,00	0,214	0,225	0,56	0,53		
KXT70-V8	190	1,00	0,204	0,215	0,59	0,56	-	-
KXT70-V8	200	1,00	0,196	0,206	0,61	0,58		
KXT70-V8	210	1,00	0,188	0,198	0,64	0,61		
KXT70-V8	220	1,00	0,181	0,190	0,66	0,63		
KXT70-V8	230	1,00	0,175	0,183	0,69	0,65		
KXT70-V8	240	1,00	0,169	0,177	0,71	0,68		
KXT70-V8	250	1,00	0,163	0,171	0,73	0,70		
KXT70-V10	160	1,00	0,246	0,258	0,49	0,47		
KXT70-V10	170	1,00	0,233	0,245	0,51	0,49		
KXT70-V10	180	1,00	0,222	0,233	0,54	0,51		
KXT70-V10	190	1,00	0,212	0,223	0,57	0,54		
KXT70-V10	200	1,00	0,203	0,213	0,59	0,56		
KXT70-V10	210	1,00	0,195	0,205	0,61	0,59		
KXT70-V10	220	1,00	0,188	0,197	0,64	0,61		
KXT70-V10	230	1,00	0,181	0,190	0,66	0,63		
KXT70-V10	240	1,00	0,175	0,183	0,69	0,65		
KXT70-V10	250	1,00	0,169	0,177	0,71	0,68		
KXT80 -V8	160	1,00	0,265	0,278	0,45	0,43	11,8	
KXT80 -V8	170	1,00	0,252	0,263	0,48	0,46		
KXT80 -V8	180	1,00	0,240	0,251	0,50	0,48		
KXT80 -V8	190	1,00	0,229	0,239	0,52	0,50	-	
KXT80 -V8	200	1,00	0,219	0,229	0,55	0,52		
KXT80 -V8	210	1,00	0,210	0,220	0,57	0,55		
KXT80 -V8	220	1,00	0,202	0,211	0,59	0,57		
KXT80 -V8	230	1,00	0,195	0,204	0,62	0,59		

Schöck Isokorb typu:	Wysokość Isokorb H [mm]	Długość Isokorb L [m]	Współczynnik przewodzenia ciepła $\lambda_{eq}$ [W/(m*K)]		Opór cieplny $R_{eq}$ [m <sup>2</sup> K/W]		Oceniana różnica w poziomie kroków DL <sub>n,v,w</sub> [dB] w porównaniu z ciągłą płytą stropową	
			bez ochrony ppoż.	z ochroną ppoż.	bez ochrony ppoż.	z ochroną ppoż.	bez ochrony ppoż.	z ochroną ppoż.
KXT80 -V8	240	1,00	0,188	0,197	0,64	0,61		
KXT80 -V8	250	1,00	0,182	0,190	0,66	0,63		
KXT80 -V10	160	1,00	0,270	0,282	0,44	0,42		
KXT80 -V10	170	1,00	0,256	0,268	0,47	0,45		
KXT80 -V10	180	1,00	0,244	0,255	0,49	0,47		
KXT80 -V10	190	1,00	0,233	0,243	0,52	0,49		
KXT80 -V10	200	1,00	0,223	0,233	0,54	0,52		
KXT80 -V10	210	1,00	0,214	0,223	0,56	0,54		
KXT80 -V10	220	1,00	0,206	0,215	0,58	0,56		
KXT80 -V10	230	1,00	0,198	0,207	0,61	0,58		
KXT80 -V10	240	1,00	0,191	0,200	0,63	0,60		
KXT80 -V10	250	1,00	0,185	0,193	0,65	0,62		
KXT90 -V8	160	1,00	0,275	0,287	0,44	0,42		
KXT90 -V8	170	1,00	0,261	0,272	0,46	0,44		
KXT90 -V8	180	1,00	0,248	0,259	0,48	0,46		
KXT90 -V8	190	1,00	0,237	0,247	0,51	0,49		
KXT90 -V8	200	1,00	0,227	0,237	0,53	0,51		
KXT90 -V8	210	1,00	0,218	0,227	0,55	0,53		
KXT90 -V8	220	1,00	0,209	0,218	0,57	0,55		
KXT90 -V8	230	1,00	0,202	0,210	0,60	0,57		
KXT90 -V8	240	1,00	0,195	0,203	0,62	0,59		
KXT90 -V8	250	1,00	0,188	0,196	0,64	0,61		
KXT90 -V10	160	1,00	0,280	0,292	0,43	0,41		
KXT90 -V10	170	1,00	0,265	0,277	0,45	0,43		
KXT90 -V10	180	1,00	0,252	0,263	0,48	0,46		
KXT90 -V10	190	1,00	0,241	0,251	0,50	0,48		
KXT90 -V10	200	1,00	0,230	0,240	0,52	0,50		
KXT90 -V10	210	1,00	0,221	0,231	0,54	0,52		
KXT90 -V10	220	1,00	0,213	0,222	0,56	0,54		
KXT90 -V10	230	1,00	0,205	0,214	0,59	0,56		
KXT90 -V10	240	1,00	0,198	0,206	0,61	0,58		
KXT90 -V10	250	1,00	0,191	0,199	0,63	0,60		
KXT100 -V8	160	1,00	0,282	0,295	0,43	0,41		
KXT100 -V8	170	1,00	0,268	0,279	0,45	0,43		
KXT100 -V8	180	1,00	0,255	0,266	0,47	0,45		
KXT100 -V8	190	1,00	0,243	0,254	0,49	0,47		
KXT100 -V8	200	1,00	0,233	0,243	0,52	0,49		
KXT100 -V8	210	1,00	0,223	0,233	0,54	0,52		

Schöck Isokorb typu:	Wysokość Isokorb H [mm]	Długość Isokorb L [m]	Współczynnik przewodzenia ciepła $\lambda_{eq}$ [W/(m*K)]		Opór cieplny $R_{eq}$ [m²K/W]		Oceniana różnica w poziomie kroków $DL_{n,v,w}$ [dB] w porównaniu z ciągłą płytą stropową	
			bez ochrony ppoż.	z ochroną ppoż.	bez ochrony ppoż.	z ochroną ppoż.	bez ochrony ppoż.	z ochroną ppoż.
KXT100 -V8	220	1,00	0,215	0,224	0,56	0,54		
KXT100 -V8	230	1,00	0,207	0,215	0,58	0,56		
KXT100 -V8	240	1,00	0,200	0,208	0,60	0,58		
KXT100 -V8	250	1,00	0,193	0,201	0,62	0,60		
KXT100 -V10	160	1,00	0,287	0,299	0,42	0,40		
KXT100 -V10	170	1,00	0,272	0,284	0,44	0,42		
KXT100 -V10	180	1,00	0,259	0,270	0,46	0,44		
KXT100 -V10	190	1,00	0,247	0,257	0,49	0,47		
KXT100 -V10	200	1,00	0,236	0,246	0,51	0,49		
KXT100 -V10	210	1,00	0,227	0,236	0,53	0,51		
KXT100 -V10	220	1,00	0,218	0,227	0,55	0,53		
KXT100 -V10	230	1,00	0,210	0,219	0,57	0,55		
KXT100 -V10	240	1,00	0,203	0,211	0,59	0,57		
KXT100 -V10	250	1,00	0,196	0,204	0,61	0,59		
KXT20-HV10	160	1,00	0,106	0,130	1,14	0,92		
KXT20-HV10	170	1,00	0,101	0,125	1,18	0,96		
KXT20-HV10	180	1,00	0,098	0,120	1,23	1,00		
KXT20-HV10	190	1,00	0,094	0,115	1,27	1,04		
KXT20-HV10	200	1,00	0,091	0,111	1,31	1,08		
KXT20-HV10	210	1,00	0,089	0,107	1,35	1,12		
KXT20-HV10	220	1,00	0,086	0,104	1,39	1,15		
KXT20-HV10	230	1,00	0,084	0,101	1,43	1,19		
KXT20-HV10	240	1,00	0,082	0,098	1,47	1,22		
KXT20-HV10	250	1,00	0,080	0,096	1,50	1,25		
KXT30-HV10	160	1,00	0,135	0,160	0,89	0,75		
KXT30-HV10	170	1,00	0,129	0,153	0,93	0,79		
KXT30-HV10	180	1,00	0,124	0,146	0,97	0,82		
KXT30-HV10	190	1,00	0,119	0,140	1,01	0,86		
KXT30-HV10	200	1,00	0,115	0,135	1,04	0,89		
KXT30-HV10	210	1,00	0,111	0,130	1,08	0,92		
KXT30-HV10	220	1,00	0,108	0,126	1,11	0,95		
KXT30-HV10	230	1,00	0,104	0,122	1,15	0,99		
KXT30-HV10	240	1,00	0,102	0,118	1,18	1,02		
KXT30-HV10	250	1,00	0,099	0,115	1,21	1,05		
KXT50-HV10	160	1,00	0,172	0,197	0,70	0,61		
KXT50-HV10	170	1,00	0,164	0,187	0,73	0,64		
KXT50-HV10	180	1,00	0,157	0,179	0,77	0,67		
KXT50-HV10	190	1,00	0,150	0,171	0,80	0,70		

Schöck Isokorb typu:	Wysokość Isokorb H [mm]	Długość Isokorb L [m]	Współczynnik przewodzenia ciepła $\lambda_{eq}$ [W/(m*K)]		Opór cieplny $R_{eq}$ [m <sup>2</sup> K/W]		Oceniana różnica w poziomie kroków DL <sub>n,v,w</sub> [dB] w porównaniu z ciągłą płytą stropową	
			bez ochrony ppoż.	z ochroną ppoż.	bez ochrony ppoż.	z ochroną ppoż.	bez ochrony ppoż.	z ochroną ppoż.
KXT50-HV10	200	1,00	0,144	0,164	0,83	0,73		
KXT50-HV10	210	1,00	0,139	0,158	0,86	0,76		
KXT50-HV10	220	1,00	0,134	0,152	0,89	0,79		
KXT50-HV10	230	1,00	0,130	0,147	0,92	0,82		
KXT50-HV10	240	1,00	0,126	0,142	0,95	0,84		
KXT50-HV10	250	1,00	0,122	0,138	0,98	0,87		
KXT60-HV10	160	1,00	0,246	0,271	0,49	0,44		
KXT60-HV10	170	1,00	0,234	0,257	0,51	0,47		
KXT60-HV10	180	1,00	0,223	0,245	0,54	0,49		
KXT60-HV10	190	1,00	0,213	0,233	0,56	0,51		
KXT60-HV10	200	1,00	0,204	0,223	0,59	0,54		
KXT60-HV10	210	1,00	0,196	0,214	0,61	0,56		
KXT60-HV10	220	1,00	0,188	0,206	0,64	0,58		
KXT60-HV10	230	1,00	0,182	0,199	0,66	0,60		
KXT60-HV10	240	1,00	0,175	0,192	0,68	0,63		
KXT60-HV10	250	1,00	0,170	0,186	0,71	0,65		
KXT20-HV15	160	1,00	0,106	0,130	1,14	0,92		
KXT20-HV15	170	1,00	0,101	0,125	1,18	0,96		
KXT20-HV15	180	1,00	0,098	0,120	1,23	1,00		
KXT20-HV15	190	1,00	0,094	0,115	1,27	1,04		
KXT20-HV15	200	1,00	0,091	0,111	1,31	1,08		
KXT20-HV15	210	1,00	0,089	0,107	1,35	1,12		
KXT20-HV15	220	1,00	0,086	0,104	1,39	1,15		
KXT20-HV15	230	1,00	0,084	0,101	1,43	1,19		
KXT20-HV15	240	1,00	0,082	0,098	1,47	1,22		
KXT20-HV15	250	1,00	0,080	0,096	1,50	1,25		
KXT30-HV15	160	1,00	0,135	0,160	0,89	0,75		
KXT30-HV15	170	1,00	0,129	0,153	0,93	0,79		
KXT30-HV15	180	1,00	0,124	0,146	0,97	0,82		
KXT30-HV15	190	1,00	0,119	0,140	1,01	0,86		
KXT30-HV15	200	1,00	0,115	0,135	1,04	0,89		
KXT30-HV15	210	1,00	0,111	0,130	1,08	0,92		
KXT30-HV15	220	1,00	0,108	0,126	1,11	0,95		
KXT30-HV15	230	1,00	0,104	0,122	1,15	0,99		
KXT30-HV15	240	1,00	0,102	0,118	1,18	1,02		
KXT30-HV15	250	1,00	0,099	0,115	1,21	1,05		
KXT50-HV15	160	1,00	0,172	0,197	0,70	0,61		
KXT50-HV15	170	1,00	0,164	0,187	0,73	0,64		

Schöck Isokorb typu:	Wysokość Isokorb H [mm]	Długość Isokorb L [m]	Współczynnik przewodzenia ciepła $\lambda_{eq}$ [W/(m*K)]		Opór cieplny $R_{eq}$ [m <sup>2</sup> K/W]		Oceniana różnica w poziomie kroków $DL_{n,v,w}$ [dB] w porównaniu z ciągłą płytą stropową	
			bez ochrony ppoż.	z ochroną ppoż.	bez ochrony ppoż.	z ochroną ppoż.	bez ochrony ppoż.	z ochroną ppoż.
KXT50-HV15	180	1,00	0,157	0,179	0,77	0,67		
KXT50-HV15	190	1,00	0,150	0,171	0,80	0,70		
KXT50-HV15	200	1,00	0,144	0,164	0,83	0,73		
KXT50-HV15	210	1,00	0,139	0,158	0,86	0,76		
KXT50-HV15	220	1,00	0,134	0,152	0,89	0,79		
KXT50-HV15	230	1,00	0,130	0,147	0,92	0,82		
KXT50-HV15	240	1,00	0,126	0,142	0,95	0,84		
KXT50-HV15	250	1,00	0,122	0,138	0,98	0,87		
KXT60-HV15	160	1,00	0,246	0,271	0,49	0,44		
KXT60-HV15	170	1,00	0,234	0,257	0,51	0,47		
KXT60-HV15	180	1,00	0,223	0,245	0,54	0,49		
KXT60-HV15	190	1,00	0,213	0,233	0,56	0,51		
KXT60-HV15	200	1,00	0,204	0,223	0,59	0,54		
KXT60-HV15	210	1,00	0,196	0,214	0,61	0,56		
KXT60-HV15	220	1,00	0,188	0,206	0,64	0,58		
KXT60-HV15	230	1,00	0,182	0,199	0,66	0,60		
KXT60-HV15	240	1,00	0,175	0,192	0,68	0,63		
KXT60-HV15	250	1,00	0,170	0,186	0,71	0,65		
KXT20-HV20	160	1,00	0,106	0,130	1,14	0,92	-	-
KXT20-HV20	170	1,00	0,101	0,125	1,18	0,96		
KXT20-HV20	180	1,00	0,098	0,120	1,23	1,00		
KXT20-HV20	190	1,00	0,094	0,115	1,27	1,04		
KXT20-HV20	200	1,00	0,091	0,111	1,31	1,08		
KXT20-HV20	210	1,00	0,089	0,107	1,35	1,12		
KXT20-HV20	220	1,00	0,086	0,104	1,39	1,15		
KXT20-HV20	230	1,00	0,084	0,101	1,43	1,19		
KXT20-HV20	240	1,00	0,082	0,098	1,47	1,22		
KXT20-HV20	250	1,00	0,080	0,096	1,50	1,25		
KXT30-HV20	160	1,00	0,135	0,160	0,89	0,75		
KXT30-HV20	170	1,00	0,129	0,153	0,93	0,79		
KXT30-HV20	180	1,00	0,124	0,146	0,97	0,82		
KXT30-HV20	190	1,00	0,119	0,140	1,01	0,86		
KXT30-HV20	200	1,00	0,115	0,135	1,04	0,89		
KXT30-HV20	210	1,00	0,111	0,130	1,08	0,92		
KXT30-HV20	220	1,00	0,108	0,126	1,11	0,95		
KXT30-HV20	230	1,00	0,104	0,122	1,15	0,99		
KXT30-HV20	240	1,00	0,102	0,118	1,18	1,02		
KXT30-HV20	250	1,00	0,099	0,115	1,21	1,05		

Schöck Isokorb typu:	Wysokość Isokorb H [mm]	Długość Isokorb L [m]	Współczynnik przewodzenia ciepła $\lambda_{eq}$ [W/(m*K)]		Opór cieplny $R_{eq}$ [m <sup>2</sup> K/W]		Oceniana różnica w poziomie kroków DL <sub>n,v,w</sub> [dB] w porównaniu z ciągłą płytą stropową	
			bez ochrony ppoż.	z ochroną ppoż.	bez ochrony ppoż.	z ochroną ppoż.	bez ochrony ppoż.	z ochroną ppoż.
KXT50-HV20	160	1,00	0,172	0,197	0,70	0,61		
KXT50-HV20	170	1,00	0,164	0,187	0,73	0,64		
KXT50-HV20	180	1,00	0,157	0,179	0,77	0,67		
KXT50-HV20	190	1,00	0,150	0,171	0,80	0,70		
KXT50-HV20	200	1,00	0,144	0,164	0,83	0,73		
KXT50-HV20	210	1,00	0,139	0,158	0,86	0,76		
KXT50-HV20	220	1,00	0,134	0,152	0,89	0,79		
KXT50-HV20	230	1,00	0,130	0,147	0,92	0,82		
KXT50-HV20	240	1,00	0,126	0,142	0,95	0,84		
KXT50-HV20	250	1,00	0,122	0,138	0,98	0,87		
KXT60-HV20	160	1,00	0,246	0,271	0,49	0,44		
KXT60-HV20	170	1,00	0,234	0,257	0,51	0,47		
KXT60-HV20	180	1,00	0,223	0,245	0,54	0,49		
KXT60-HV20	190	1,00	0,213	0,233	0,56	0,51		
KXT60-HV20	200	1,00	0,204	0,223	0,59	0,54		
KXT60-HV20	210	1,00	0,196	0,214	0,61	0,56		
KXT60-HV20	220	1,00	0,188	0,206	0,64	0,58		
KXT60-HV20	230	1,00	0,182	0,199	0,66	0,60		
KXT60-HV20	240	1,00	0,175	0,192	0,68	0,63		
KXT60-HV20	250	1,00	0,170	0,186	0,71	0,65		
KXT20-BH10	160	1,00	0,106	0,130	1,14	0,92		
KXT20-BH10	170	1,00	0,101	0,125	1,18	0,96		
KXT20-BH10	180	1,00	0,098	0,120	1,23	1,00		
KXT20-BH10	190	1,00	0,094	0,115	1,27	1,04		
KXT20-BH10	200	1,00	0,091	0,111	1,31	1,08		
KXT20-BH10	210	1,00	0,089	0,107	1,35	1,12		
KXT20-BH10	220	1,00	0,086	0,104	1,39	1,15		
KXT20-BH10	230	1,00	0,084	0,101	1,43	1,19		
KXT20-BH10	240	1,00	0,082	0,098	1,47	1,22		
KXT20-BH10	250	1,00	0,080	0,096	1,50	1,25		
KXT30-BH10	160	1,00	0,135	0,160	0,89	0,75		
KXT30-BH10	170	1,00	0,129	0,153	0,93	0,79		
KXT30-BH10	180	1,00	0,124	0,146	0,97	0,82		
KXT30-BH10	190	1,00	0,119	0,140	1,01	0,86		
KXT30-BH10	200	1,00	0,115	0,135	1,04	0,89		
KXT30-BH10	210	1,00	0,111	0,130	1,08	0,92		
KXT30-BH10	220	1,00	0,108	0,126	1,11	0,95		
KXT30-BH10	230	1,00	0,104	0,122	1,15	0,99		



Schöck Isokorb typu:	Wysokość Isokorb H [mm]	Długość Isokorb L [m]	Współczynnik przewodzenia ciepła $\lambda_{eq}$ [W/(m*K)]		Opór cieplny $R_{eq}$ [m <sup>2</sup> K/W]		Oceniana różnica w poziomie kroków DL <sub>n,v,w</sub> [dB] w porównaniu z ciągłą płytą stropową	
			bez ochrony ppoż.	z ochroną ppoż.	bez ochrony ppoż.	z ochroną ppoż.	bez ochrony ppoż.	z ochroną ppoż.
KXT30-BH10	240	1,00	0,102	0,118	1,18	1,02		
KXT30-BH10	250	1,00	0,099	0,115	1,21	1,05		
KXT50-BH10	160	1,00	0,172	0,197	0,70	0,61		
KXT50-BH10	170	1,00	0,164	0,187	0,73	0,64		
KXT50-BH10	180	1,00	0,157	0,179	0,77	0,67		
KXT50-BH10	190	1,00	0,150	0,171	0,80	0,70		
KXT50-BH10	200	1,00	0,144	0,164	0,83	0,73		
KXT50-BH10	210	1,00	0,139	0,158	0,86	0,76		
KXT50-BH10	220	1,00	0,134	0,152	0,89	0,79		
KXT50-BH10	230	1,00	0,130	0,147	0,92	0,82		
KXT50-BH10	240	1,00	0,126	0,142	0,95	0,84		
KXT50-BH10	250	1,00	0,122	0,138	0,98	0,87		
KXT60-BH10	160	1,00	0,246	0,271	0,49	0,44		
KXT60-BH10	170	1,00	0,234	0,257	0,51	0,47		
KXT60-BH10	180	1,00	0,223	0,245	0,54	0,49		
KXT60-BH10	190	1,00	0,213	0,233	0,56	0,51		
KXT60-BH10	200	1,00	0,204	0,223	0,59	0,54		
KXT60-BH10	210	1,00	0,196	0,214	0,61	0,56		
KXT60-BH10	220	1,00	0,188	0,206	0,64	0,58		
KXT60-BH10	230	1,00	0,182	0,199	0,66	0,60		
KXT60-BH10	240	1,00	0,175	0,192	0,68	0,63		
KXT60-BH10	250	1,00	0,170	0,186	0,71	0,65		
KXT20-BH15	160	1,00	0,106	0,130	1,14	0,92		
KXT20-BH15	170	1,00	0,101	0,125	1,18	0,96		
KXT20-BH15	180	1,00	0,098	0,120	1,23	1,00		
KXT20-BH15	190	1,00	0,094	0,115	1,27	1,04		
KXT20-BH15	200	1,00	0,091	0,111	1,31	1,08		
KXT20-BH15	210	1,00	0,089	0,107	1,35	1,12		
KXT20-BH15	220	1,00	0,086	0,104	1,39	1,15		
KXT20-BH15	230	1,00	0,084	0,101	1,43	1,19		
KXT20-BH15	240	1,00	0,082	0,098	1,47	1,22		
KXT20-BH15	250	1,00	0,080	0,096	1,50	1,25		
KXT30-BH15	160	1,00	0,135	0,160	0,89	0,75		
KXT30-BH15	170	1,00	0,129	0,153	0,93	0,79		
KXT30-BH15	180	1,00	0,124	0,146	0,97	0,82		
KXT30-BH15	190	1,00	0,119	0,140	1,01	0,86		
KXT30-BH15	200	1,00	0,115	0,135	1,04	0,89		
KXT30-BH15	210	1,00	0,111	0,130	1,08	0,92		

Schöck Isokorb typu:	Wysokość Isokorb H [mm]	Długość Isokorb L [m]	Współczynnik przewodzenia ciepła $\lambda_{eq}$ [W/(m*K)]		Opór cieplny $R_{eq}$ [m <sup>2</sup> K/W]		Oceniana różnica w poziomie kroków DL <sub>n,v,w</sub> [dB] w porównaniu z ciągłą płytą stropową	
			bez ochrony ppoż.	z ochroną ppoż.	bez ochrony ppoż.	z ochroną ppoż.	bez ochrony ppoż.	z ochroną ppoż.
KXT30-BH15	220	1,00	0,108	0,126	1,11	0,95		
KXT30-BH15	230	1,00	0,104	0,122	1,15	0,99		
KXT30-BH15	240	1,00	0,102	0,118	1,18	1,02		
KXT30-BH15	250	1,00	0,099	0,115	1,21	1,05		
KXT50-BH15	160	1,00	0,172	0,197	0,70	0,61		
KXT50-BH15	170	1,00	0,164	0,187	0,73	0,64		
KXT50-BH15	180	1,00	0,157	0,179	0,77	0,67		
KXT50-BH15	190	1,00	0,150	0,171	0,80	0,70		
KXT50-BH15	200	1,00	0,144	0,164	0,83	0,73		
KXT50-BH15	210	1,00	0,139	0,158	0,86	0,76		
KXT50-BH15	220	1,00	0,134	0,152	0,89	0,79		
KXT50-BH15	230	1,00	0,130	0,147	0,92	0,82		
KXT50-BH15	240	1,00	0,126	0,142	0,95	0,84		
KXT50-BH15	250	1,00	0,122	0,138	0,98	0,87		
KXT60-BH15	160	1,00	0,246	0,271	0,49	0,44		
KXT60-BH15	170	1,00	0,234	0,257	0,51	0,47		
KXT60-BH15	180	1,00	0,223	0,245	0,54	0,49		
KXT60-BH15	190	1,00	0,213	0,233	0,56	0,51		
KXT60-BH15	200	1,00	0,204	0,223	0,59	0,54		
KXT60-BH15	210	1,00	0,196	0,214	0,61	0,56		
KXT60-BH15	220	1,00	0,188	0,206	0,64	0,58		
KXT60-BH15	230	1,00	0,182	0,199	0,66	0,60		
KXT60-BH15	240	1,00	0,175	0,192	0,68	0,63		
KXT60-BH15	250	1,00	0,170	0,186	0,71	0,65		
KXT20-BH20	160	1,00	0,106	0,130	1,14	0,92		
KXT20-BH20	170	1,00	0,101	0,125	1,18	0,96		
KXT20-BH20	180	1,00	0,098	0,120	1,23	1,00		
KXT20-BH20	190	1,00	0,094	0,115	1,27	1,04		
KXT20-BH20	200	1,00	0,091	0,111	1,31	1,08		
KXT20-BH20	210	1,00	0,089	0,107	1,35	1,12		
KXT20-BH20	220	1,00	0,086	0,104	1,39	1,15		
KXT20-BH20	230	1,00	0,084	0,101	1,43	1,19		
KXT20-BH20	240	1,00	0,082	0,098	1,47	1,22		
KXT20-BH20	250	1,00	0,080	0,096	1,50	1,25		
KXT30-BH20	160	1,00	0,135	0,160	0,89	0,75		
KXT30-BH20	170	1,00	0,129	0,153	0,93	0,79		
KXT30-BH20	180	1,00	0,124	0,146	0,97	0,82		
KXT30-BH20	190	1,00	0,119	0,140	1,01	0,86		

Schöck Isokorb typu:	Wysokość Isokorb H [mm]	Długość Isokorb L [m]	Współczynnik przewodzenia ciepła $\lambda_{eq}$ [W/(m*K)]		Opór cieplny $R_{eq}$ [m <sup>2</sup> K/W]		Oceniana różnica w poziomie kroków DL <sub>n,v,w</sub> [dB] w porównaniu z ciągłą płytą stropową	
			bez ochrony ppoż.	z ochroną ppoż.	bez ochrony ppoż.	z ochroną ppoż.	bez ochrony ppoż.	z ochroną ppoż.
KXT30-BH20	200	1,00	0,115	0,135	1,04	0,89		
KXT30-BH20	210	1,00	0,111	0,130	1,08	0,92		
KXT30-BH20	220	1,00	0,108	0,126	1,11	0,95		
KXT30-BH20	230	1,00	0,104	0,122	1,15	0,99		
KXT30-BH20	240	1,00	0,102	0,118	1,18	1,02		
KXT30-BH20	250	1,00	0,099	0,115	1,21	1,05		
KXT50-BH20	160	1,00	0,172	0,197	0,70	0,61		
KXT50-BH20	170	1,00	0,164	0,187	0,73	0,64		
KXT50-BH20	180	1,00	0,157	0,179	0,77	0,67		
KXT50-BH20	190	1,00	0,150	0,171	0,80	0,70		
KXT50-BH20	200	1,00	0,144	0,164	0,83	0,73		
KXT50-BH20	210	1,00	0,139	0,158	0,86	0,76		
KXT50-BH20	220	1,00	0,134	0,152	0,89	0,79		
KXT50-BH20	230	1,00	0,130	0,147	0,92	0,82		
KXT50-BH20	240	1,00	0,126	0,142	0,95	0,84		
KXT50-BH20	250	1,00	0,122	0,138	0,98	0,87		
KXT60-BH20	160	1,00	0,246	0,271	0,49	0,44		
KXT60-BH20	170	1,00	0,234	0,257	0,51	0,47		
KXT60-BH20	180	1,00	0,223	0,245	0,54	0,49		
KXT60-BH20	190	1,00	0,213	0,233	0,56	0,51		
KXT60-BH20	200	1,00	0,204	0,223	0,59	0,54		
KXT60-BH20	210	1,00	0,196	0,214	0,61	0,56		
KXT60-BH20	220	1,00	0,188	0,206	0,64	0,58		
KXT60-BH20	230	1,00	0,182	0,199	0,66	0,60		
KXT60-BH20	240	1,00	0,175	0,192	0,68	0,63		
KXT60-BH20	250	1,00	0,170	0,186	0,71	0,65		
KXT20-WO	160	1,00	0,106	0,130	1,14	0,92		
KXT20-WO	170	1,00	0,101	0,125	1,18	0,96		
KXT20-WO	180	1,00	0,098	0,120	1,23	1,00		
KXT20-WO	190	1,00	0,094	0,115	1,27	1,04		
KXT20-WO	200	1,00	0,091	0,111	1,31	1,08		
KXT20-WO	210	1,00	0,089	0,107	1,35	1,12		
KXT20-WO	220	1,00	0,086	0,104	1,39	1,15		
KXT20-WO	230	1,00	0,084	0,101	1,43	1,19		
KXT20-WO	240	1,00	0,082	0,098	1,47	1,22		
KXT20-WO	250	1,00	0,080	0,096	1,50	1,25		
KXT30-WO	160	1,00	0,135	0,160	0,89	0,75		
KXT30-WO	170	1,00	0,129	0,153	0,93	0,79		

Schöck Isokorb typu:	Wysokość Isokorb H [mm]	Długość Isokorb L [m]	Współczynnik przewodzenia ciepła $\lambda_{eq}$ [W/(m*K)]		Opór cieplny $R_{eq}$ [m <sup>2</sup> K/W]		Oceniana różnica w poziomie kroków $DL_{n,v,w}$ [dB] w porównaniu z ciągłą płytą stropową	
			bez ochrony ppoż.	z ochroną ppoż.	bez ochrony ppoż.	z ochroną ppoż.	bez ochrony ppoż.	z ochroną ppoż.
KXT30-WO	180	1,00	0,124	0,146	0,97	0,82		
KXT30-WO	190	1,00	0,119	0,140	1,01	0,86		
KXT30-WO	200	1,00	0,115	0,135	1,04	0,89		
KXT30-WO	210	1,00	0,111	0,130	1,08	0,92		
KXT30-WO	220	1,00	0,108	0,126	1,11	0,95		
KXT30-WO	230	1,00	0,104	0,122	1,15	0,99		
KXT30-WO	240	1,00	0,102	0,118	1,18	1,02		
KXT30-WO	250	1,00	0,099	0,115	1,21	1,05		
KXT50-WO	160	1,00	0,172	0,197	0,70	0,61		
KXT50-WO	170	1,00	0,164	0,187	0,73	0,64		
KXT50-WO	180	1,00	0,157	0,179	0,77	0,67		
KXT50-WO	190	1,00	0,150	0,171	0,80	0,70		
KXT50-WO	200	1,00	0,144	0,164	0,83	0,73		
KXT50-WO	210	1,00	0,139	0,158	0,86	0,76		
KXT50-WO	220	1,00	0,134	0,152	0,89	0,79		
KXT50-WO	230	1,00	0,130	0,147	0,92	0,82		
KXT50-WO	240	1,00	0,126	0,142	0,95	0,84		
KXT50-WO	250	1,00	0,122	0,138	0,98	0,87		
KXT60-WO	160	1,00	0,246	0,271	0,49	0,44		
KXT60-WO	170	1,00	0,234	0,257	0,51	0,47		
KXT60-WO	180	1,00	0,223	0,245	0,54	0,49		
KXT60-WO	190	1,00	0,213	0,233	0,56	0,51		
KXT60-WO	200	1,00	0,204	0,223	0,59	0,54		
KXT60-WO	210	1,00	0,196	0,214	0,61	0,56		
KXT60-WO	220	1,00	0,188	0,206	0,64	0,58		
KXT60-WO	230	1,00	0,182	0,199	0,66	0,60		
KXT60-WO	240	1,00	0,175	0,192	0,68	0,63		
KXT60-WO	250	1,00	0,170	0,186	0,71	0,65		
KXT20-WU	160	1,00	0,106	0,130	1,14	0,92		
KXT20-WU	170	1,00	0,101	0,125	1,18	0,96		
KXT20-WU	180	1,00	0,098	0,120	1,23	1,00		
KXT20-WU	190	1,00	0,094	0,115	1,27	1,04		
KXT20-WU	200	1,00	0,091	0,111	1,31	1,08		
KXT20-WU	210	1,00	0,089	0,107	1,35	1,12		
KXT20-WU	220	1,00	0,086	0,104	1,39	1,15		
KXT20-WU	230	1,00	0,084	0,101	1,43	1,19		
KXT20-WU	240	1,00	0,082	0,098	1,47	1,22		
KXT20-WU	250	1,00	0,080	0,096	1,50	1,25		

Schöck Isokorb typu:	Wysokość Isokorb H [mm]	Długość Isokorb L [m]	Współczynnik przewodzenia ciepła $\lambda_{eq}$ [W/(m*K)]		Opór cieplny $R_{eq}$ [m <sup>2</sup> K/W]		Oceniana różnica w poziomie kroków DL <sub>n,v,w</sub> [dB] w porównaniu z ciągłą płytą stropową	
			bez ochrony ppoż.	z ochroną ppoż.	bez ochrony ppoż.	z ochroną ppoż.	bez ochrony ppoż.	z ochroną ppoż.
KXT30-WU	160	1,00	0,135	0,160	0,89	0,75		
KXT30-WU	170	1,00	0,129	0,153	0,93	0,79		
KXT30-WU	180	1,00	0,124	0,146	0,97	0,82		
KXT30-WU	190	1,00	0,119	0,140	1,01	0,86		
KXT30-WU	200	1,00	0,115	0,135	1,04	0,89		
KXT30-WU	210	1,00	0,111	0,130	1,08	0,92		
KXT30-WU	220	1,00	0,108	0,126	1,11	0,95		
KXT30-WU	230	1,00	0,104	0,122	1,15	0,99		
KXT30-WU	240	1,00	0,102	0,118	1,18	1,02		
KXT30-WU	250	1,00	0,099	0,115	1,21	1,05		
KXT50-WU	160	1,00	0,172	0,197	0,70	0,61		
KXT50-WU	170	1,00	0,164	0,187	0,73	0,64		
KXT50-WU	180	1,00	0,157	0,179	0,77	0,67		
KXT50-WU	190	1,00	0,150	0,171	0,80	0,70		
KXT50-WU	200	1,00	0,144	0,164	0,83	0,73		
KXT50-WU	210	1,00	0,139	0,158	0,86	0,76		
KXT50-WU	220	1,00	0,134	0,152	0,89	0,79		
KXT50-WU	230	1,00	0,130	0,147	0,92	0,82		
KXT50-WU	240	1,00	0,126	0,142	0,95	0,84		
KXT50-WU	250	1,00	0,122	0,138	0,98	0,87		
KXT60-WU	160	1,00	0,246	0,271	0,49	0,44		
KXT60-WU	170	1,00	0,234	0,257	0,51	0,47		
KXT60-WU	180	1,00	0,223	0,245	0,54	0,49		
KXT60-WU	190	1,00	0,213	0,233	0,56	0,51		
KXT60-WU	200	1,00	0,204	0,223	0,59	0,54		
KXT60-WU	210	1,00	0,196	0,214	0,61	0,56		
KXT60-WU	220	1,00	0,188	0,206	0,64	0,58		
KXT60-WU	230	1,00	0,182	0,199	0,66	0,60		
KXT60-WU	240	1,00	0,175	0,192	0,68	0,63		
KXT60-WU	250	1,00	0,170	0,186	0,71	0,65		
KFXT20	160	1,00	0,110	0,122	1,09	0,98		
KFXT20	170	1,00	0,106	0,117	1,14	1,02		
KFXT20	180	1,00	0,102	0,113	1,18	1,07		
KFXT20	190	1,00	0,098	0,108	1,22	1,11		
KFXT20	200	1,00	0,095	0,105	1,27	1,15		
KFXT20	210	1,00	0,092	0,101	1,31	1,18		
KFXT20	220	1,00	0,089	0,098	1,34	1,22		
KFXT20	230	1,00	0,087	0,096	1,38	1,26		

Schöck Isokorb typu:	Wysokość Isokorb H [mm]	Długość Isokorb L [m]	Współczynnik przewodzenia ciepła $\lambda_{eq}$ [W/(m*K)]		Opór cieplny $R_{eq}$ [m <sup>2</sup> K/W]		Oceniana różnica w poziomie kroków $DL_{n,v,w}$ [dB] w porównaniu z ciągłą płytą stropową	
			bez ochrony ppoż.	z ochroną ppoż.	bez ochrony ppoż.	z ochroną ppoż.	bez ochrony ppoż.	z ochroną ppoż.
KFXT20	240	1,00	0,085	0,093	1,42	1,29		
KFXT20	250	1,00	0,083	0,091	1,45	1,32		
KFXT30	160	1,00	0,131	0,143	0,92	0,84		
KFXT30	170	1,00	0,125	0,137	0,96	0,88		
KFXT30	180	1,00	0,120	0,131	1,00	0,92		
KFXT30	190	1,00	0,115	0,126	1,04	0,95		
KFXT30	200	1,00	0,111	0,121	1,08	0,99		
KFXT30	210	1,00	0,108	0,117	1,12	1,03		
KFXT30	220	1,00	0,104	0,113	1,15	1,06		
KFXT30	230	1,00	0,101	0,110	1,19	1,09		
KFXT30	240	1,00	0,098	0,107	1,22	1,13		
KFXT30	250	1,00	0,096	0,104	1,25	1,16		
KFXT40	160	1,00	0,145	0,158	0,83	0,76		
KFXT40	170	1,00	0,139	0,150	0,87	0,80		
KFXT40	180	1,00	0,133	0,144	0,90	0,83		
KFXT40	190	1,00	0,128	0,138	0,94	0,87		
KFXT40	200	1,00	0,123	0,133	0,98	0,90		
KFXT40	210	1,00	0,119	0,128	1,01	0,94		
KFXT40	220	1,00	0,115	0,124	1,04	0,97		
KFXT40	230	1,00	0,111	0,120	1,08	1,00		
KFXT40	240	1,00	0,108	0,116	1,11	1,03		
KFXT40	250	1,00	0,105	0,113	1,14	1,06		
KFXT50	160	1,00	0,166	0,178	0,72	0,67		
KFXT50	170	1,00	0,158	0,170	0,76	0,71		
KFXT50	180	1,00	0,151	0,162	0,79	0,74		
KFXT50	190	1,00	0,145	0,155	0,83	0,77		
KFXT50	200	1,00	0,139	0,149	0,86	0,80		
KFXT50	210	1,00	0,134	0,144	0,89	0,83		
KFXT50	220	1,00	0,130	0,139	0,92	0,86		
KFXT50	230	1,00	0,126	0,134	0,95	0,89		
KFXT50	240	1,00	0,122	0,130	0,98	0,92		
KFXT50	250	1,00	0,118	0,126	1,01	0,95		
KFXT70-V8	160	1,00	0,236	0,249	0,51	0,48		
KFXT70-V8	170	1,00	0,224	0,236	0,53	0,51		
KFXT70-V8	180	1,00	0,214	0,225	0,56	0,53		
KFXT70-V8	190	1,00	0,204	0,215	0,59	0,56		
KFXT70-V8	200	1,00	0,196	0,206	0,61	0,58		
KFXT70-V8	210	1,00	0,188	0,198	0,64	0,61		

Schöck Isokorb typu:	Wysokość Isokorb H [mm]	Długość Isokorb L [m]	Współczynnik przewodzenia ciepła $\lambda_{eq}$ [W/(m*K)]		Opór cieplny $R_{eq}$ [m²K/W]		Oceniana różnica w poziomie kroków $DL_{n,v,w}$ [dB] w porównaniu z ciągłą płytą stropową	
			bez ochrony ppoż.	z ochroną ppoż.	bez ochrony ppoż.	z ochroną ppoż.	bez ochrony ppoż.	z ochroną ppoż.
KFXT70-V8	220	1,00	0,181	0,190	0,66	0,63		
KFXT70-V8	230	1,00	0,175	0,183	0,69	0,65		
KFXT70-V8	240	1,00	0,169	0,177	0,71	0,68		
KFXT70-V8	250	1,00	0,163	0,171	0,73	0,70		
QXT 10	160	1,00	0,067	0,087	1,80	1,38		
QXT 10	170	1,00	0,065	0,084	1,85	1,43		
QXT 10	180	1,00	0,063	0,081	1,90	1,48		
QXT 10	190	1,00	0,062	0,079	1,95	1,52		
QXT 10	200	1,00	0,060	0,076	2,00	1,57		
QXT 10	210	1,00	0,059	0,074	2,04	1,61		
QXT 10	220	1,00	0,058	0,073	2,08	1,65		
QXT 10	230	1,00	0,057	0,071	2,12	1,69		
QXT 10	240	1,00	0,056	0,069	2,15	1,73		
QXT 10	250	1,00	0,055	0,068	2,19	1,77		
QXT 20	160	1,00	0,069	0,090	1,73	1,34		
QXT 20	170	1,00	0,067	0,086	1,78	1,39		
QXT 20	180	1,00	0,065	0,084	1,84	1,44		
QXT 20	190	1,00	0,064	0,081	1,88	1,48		
QXT 20	200	1,00	0,062	0,079	1,93	1,53		
QXT 20	210	1,00	0,061	0,076	1,97	1,57		
QXT 20	220	1,00	0,060	0,075	2,01	1,61		
QXT 20	230	1,00	0,059	0,073	2,05	1,65		
QXT 20	240	1,00	0,058	0,071	2,09	1,69		
QXT 20	250	1,00	0,057	0,070	2,12	1,72		
QXT 30	160	1,00	0,075	0,095	1,61	1,26		
QXT 30	170	1,00	0,072	0,091	1,66	1,31		
QXT 30	180	1,00	0,070	0,088	1,71	1,36		
QXT 30	190	1,00	0,068	0,085	1,76	1,41		
QXT 30	200	1,00	0,066	0,083	1,81	1,45		
QXT 30	210	1,00	0,065	0,081	1,85	1,49		
QXT 30	220	1,00	0,064	0,078	1,89	1,53		
QXT 30	230	1,00	0,062	0,076	1,93	1,57		
QXT 30	240	1,00	0,061	0,075	1,97	1,61		
QXT 30	250	1,00	0,060	0,073	2,00	1,64		
QXT 40	160	1,00	0,080	0,100	1,50	1,20		
QXT 40	170	1,00	0,077	0,096	1,55	1,24		
QXT 40	180	1,00	0,075	0,093	1,60	1,29		
QXT 40	190	1,00	0,073	0,090	1,65	1,34		

Schöck Isokorb typu:	Wysokość Isokorb H [mm]	Długość Isokorb L [m]	Współczynnik przewodzenia ciepła $\lambda_{eq}$ [W/(m*K)]		Opór cieplny $R_{eq}$ [m <sup>2</sup> K/W]		Oceniana różnica w poziomie kroków DL <sub>n,v,w</sub> [dB] w porównaniu z ciągłą płytą stropową	
			bez ochrony ppoż.	z ochroną ppoż.	bez ochrony ppoż.	z ochroną ppoż.	bez ochrony ppoż.	z ochroną ppoż.
QXT 40	200	1,00	0,071	0,087	1,70	1,38		
QXT 40	210	1,00	0,069	0,085	1,74	1,42		
QXT 40	220	1,00	0,067	0,082	1,78	1,46		
QXT 40	230	1,00	0,066	0,080	1,82	1,50		
QXT 40	240	1,00	0,065	0,078	1,86	1,53		
QXT 40	250	1,00	0,063	0,076	1,89	1,57		
QXT 60	160	1,00	0,086	-	1,39	-		
QXT 60	170	1,00	0,083	0,103	1,44	1,17		
QXT 60	180	1,00	0,081	0,099	1,49	1,22		
QXT 60	190	1,00	0,078	0,095	1,54	1,26		
QXT 60	200	1,00	0,076	0,092	1,58	1,30		
QXT 60	210	1,00	0,074	0,089	1,62	1,34		
QXT 60	220	1,00	0,072	0,087	1,66	1,38		
QXT 60	230	1,00	0,070	0,085	1,70	1,42		
QXT 60	240	1,00	0,069	0,083	1,74	1,45		
QXT 60	250	1,00	0,068	0,081	1,78	1,49		
QXT 70	160	1,00	-	-	-	-		
QXT 70	170	1,00	0,087	-	1,38	-		
QXT 70	180	1,00	0,084	0,102	1,43	1,45		
QXT 70	190	1,00	0,081	0,099	1,48	1,22		
QXT 70	200	1,00	0,079	0,095	1,52	1,26		
QXT 70	210	1,00	0,077	0,092	1,56	1,30		
QXT 70	220	1,00	0,075	0,090	1,60	1,34		
QXT 70	230	1,00	0,073	0,087	1,64	1,37		
QXT 70	240	1,00	0,071	0,085	1,68	1,41		
QXT 70	250	1,00	0,070	0,083	1,72	1,45		
QXT 80	160	1,00	-	-	-	-		
QXT 80	170	1,00	0,098	-	1,22	-		
QXT 80	180	1,00	0,095	0,113	1,27	1,06		
QXT 80	190	1,00	0,092	0,109	1,31	1,10		
QXT 80	200	1,00	0,089	0,105	1,35	1,14		
QXT 80	210	1,00	0,086	0,102	1,39	1,18		
QXT 80	220	1,00	0,084	0,099	1,43	1,22		
QXT 80	230	1,00	0,082	0,096	1,47	1,25		
QXT 80	240	1,00	0,080	0,093	1,51	1,29		
QXT 80	250	1,00	0,078	0,091	1,54	1,32		
QXT 90	160	1,00	-	-	-	-		
QXT 90	170	1,00	0,110	-	1,09	-		



Schöck Isokorb typu:	Wysokość Isokorb H [mm]	Długość Isokorb L [m]	Współczynnik przewodzenia ciepła $\lambda_{eq}$ [W/(m*K)]		Opór cieplny $R_{eq}$ [m <sup>2</sup> K/W]		Oceniana różnica w poziomie kroków DL <sub>n,v,w</sub> [dB] w porównaniu z ciągłą płytą stropową	
			bez ochrony ppoż.	z ochroną ppoż.	bez ochrony ppoż.	z ochroną ppoż.	bez ochrony ppoż.	z ochroną ppoż.
QXT 90	180	1,00	0,106	0,124	1,14	0,97		
QXT 90	190	1,00	0,102	0,119	1,18	1,01		
QXT 90	200	1,00	0,098	0,115	1,22	1,05		
QXT 90	210	1,00	0,095	0,111	1,26	1,08		
QXT 90	220	1,00	0,093	0,107	1,30	1,12		
QXT 90	230	1,00	0,090	0,104	1,33	1,15		
QXT 90	240	1,00	0,088	0,101	1,37	1,18		
QXT 90	250	1,00	0,086	0,099	1,40	1,22		
QXT 10 + QXT 10	160	1,00	0,080	0,100	1,50	1,20		
QXT 10 + QXT 10	170	1,00	0,077	0,096	1,55	1,24		
QXT 10 + QXT 10	180	1,00	0,075	0,093	1,60	1,29		
QXT 10 + QXT 10	190	1,00	0,073	0,090	1,65	1,34		
QXT 10 + QXT 10	200	1,00	0,071	0,087	1,70	1,38		
QXT 10 + QXT 10	210	1,00	0,069	0,085	1,74	1,42		
QXT 10 + QXT 10	220	1,00	0,067	0,082	1,78	1,46		
QXT 10 + QXT 10	230	1,00	0,066	0,080	1,82	1,50		
QXT 10 + QXT 10	240	1,00	0,065	0,078	1,86	1,53		
QXT 10 + QXT 10	250	1,00	0,063	0,076	1,89	1,57		
QXT 20 + QXT 20	160	1,00	0,085	0,106	1,41	1,14		
QXT 20 + QXT 20	170	1,00	0,082	0,101	1,46	1,18		
QXT 20 + QXT 20	180	1,00	0,079	0,098	1,51	1,23		
QXT 20 + QXT 20	190	1,00	0,077	0,094	1,56	1,27		
QXT 20 + QXT 20	200	1,00	0,075	0,091	1,60	1,31		
QXT 20 + QXT 20	210	1,00	0,073	0,089	1,64	1,35		
QXT 20 + QXT 20	220	1,00	0,071	0,086	1,68	1,39		

Schöck Isokorb typu:	Wysokość Isokorb H [mm]	Długość Isokorb L [m]	Współczynnik przewodzenia ciepła $\lambda_{eq}$ [W/(m*K)]		Opór cieplny $R_{eq}$ [m²K/W]		Oceniana różnica w poziomie kroków $DL_{n,v,w}$ [dB] w porównaniu z ciągłą płytą stropową	
			bez ochrony ppoż.	z ochroną ppoż.	bez ochrony ppoż.	z ochroną ppoż.	bez ochrony ppoż.	z ochroną ppoż.
QXT 20 + QXT 20	230	1,00	0,070	0,084	1,72	1,43		
QXT 20 + QXT 20	240	1,00	0,068	0,082	1,76	1,47		
QXT 20 + QXT 20	250	1,00	0,067	0,080	1,80	1,50		
QXT 30 + QXT 30	160	1,00	0,096	0,116	1,25	1,03		
QXT 30 + QXT 30	170	1,00	0,092	0,111	1,30	1,08		
QXT 30 + QXT 30	180	1,00	0,089	0,107	1,35	1,12		
QXT 30 + QXT 30	190	1,00	0,086	0,103	1,40	1,16		
QXT 30 + QXT 30	200	1,00	0,083	0,100	1,44	1,20		
QXT 30 + QXT 30	210	1,00	0,081	0,097	1,48	1,24		
QXT 30 + QXT 30	220	1,00	0,079	0,094	1,52	1,28		
QXT 30 + QXT 30	230	1,00	0,077	0,091	1,56	1,32		
QXT 30 + QXT 30	240	1,00	0,075	0,089	1,60	1,35		
QXT 30 + QXT 30	250	1,00	0,074	0,087	1,63	1,39		
QXT 40 + QXT 40	160	1,00	0,106	0,127	1,13	0,95		
QXT 40 + QXT 40	170	1,00	0,102	0,121	1,18	0,99		
QXT 40 + QXT 40	180	1,00	0,098	0,116	1,22	1,03		
QXT 40 + QXT 40	190	1,00	0,095	0,112	1,26	1,07		
QXT 40 + QXT 40	200	1,00	0,092	0,108	1,31	1,11		
QXT 40 + QXT 40	210	1,00	0,089	0,105	1,35	1,15		
QXT 40 + QXT 40	220	1,00	0,087	0,101	1,39	1,18		
QXT 40 + QXT 40	230	1,00	0,084	0,099	1,42	1,22		
QXT 40 + QXT 40	240	1,00	0,082	0,096	1,46	1,25		

Schöck Isokorb typu:	Wysokość Isokorb H [mm]	Długość Isokorb L [m]	Współczynnik przewodzenia ciepła $\lambda_{eq}$ [W/(m*K)]		Opór cieplny $R_{eq}$ [m <sup>2</sup> K/W]		Oceniana różnica w poziomie kroków DL <sub>n,v,w</sub> [dB] w porównaniu z ciągłą płytą stropową	
			bez ochrony ppoż.	z ochroną ppoż.	bez ochrony ppoż.	z ochroną ppoż.	bez ochrony ppoż.	z ochroną ppoż.
QXT 40 + QXT 40	250	1,00	0,080	0,093	1,49	1,29		
QPXT10	160	0,30	-	-	-	-		
QPXT10	170	0,30	-	-	-	-		
QPXT10	180	0,30	0,120	-	1,00	-		
QPXT10	190	0,30	0,116	0,144	1,04	0,83		
QPXT10	200	0,30	0,112	0,139	1,08	0,86		
QPXT10	210	0,30	0,108	0,134	1,11	0,89		
QPXT10	220	0,30	0,105	0,130	1,15	0,92		
QPXT10	230	0,30	0,101	0,127	1,18	0,95		
QPXT10	240	0,30	0,099	0,123	1,22	0,97		
QPXT10	250	0,30	0,096	0,120	1,25	1,00		
QPXT20	160	0,40	-	-	-	-		
QPXT20	170	0,40	-	-	-	-		
QPXT20	180	0,40	0,130	-	0,92	-		
QPXT20	190	0,40	0,125	0,150	0,96	0,80		
QPXT20	200	0,40	0,120	0,145	1,00	0,83		
QPXT20	210	0,40	0,116	0,140	1,03	0,86		
QPXT20	220	0,40	0,113	0,136	1,07	0,89		
QPXT20	230	0,40	0,109	0,132	1,10	0,91		
QPXT20	240	0,40	0,106	0,128	1,13	0,94		
QPXT20	250	0,40	0,103	0,124	1,16	0,96		
QPXT30	160	0,50	-	-	-	-		
QPXT30	170	0,50	-	-	-	-		
QPXT30	180	0,50	0,137	-	0,87	-		
QPXT30	190	0,50	0,132	0,156	0,91	0,77		
QPXT30	200	0,50	0,127	0,150	0,94	0,80		
QPXT30	210	0,50	0,123	0,145	0,98	0,83		
QPXT30	220	0,50	0,119	0,140	1,01	0,86		
QPXT30	230	0,50	0,115	0,136	1,04	0,88		
QPXT30	240	0,50	0,112	0,132	1,08	0,91		
QPXT30	250	0,50	0,108	0,128	1,11	0,94		
QPXT40	160	0,30	-	-	-	-		
QPXT40	170	0,30	-	-	-	-		
QPXT40	180	0,30	-	-	-	-		
QPXT40	190	0,30	0,153	-	0,79	-		
QPXT40	200	0,30	0,147	0,174	0,82	0,69		
QPXT40	210	0,30	0,141	0,168	0,85	0,71		
QPXT40	220	0,30	0,137	0,162	0,88	0,74		

Schöck Isokorb typu:	Wysokość Isokorb H [mm]	Długość Isokorb L [m]	Współczynnik przewodzenia ciepła $\lambda_{eq}$ [W/(m*K)]		Opór cieplny $R_{eq}$ [m <sup>2</sup> K/W]		Oceniana różnica w poziomie kroków DL <sub>n,v,w</sub> [dB] w porównaniu z ciągłą płytą stropową	
			bez ochrony ppoż.	z ochroną ppoż.	bez ochrony ppoż.	z ochroną ppoż.	bez ochrony ppoż.	z ochroną ppoż.
QPXT40	230	0,30	0,132	0,157	0,91	0,76		
QPXT40	240	0,30	0,128	0,153	0,94	0,79		
QPXT40	250	0,30	0,124	0,148	0,97	0,81		
QPXT50	160	0,40	-	-	-	-		
QPXT50	170	0,40	-	-	-	-		
QPXT50	180	0,40	-	-	-	-		
QPXT50	190	0,40	0,161	-	0,74	-		
QPXT50	200	0,40	0,155	0,180	0,77	0,67		
QPXT50	210	0,40	0,149	0,173	0,80	0,69		
QPXT50	220	0,40	0,144	0,167	0,83	0,72		
QPXT50	230	0,40	0,139	0,162	0,86	0,74		
QPXT50	240	0,40	0,135	0,157	0,89	0,77		
QPXT50	250	0,40	0,131	0,152	0,92	0,79		
QPXT60	160	0,30	-	-	-	-		
QPXT60	170	0,30	-	-	-	-		
QPXT60	180	0,30	-	-	-	-		
QPXT60	190	0,30	-	-	-	-		
QPXT60	200	0,30	0,188	-	0,64	-		
QPXT60	210	0,30	0,180	0,207	0,67	0,58		
QPXT60	220	0,30	0,174	0,199	0,69	0,60		
QPXT60	230	0,30	0,168	0,193	0,72	0,62		
QPXT60	240	0,30	0,162	0,187	0,74	0,64		
QPXT60	250	0,30	0,157	0,181	0,76	0,66		
QPXT70	160	0,40	-	-	-	-		
QPXT70	170	0,40	-	-	-	-		
QPXT70	180	0,40	-	-	-	-		
QPXT70	190	0,40	-	-	-	-		
QPXT70	200	0,40	0,184	-	0,65	-		
QPXT70	210	0,40	0,177	0,200	0,68	0,60		
QPXT70	220	0,40	0,170	0,193	0,70	0,62		
QPXT70	230	0,40	0,164	0,187	0,73	0,64		
QPXT70	240	0,40	0,159	0,181	0,76	0,66		
QPXT70	250	0,40	0,154	0,175	0,78	0,69		
QPXT75	160	0,40	-	-	-	-		
QPXT75	170	0,40	-	-	-	-		
QPXT75	180	0,40	-	-	-	-		
QPXT75	190	0,40	-	-	-	-		
QPXT75	200	0,40	0,205	-	0,59	-		

Schöck Isokorb typu:	Wysokość Isokorb H [mm]	Długość Isokorb L [m]	Współczynnik przewodzenia ciepła $\lambda_{eq}$ [W/(m*K)]		Opór cieplny $R_{eq}$ [m <sup>2</sup> K/W]		Oceniana różnica w poziomie kroków $DL_{n,v,w}$ [dB] w porównaniu z ciągłą płytą stropową	
			bez ochrony ppoż.	z ochroną ppoż.	bez ochrony ppoż.	z ochroną ppoż.	bez ochrony ppoż.	z ochroną ppoż.
QPXT75	210	0,40	0,197	0,221	0,61	0,54		
QPXT75	220	0,40	0,189	0,213	0,63	0,56		
QPXT75	230	0,40	0,183	0,205	0,66	0,59		
QPXT75	240	0,40	0,177	0,198	0,68	0,61		
QPXT75	250	0,40	0,171	0,192	0,70	0,62		
QPXT100	160	0,50	-	-	-	-		
QPXT100	170	0,50	-	-	-	-		
QPXT100	180	0,50	-	-	-	-		
QPXT100	190	0,50	-	-	-	-		
QPXT100	200	0,50	0,218	-	0,55	-		
QPXT100	210	0,50	0,210	0,232	0,57	0,52		
QPXT100	220	0,50	0,202	0,223	0,60	0,54		
QPXT100	230	0,50	0,194	0,215	0,62	0,56		
QPXT100	240	0,50	0,188	0,208	0,64	0,58		
QPXT100	250	0,50	0,181	0,201	0,66	0,60		
QPXT 10 + QPXT 10	160	0,30	-	-	-	-		
QPXT 10 + QPXT 10	170	0,30	-	-	-	-		
QPXT 10 + QPXT 10	180	0,30	-	-	-	-	-	-
QPXT 10 + QPXT 10	190	0,30	0,157	-	0,76	-		
QPXT 10 + QPXT 10	200	0,30	0,151	0,167	0,80	0,72		
QPXT 10 + QPXT 10	210	0,30	0,145	0,161	0,83	0,75		
QPXT 10 + QPXT 10	220	0,30	0,140	0,155	0,86	0,77		
QPXT 10 + QPXT 10	230	0,30	0,136	0,150	0,89	0,80		
QPXT 10 + QPXT 10	240	0,30	0,131	0,145	0,91	0,83		
QPXT 10 + QPXT 10	250	0,30	0,127	0,140	0,94	0,85		
QPXT 40 + QPXT 40	160	0,30	-	-	-	-		
QPXT 40 + QPXT 40	170	0,30	-	-	-	-		
QPXT 40 + QPXT 40	180	0,30	-	-	-	-		

Schöck Isokorb typu:	Wysokość Isokorb H [mm]	Długość Isokorb L [m]	Współczynnik przewodzenia ciepła $\lambda_{eq}$ [W/(m*K)]		Opór cieplny $R_{eq}$ [m <sup>2</sup> K/W]		Oceniana różnica w poziomie kroków $DL_{n,v,w}$ [dB] w porównaniu z ciągłą płytą stropową	
			bez ochrony ppoż.	z ochroną ppoż.	bez ochrony ppoż.	z ochroną ppoż.	bez ochrony ppoż.	z ochroną ppoż.
QPXT 40 + QPXT 40	190	0,30	-	-	-	-		
QPXT 40 + QPXT 40	200	0,30	0,203	0,220	0,59	0,55		
QPXT 40 + QPXT 40	210	0,30	0,195	0,211	0,61	0,57		
QPXT 40 + QPXT 40	220	0,30	0,188	0,203	0,64	0,59		
QPXT 40 + QPXT 40	230	0,30	0,181	0,195	0,66	0,61		
QPXT 40 + QPXT 40	240	0,30	0,175	0,189	0,69	0,64		
QPXT 40 + QPXT 40	250	0,30	0,169	0,182	0,71	0,66		
QPXT 60 + QPXT 60	160	0,30	-	-	-	-		
QPXT 60 + QPXT 60	170	0,30	-	-	-	-		
QPXT 60 + QPXT 60	180	0,30	-	-	-	-		
QPXT 60 + QPXT 60	190	0,30	-	-	-	-		
QPXT 60 + QPXT 60	200	0,30	-	-	-	-		
QPXT 60 + QPXT 60	210	0,30	0,253	0,269	0,47	0,45		
QPXT 60 + QPXT 60	220	0,30	0,243	0,258	0,49	0,46		
QPXT 60 + QPXT 60	230	0,30	0,234	0,249	0,51	0,48		
QPXT 60 + QPXT 60	240	0,30	0,226	0,240	0,53	0,50		
QPXT 60 + QPXT 60	250	0,30	0,218	0,231	0,55	0,52		
QPXT 70 + QPXT 70	160	0,40	-	-	-	-		
QPXT 70 + QPXT 70	170	0,40	-	-	-	-		
QPXT 70 + QPXT 70	180	0,40	-	-	-	-		
QPXT 70 + QPXT 70	190	0,40	-	-	-	-		
QPXT 70 + QPXT 70	200	0,40	-	-	-	-		

Schöck Isokorb typu:	Wysokość Isokorb H [mm]	Długość Isokorb L [m]	Współczynnik przewodzenia ciepła $\lambda_{eq}$ [W/(m*K)]		Opór cieplny $R_{eq}$ [m <sup>2</sup> K/W]		Oceniana różnica w poziomie kroków DL <sub>n,v,w</sub> [dB] w porównaniu z ciągłą płytą stropową	
			bez ochrony ppoż.	z ochroną ppoż.	bez ochrony ppoż.	z ochroną ppoż.	bez ochrony ppoż.	z ochroną ppoż.
QPXT 70 + QPXT 70	210	0,40	0,259	0,275	0,46	0,44		
QPXT 70 + QPXT 70	220	0,40	0,249	0,264	0,48	0,46		
QPXT 70 + QPXT 70	230	0,40	0,239	0,254	0,50	0,47		
QPXT 70 + QPXT 70	240	0,40	0,231	0,245	0,52	0,49		
QPXT 70 + QPXT 70	250	0,40	0,223	0,236	0,54	0,51		
QPZXT 10	160	0,30	0,083	0,114	1,45	1,05		
QPZXT 10	170	0,30	0,080	0,110	1,50	1,09		
QPZXT 10	180	0,30	0,078	0,107	1,55	1,13		
QPZXT 10	190	0,30	0,075	0,103	1,59	1,16		
QPZXT 10	200	0,30	0,073	0,100	1,64	1,19		
QPZXT 10	210	0,30	0,071	0,098	1,68	1,23		
QPZXT 10	220	0,30	0,070	0,095	1,72	1,26		
QPZXT 10	230	0,30	0,068	0,093	1,76	1,29		
QPZXT 10	240	0,30	0,067	0,091	1,80	1,32		
QPZXT 10	250	0,30	0,065	0,089	1,84	1,34		
QPZXT 40	160	0,40	0,105	0,136	1,15	0,88		
QPZXT 40	170	0,40	0,100	0,131	1,20	0,92		
QPZXT 40	180	0,40	0,097	0,126	1,24	0,95		
QPZXT 40	190	0,40	0,093	0,122	1,28	0,99		
QPZXT 40	200	0,40	0,090	0,118	1,33	1,02		
QPZXT 40	210	0,40	0,088	0,114	1,37	1,05		
QPZXT 40	220	0,40	0,085	0,111	1,41	1,08		
QPZXT 40	230	0,40	0,083	0,108	1,44	1,11		
QPZXT 40	240	0,40	0,081	0,106	1,48	1,14		
QPZXT 40	250	0,40	0,079	0,103	1,52	1,16		
QPZXT 60	160	0,40	0,130	0,161	0,92	0,74		
QPZXT 60	170	0,40	0,124	0,154	0,97	0,78		
QPZXT 60	180	0,40	0,119	0,148	1,01	0,81		
QPZXT 60	190	0,40	0,115	0,143	1,04	0,84		
QPZXT 60	200	0,40	0,111	0,138	1,08	0,87		
QPZXT 60	210	0,40	0,107	0,134	1,12	0,90		
QPZXT 60	220	0,40	0,104	0,130	1,16	0,93		
QPZXT 60	230	0,40	0,101	0,126	1,19	0,95		
QPZXT 60	240	0,40	0,098	0,123	1,22	0,98		

Schöck Isokorb typu:	Wysokość Isokorb H [mm]	Długość Isokorb L [m]	Współczynnik przewodzenia ciepła $\lambda_{eq}$ [W/(m*K)]		Opór cieplny $R_{eq}$ [m <sup>2</sup> K/W]		Oceniana różnica w poziomie kroków DL <sub>n,v,w</sub> [dB] w porównaniu z ciągłą płytą stropową	
			bez ochrony ppoż.	z ochroną ppoż.	bez ochrony ppoż.	z ochroną ppoż.	bez ochrony ppoż.	z ochroną ppoż.
QPZXT 60	250	0,40	0,095	0,119	1,26	1,00		
QPZXT 75	160	0,50	0,142	0,171	0,85	0,70		
QPZXT 75	170	0,50	0,136	0,163	0,88	0,74		
QPZXT 75	180	0,50	0,130	0,156	0,92	0,77		
QPZXT 75	190	0,50	0,125	0,150	0,96	0,80		
QPZXT 75	200	0,50	0,120	0,145	1,00	0,83		
QPZXT 75	210	0,50	0,116	0,140	1,03	0,86		
QPZXT 75	220	0,50	0,113	0,136	1,07	0,89		
QPZXT 75	230	0,50	0,109	0,132	1,10	0,91		
QPZXT 75	240	0,50	0,106	0,128	1,13	0,94		
QPZXT 75	250	0,50	0,103	0,124	1,16	0,96		
HPXT-A	160	0,15	0,097	0,139	1,24	0,86		
HPXT-A	170	0,15	0,093	0,134	1,29	0,90		
HPXT-A	180	0,15	0,090	0,130	1,34	0,93		
HPXT-A	190	0,15	0,087	0,126	1,38	0,95		
HPXT-A	200	0,15	0,084	0,122	1,43	0,98		
HPXT-A	210	0,15	0,082	0,119	1,47	1,01		
HPXT-A	220	0,15	0,080	0,116	1,51	1,03		
HPXT-A	230	0,15	0,078	0,114	1,55	1,06		
HPXT-A	240	0,15	0,076	0,111	1,58	1,08		
HPXT-A	250	0,15	0,074	0,109	1,62	1,10		
HPXT-B	160	0,15	0,083	0,125	1,45	0,96		
HPXT-B	170	0,15	0,080	0,121	1,50	0,99		
HPXT-B	180	0,15	0,078	0,118	1,55	1,02		
HPXT-B	190	0,15	0,075	0,114	1,59	1,05		
HPXT-B	200	0,15	0,073	0,111	1,64	1,08		
HPXT-B	210	0,15	0,071	0,109	1,68	1,10		
HPXT-B	220	0,15	0,070	0,106	1,72	1,13		
HPXT-B	230	0,15	0,068	0,104	1,76	1,15		
HPXT-B	240	0,15	0,067	0,102	1,80	1,18		
HPXT-B	250	0,15	0,065	0,100	1,84	1,20		
HPXT-C	160	0,15	0,146	0,188	0,82	0,64		
HPXT-C	170	0,15	0,139	0,180	0,86	0,67		
HPXT-C	180	0,15	0,133	0,173	0,90	0,69		
HPXT-C	190	0,15	0,128	0,167	0,94	0,72		
HPXT-C	200	0,15	0,123	0,161	0,97	0,74		
HPXT-C	210	0,15	0,119	0,156	1,01	0,77		
HPXT-C	220	0,15	0,115	0,152	1,04	0,79		



Schöck Isokorb typu:	Wysokość Isokorb H [mm]	Długość Isokorb L [m]	Współczynnik przewodzenia ciepła $\lambda_{eq}$ [W/(m*K)]		Opór cieplny $R_{eq}$ [m²K/W]		Oceniana różnica w poziomie kroków $DL_{n,v,w}$ [dB] w porównaniu z ciągłą płytą stropową	
			bez ochrony ppoż.	z ochroną ppoż.	bez ochrony ppoż.	z ochroną ppoż.	bez ochrony ppoż.	z ochroną ppoż.
HPXT-C	230	0,15	0,112	0,148	1,07	0,81		
HPXT-C	240	0,15	0,108	0,144	1,11	0,83		
HPXT-C	250	0,15	0,105	0,140	1,14	0,86		
OXT16	180	0,25	0,151	0,182	0,79	0,66		
OXT16	190	0,25	0,145	0,175	0,83	0,69		
OXT16	200	0,25	0,139	0,168	0,86	0,71		
OXT16	210	0,25	0,134	0,162	0,90	0,74		
OXT16	220	0,25	0,129	0,157	0,93	0,76		
OXT16	230	0,25	0,125	0,152	0,96	0,79		
OXT16	240	0,25	0,121	0,148	0,99	0,81		
OXT16	250	0,25	0,118	0,144	1,02	0,83		
OXT20	180	0,25	0,151	0,182	0,79	0,66		
OXT20	190	0,25	0,145	0,175	0,83	0,69		
OXT20	200	0,25	0,139	0,168	0,86	0,71		
OXT20	210	0,25	0,134	0,162	0,90	0,74		
OXT20	220	0,25	0,129	0,157	0,93	0,76		
OXT20	230	0,25	0,125	0,152	0,96	0,79		
OXT20	240	0,25	0,121	0,148	0,99	0,81		
OXT20	250	0,25	0,118	0,144	1,02	0,83		
FXT	160	0,25	0,150	0,182	0,80	0,66		
FXT	170	0,25	0,143	0,174	0,84	0,69		
FXT	180	0,25	0,136	0,167	0,88	0,72		
FXT	190	0,25	0,131	0,161	0,92	0,75		
FXT	200	0,25	0,126	0,155	0,95	0,77		
FXT	210	0,25	0,122	0,150	0,98	0,80		
FXT	220	0,25	0,117	0,145	1,03	0,83		
FXT	230	0,25	0,114	0,141	1,05	0,85		
FXT	240	0,25	0,110	0,137	1,09	0,88		
FXT	250	0,25	0,107	0,133	1,12	0,90		
AXT1	150	0,25	0,135	-	0,89	-		
AXT1	160	0,25	0,128	0,161	0,94	0,75		
AXT1	170	0,25	0,123	0,154	0,98	0,78		
AXT1	180	0,25	0,118	0,148	1,02	0,81		
AXT1	190	0,25	0,113	0,143	1,06	0,84		
AXT1	200	0,25	0,109	0,138	1,10	0,87		
AXT1	210	0,25	0,105	0,134	1,14	0,90		
AXT1	220	0,25	0,102	0,130	1,18	0,92		
AXT1	230	0,25	0,099	0,126	1,21	0,95		

Schöck Isokorb typu:	Wysokość Isokorb H [mm]	Długość Isokorb L [m]	Współczynnik przewodzenia ciepła $\lambda_{eq}$ [W/(m*K)]		Opór cieplny $R_{eq}$ [m²K/W]		Oceniana różnica w poziomie kroków $DL_{n,v,w}$ [dB] w porównaniu z ciągłą płytą stropową	
			bez ochrony ppoż.	z ochroną ppoż.	bez ochrony ppoż.	z ochroną ppoż.	bez ochrony ppoż.	z ochroną ppoż.
AXT1	240	0,25	0,096	0,123	1,25	0,98		
AXT1	250	0,25	0,094	0,120	1,28	1,00		
AXT2	150	0,25	0,750	-	0,16	-		
AXT2	160	0,25	0,166	0,199	0,72	0,60		
AXT2	170	0,25	0,158	0,190	0,76	0,63		
AXT2	180	0,25	0,151	0,182	0,79	0,66		
AXT2	190	0,25	0,145	0,175	0,83	0,69		
AXT2	200	0,25	0,139	0,168	0,86	0,71		
AXT2	210	0,25	0,134	0,162	0,90	0,74		
AXT2	220	0,25	0,129	0,157	0,93	0,76		
AXT2	230	0,25	0,125	0,152	0,96	0,79		
AXT2	240	0,25	0,121	0,148	0,99	0,81		
AXT2	250	0,25	0,118	0,144	1,02	0,83		
DXT30-VV6	160	1,00	0,172	0,192	0,70	0,63		
DXT30-VV6	170	1,00	0,163	0,183	0,73	0,66		
DXT30-VV6	180	1,00	0,156	0,174	0,77	0,69		
DXT30-VV6	190	1,00	0,150	0,167	0,80	0,72		
DXT30-VV6	200	1,00	0,144	0,160	0,83	0,75		
DXT30-VV6	210	1,00	0,139	0,154	0,86	0,78		
DXT30-VV6	220	1,00	0,134	0,149	0,90	0,81		
DXT30-VV6	230	1,00	0,130	0,144	0,93	0,83		
DXT30-VV6	240	1,00	0,126	0,139	0,95	0,86		
DXT30-VV6	250	1,00	0,113	0,124	1,07	0,97		
DXT30-VV8	160	1,00	-	-	-	-		
DXT30-VV8	170	1,00	0,187	0,206	0,64	0,58		
DXT30-VV8	180	1,00	0,178	0,196	0,67	0,61		
DXT30-VV8	190	1,00	0,171	0,188	0,70	0,64		
DXT30-VV8	200	1,00	0,164	0,180	0,73	0,67		
DXT30-VV8	210	1,00	0,158	0,173	0,76	0,69		
DXT30-VV8	220	1,00	0,152	0,167	0,79	0,72		
DXT30-VV8	230	1,00	0,147	0,161	0,82	0,75		
DXT30-VV8	240	1,00	0,142	0,156	0,84	0,77		
DXT30-VV8	250	1,00	0,127	0,138	0,95	0,87		
DXT30-VV10	160	1,00	-	-	-	-		
DXT30-VV10	170	1,00	-	-	-	-		
DXT30-VV10	180	1,00	0,206	0,225	0,58	0,53		
DXT30-VV10	190	1,00	0,197	0,215	0,61	0,56		
DXT30-VV10	200	1,00	0,189	0,206	0,63	0,58		

Schöck Isokorb typu:	Wysokość Isokorb H [mm]	Długość Isokorb L [m]	Współczynnik przewodzenia ciepła $\lambda_{eq}$ [W/(m*K)]		Opór cieplny $R_{eq}$ [m <sup>2</sup> K/W]		Oceniana różnica w poziomie kroków DL <sub>n,v,w</sub> [dB] w porównaniu z ciągłą płytą stropową	
			bez ochrony ppoż.	z ochroną ppoż.	bez ochrony ppoż.	z ochroną ppoż.	bez ochrony ppoż.	z ochroną ppoż.
DXT30-VV10	210	1,00	0,182	0,197	0,66	0,61		
DXT30-VV10	220	1,00	0,175	0,190	0,69	0,63		
DXT30-VV10	230	1,00	0,169	0,183	0,71	0,66		
DXT30-VV10	240	1,00	0,163	0,177	0,73	0,68		
DXT30-VV10	250	1,00	0,145	0,157	0,83	0,77		
DXT50-VV6	160	1,00	0,214	0,234	0,56	0,51		
DXT50-VV6	170	1,00	0,203	0,222	0,59	0,54		
DXT50-VV6	180	1,00	0,194	0,212	0,62	0,57		
DXT50-VV6	190	1,00	0,185	0,203	0,65	0,59		
DXT50-VV6	200	1,00	0,178	0,194	0,67	0,62		
DXT50-VV6	210	1,00	0,171	0,187	0,70	0,64		
DXT50-VV6	220	1,00	0,165	0,180	0,73	0,67		
DXT50-VV6	230	1,00	0,159	0,173	0,75	0,69		
DXT50-VV6	240	1,00	0,154	0,168	0,78	0,72		
DXT50-VV6	250	1,00	0,137	0,148	0,88	0,81		
DXT50-VV8	160	1,00	-	-	-	-		
DXT50-VV8	170	1,00	0,226	0,246	0,53	0,49		
DXT50-VV8	180	1,00	0,216	0,234	0,56	0,51		
DXT50-VV8	190	1,00	0,206	0,223	0,58	0,54		
DXT50-VV8	200	1,00	0,198	0,214	0,61	0,56		
DXT50-VV8	210	1,00	0,190	0,205	0,63	0,58		
DXT50-VV8	220	1,00	0,183	0,198	0,66	0,61		
DXT50-VV8	230	1,00	0,176	0,190	0,68	0,63		
DXT50-VV8	240	1,00	0,170	0,184	0,70	0,65		
DXT50-VV8	250	1,00	0,151	0,163	0,80	0,74		
DXT50-VV10	160	1,00	-	-	-	-		
DXT50-VV10	170	1,00	-	-	-	-		
DXT50-VV10	180	1,00	0,244	0,262	0,49	0,46		
DXT50-VV10	190	1,00	0,233	0,250	0,52	0,48		
DXT50-VV10	200	1,00	0,223	0,239	0,54	0,50		
DXT50-VV10	210	1,00	0,214	0,230	0,56	0,52		
DXT50-VV10	220	1,00	0,206	0,221	0,58	0,54		
DXT50-VV10	230	1,00	0,198	0,213	0,60	0,56		
DXT50-VV10	240	1,00	0,192	0,205	0,63	0,58		
DXT50-VV10	250	1,00	0,169	0,181	0,71	0,66		
DXT70-VV6	160	1,00	0,277	0,298	0,43	0,40		
DXT70-VV6	170	1,00	0,263	0,282	0,46	0,43		
DXT70-VV6	180	1,00	0,250	0,268	0,48	0,45		

Schöck Isokorb typu:	Wysokość Isokorb H [mm]	Długość Isokorb L [m]	Współczynnik przewodzenia ciepła $\lambda_{eq}$ [W/(m*K)]		Opór cieplny $R_{eq}$ [m <sup>2</sup> K/W]		Oceniana różnica w poziomie kroków $DL_{n,v,w}$ [dB] w porównaniu z ciągłą płytą stropową	
			bez ochrony ppoż.	z ochroną ppoż.	bez ochrony ppoż.	z ochroną ppoż.	bez ochrony ppoż.	z ochroną ppoż.
DXT70-VV6	190	1,00	0,239	0,256	0,50	0,47		
DXT70-VV6	200	1,00	0,229	0,245	0,52	0,49		
DXT70-VV6	210	1,00	0,219	0,235	0,55	0,51		
DXT70-VV6	220	1,00	0,211	0,226	0,57	0,53		
DXT70-VV6	230	1,00	0,203	0,217	0,59	0,55		
DXT70-VV6	240	1,00	0,196	0,210	0,61	0,57		
DXT70-VV6	250	1,00	0,173	0,185	0,69	0,65		
DXT70-VV8	160	1,00	-	-	-	-		
DXT70-VV8	170	1,00	0,286	0,305	0,42	0,39		
DXT70-VV8	180	1,00	0,272	0,290	0,44	0,41		
DXT70-VV8	190	1,00	0,260	0,277	0,46	0,43		
DXT70-VV8	200	1,00	0,248	0,265	0,48	0,45		
DXT70-VV8	210	1,00	0,238	0,254	0,50	0,47		
DXT70-VV8	220	1,00	0,229	0,244	0,52	0,49		
DXT70-VV8	230	1,00	0,220	0,235	0,54	0,51		
DXT70-VV8	240	1,00	0,213	0,226	0,56	0,53		
DXT70-VV8	250	1,00	0,187	0,199	0,64	0,60		
DXT70-VV10	160	1,00	-	-	-	-		
DXT70-VV10	170	1,00	-	-	-	-		
DXT70-VV10	180	1,00	0,300	0,319	0,40	0,38		
DXT70-VV10	190	1,00	0,286	0,304	0,42	0,40		
DXT70-VV10	200	1,00	0,274	0,290	0,44	0,41		
DXT70-VV10	210	1,00	0,262	0,278	0,46	0,43		
DXT70-VV10	220	1,00	0,252	0,267	0,48	0,45		
DXT70-VV10	230	1,00	0,243	0,257	0,49	0,47		
DXT70-VV10	240	1,00	0,234	0,247	0,51	0,48		
DXT70-VV10	250	1,00	0,205	0,217	0,58	0,55		
DXT90-VV6	160	1,00	0,320	0,340	0,38	0,35		
DXT90-VV6	170	1,00	0,303	0,322	0,40	0,37		
DXT90-VV6	180	1,00	0,288	0,306	0,42	0,39		
DXT90-VV6	190	1,00	0,275	0,292	0,44	0,41		
DXT90-VV6	200	1,00	0,263	0,279	0,46	0,43		
DXT90-VV6	210	1,00	0,252	0,267	0,48	0,45		
DXT90-VV6	220	1,00	0,242	0,257	0,50	0,47		
DXT90-VV6	230	1,00	0,233	0,247	0,52	0,49		
DXT90-VV6	240	1,00	0,224	0,238	0,53	0,50		
DXT90-VV6	250	1,00	0,197	0,209	0,61	0,57		
DXT90-VV8	160	1,00	-	-	-	-		

Schöck Isokorb typu:	Wysokość Isokorb H [mm]	Długość Isokorb L [m]	Współczynnik przewodzenia ciepła $\lambda_{eq}$ [W/(m*K)]		Opór cieplny $R_{eq}$ [m <sup>2</sup> K/W]		Oceniana różnica w poziomie kroków $DL_{n,v,w}$ [dB] w porównaniu z ciągłą płytą stropową	
			bez ochrony ppoż.	z ochroną ppoż.	bez ochrony ppoż.	z ochroną ppoż.	bez ochrony ppoż.	z ochroną ppoż.
DXT90-VV8	170	1,00	0,326	0,345	0,37	0,35		
DXT90-VV8	180	1,00	0,310	0,328	0,39	0,37		
DXT90-VV8	190	1,00	0,295	0,313	0,41	0,38		
DXT90-VV8	200	1,00	0,282	0,299	0,43	0,40		
DXT90-VV8	210	1,00	0,270	0,286	0,44	0,42		
DXT90-VV8	220	1,00	0,260	0,275	0,46	0,44		
DXT90-VV8	230	1,00	0,250	0,264	0,48	0,45		
DXT90-VV8	240	1,00	0,241	0,255	0,50	0,47		
DXT90-VV8	250	1,00	0,211	0,223	0,57	0,54		
DXT90-VV10	160	1,00	-	-	-	-		
DXT90-VV10	170	1,00	-	-	-	-		
DXT90-VV10	180	1,00	0,338	0,356	0,35	0,34		
DXT90-VV10	190	1,00	0,322	0,339	0,37	0,35		
DXT90-VV10	200	1,00	0,308	0,324	0,39	0,37		
DXT90-VV10	210	1,00	0,295	0,310	0,41	0,39		
DXT90-VV10	220	1,00	0,283	0,298	0,42	0,40		
DXT90-VV10	230	1,00	0,272	0,286	0,44	0,42		
DXT90-VV10	240	1,00	0,262	0,276	0,46	0,44		
DXT90-VV10	250	1,00	0,229	0,241	0,52	0,50		
EXT30-cv35-V10	180	0,50	0,285	0,304	0,420	0,395		
EXT30-cv35-V10	190	0,50	0,272	0,290	0,441	0,414		
EXT30-cv35-V10	200	0,50	0,260	0,277	0,461	0,434		
EXT30-cv35-V10	210	0,50	0,249	0,265	0,482	0,453		
EXT30-cv35-V10	220	0,50	0,239	0,254	0,501	0,472		
EXT30-cv35-V10	230	0,50	0,230	0,245	0,521	0,490		
EXT30-cv35-V10	240	0,50	0,222	0,236	0,540	0,509		
EXT30-cv35-V10	250	0,50	0,214	0,228	0,560	0,527		
EXT30-cv35-V12	180	0,50	0,314	0,333	0,382	0,361		
EXT30-cv35-V12	190	0,50	0,299	0,317	0,401	0,379		
EXT30-cv35-V12	200	0,50	0,286	0,303	0,420	0,397		

Schöck Isokorb typu:	Wysokość Isokorb H [mm]	Długość Isokorb L [m]	Współczynnik przewodzenia ciepła $\lambda_{eq}$ [W/(m*K)]		Opór cieplny $R_{eq}$ [m <sup>2</sup> K/W]		Oceniana różnica w poziomie kroków $DL_{n,v,w}$ [dB] w porównaniu z ciągłą płytą stropową	
			bez ochrony ppoż.	z ochroną ppoż.	bez ochrony ppoż.	z ochroną ppoż.	bez ochrony ppoż.	z ochroną ppoż.
EXT30-cv35-V12	210	0,50	0,274	0,290	0,438	0,414		
EXT30-cv35-V12	220	0,50	0,263	0,278	0,457	0,432		
EXT30-cv35-V12	230	0,50	0,253	0,267	0,475	0,449		
EXT30-cv35-V12	240	0,50	0,244	0,257	0,493	0,466		
EXT30-cv35-V12	250	0,50	0,235	0,248	0,510	0,483		
EXT50-cv35-V10	180	0,50	0,343	0,362	0,349	0,332		
EXT50-cv35-V10	190	0,50	0,327	0,345	0,367	0,348		
EXT50-cv35-V10	200	0,50	0,312	0,329	0,384	0,365		
EXT50-cv35-V10	210	0,50	0,299	0,315	0,401	0,381		
EXT50-cv35-V10	220	0,50	0,287	0,302	0,418	0,397		
EXT50-cv35-V10	230	0,50	0,276	0,290	0,435	0,414	-	-
EXT50-cv35-V10	240	0,50	0,266	0,279	0,452	0,429		
EXT50-cv35-V10	250	0,50	0,256	0,270	0,468	0,445		
EXT50-cv35-V12	180	0,50	0,372	0,391	0,322	0,307		
EXT50-cv35-V12	190	0,50	0,354	0,372	0,339	0,323		
EXT50-cv35-V12	200	0,50	0,338	0,355	0,355	0,338		
EXT50-cv35-V12	210	0,50	0,324	0,339	0,371	0,354		
EXT50-cv35-V12	220	0,50	0,310	0,325	0,387	0,369		
EXT50-cv35-V12	230	0,50	0,298	0,313	0,402	0,384		
EXT50-cv35-V12	240	0,50	0,287	0,301	0,418	0,399		
EXT50-cv35-V12	250	0,50	0,277	0,290	0,433	0,413		